



PUCP

FACULTAD DE LETRAS Y CIENCIAS HUMANAS

Comunidades de pescadores del Formativo en la Bahía de Paracas: una aproximación a sus estrategias de subsistencia a partir de sus redes de pesca

Tesis para optar el título de Licenciado(a) en Arqueología que presenta el Bachiller:

Aldo Javier Accinelli Obando

Asesor: Jalh Arturo Dulanto Brescia

Lima, 04 de setiembre del 2015

Índice

Lista de figuras	3
Lista de tablas	7
Capítulo 1: Introducción al proyecto y a los objetivos de investigación	8
1.1 Introducción al proyecto:	8
1.2 Problema de investigación:	9
1.3 Objetivos de la investigación:	10
1.3.1 Objetivo general:	10
1.3.2 Objetivos específicos:	10
1.4 Resumen de la tesis:	11
Capítulo 2: Problema de investigación	12
2.1 Contexto general de los Andes Centrales para el periodo Formativo:.....	12
2.2 Contexto del Formativo para la Costa Sur y la región de Paracas:	19
2.3. Contexto de la pesca prehispánica para el Formativo:	23
2.4. Problema de investigación:	25
Notas	25
Capítulo 3: Discusión sobre la red de pescar y metodología para analizarla	29
3.1. Antecedentes del análisis de redes:	29
3.1.1. Antecedentes etnográficos y de documentación histórica:.....	29
3.1.2. Antecedentes etnohistóricos:.....	33
3.1.3. Antecedentes arqueológicos:.....	35
3.2 Metodología de análisis para todo el material textil:	37
Notas	48
Capítulo 4: Descripción del sitio, del área de excavación y de la estratigrafía	50
4.1 Ubicación:	50
4.2 Descripción del sitio:.....	52
4.3 Antecedentes del sitio:	53
4.4 Metodología de excavación:	55
4.5 Unidad de excavación:	58
4.5.1. Perfil 1, Perfil 2 y Unidad 1:	58
4.6. Análisis estratigráfico:	63
4.6.1. Fases de ocupación:.....	64

4.6.1.1. Cerámica:	64
Notas	69
Capítulo 5: Análisis de las redes	73
5.1. Fases de redes:.....	73
5.2. Definición de tipos de redes:.....	77
5.3. Análisis de la cocada:.....	88
5.4. Comparación entre Disco Verde y Karwa:	94
Notas	116
Capítulo 6: Conclusiones	117
Bibliografía:	119



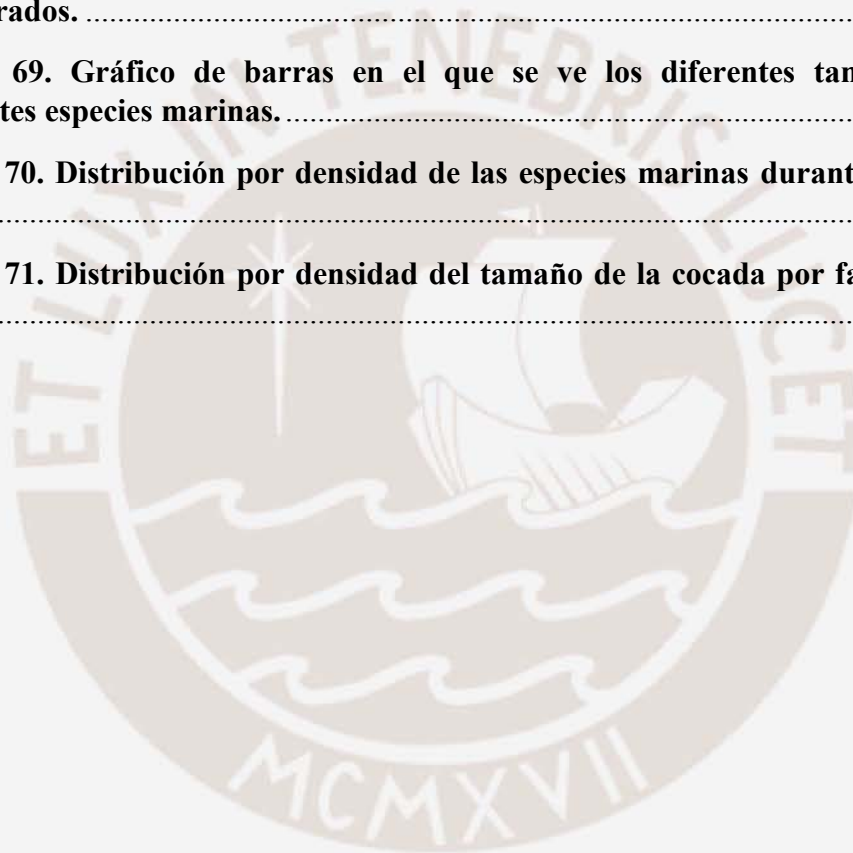
Lista de figuras

Figura 1. Medición del grosor del hilo.	39
Figura 2. Medición del largo máximo del fragmento de red.	39
Figura 3. Medición de la diagonal de la cocada.	40
Figura 4. Medición del ancho máximo del fragmento de red.	40
Figura 5. Medición del perímetro de la cocada.	40
Figura 6. Medición del largo del nudo.	41
Figura 7. Medición del ancho del nudo.	41
Figura 8. Nudo simple (tomado de Emery 1980:34).	42
Figura 9. Nudo corredizo (tomado de Emery 1980:35).	42
Figura 10. Nudo de ojal anudado como lazo (tomado de Emery 1980:36).	43
Figura 11. Nudo ballestrinque (tomado de Emery 1980:36).	43
Figura 12. Nudo de vaca (tomado de Emery 1980:36).	44
Figura 13. Nudo cuadrado (tomado de Emery 1980:37).	44
Figura 14. Nudo “de la abuela” (tomado de Emery 1980:37).	45
Figura 15. Nudo de tejedo (tomado de Emery 1980:38).	45
Figura 16. Nudo de red de pesca (tomado de Emery 1980:39).	46
Figura 17. Ejemplo de red sobre hoja de papel milimetrado para medirle el área. 47	
Figura 18. Ubicación del sitio de Disco Verde (Dulanto y Accinelli 2013:138).	50
Figura 19. Foto aérea de baja altura del sitio de Disco Verde (Dulanto y Accinelli 2013:139).	51
Figura 20. Plano topográfico del sitio arqueológico de Disco Verde. Datum WGS84 (Zona 18 S). Elaborado por Jalh Dulanto.	51
Figura 21. Esquema a escala de la distribución de las unidades de excavación dentro del sitio de Disco Verde. (Dulanto y Accinelli 2013:143)	57
Figura 22. Perfil Oeste del sitio de Disco Verde (Dulanto y Accinelli 2013:142). ...	62
Figura 23. Perfil Norte del sitio de Disco Verde (Accinelli y Dulanto 2013:143). ...	63
Figura 24. Cerámica decorada y bordes de los estratos 39/40 al 34.	65
Figura 25. Cerámica decorada y bordes de los estratos 33 al 26.	66
Figura 26. Cerámica decorada y bordes de los estratos 25 al 14.	67
Figura 27. Cerámica decorada y bordes de los estratos 13 al 1	68

Figura 28. Ejemplo de red con cocada.....	74
Figura 29. Ejemplo de red sin cocada	74
Figura 30. Gráfico de barras de la densidad total por estrato de redes con cocada para el sitio de Disco Verde.....	76
Figura 31. Gráfico de barras de la densidad total por estrato de redes sin cocada para el sitio de Disco Verde.....	77
Figura 32. Gráfico de barras de la frecuencia de los tipos de torsión de los hilos para los textiles.....	78
Figura 33. Gráfico de barras de la frecuencia de los tipos de torsión de los hilos para las redes.....	79
Figura 34. Histograma de la frecuencia de los números de cabos del hilo para los textiles del sitio de Disco Verde.	79
Figura 35. Histograma de la frecuencia de los números de cabos del hilo para las redes del sitio de Disco Verde.	80
Figura 36. Histograma de la frecuencia de los números de cabos del hilo para los hilos sueltos que pertenecieron a redes del sitio de Disco Verde.....	80
Figura 37. Diagrama de caja para el grosor del hilo de los textiles del sitio de Disco Verde.....	81
Figura 38. Diagrama de caja para el grosor del hilo de los textiles del sitio de Disco Verde.....	82
Figura 39. Diagrama de caja para el grosor del hilo de los hilos sueltos que pertenecieron a redes del sitio de Disco Verde.....	82
Figura 40. Diagrama de cajas por estrato del grosor del hilo de las redes del sitio de Disco Verde.....	84
Figura 41. Histogramas por fases de la frecuencia del grosor del hilo de los hilos sueltos del sitio de Disco Verde.....	85
Figura 42. Diagrama de cajas para el largo del nudo simple por estrato del sitio de Disco Verde.....	87
Figura 43. Diagrama de dispersión del largo y ancho del nudo simple.	87
Figura 44. Histograma para la medida de la cocada de los fragmentos de redes recuperados. En este se pueden ver cuatro modas.	89
Figura 45. Tamaño de cocada de todas las redes ordenadas de mayor a menor para el sitio de Disco Verde.....	90
Figura 46. Histograma del tamaño de la cocada por fases del sitio de Disco Verde.	91

Figura 47. Diagrama de cajas del tamaño de la cocada por fases del sitio de Disco Verde.	91
Figura 48. Diagrama de cajas del tamaño de la cocada por estratos para el sitio de Disco Verde.	92
Figura 49. Histogramas del tamaño de la cocada por estratos para el sitio de Disco Verde.	93
Figura 50. Diagrama de dispersión entre el grosor y el tamaño de la cocada para el sitio de Disco Verde.	94
Figura 51. Distribución de las redes por estrato según la densidad de estas (área de redes, con cocada, y largo de redes, sin cocada, entre volumen excavado en litros por estrato) para la columna 1 del perfil 1 del sitio de Karwa.	97
Figura 52. Distribución de las redes por estrato según la densidad de estas (área de redes, con cocada, y largo de redes, sin cocada, entre volumen excavado en litros por estrato) para la columna 2 del perfil 1 del sitio de Karwa.	97
Figura 53. Distribución de las redes por estrato según la densidad de estas (área de redes, con cocada, y largo de redes, sin cocada, entre volumen excavado en litros por estrato) para la columna 1 del perfil 3 del sitio de Karwa.	98
Figura 54. Distribución de las redes por estrato según la densidad de estas (área de redes, con cocada, y largo de redes, sin cocada, entre volumen excavado en litros por estrato) para la columna 2 del perfil 3 del sitio de Karwa.	98
Figura 55. Diagrama de barras para la torsión del hilo de las redes recuperadas del sitio de Karwa.	99
Figura 56. Diagrama de barras de la torsión del hilo de las redes para las fases de ocupación 1 y 2 de Disco Verde.	100
Figura 57. Grosor del hilo para la totalidad de las redes recuperadas en el sitio de Karwa.	101
Figura 58. Grosor del hilo para las redes de las fases de ocupación 1 y 2 de Disco Verde.	101
Figura 59. Diagrama de barras del número de cabos para el sitio de Karwa.	102
Figura 60. Diagrama de barras del número de cabos de las redes para las fases de ocupación 1 y 2 del sitio de Disco Verde.	103
Figura 61. Diagrama de caja del largo del nudo simple para la totalidad de las redes del sitio de Karwa.	104
Figura 62. Diagrama de caja del largo del nudo simple para las fases de ocupación 1 y 2 del sitio de Disco Verde.	104
Figura 63. Diagrama de caja del ancho del nudo simple para la totalidad de las redes del sitio de Karwa.	105

Figura 64. Diagrama de caja del ancho del nudo simple para las fases de ocupación 1 y 2 en el sitio de Disco Verde.....	105
Figura 65. Tamaño de la cocada para las fases de ocupación 1 y 2 del sitio de Disco Verde.....	106
Figura 66. Histograma para la medida de la cocada de los fragmentos de redes recuperados en todo el sitio de Karwa. En este se pueden ver cuatro modas al igual que en el histograma del tamaño de la cocada para todo el sitio de Disco Verde (ver figura 44).....	107
Figura 67. Diagrama de caja que muestra cómo todos los casos para los tipos 4, 5 y 6 de tamaño de red son atípicos para la muestra de Karwa.	107
Figura 68. Distribución por hábitat de los especímenes de fauna marina recuperados.	111
Figura 69. Gráfico de barras en el que se ve los diferentes tamaños de las diferentes especies marinas.....	114
Figura 70. Distribución por densidad de las especies marinas durante las fases de pesca.....	115
Figura 71. Distribución por densidad del tamaño de la cocada por fases de redes.....	115



Lista de tablas

Tabla 1. Coordenadas de los vértices del sitio de Disco Verde.	50
Tabla 2. Coordenadas de la unidad de excavación del sitio de Disco Verde.	59
Tabla 3. Descripción de la estratigrafía registrada en el sitio de Disco Verde. (Dulanto y Accinelli 2013:151-153)	59
Tabla 4. Fases de ocupación del sitio de Disco Verde y fechados de los mismos. ...	64
Tabla 5. Densidad de los estratos de Disco Verde.....	74
Tabla 6. Grosor del hilo de las redes por estrato del sitio de Disco Verde.....	83
Tabla 7. Grosor del hilo de las redes por fase del sitio de Disco Verde.	84
Tabla 8. Largo y ancho del nudo simple por estrato para el sitio de Disco Verde. 85	
Tabla 9. Largo y ancho del nudo simple por fase del sitio de Disco Verde.	86
Tabla 10. Distribución de los tipos de nudos y combinaciones de los mismos por fases del sitio de Disco Verde.	88
Tabla 11. Tipos de tamaño de la cocada para las redes de Disco Verde.....	89
Tabla 12. Densidades de las redes con cocada y sin cocada en el sitio de Karwa. ..	95
Tabla 13. Especies marinas identificadas en los sitios de Karwa y Disco Verde. .	108
Tabla 14. Frecuencia de las especies recuperadas en Disco Verde.	109
Tabla 15. Densidad por estrato de las especies marinas recuperadas para el sitio de Disco Verde.....	112

Capítulo 1

Introducción al proyecto y a los objetivos de investigación

1.1 Introducción al proyecto:

La línea de investigación del proyecto se circunscribe dentro de una problemática abordada por varios investigadores (ej., Burger 1984, 1992, 1998, 2010; Burger & Makowski 2009; Burger & Salazar-Burger 1993, 2000; Haas & Creamer 2006; Kaulicke 1994, 1998, 2008a, 2008b, 2010a, 2010b; Lumbreras 1974, 1989, 2000; Pozorsky & Pozorsky 1987; Shady, 2006). Esta problemática tiene que ver con los cambios culturales a gran escala que se sucedieron durante el periodo Formativo (1700 a 200 a.C. según Kaulicke, 1994) a lo largo de los Andes Centrales.

Durante este periodo se desencadenó el proceso que luego desembocaría en los primeros estados tempranos debido al surgimiento de las características que luego van a ser los indicadores de diferenciación de clases. Además, dentro de este proceso se da el desarrollo y la intensificación de los contactos e intercambios entre diferentes regiones. Los autores mencionados discrepan en cuanto a la heterogeneidad y extensión de dichos cambios.

Dentro de esta problemática, los trabajos iniciados en el año 2010 por el Proyecto de Investigaciones Arqueológicas Paracas, dirigido por Jalh Dulanto, se circunscriben al enfoque regional del estudio del periodo Formativo a través de los sitios dentro y alrededor de lo que es actualmente la Reserva Nacional de Paracas. Esto se debe a que la región de Paracas ha sido muy poco estudiada a nivel regional a excepción de los trabajos pioneros de Tello a principios del s.XX (Tello 1922, 1923, 1929, 1942, 1959, 1960, 1961, 1967, 1979, 2009) y los de Engel a mediados del s.XX (Engel 1960, 1962, 1963b, 1965a, 1965b, 1966, 1972, 1976, 1987, 1988, 1991). Todos los estudios más recientes están enfocados en un aspecto cultural o en un sitio en particular, mas no en la región en su totalidad (ej. García 2009). Sin embargo, esta área puede proveer de información esencial para las discusiones que existen sobre este periodo.

1.2 Problema de investigación:

La presente tesis es el resultado del análisis de las redes de pescar, recuperadas en la excavación en el sitio de Disco Verde llevada a cabo entre enero y febrero del año 2012. Este análisis va a permitir vislumbrar cambios en la economía durante el Formativo concentrándose en un tipo de artefacto. Esto se debe a que este artefacto tiene el potencial de informar sobre actividades vinculadas a la extracción de recursos marinos e, indirectamente, a otras acciones similares.

Una red de pescar puede indicar el tamaño de la especie capturada, cambios en la intensidad de la explotación de los recursos marinos, así como la habilidad para navegar en alta mar. Esto se indica en el perímetro o tamaño de la cocada, tanto para saber qué posibles especies eran capturadas, como para saber si se pescaba en alta mar o no. En la densidad de los fragmentos de redes por estrato se sabe la fluctuación de la actividad pesquera a lo largo de las distintas ocupaciones. Todo esto se mide a través de un grupo de variables compartidas entre textiles, hilos y redes, más las variables específicas para redes.

Así, como primer punto de la investigación se busca identificar las variables de las redes que sirvan para estudios sobre explotación de recursos marinos en la costa peruana. Asimismo, se busca ver si es que estas variables cambian a lo largo del tiempo de la ocupación identificada en el sitio y, si es que cambian, los posibles motivos por los que se dan estos cambios. Además, la red de pescar es un artefacto que no ha sido tomado muy en cuenta en las investigaciones arqueológicas (ej. Engel, 1963, 1966, 1988; Sandweiss, 1992) ya que solo ha sido descrito, mas no analizado; por lo cual, tan solo con hacer un análisis de estas ya se crearía una gran contribución para la arqueología de toda la costa peruana. Esto se debe a que los trabajos sobre artefactos textiles en general han estado centrados en el análisis de los tejidos decorados, mas no en textiles utilitarios (ej. Reid 2008; Uwe 2011; Verde 2009).

Estos cambios estarían manifestados de una manera funcional en el tamaño de la cocada de la red; la diagonal de esta; el grosor del hilo con el que fue creada; la forma de la red, en el caso de que haya sido recuperada completa; el material con el que ha sido hecho y los nudos que conforman las cocadas. Esto se debe a que las especies marinas no habrían sufrido mayor alteración si es que no se encuentran cambios estadísticamente significativos en las variables mencionadas.

En el caso de los nudos, el tipo de nudo —que se describirá más adelante en el capítulo 3— junto con el tamaño de este también son criterios morfológicos que permiten inferir la función de la red, aunque es posible que un cambio en el tipo de nudo corresponda a una variación del estilo de hacer las redes y no necesariamente a una respuesta de la función que estas tuvieron. Por otro lado, el estilo de los hilos con los que se crean las redes también va a permitir observar cambios de estilo y de función al igual que los nudos. En otras palabras, la torsión, la retorsión, el número de cabos e inclusive el color son las variables que nos permiten entender la manera en que los hilos de las redes eran creados.

Adicionalmente, para tratar de identificar el área de uso de dichas redes —en otras palabras, si fueron usadas en la orilla marina, a nivel oceánico o en ambos espacios— se verá el hábitat de las especies de peces identificados. Esto para no simplemente pensar que por tener una cocada de tamaño grande, necesariamente se tenía que pescar especies grandes. Podrían haber tenido un uso diferente.

Todo esto busca responder a si los cambios detectados en las redes obedecen a los cambios políticos, sociales y económicos que se dan a lo largo de los Andes Centrales durante el periodo Formativo, punto que será desarrollado en profundidad en el siguiente capítulo. Para responder a esto, se han planteado una serie de objetivos.

1.3 Objetivos de la investigación:

1.3.1 Objetivo general:

- Identificar cambios en las prácticas económicas; en particular de producción/extracción de recursos marinos y, en concreto, de ciertas tecnologías vinculadas a estas actividades.

1.3.2 Objetivos específicos:

- Analizar la variación formal/tecnológica de las redes procedentes de Disco Verde.
- Analizar la variación en la frecuencia de diferentes tipos de redes a través de las sucesivas ocupaciones de Disco Verde, de las más tempranas a las más tardías.

- Analizar la variedad en NISP de distintas especies que proceden de diferentes hábitats, a través de las sucesivas ocupaciones de Disco Verde.
- Determinar si existe una correlación entre el segundo punto y el tercero.

1.4 Resumen de la tesis:

La presente tesis tiene a continuación el contexto del problema de investigación, junto con la hipótesis planteada. Se describe la situación general del Formativo para los Andes Centrales, poniendo especial énfasis en la Costa Sur y la península de Paracas. Asimismo, dentro de los diferentes puntos de vista sobre los cambios políticos y económicos que se dan en el Formativo, se toma una postura dentro del debate.

En el capítulo siguiente se describirá la metodología usada para el análisis de las redes de pescar y qué es lo que entendemos por red. Asimismo, se mencionarán todos los antecedentes encontrados sobre análisis de redes. Dentro de este capítulo está toda la información técnica que fue empleada para las características de las redes y sus hilos.

Luego, en el cuarto capítulo, se describirá la metodología empleada en la excavación del sitio de Disco Verde, junto con los antecedentes de este; se hará la descripción del sitio y del área que fue excavada. Se indican las coordenadas del sitio. Es en este capítulo que se expondrá detalladamente la estratigrafía registrada junto con los procesos de formación del sitio, además de la secuencia estilística registrada.

En el quinto capítulo se mostrarán los resultados obtenidos de todo el análisis realizado. Este análisis será más que nada estadístico. Además, se hará una comparación con el mismo tipo de evidencia recuperada en el sitio de Karwa y cómo se relacionan los restos de fauna marina con las fragmentos de redes recuperados.

Finalmente, en el sexto capítulo se presentarán las conclusiones a las que se ha llegado en esta tesis.

Capítulo 2

Problema de investigación

2.1 Contexto general de los Andes Centrales para el periodo Formativo:

Los Andes Centrales ocupan casi todo lo que se conoce como la costa y sierra del Perú actual, sin incluir la Amazonía (Lumbreras 2008:35). Dentro de este espacio, la variabilidad de condiciones de existencia que se presenta es muy diversa (Lumbreras 2008:35). De esta manera, se tiene que

En los Andes centrales, donde se combinan todos los paisajes, la pluralidad del medio ambiente se presenta dentro de particulares condiciones de articulación territorial, climática y ecológica, gracias a la vecindad de las diversidades. Las estepas o páramos fríos, con su propia cadena de plantas y animales, se intercalan con valles templados o sabanas que se forman en los pliegues trajinados por los ríos que nacen entre las nieves de las altas montañas (Lumbreras 2008:36-39).

Al respecto sobre esto, Kaulicke dice que las definiciones culturales y geográficas que se manejan de los Andes Centrales concuerdan en que existe una unidad entre costa y sierra (1994:142). Por otro lado, recalca que los límites son aproximados en la medida que es difícil llegar a precisar fronteras culturales (Kaulicke 1994:142). Agrega que las cuencas interandinas pudieron funcionar como canales de comunicación, al igual que los valles costeros (Kaulicke 1994:143)

Este espacio, los Andes Centrales, es una de siete áreas en las que se han desarrollado los estados prístinos o primarios (Trigger 2003:29). Esto significa que el desarrollo a nivel estatal no estuvo formado por la dependencia o control de otra sociedad más compleja; en otras palabras, es solo mediante la interacción de sociedades pre-estatales que surge el estado prístino (Trigger 2003:29).

Asimismo, en todas las sociedades complejas hay una muy fuerte correlación entre el poder, la riqueza y el prestigio; esto a pesar de la gran variabilidad que puede existir para conseguir dentro de las sociedades estas tres cosas (Trigger 2003:46). A su vez, esta correlación genera que haya una división de clases dentro de las sociedades complejas, entre aquellos que controlan poder, riqueza y prestigio y la mayoría que no. Adicionalmente, en la medida que los grupos conocen la jerarquía social que los divide,

esto ordena el comportamiento individual y la acción política; por lo cual, se puede decir que las civilizaciones tempranas son la forma más simple de sociedades de clase (Trigger 2003:46).

Dentro de este proceso civilizatorio en los Andes Centrales, el periodo Formativo juega un papel crucial, porque es durante este momento que se van a comenzar a distinguir las características de diferenciación de clases que luego serán preponderantes en los primeros estados del siguiente periodo. Es por esto que el Formativo se le entiende como un periodo que

trae cambios profundos, se generaliza el cultivo del maíz y la crianza de los camélidos, aparece el oro en objetos de lucro y desaparecen muchos centros ceremoniales. Los contactos entre regiones se intensifican y surge arquitectura megalítica de diferentes patrones; los entierros suntuosos, probablemente son señal de la existencia de élites, en particular en la costa norte y sierra colindante (Kuntur Wasi). No hay muchas evidencias claras de un fin catastrófico del Formativo, el cual más bien sirve de base para la formación de las esplendorosas culturas como Mochica, Nazca y otras, cristalizándose básicamente en las mismas regiones existentes previamente (Kaulicke 1998:12).

Este proceso de complejización viene desde el periodo anterior y es una continuación del mismo, ya que

cuando se difundió la cerámica en el Perú, tanto el régimen de la costa, como el de la sierra, estaban en pleno desarrollo, de modo que la fase "Formativa" que se inicia con su presencia es, en realidad, una prolongación del Arcaico. La difusión de la cerámica, desde el norte y el oriente, fue un evento dinamizador del proceso centro-andino, que afirmó las tendencias, [...] aun cuando no representó una fuente de grandes innovaciones tecnológicas (Lumbreras 2008:113).

Así, se tiene que durante el periodo en cuestión surgió lo que serían las bases de la diferenciación política y económica de nivel estatal; es decir, lo que desencadenó el proceso que luego desembocaría en los primeros estados tempranos. Este tema ha sido ampliamente debatido (ej., Burger 1984, 1992, 1998, 2010; Burger & Makowski 2009; Burger & Salazar-Burger 1993, 2000; Haas & Creamer 2006; Kaulicke 1994, 1998, 2008a, 2008b, 2010a, 2010b; Lumbreras 1974, 1989, 2000; Pozorsky & Pozorsky 1987; Shady, 2006), llegando a la conclusión de que la emergencia de la arquitectura monumental, principal característica estudiada de la complejización social, a lo largo de los Andes Centrales para el periodo antedicho es una manifestación de centros locales y/o regionales, sobre todo en la Costa Norte y Central. Además, dentro de este

proceso se da el desarrollo e intensificación de los contactos e intercambios de las regiones; en otras palabras, la intensificación del comercio a larga distancia.

Aun así, existen varias discrepancias sobre el momento exacto en que se dan todos estos cambios junto con la homogeneidad o heterogeneidad de estos. Por ejemplo, algunos investigadores plantean que estos cambios se dieron antes del Formativo (Haas & Creamer 2006, Makowski 2004; Pozorsky & Pozorsky 1987, 2008; Shady 2006). El criterio que se maneja es la monumentalidad de varios centros que existen en la Costa Central y Norte para el Arcaico Tardío (3000-1700 a.C.). Se tiene quienes consideran que para este periodo ya existen estados tempranos, sea en el valle de Casma (Pozorsky & Pozorsky 1987, 2008) o en el valle de Supe (Haas & Creamer 2006; Shady 2006). Otros proponen que los grandes cambios del Formativo ya se dan en este momento, por lo que el periodo se debería de llamar “Formativo Precerámico” (Makowski 2004)¹. Otros mantienen que los cambios se dieron a partir del primer milenio a.C., pero entre estos investigadores existe una gran discrepancia sobre si los cambios fueron homogéneos o heterogéneos; es decir, si estos cambios fueron generalizados para todo el área andina o si estos variaron de región a región.

Entre los que proponen cambios homogéneos hay quienes consideran que la homogeneidad se debe a una gran influencia y jerarquía de los centros ceremoniales dentro de sus regiones, como es el caso de Chavín de Huántar o Kuntur Wasi (Burger 2008; Lumbreras 2008). Cada uno de estos centros contaba con su grupo de líderes que fueron enterrados dentro de la arquitectura monumental con elementos de prestigio (Burger 2008:698). Sin embargo, a Chavín de Huántar se le suele dar un peso mayor debido a su esfera de influencia y que esto habría sido un factor esencial dentro de la integración cultural de los Andes Centrales, lo que le da a Chavín un sentido de “cultura matriz” (Burger 2008:699-700).

Adicionalmente, dentro de los que piensan en un escenario homogéneo, se considera que esto se debe a una “Revolución Urbana” general, siguiendo ideas del Viejo Mundo sobre los procesos de evolución social del ser humano (Canziani 2009).

En resumen, el período Formativo representa una época en la que se inicia un intenso proceso de especialización productiva, que concierne fundamentalmente la solución de una serie de retos planteados simultáneamente por la afirmación de la nueva economía agrícola y los nuevos requerimientos sociales. En el consecuente proceso de división social del trabajo, se sustenta una emergente diferenciación social que tiene como protagonistas centrales a aquellos especialistas que resuelven los aspectos críticos para la reproducción del sistema económico y social, como

son, la conducción del desarrollo, mantenimiento y administración de los sistemas de irrigación; la planificación y construcción de las obras públicas; la convocatoria y organización de la fuerza de trabajo participante en la ejecución de estas; la calendarización de las actividades agrícolas y el desarrollo de las actividades rituales que aseguraban el sustento ideológico del sistema en sí, y especialmente de las relaciones de reciprocidad asimétrica que se sustentaban en la autoridad y el ejercicio del poder por parte de este sector social que asumiría un dominio de tipo teocrático (Canziani 2009:83-84).

Además, hay quienes toman en cuenta la aparición de diferentes tradiciones de arquitectura monumental como una gran explosión de desarrollo social generalizado para una gran área de los Andes Centrales (Moseley 2001; Quilter 1983). En este sentido, se estaría hablando de sociedades no igualitarias, sin carácter estatal, sugiriéndose que podría tratarse de jefaturas o cacicazgos de economías mixtas que explotaban los recursos marinos, practicaban la agricultura e importaban alimentos (Quilter 1983:554). Se asume que hay evidencia para un sistema ideológico común debido a este intercambio a larga distancia de productos (Moseley 2001:171; Quilter 1983:555). Dentro de los que plantean cambios de una gran heterogeneidad cultural, algunos se guían por la diferencia entre los estilos cerámicos junto con los patrones funerarios debido a la alta variabilidad entre ellos (Kaulicke 1994). Otros investigadores se guían por la presencia de ciertos elementos en unas áreas y en otras no, lo que significa que el desarrollo político y económico no fue igual, ni al mismo tiempo en las diferentes regiones andinas (Silverman 2009). Por otro lado, se argumenta también que estos cambios pudieron haber tenido una fuente climática, lo que habría hecho que cada región reaccionara de manera diferente según la intensidad de los fenómenos sufridos (Sandweiss & Richardson III 2008).

A pesar de estas diferencias en posturas y diferentes puntos de vista, es posible elaborar una cronología general del periodo Formativo debido a que

existen sitios con superposición de arquitectura formalizada en todo el territorio, que facilitan la elaboración de secuencias locales y regionales. Estas secuencias normalmente no cubren todo el Formativo aunque hacen denotar una permanencia prolongada en lugares específicos, una tendencia que se inicia ya a fines del Arcaico (Kaulicke 1994:284).

Es así que se llega a la siguiente división del periodo:

1. Formativo Temprano (1 500 a 1 000 a.C.), con diferentes estilos de cerámica sencilla en cuanto a formas y decoración.
 2. Formativo Medio (1000-600 a.C.), con una serie de estilos diferentes que comparten formas y técnicas de decoración y permiten reconocer una serie de áreas de distribución.
 3. Formativo Tardío (600-400 a.C.) con estilos más homogéneos que no pierden sus rasgos regionales.
 4. Formativo Final (400-200 a.C.), en el cual aprecia una cierta degeneración estilística y la aparición de elementos nuevos en cuanto a técnica y decoración.
- Un quinto periodo llamado Epiformativo (200 a. C.-100/200 d.C.), sólo guarda algunos rasgos de estilos anteriores (Kaulicke 1994:284, las fechas originales fueron modificadas de años a.p. a años a.C./d.C. según los mostrados en Kaulicke 1998:11).

Dentro de estos cinco momentos, el que presenta mayores cambios y mayor discusión, como ya se ha discutido, es el momento entre el 1000 y el 600 a.C. Por otro lado, a pesar de que la secuencia está lo suficientemente detallada como para ser una guía general para los Andes Centrales, no deja de tener una heterogeneidad para las distintas regiones.

Esta secuencia está relativamente consolidada para la sierra norte, los datos costeros son menos confiables por la multitud de evidencias observadas, pero no debidamente publicadas. Esta escasez de datos contrasta con una multitud de fechados radiocarbónicos que se convierten en los principales argumentos de que las manifestaciones costeñas son más tempranas que las serranas. Muchos de estos fechados, sin embargo, son discutibles o carecen de contextos. La mayoría, sin embargo, cabe dentro de los parámetros señalados para los periodos propuestos y reducen posibles prioridades temporales a un tiempo tan breve que es difícil de observarlas teniendo en cuenta los márgenes de errores propios del método de C14 (Kaulicke 1994:284).

Esta heterogeneidad es claramente visible dentro de la cerámica. Asimismo, la cerámica es también una evidencia fuerte de las grandes redes de intercambio que existieron para este momento y que se intensificaron en el periodo de tiempo que más llama la atención, 1000 a 600 a.C.

Visto desde el aspecto de la cerámica, el problema de una difusión de un estilo Chavín homogéneo desde un centro hacia todo el territorio no ocurre. Parece existir, en cambio, una serie de centros o talleres de elaboración cerámica de uso especial de prestigio mayor cuyos productos pueden llegar a concentrarse a gran distancia de su lugar de origen como queda comprobado para Chavín de Huántar y otros centros de importancia. Este tipo de intercambio más o menos intensivo se realiza desde el Formativo Medio y continúa en el Formativo Tardío.

Por otro lado la cerámica no parece ser un medio apropiado para explicar el fenómeno estilístico Chavín; en uno de los períodos, el primero, no lleva estos elementos, en otros es a menudo casi ausente o poco reconocible por el estado fragmentario de las piezas. Quedan por buscar otros criterios que permitan una comprensión más coherente. Por otro lado se vislumbran diferentes áreas con estilos figurativos que se concentran en costa y sierra norte, sierra norcentral y costa central que coexistan con estilos no figurativos y áreas en que estos últimos predominen, particularmente la sierra central, sierra y costa del extremo sur (Kaulicke 1994:284-285).

Sin embargo, todavía se manejan los conceptos de Periodo Inicial y Horizonte Temprano planteados por John Rowe hace más de cincuenta años (Rowe 1962). Así, se tiene que el Periodo Inicial, que va del 1800 al 800 a.C., es un momento en el que la agricultura se practica con mayor intensidad, lo que generó que la población aumentara (Burger 2010:18). Esto, a pesar de que los distintos grupos humanos seguía viviendo en poblados pequeños y los centros públicos o ceremoniales fueron de menor escala que en el periodo anterior, aunque siguieron teniendo un rol integrador dentro de los diferentes grupos que hacían uso de ellos (Burger 2010:18)². Por otro lado, estos fueron más comunes y el liderazgo estaba concentrado en familias selectas relacionadas, quienes hacían uso de bienes de prestigio, con la arquitectura religiosa (Burger 2010:18-19).

Sobre el siguiente periodo, el Horizonte Temprano, 800-200 a.C., Richard Burger sostiene que está definido por el Horizonte Chavín, específicamente por la cerámica Janabarriu, el cual sería un fenómeno panandino de notable influencia y estaría directamente relacionado con el liderazgo que los sacerdotes ejercieron en ese tiempo (Burger 1995).

Sobre lo cual dice que

la aparición de líderes verdaderamente poderosos en los Andes Centrales debe de haber ocurrido durante el Horizonte Temprano, en conjunción con el desarrollo del culto chavín y su amplia esfera de interacción tanto en la sierra como en la costa del Perú. Es posible que estos líderes hayan sido sacerdotes especializados y capaces de transformar su autoridad en los asuntos sobrenaturales en un medio de control del trabajo de la comunidad y en una habilidad para acumular riqueza personal. La evidencia más importante de ese desarrollo es la proliferación de tumbas individuales llenas de ofrendas compuestas por elaboradas joyas de oro, alfarería importada, pigmento de cinabrio y otros artículos raros y valiosos (Burger 2010:26).

Realiza el análisis de varias tumbas de personajes de élite de este periodo para afirmar que si “los líderes de esta época estuvieron alguna vez comprometidos con

actividades mundanas de subsistencia como la agricultura, eso no es algo que se desprenda del examen de sus tumbas” (Burger 2010:32). Así, se llega a la conclusión de que

durante este periodo los líderes parecen ser sacerdotes especializados e iniciados en un mundo de conocimientos esotéricos que no era accesible al gran público. Su autoridad estaba basada en su relación especial con lo sobrenatural y fue apuntalada mediante el control de artículos exóticos, sustancias alucinógenas, y nuevas y sofisticadas tecnologías. Este nuevo poder les permitió acumular una considerable riqueza y apropiarse del trabajo de los demás para su beneficio personal. Es probable, aunque no una coincidencia, que estos cambios societales fundamentales ocurrieran en conjunción con la aparición y expansión de una nueva cosmología ligada al culto chavín. Se puede establecer la hipótesis de que un aspecto del nuevo sistema religioso era la justificación ideológica de las desigualdades materiales y el poder coercitivo. Aun cuando es posible que los líderes religiosos del Horizonte Temprano hayan cumplido también un rol en la organización de incursiones guerreras, probablemente fue secundario en relación con sus responsabilidades religiosas (Burger 2010:37).

Sin embargo, esta cronología de Horizonte Temprano tiene una gran falla y la crítica más común que se le hace a Richard Burger es que

ha demostrado que la época de mayor influencia chavín se restringe a la fase Janabarriu definida por él. Consecuentemente, el «Horizonte Chavín» se encontraría contenido dentro del Horizonte Temprano. Es confuso y especialmente ilógico sostener que el Horizonte Temprano comprenda potencialmente fases anteriores al Horizonte Chavín y —seguramente— fases posteriores a su ocaso. En conclusión, si nos atenemos a las definiciones originales, el Horizonte Temprano debería comprender solamente al «Horizonte Chavín» (Silverman 2009:433-434).

Habiendo presentado las diferentes posturas, diremos que en esta investigación consideramos que el panorama de una gran heterogeneidad cultural para el Formativo andino es el adecuado. Esto se debe a que la homogenización de las manifestaciones culturales es una simplificación de los procesos políticos, sociales y económicos. Asimismo, considerar que estos grandes cambios se dieron durante el Arcaico Tardío es atribuirle a la arquitectura monumental mayores atribuciones de las que tiene, ya que no es el único marcador de diferenciación social, ni el más concluyente.

Dentro de este gran panorama de heterogeneidad es que se ha decidido tener un enfoque en la Costa Sur, debido a que la mayor parte de los grandes cambios

mencionados para el Formativo en general se dan en la región después del 400 a.C. Así, se tiene un contexto diferente al de las otras regiones.

2.2 Contexto del Formativo para la Costa Sur y la región de Paracas:

La Costa Sur, conformada por la quebrada de Topará y los valles de Chíncha, Ica, Nazca y Acarí, presenta una situación un tanto particular en comparación con la Costa Central, Costa Norte, Sierra Central y Sierra Norte (Silverman 2009). Así, se tiene que los límites del área de la Costa Sur de los Andes Centrales:

corresponderían a la delimitación actual del departamento de Ica, según lo asume implícitamente la mayoría de arqueólogos andinistas. Esta definición corresponde específicamente al área donde finaliza el banco de neblina invernal que cubre la costa central durante el invierno, y también a la distribución espacial de tres estilos/culturas arqueológicas relacionadas entre sí: Topará, Paracas y Nazca (Silverman 2009:429-430).

Asimismo, la geografía del área, mucho más árida que las zonas al norte de esta, marca una gran diferencia, ya que los ríos no son del todo continuos y tienen algunas zonas en las que discurren por debajo del suelo, lo que significa que el manejo del agua para la expansión de la frontera agrícola, característica esencial del Formativo, responde al uso de tecnología diferente a la que existe para la Costa Central y la Costa Norte.

Si consideramos al valle de Lurín como el límite sureño de la tradición monumental característica del Formativo Temprano, es factible sugerir que la separación geográfica entre este valle y el de Cañete fue demasiado grande como para permitir la difusión de la arquitectura e ideología del Formativo Temprano desde la costa central. Aparentemente, los valles de Chilca, Mala y Asia constituyeron algún tipo de frontera cultural, en algún sentido permeable, pero de cualquier modo bastante periférica con relación a los desarrollos y procesos culturales del norte. Este complejo de valles está separado del valle de Chíncha al sur por una distancia que impidió el establecimiento de una cantidad suficiente de población que posibilitara procesos de interacción, comunicación y consecuente consolidación de una red de intercambio (Silverman 2009:445).

Para el Formativo Temprano, se tiene que

los pobladores de la costa sur se organizaron en grupos pequeños, asentados en las proximidades de los recursos básicos. No se han registrado evidencias de riego artificial, siendo aparente que los

poblados aprovecharon las fuentes naturales de agua fácilmente accesibles. Así, los sitios con cerámica temprana ubicados en zonas áridas, como Callango y la Pampa de Villacurí, probablemente se explican por la presencia de puquios. Por su parte, los moradores de Disco Verde y Puerto Nuevo se dedicaron a la pesca en ricas aguas de la Bahía de Paracas, tal como sucede hoy en día (Silverman 2009:442).

Se considera que durante el Formativo Tardío, bajo lo que se conoce como Paracas Tardío y Topará, es que se dieron grandes saltos en la complejidad cultural como sucedió en momentos anteriores para la Costa Central y la Costa Norte (Silverman 2009:459). Estos se pueden resumir en la interacción cultural que se mantuvo con el resto del mundo andino desde el Formativo Medio, el desarrollo de las élites y el intercambio de bienes suntuarios; el surgimiento de nuevas élites; fenómenos que tienen un origen climatológico (Silverman 2009:459).

Sin ninguna duda este periodo se caracterizó por un desarrollo repentino de la complejidad social en la costa sur; es legítimo pensar en señoríos o sociedades de rango similar cuando pensamos en el modelo de organización política de las sociedades de esta región, descontando el caso de Nazca que no participó en el proceso con la misma intensidad. Entre los valles de Ica, Pisco, Chincha y Cañete surgió una red de comunicación amplia e intensa, la misma que, aunque de modo diferente, se hizo extensiva a la costa central, costa norte y sierra sur.” (Silverman 2009:486)

“En este sentido, la impresión de un área algo periférica con ausencia de rasgos que caracterizan las áreas más norteñas resulta algo engañosa. Si bien es cierto que esta situación parece prevalecer hasta el tiempo del auge de los centros ceremoniales del norte, la costa sur comienza a participar en la red de interacción para consolidarse, luego, en sociedades estructuradas con papeles más relevantes en las redes de interacción. Esto ocurre cuando en el norte estos centros desaparecen, pero, como en la zona de Ayacucho, se mantienen por algún tiempo más en la sierra. En el Período Paracas Tardío, finalmente, se establece una red muy amplia de contactos con áreas distantes (más allá de Ayacucho, con la zona altiplánica y el Cuzco, así como la costa central). Las características de nucleaciones en nuevos centros que adquieren aspectos de centros urbanos o «protourbanos», también, son compartidas con la costa norte, a lo que se suma la presencia de sitios fortificados, intensificación de zonas de cultivo y canales de irrigación, desarrollo de la producción de bienes para la «exportación», etc. Esta tendencia, probablemente, está ligada a la formación de territorios políticos más marcados y la emergencia de conflictos entre los mismos (Kaulicke 2013:298).

Las manifestaciones de complejidad social y diferenciación social no están en la arquitectura monumental, ausente para la mayor parte del periodo y en la mayoría del

área, sino en los trabajos textiles y los patrones funerarios (Arranz Bocos 2001; Bennett 1938; Carrión Cachot 1931; Conklin 1978a, 2008; DeLeonardis & Lau 2004; Dwyer J. 1973; Dwyer E. 1973; Ekroth-Edebo 1990; Hald 1982; Jakes 1991; Levillier 1928; Makowski 2000, 2005; O'Neale 1932, 1935, 1942; Paul 1985, 1986, 1990a, 1990b, 1991, 1992a, 1992b, 2000, 2001, 2004; Paul & Niles 1984; Paul & Turpin 1986; Peters 1987, 1991, 2000, 2005, 2007, 2010; Proulx 1996; Saco 1978; Sawyer 1960). Sin embargo, estos cambios se manifiestan para el final del Formativo, a partir del 400 a.C. Asimismo, las pocas manifestaciones de arquitectura monumental se restringen al valle de Chíncha para este periodo (Canziani 2009). También existen estudios sobre Paracas como cultura (Isla & Reindel 2007; Paul 1991b; Proulx 2008; Tello 1959, 1979, 2009; Von Gáger 1961). En estos es posible entender que este fenómeno no se circunscribe a la península del mismo nombre y llega a abarcar buena parte del valle de Ica y hasta Nazca.

Por otro lado, Menzel, Rowe y Dawson han investigado las características estilísticas de la cerámica Paracas en el valle de Ica y las han ordenado cronológicamente mediante seriación en diez fases (1964). Esta seriación es usada hasta el día de hoy como la secuencia maestra para el orden cronológico durante los periodos Formativo y posteriores; además, no es exclusiva a la cerámica iqueña o de Paracas.

Luego, se ha intentado refinar la seriación de Menzel, Rowe y Dawson para el área de Paracas. García y Pinilla (1995) asignan la cerámica proveniente de las ocupaciones de la primera mitad del Periodo Inicial a su fase Disco Verde, que fechan entre el 1000 y el 800 A.C. Adicionalmente, García (2010) hace un balance general de la ocupación Paracas enfocándose en los sitios de Chucho, Karwa y Morro Quemado. Concluye que se trata de asentamientos de pescadores y recolectores de mariscos que estarían vinculados a las fases tres a diez de la seriación de Menzel, Rowe y Dawson (García 2010:64). Dentro de esta área cultural, se encuentra la península de Paracas. La región de Paracas ha sido definida y entendida por la mayoría de arqueólogos andinistas como el

área geográfica comprendida entre la Bahía del mismo nombre y el extremo sur de la Bahía de la Independencia. El área conforma desde 1975 la Reserva Nacional de Paracas, uno de los ecosistemas marinos más singulares y ricos del mundo que viene siendo explotado por el hombre desde hace por lo menos 9000 años atrás (García y Pinilla 1995:44).

Esta región desértica tiene ciertas peculiaridades para la evolución social de los grupos humanos que la habitaron.

Podían ser, por lo tanto, autosuficientes, y —en esa medida— mantener cierta autonomía frente a centros de poder local. Por el otro, existen abundantes ejemplos en la literatura etnográfica de grupos marginales, que precisamente por ser marginales geográficamente suelen ser también marginales socialmente. Por esta razón, ocupan una posición privilegiada en el intercambio a larga distancia. En un sentido sociológico, su autonomía y marginalidad facilitan que asuman el rol de intermediarios en el movimiento de bienes, más allá de las obligaciones recíprocas que se deben quienes habitan una misma localidad y están emparentados, o de las obligaciones redistributivas entre un jefe y el resto de la población local, que no son sino una extensión de estas obligaciones recíprocas. Probablemente, no es una casualidad que asentamientos de pescadores con ocupaciones contemporáneas a las de Puerto Nuevo, y en los que se han encontrado vasijas de cerámica de prestigio que al parecer estaban siendo intercambiadas a través de largas distancias —como, por ejemplo, Curayacu en el área desértica al sur del valle de Lurín, o Ancón en el área desértica al norte del Chillón— compartan con Puerto Nuevo una ubicación marginal, alejada de las áreas agrícolas de los valles aledaños, en caletas en las que es relativamente fácil anclar embarcaciones (Dulanto 2013:128).

Periodos anteriores al Formativo han sido investigados y documentados en esta región, como en el caso del Paijanense (Bonavia & Chauchat 1990). Además, Engel ha realizado amplias investigaciones sobre el Precerámico en toda la Costa Sur (1960, 1963, 1965, 1966, 1980, 1987, 1991).

Engel en la década de 1950 realizó excavaciones en la península de Paracas (1960, 1962, 1963) como parte de su enfoque por entender los métodos de subsistencia para las poblaciones costeras tempranas. Su enfoque fue tanto para el Arcaico como para el inicio del Formativo, llegando a veces hasta ocupaciones Nasca.

Asimismo, esta península es una de las principales fuentes de información sobre los patrones funerarios, como evidencia de diferenciación social, y del intercambio a larga distancia para el periodo Formativo de los Andes Centrales (Bennett 1948; Burger 1984, 1992, 1998, 2010; Burger & Makowski 2009; Burger & Salazar-Burger 1993, 2000; Engel 1965, 1972, 1976; Haas & Creamer 2006; Kaulicke 1994, 1998, 2008a, 2008b, 2010a, 2010b; Lumbreras 1974, 1989, 2000; Pozorsky & Pozorsky 1987; Sandweiss 2008; Silva 1999; Silverman 1996; Wallace 1973, 1975; Wardle 1944).

Esta serie de trabajos con perspectivas regionales partiendo desde Paracas fue iniciada por Julio C. Tello (1923, 1929, 1942, 1959, 1960, 1961, 2005, 2009) para

entender la importancia que tiene esta pequeña área acerca del tema de la influencia cultural y social que tuvo uno de los centros ceremoniales más importantes del periodo, como es Chavín de Huántar. Un buen resumen de lo que fue su amplia labor en la región ha sido hecho por Bueno Mendoza (1992).

Tello excavó principalmente tumbas en los sitios de Arena Blanca/Cabezas Largas y en Cerro Colorado/Warikayán (Tello 1929, 1959, 2005, 2009). Con los datos de sus excavaciones hizo, y se hicieron, numerosas investigaciones sobre los textiles, religión y mitología, geología, cerámica, arquitectura, metales y osteología humana, entre otros (León 2007b; Tello 1929, 1959, 2005, 2009). También se han realizado investigaciones sobre las famosas trepanaciones craneanas (Hrdlička 1978; Tello 1929, 1959, 2009; Weiss 1962). Sin embargo, a pesar de las sucesivas excavaciones que realizó en la región, nunca trabajó, ni registró el sitio de interés para la presente investigación, Disco Verde.

Adicionalmente, otros investigadores también han intentado usar a Paracas como una fuente para el análisis regional desde diferentes perspectivas. Unos años después que Tello, Yacovleff hizo un análisis de la iconografía presente en la cerámica Nasca y en los tejidos Paracas relacionado con las falcónidas, además de su presencia en otras culturas de los Andes Centrales (1932), para luego hacer un estudio sobre un fardo Paracas en particular junto con J. Muelle (1934).

2.3. Contexto de la pesca prehispánica para el Formativo:

Sandweiss (1996) hizo un resumen de todo el conocimiento que se tenía sobre los pescadores de los Andes Centrales desde los períodos más antiguos hasta la época incaica. Así, tiene tres grandes momentos para la pesca en los Andes Centrales: un primer momento, donde por motivos de los patrones de asentamiento, los grupos de pescadores se pueden identificar como una entidad separada de los grupos de agricultores (Sandweiss 1996:43-46). Dentro de este momento, a pesar de que está al sur de los Andes Centrales, se tiene que el único caso de estudio de una sociedad temprana de pescadores de manera sistemática es el de Chinchorro, en el cual los utensilios más parecidos a las redes encontradas en Paracas eran bolsas de redes hechas de cuerdas de material vegetal, totora, entrelazados de manera simple sin nudos; no se menciona el hallazgo de redes con nudos o hechas de algodón (Arriaza 2003:150-151; Muñoz 1985)³.

Hay un segundo momento en el cual, debido al aumento del nivel del mar, las comunidades de pescadores y agricultores entraron en un contacto estrecho, lo que desencadenó las primeras sociedades complejas de la costa conformadas por especialistas agricultores y pescadores (Sandweiss 1996:46-48); por último, un tercer momento en el que las comunidades de pescadores estaban integradas económica, política y socialmente a los principales estados andinos (Sandweiss 1996:48-54). De la situación descrita por Sandweiss, es el segundo momento el que corresponde al Formativo y al tema de la presente tesis. Posteriormente, profundizó en los grupos de pescadores del Precerámico o Arcaico en siguientes publicaciones (Sandweiss 2008, 2014; Sandweiss & Rademaker 2011). En estos trabajos el enfoque estaba dirigido a los patrones de asentamiento, de organización social, especialización y conexiones interregionales.

De igual manera en compendios sobre pesca prehispánica solo se hace un resumen de lo hallado hasta el momento de la publicación abarcando el tema de la pesca prehispánica para todos los periodos de forma general y a las redes de manera tangencial (Buse 1973, 1976, 1981)⁴.

Así, se tiene que en general a pesar de que existen investigaciones a las que se les da un gran peso a la pesca para fines del Arcaico (Moseley 1975, 2001; Quilter 1983; Shady 2006). La idea es que detrás de todo este desarrollo estaría la pesca intensiva como causante de la misma, esto a raíz de la rica biomasa que se encuentra en las costas peruanas en contraposición al desierto que es toda la franja costera de los Andes Centrales (Moseley 1975:115). Este desarrollo habría originado una explosión demográfica dando pie a lo que desencadenaría el proceso de los primeros estados en los Andes Centrales (Moseley 1975:115-119).

Para las investigaciones del Formativo desaparece este interés por la pesca. Esto lleva a preguntarse el porqué del desinterés por estudiar la relación de las poblaciones prehispánicas del periodo Formativo con el mar que tiene recursos abundantes. Sobre todo considerando, como se ha dicho líneas arriba, que es durante este momento que se incrementa el contacto entre las poblaciones de pescadores y las de agricultores. Parece ser que, salvo algunos casos, existe una desidia por ver a poblaciones menores al lado del mar, sin arquitectura monumental, ni entierros suntuosos de parte de los arqueólogos andinistas. Dentro de esta falta de investigación, es que hemos decidido plantear el problema.

Por lo cual, el escenario que se espera encontrar de acuerdo a lo expuesto sobre los Andes Centrales, y el Formativo en particular, es que haya una intensificación de la pesca, una ampliación del espectro de peces capturados, una extensión de los hábitats explotados como consecuencia de la navegación a larga distancia; esto como una manifestación del intercambio de bienes suntuarios dentro de diferentes regiones y el desarrollo tecnológico propio del periodo. Asimismo, estos cambios se darían por la presión demográfica ejercida en los grupos costeros que requieren de mayores fuentes para la subsistencia.

2.4. Problema de investigación:

Habiendo contextualizado la situación general y regional en la que se encuentra el sitio de Disco Verde, se puede pasar a describir el problema de investigación. Este consiste en identificar a través de los cambios en las redes de pesca los patrones en las actividades de pesca para el periodo Formativo. Esto, en la medida que la pesca intensiva con redes responde a una mayor demanda por recursos de subsistencia que van más allá del posible consumo que un grupo local de pescadores podría tener.

Entonces estos cambios en la actividad pesquera responderían a cambios en un nivel social en un contexto de mayor interacción por parte de los grupos agrícolas con los grupos de pescadores, como ya se ha mencionado anteriormente. En otras palabras, esta pesca intensiva es el resultado de la demanda de grupos no-pescadores que buscan el consumo de los recursos marinos que los grupos de pescadores ofrecen. Esta mayor demanda es el resultado de los cambios ya descritos para el Formativo.

Notas

1. “En Anatolia, como en muchas otras zonas de neolitización temprana –en las que se incluyen los Andes centrales-, el inicio de la producción alfarera no se relaciona con cambios relevantes en otros aspectos tecnológicos y de subsistencia. Hasta hace pocos años, el peso de la expresión «Formativo Precerámico», equivalente a «Neolítico Precerámico» y mucho más apropiado que «Arcaico Superior»” (Makowski 2006:170).

“En realidad, el mismo fenómeno de arquitectura religiosa monumental temprana trasciende de lejos este marco territorial y atañe a la mayor parte de los Andes centrales, la costa y sierra del norte y del centro, por lo que fue considerado la característica relevante del Formativo Precerámico centroandino y Arcaico Tardío” (Makowski 2006:171).

2. Teniendo como ejemplo concreto el valle de Lurín, el autor afirma lo siguiente sobre el papel de los centros ceremoniales y el liderazgo durante el periodo Inicial

En resumen, consideramos que la arquitectura monumental y el arte público del Periodo Inicial en el valle de Lurín fueron aspectos integrales de la vida sedentaria en los Andes. Su construcción y crecimiento fueron consecuencia natural de la base agrícola con irrigación sobre la que se sostenían las comunidades asociadas a tales edificios. A través de los siglos este proceso dio lugar a complejos arquitectónicos de proporciones gigantescas, derivados de sistemas socioeconómicos sorprendentemente productivos y estables, apoyados por una ideología firme y con suficiente poder para movilizar mano de obra con propósitos públicos. Era inevitable que el crecimiento poblacional durante el segundo milenio antes de Cristo produjera presiones y divisiones en la economía de los grupos humanos del valle y resultara en la ocupación de aquellas áreas del valle bajo antes deshabitadas. Así, a fines del Periodo Inicial, existían en Lurín seis complejos imponentes con planta en «U» en funcionamiento todos ellos bien ubicados a una distancia de diez kilómetros entre sí.

Tanto como centro de la vida social, cuanto como símbolo visible del nexo entre la comunidad y su pasado, la arquitectura pública proporcionó una prueba tangible de los derechos históricos que la entidad política que la hizo posible tenía sobre algunos recursos críticos, tales como el agua y la tierra. Paralelamente, propició un ambiente en el que también podían entrar en juego una serie de fuerzas sociales potencialmente destructivas, y constituyó el escenario ideal para la invocación de las fuerzas del reino sobrenatural en favor de la comunidad, así como para la solicitud de dádivas personales o servicios económicos particulares por parte de los miembros de los diversos grupo sociales durante las celebraciones estacionales realizadas en cada centro.

Uno de los factores distintivos de la prehistoria andina es el desarrollo temprano de diversos mecanismos sociales e ideológicos para movilizar mano de obra. En este sentido, la construcción de grandes complejos de arquitectura monumental, a través de la canalización del trabajo comunal, constituye un testimonio relevante de la capacidad creativa de las sociedades no estatales. Con el correr de los siglos estos patrones culturales fueron posteriormente adoptados por sociedades andinas más complejas. En este nuevo contexto las grandes pirámides y la fina escultura se convirtieron en una característica importante de la autoridad estatal y el poder coercitivo. Pese a los vínculos tecnológicos e históricos de estas construcciones tardías con los grandes complejos del Periodo Inicial, en términos socioculturales el rol integrador de la tradición andina de arquitectura monumental sufrió profundas transformaciones.

En resumen, las generalizaciones transculturales, como aquellas sugeridas por Trigger, no parecen concordar con las evidencias arqueológicas registradas en el valle de Lurín. El desarrollo de la tradición de arquitectura monumental en los Andes centrales parece haber estado íntimamente vinculado con la ideología y las relaciones de producción entre comunidades agrarias poco diferenciadas entre sí, antes que con el control de la mano de obra ejercido por las élites de sociedades estratificadas. Por ello, afirmamos que en lugar de caracterizar el surgimiento de sociedades complejas tipo Estado, la frecuencia de las construcciones monumentales en la costa central del Perú, en realidad, disminuyó con la aparición de esta entidad política, debido a que el derecho a construir este tipo de edificios se convirtió en una prerrogativa exclusiva del aparato estatal y sus instituciones religiosas (Burger 2010:35-36).

3. “La gente Chinchorro recolectaba mariscos en pequeñas pozas cerca de la playa o se sumergían en busca de especies submarinas, como lo sugiere la patología ocupacional de sus oídos. Para extraer los moluscos de las rocas utilizaban un mariscador o *chope* que es un instrumento hecho del hueso de la costilla de un lobo marino. Todavía los pescadores locales usan instrumentos similares. Para proveer una empuñadura y facilitar su uso, una de las puntas del chope se envolvía con cuerdas vegetales, mientras que la otra punta era algo afilada para poder remover el molusco de la roca y de su concha. Para recolectar sus mariscos, la gente Chinchorro usaba bolsas de redes hechas de fibras de totora. Para confeccionarlas, entrelazaban cuerdas vegetales en forma simple, y a veces, un palito de madera doblado formaba su boca. Estas bolsas, localmente llamadas “Chinchorro”, también se usaban para atrapar y guardar peces pequeños. La totora para hacer estas bolsas redes crece en la desembocadura de los ríos y puede ser fácilmente recolectada y torcida para convertirla en cuerdas. Para pescar, los Chinchorros usaban anzuelos compuestos de hueso y madera. Para hacer los anzuelos de cactus curvaban las espinas, quizás mientras estaban verdes y luego las endurecían, probablemente usando calor. Estos anzuelos de cactus tienen un pequeño mango y en la punta un gancho bien redondeado. Los anzuelos de concha eran confeccionados de un núcleo o disco cortado de una concha de “choro zapato” (*Choromytilus chorus*); el disco se desgastaba y pulía con piedras, afilándolo hasta formar un anzuelo semicircular. Estos anzuelos eran pequeños con un rango que fluctuaba entre los diez y

cuarenta mm. de largo y en una de sus puntas le embarrilaban y ataban una lienza de pesca. La forma redondeada del anzuelo de concha marina no era la ideal como gancho, pero seguramente los peces atraídos por el brillo iridiscente de la madreperla, que resplandecía en el agua, se lo tragaban y al engullirlo, eran capturados.

Para hacer los anzuelos compuestos amarraban trozos de huesos afilados, conchas o espinas de cactos y los conectaban con lienzas de pesca hechas de fibras vegetales y/o fibras de camélidos, algunas veces al parecer mezcladas con cabellos humanos. Las plumadas que ayudan a sumergir el anzuelo en el agua las fabricaban de piedras alargadas y le hacían una muesca en una de las puntas para anudar la lienza de pesca. Además, probablemente para capturar cangrejos y moluscos ataban un trozo afilado de hueso en la punta de un palo formando un gancho” (Arriaza 2003:150-151).

4. Las menciones específicas que hace a las redes como artefactos en sus publicaciones son las siguientes:

Por el año 3000 antes de Cristo, casi todos los pueblos de la Costa fabricaban redes, muchas de ellas de grandes dimensiones, para pescar desde la playa. En la fabricación de estas grandes redes entraban diversas fibras vegetales, entre ellas la fibra del cacto, que subsistió, por su bondad, durante mucho tiempo; el uso del algodón fue algo relativamente tardío y no corresponde a la época que estamos tratando.

No puede dejar de observarse una estrecha relación entre la pesca en general, pero, especialmente, la pesca con redes, y el desarrollo del arte textil. Se ha propuesto que el uso de la fibra del algodón fue favorecido por la necesidad de contar con un buen material para la fabricación de sedales y redes. La hilandería de algodón habría tenido, pues, en su punto de partida, la pesca (Buse 1973 v.1:226).

“Mientras los grupos vecinados frente al mar fueron reducidos, de pocas familias, bastó la pesca con anzuelo, pero rendido, y ese fue el que permite la red.

Desde la más remota antigüedad se usó la red para pescar. Los pueblos de la era precerámica, especialmente, por citar un ejemplo entre muchos, el que erigió ese monumento que se llama Huaca Prieta (en el valle Chicama, al pie del mar), se distinguieron desde los albores por su capacidad para tejer redes y obtener con ellas altos rendimientos para la alimentación de los grupos. Fragmentos de redes precerámicas se han encontrado en diversos yacimientos del litoral, de cuatro, cinco y seis mil años de antigüedad, y Engel tiene una muestra de Paracas de 8,800 años, que puede ser considerada como una de las más antiguas del mundo [...]

En Paracas, que fue asiento de una importante ciudad marítima de densa población, la pesca se realizó principalmente desde la playa y en menor medida desde embarcaciones, aunque, según una opinión, nada permite suponer la existencia de balsas de ningún tipo que hubieran sido utilizadas allí para la extracción de las riquezas del mar. La pesca fue con anzuelos de cobre, cuerdas o sedales y *varios tipos de redes*. Estas redes, cualquiera su tipo, eran de excelente calidad, muy resistentes y llevaban *flotadores y pesas*. [...]

Un buen momento para la industria de las redes fue el que corresponde al florecimiento de las culturas Mochica en el Norte, y Nasca en el Sur. Los testimonios arqueológicos revelan que el uso de las redes considerablemente se amplía. Este apogeo de la red seguramente se debió al crecimiento de los grupos humanos, no obstante que ellos en parte dependían para su sustento de lo que daba la tierra. Primero, vista la insuficiencia del anzuelo se recurrió a la caza masiva de los lobos, pero después, con la fabricación de grandes redes, de hilos muy firmes y para todas las pesquerías, la matanza de lobos quedó casi de lado.

La fibra principal que se utilizaba para la fabricación de redes, era el algodón. [...]

En los refugios prehistóricos, muy antiguos, de los desolados carros de Illescas (departamento de Piura), con frente al mar, León Kostrisky halló dos tipos de red: uno, de *malla anudada* (malla fija), que se caracteriza porque los nudos están separados por no más de seis milímetros, Este es el tipo de red común.

El otro tipo es de *malla corrediza* y se caracteriza porque ‘los hilos torcidos se cruzan entre sí reemplazando a los nudos’. [...]

Engel ha encontrado en Paracas redes pintadas de azul. Parece que en algunos pueblos pescadores del litoral peruano estaba generalizada la costumbre de teñir las redes, ora –comentan algunos- para engañar a los peces, ora para preservarlas mayor tiempo de la acción de las aguas. También las redes hallas por Kostritsky en los cerros de Illescas, sobre todo en la quebrada de Nunura, aparecen teñidas. [...]

La costumbre de teñir las redes y cordeles de pesca, por lo demás, estuvo muy extendida en todo el continente, especialmente entre los pueblos pescadores de las costas del lado del Pacífico. [...]

Varias fueron las clases de redes. [...]

El chinchorro era una red inmensa cuyo uso obligaba el concurso de un gran número de brazos. [...]

Había redes de arrastre, como se acaba de indicar, sujetas a dos balsas, con el borde inferior cargado de piedras; y redes pequeñas, en forma de bolsas, para pesca menor. Cuando a las playas llegaban ‘grandes manchas de peces’, tantas que hacían bullir el agua, los pescadores usaban atarrayas o esparaveles. La atarraya es una red redonda y arrojadiza, que se usa individualmente. El pescador entra al mar y trabaja con el agua a la cintura, suficiente. Ondula la red y la lanza con fuerza, lejos. Después, la va recogiendo, llena por lo general de su preciosa carga. La atarraya se usaba en las playas y en las peñas. Para las peñas había un tipo especial, que rastrea, el fondo (Buse 1973 v.2:513-519).

Lo más notable de esta época, desde luego, es la red (localizada en Paracas). Significa dos cosas, a cual más importante: primero, un logro tecnológico verdaderamente excepcional, y segundo, un paso hacia el arte textil o un apoyo hacia el perfeccionamiento de éste. Entonces: así como la pesca exigió a la tierra algodón y calabaza (o mate) para hacer cordeles y flotadores, contribuyendo al progreso de la agricultura, así también, y con el transcurso del tiempo, de la técnica de las redes anudadas habrá de derivar una fecunda incentivación para el desarrollo del arte textil. En todo caso, la red fue un estímulo para el surgimiento de esta avanzada manifestación de ingenio, destreza y laboriosidad (Buse 1976:23).

Desde luego, como ya lo hemos visto, la red existía desde los tiempos aurorales. Recuérdese la red de Paracas; no se olviden de las redes del precerámico; y agreguemos ahora aquí las redes de los desolados parajes de Illescas, en el departamento de Piura. Muy antiguas, estas redes de Illescas, descubiertas y estudiadas por León Kostritsky, revelan una avanzada técnica: unas son del tipo malla anudada o malla fija, y otras del tipo malla corrediza (‘los hilos torcidos se Cruzan entre sí reemplazando a los nudos’: tienen la ventaja de permitir ‘una mayor elasticidad para extender la red hacia el lado donde se produce la mayor presión’). La red está, pues, en los comienzos, tanto que Valcárcel cree que vino con la impedimenta del hombre asiático que hace miles de años entró por el Estrecho de Bering a poblar el Nuevo Mundo. Pero, el uso de la red, restringido al comienzo, se fue extendiendo hasta que se generalizó hace unos cuatro mil o cuatro mil quinientos años, convirtiéndose en el medio de pesca por excelencia. Un buen momento para la industria de las redes (de algodón) fue el que corresponde al florecimiento de las culturas Mochica y Nasca.

Detalle interesante es de las redes pintadas que Engel encontró en Paracas. ¿Qué finalidad tenía el teñido? ¿Engañar a los peces o preservar la malla? Dice un especialista: ‘Los antiguos sabía teñir muy bien sus redes para conservarlas durante un tiempo largo ... Se desconoce que tintes utilizaban pero es probable, que entre otros, podrían haber empleado aquellos provenientes de algún caracol marino, antigua práctica que hasta ahora es usada...’. Notables, también, son las grandes redes pintadas con geometrizados signos ictiomorfos. En el caso de éstas, el propósito de la pintura fue exclusivamente decorativo (Buse 1981:97-98).

Capítulo 3

Discusión sobre la red de pescar y metodología para analizarla

La red se puede entender como un artefacto manufacturado con cordeles para formar una malla hecha con nudos o entrelazada. El fin de esta malla es impedir el movimiento de lo que se desee mover o capturar. La idea central detrás de hacer un artefacto con estas características es que, para el caso de la pesca, la presa no se va a poder mover con libertad, ni va a poder huir fácilmente, al contrario, debido a la estructura de malla, es muy probable que se acabe enredando más, lo que facilita su explotación. En el caso de una malla para cargar algo, es más flexible y manejable que una bolsa completamente cerrada, lo que implica que el riesgo de que se rompa es menor.

De esta manera, con una definición amplia, es posible identificar incluso aquellos fragmentos que solo demuestren que conformaron una malla como pertenecientes a una red. Esta definición es consistente con todos los tipos de pesca identificados y recopilados que involucren el accionar de una red como se verá a continuación en los antecedentes de esta. Las redes pueden ser usadas para otros fines, pero aquí nos vamos a concentrar en las redes de pesca.

3.1. Antecedentes del análisis de redes:

3.1.1. Antecedentes etnográficos y de documentación histórica:

La mayor investigación realizada sobre diferentes métodos y técnicas de captura de peces es el de Otto Gabriel (2005). El investigador ha compilado treinta métodos con sus variaciones sobre diferentes técnicas de pesca en general. En estas se pueden ver tanto redes como otros artefactos ya mencionados en los casos citados, tales como arpones, trampas, canastas, anzuelos, etc. Aunque la mayoría de información recopilada es sobre métodos pesqueros para la subsistencia, también hay datos sobre la pesca recreativa (Gabriel 2005: 136-149) y los efectos nocivos que generan la depredación por parte de los pescadores sobre el ecosistema marino (Gabriel 2005:502-506).

Dentro de esta investigación, se hace un paralelo entre la caza y la pesca, así como la evolución del consumo de productos marinos (Gabriel 2005:1-11). Pero, lo más

importante para el análisis arqueológico de redes que ofrece esta investigación, es la identificación de partes que son diagnósticas para determinados tipos de pesca.

Por ejemplo, en trampas hechas a base de redes, se tiene que estas deben de estar sostenidas por marcos para que mantenga la postura requerida y pueden tener dos entradas que parecen tambores a cada extremo (Gabriel 2005:229-232). Las redes estacionarias son usadas con anclas y estacas; asimismo, requieren que la línea de fondo de la red sea mayor en alrededor de 10% de la línea superior (Gabriel 2005:278-279). La pesca con redes a la deriva implica el uso de grandes redes como una especie de muro siendo manejadas desde un bote o varios, en una línea que puede llegar a medir 10 km, en los que no se manipula la red, simplemente se la lleva en movimiento; las redes son cuadradas y tienen una línea superior y una inferior (Gabriel 2005:279-281).

Estas partes están en los extremos de la red y/o en el centro de esta, cuando se usan bolsas de red, según los tipos de pesca registrados (Gabriel 2005:83-472). Por lo cual, se tiene que la mayor parte de la malla no es diagnóstica para identificar el tipo de pesca en la medida que no provee información sobre cómo es amarrada la red o a qué es amarrada la red o qué forma tenía la red. Además, provee información importante sobre el nombre de la red según el tipo de pesca que se vaya a hacer.

Esta información sobre los nombres también se puede encontrar en las investigaciones etnográficas más recientes, las del s.XX y de los últimos años, pero en estos casos se ve la distinción del nombre de la red dependiendo de la especie a la que se va a capturar. Por ejemplo, se tiene que el “tamaño de la malla por pulgadas va a depender de la especie que se desea capturar, determinándose así el nombre de cada red: pejerreyera, cabincera, bonitera, etc.” (Oliva 1993:16). Además, también clasifica “las artes pesca” como cuatro (Oliva 1993:15); es decir, las técnicas de pesca, que son el uso de embarcación o boliche, la pesca de cortina o con red, la pesca con pinta o con anzuelo y el buceo. Adicionalmente, en otra investigación se lleva a conclusiones muy similares ya que las “formas de la pesca artesanal más usadas en la actualidad son las denominadas cordel con tres ángulos, robadera, recorrida y la red lineal” (Ortiz 2006:36).

En trabajos más antiguos (Hammel & Haase 1962) la investigación se resume en tan solo dos acápites: tecnología de pesca por un lado; diferenciación de roles y arreglos económicos por otro. Sobre las redes los autores también las clasifican por los nombres que se les da según las especies que se van a capturar, tales como bonitera, sardinera, pejerreyera, ojinovera, tortuguera (Hammel & Haase 1962:214). Asimismo,

ejemplifican la red de cortina y el chinchorro (Hammel & Haase 1962:215,217). También hacen descripciones de tres tipos de embarcaciones usadas en tiempos modernos (Hammel & Haase 1962:220-221).

Existen otros casos, pero se trata de grupos selváticos, en los que incluso los arpones, flechas y cercos, además de las redes, reciben el nombre de la especie a capturar o por la manera en que es usada (Rivas 2004:55-73, 107-130; Stocks 1983:248-254). De esta manera, estos grupos nombran a sus arpones como arpón paichetero, arpón vacamarinero, flecha menudera, flecha huahuasapa, flecha rayachupa, flecha yusuquera, flecha yateca, red trampera o templadora, red arrastradora, red hondera, red tarrafa o atarraya, red llika, cerco pari, cerco tapaje, cerco lanzón grande. Además, también pescan con caña de pescar (Rivas 2004:89-106; Stocks 1983:250), con la mano (Rivas 2004:31-42), con tóxicos naturales (Rivas 2004:43-54; Stocks 1983:249) y con lanzas y machetes (Stocks 1983:250).

Se han realizado diferentes estudios más complejos sobre los grupos de pescadores artesanales modernos en la zona de Pisco, con un enfoque particular en la Reserva Nacional de Paracas, pero estos están enfocados en la organización social de estos, la procedencia de los pescadores, sus creencias religiosas, costumbres, conflictos con el hábitat, con las industrias modernas, con el estado, relación con el medio ambiente y no tanto en las actividades de pesca en sí (García 2000). Sin embargo, existe información sobre las actividades extractivas, los procedimientos extractivos y la producción junto con las tecnologías, aunque en comparación a la totalidad del estudio sea reducida (García 2000:156-172). Estas se resumen en:

•Pesca:

- Pesca de cortina y pinta: Cojinova, corvina, cabinza, lorna, liza, pejerrey, pámpano, chita, tramboyo
- Pesca desde tierra: Lenguado, tramboyo, chita
- Pesca de boliche: Sardina y anchoveta

•Mariscos y moluscos:

- Buceo rana: Choro, almeja, concha de abanico, caracol, chanque.
- Buceo a pulmón: Pulpo
- Extracción de algas: Yuyo (García 2000:161-162).

La investigadora se refiere a la pesca de red como pesca de cortina, realizada en aguas someras; la pesca de cordel como pesca de pinta, realizada en peñas o acantilados; la pesca desde tierra es pesca con cordel desde tierra, es decir, en orilla de playa; pesca de boliche es pesca en embarcación en aguas profundas (García 2000:161). De igual manera, el buceo rana es el buceo con oxígeno en traje de buzo y el buceo a pulmón no hace uso de oxígeno (García 2000:161).

Finalmente, hace mención de los instrumentos para la pesca artesanal entre los que están las redes, las embarcaciones, las anclas y los cordeles (García 2000:166-172). Las redes las clasificó de dos maneras: por un lado según la especie que se va a pescar, ej. pejerreyera, licera, bobera, etc., y por el tipo de pesca que se va a realizar, ej. la atarraya y el chinchorro (García 2000:166-167).

Como parte de la presente investigación se obtuvo información de parte de pescadores artesanales que trabajan en el área de Paracas. Se conversó con los pescadores Martín Castillo y Eloy “Clota” Castillo, ambos con más de treinta años de experiencia trabajando en las zonas de Paracas y alrededores.

Dentro de la experiencia que tienen realizando pesca sin tanques de oxígeno, conocida como pesca “a pulmón”, afirmaron que el tamaño de la cocada de la red que se usa no importa ya que solo tiene que ser una bolsa en la que se van colocando los moluscos que se explotan. Esta bolsa, conocida como “capacho”, se lleva alrededor del cuello. Este tipo de pesca es exclusiva para moluscos. Asimismo, un buzo sin tanque de oxígeno puede llegar a sumergirse hasta siete metros de profundidad. Este tipo de pesca, por la misma manera en que se realiza, no hace mucha distinción en separar lo comestible de lo no comestible cuando se recolecta. Esta separación es realizada luego de haber pescado. Finalmente, este tipo de pesca se abandona a los cincuenta años de edad por el desgaste físico que representa.

Por otro lado, mencionaron que la temporada de pesca más alta es en verano, los meses de enero, febrero, que es cuando se captura la mayor cantidad de fauna marina. En los meses de julio, agosto, el mar está “más movido” por lo que la pesca se dificulta. Además, la pesca es rotativa en el sentido de que uno se mueve allí donde haya que capturar y se va movilizándolo en la medida que se va pescando. Otro punto es que los pescadores tienen especialidades entre ellos; por ejemplo, uno bucea en busca de moluscos mejor de lo que hace pescando en embarcación.

Por último, manifestaron que cuando ocurre el fenómeno ENSO, solamente se benefician la concha de abanico y los langostinos. Los peces migran más al sur al igual que otras especies de moluscos.

En cuanto a los antecedentes históricos, se tiene que existen guías del s.XIX sobre cómo hacer una red de pescar (Every 1845). En el mismo se explica cómo es que hay que hacer para sostener la fibra que se esté usando y crear el nudo (Every 1845:11-14); los diferentes tipos de red que conoce el autor (Every 1845:15-42); la manufactura de estas (Every 1845:43-45); cómo repararlas (Every 1845:46-49) y cómo se usan los tipos de redes descritos para pescar en el mar (Every 1845:50-54). Otros ejemplos incluyen el uso de la pesca mediante anzuelo y botes, así como descripciones de la forma de vida de los pescadores ingleses de la época (Wilcocks 1868).

Es posible encontrar guías exclusivamente diseñadas para el fortalecimiento y la reparación de las redes de pescar (Cunningham 1902). En esta guía se hace un énfasis particular en el uso de químicos para el fortalecimiento de la fibra usada, tales como sulfato de cobre, bicromato de potasa, soda, aceite de linaza, etc. (Cunningham 1902:17-62). Asimismo existen guías para hacer redes de uso casero, no para pescar (Steven 1950) o guías para el uso recreacional de redes para pescar (Becker 2013).

Al igual que con los datos proporcionados por Gabriel (2005), la selección bibliográfica de antecedentes históricos permite identificar las partes diagnósticas de una red de pescar. Es decir, ofrecen información sobre qué partes buscar para saber cómo se estaba haciendo uso de la red. El gran problema que existe para usar estos datos como analogías para la interpretación de los restos arqueológicos es que en algunos casos se trata de pesca en embarcaciones en contextos de sociedades industriales, muy diferentes al caso andino que se está analizando.

3.1.2. Antecedentes etnohistóricos:

La mayoría de los casos se tratan del estudio de los grupos de pescadores y sus costumbres, tanto sociedades tardías o de grupos de pescadores coloniales. Rostworowski (1976), haciendo uso de crónicas, pone como caso a una población del área de influencia Ychma para describir los quehaceres diarios junto con sus creencias míticas de un grupo de pescadores, pero no describe las herramientas que usaban. Pero en otros trabajos, igualmente a través del estudio de las crónicas, como el de Cervera (1988:44-46), se determina cuatro tipos de embarcaciones para el período prehispánico:

hechos con totora, que son tanto balsas como los llamados “caballitos de totora”; hechos de troncos atados; hechos con calabazas huecas, usadas para la navegación en río; y con cuero de lobo marino. Asimismo se da una descripción detallada de los elementos usados para la navegación:

El aparejo más corriente y usado normalmente en la navegación es el *remo*, que sirve para darse impulso en todas las balsas, aunque tengan vela. Estos remos eran como una larga garrocha. Los cogían por el centro y los hundían en el agua por la derecha y por la izquierda y, dándoles un pequeño impulso, obligaban, por la fuerza de la resistencia, al movimiento de la balsa. Entre los yungas era muy corriente el uso del remo de paletas terminales, sólo que de ejes cortos. Sin embargo, los navegantes de las barcas de los lagos usaban los remos sin paletas terminales.

Cuando el indio navegaba en los caballitos de totora, apenas usaba dos tablones pequeños en forma de cuchara.

El *timón*, el cual también conocían, consistía en un remo simple, que colocaban sobre la línea media de la popa de las balsas; el indio dirigía la embarcación, hundiendo en el agua su largo remo, sin paleta, y apoyándose sobre la cabecera de la popa. Al indio le bastaba, para hacer avanzar el barco, colocarse en el centro y batir con el largo remo hacia la derecha y hacia la izquierda. Las aguas tranquilas no necesitan del doble remo con paletas terminales.

El *ancla*, que conocían para fijar las balsas, era muy simple: consistía en una pesada piedra atada a un cable que se recogía en la balsa durante la travesía y que lanzaban al fondo para sujetar la embarcación.

También conocían las *velas*, que las ataban a un largo palo. Eran de algodón y solían ser cuadradas (Cervera 1988:46).

Adicionalmente, resume los tipos de pesca en tres: pesca con anzuelo, pesca con red y pesca con arpón (Cervera 1988:47-49).

Lozada & Buikstra (2002:66-70) ejemplifican como la especialización económica dentro de un grupo tardío, como el señorío Chiribaya, es típico para las formaciones políticas costeñas de la época ya definidas mediante análisis etnohistórico. Esta especialización abarca a los grupos de pescadores Chiribaya que solamente se dedican a hacer estas labores y se ve reflejado en los patrones mortuorios, basurales y rasgos óseos (Lozada & Buikstra 2002). Rostworoski (1981b; 1981c:102-103) encuentra en crónicas información, para los s.XVI y XVII, pertinente a la denominación de las redes por parte de los pobladores prehispánicos para diferentes regiones de la costa de los Andes Centrales.

En Trujillo decían *cahuan* a una red para pescar peces y crustáceos en ríos y lagunas; se componía de dos cañas laterales. También con las redes fabricaban unas bolsas para diversos usos llamadas *caban*, entre otros para depositar los *muymuy*; a otra bolsa decían *calcal* y la empleaban para mariscos y peces pequeños, el vocablo era usado en Huanchaco y Lambayeque (Rostworoski 1981c:102-103).

Con el conocimiento del algodón se desarrolló una amplia modalidad en la fabricación de redes de acuerdo a sus usos y modos de pesca. A través de los testamentos de indígenas de Lambayeque conocemos los nombres y el empleo de nueve variedades de redes, ellas son las siguientes:

Cara	para pescar angelotes (<i>Squatina armata</i>)
Nip	para pescar sardinas (<i>Sardinops Sagax</i>)
Farta o fartu	para coger rayas (familia: <i>Rajidae</i> ; <i>Myliobatidae</i> ; y <i>Urolophidae</i>)
Yzic	
Ticta o xicta	
Xllum	
Tuma	
Hucia	

Además de redes conocemos la voz para las sogas largas a las que decían *Ud*. Para la costa central sólo tenemos dos nombres mencionados en testamentos de naturales del curacazgo de Surco en Lima. A un tipo de red decía *valtam* y a otra más pequeña *catcha*.

Los distintos apelativos indican el uso que se les asignaba, es decir el tipo de pez que se deseaba atrapar. Aún hoy día, en la pesca artesanal dan a las redes el nombre del pez para el cual están destinadas (Rostworoski 1981b:26-27).

3.1.3. Antecedentes arqueológicos:

Desde las excavaciones pioneras se tiene que los investigadores se han dedicado a listar el material recuperado relacionado a la pesca. Así, Junius Bird en el sitio de Huaca Prieta encontró diferentes tipos de materiales y herramientas relacionados tanto al trabajo textil en general como a la pesca en particular (1992). Así, encontró pesas líticas para redes (Bird 1992:82); material de cestería que fue descrito tanto en forma como en técnicas y relacionado con la cronología y estratigrafía del sitio (Bird 1992:92-100). Por otro lado, el material textil recuperado de sus excavaciones fue clasificado por fibras (Bird 1992:101-105); se describió la producción y la estructura del hilo (Bird 1992:105-112); las técnicas de fábrica que fueron el entrelazado, siendo este el mayoritario de la muestra, el tejido propiamente dicho, la gaza, la red y las cuerdas y madejas (Bird 1992:112-145, 191-219). Las redes las dividieron entre redes de cocada

grande y cocada pequeña; encontró 108 redes de cocada pequeña y 234 redes de cocada grande (Bird 1992:207-208). Finalmente, dentro del material relacionado a la pesca que se recuperó en Huaca Prieta, están los anzuelos, que fueron solamente tres, dos hechos de espinas y uno hecho de concha de molusco (Bird 1992:220).

Otro ejemplo es el de Rosa Fung, quien dentro del material recuperado en Las Aldas encontró artefactos relacionados con la pesca (1969). Ella encontró un grupo de doce anzuelos hechos de concha a los que fecha como “anterior a la llegada del complejo Chavín” (Fung 1969:29). Asimismo, concluye sobre la proveniencia de este tipo de anzuelos que la “distribución temporal y geográfica de los anzuelos sugiere que en Las Aldas es un elemento cultural que vino del sur y no del norte. Son ausentes en Huaca Prieta, Chicama, no se les ha identificado durante el período cerámico de Guañape, en Virú, en cambio en la costa central son frecuentes en una secuencia continua desde el pre-cerámico sin algodón hasta la aparición de la cerámica” (Fung 1969:40).

En los trabajos que realizó Engel en Chilca y en otras partes de la Costa, encontró material relacionado a la pesca (1962: lámina 15, 49, 1966:120, 1980, 1987:21, 37, 74-79, 1988:29-30), pero desgraciadamente no fue parte de un análisis a profundidad, solo están catalogados.¹

Hudson (2004) hizo un estudio de los flotadores hechos en base a calabazas. Usó tanto evidencia arqueológica como etnográfica para sustentar la factibilidad de estos artefactos. Sandweiss en solo una de sus muchas publicaciones presenta información sobre material de pesca tales como anzuelos y pesos, pero no redes (Sandweiss 2014). Amano (1976) tienes datos importantes sobre el posible uso que se le dio al tinte de las redes:

El teñido de las redes, es posible que se haya iniciado poco después de la invención de la red de pesca. Los antiguos tuvieron conocimiento de que las redes de pesca, de color blanco natural, eran distinguidas a los lejos por los peces, quienes lograban huir. El motivo que los indujo a teñirlas, posiblemente, ha sido la factibilidad de acercamiento a los peces con redes de color no notables. De allí la necesidad de imitar en los colores de la red, el color del fondo marino, el de las rocas, el de las algas, y otros; apareciendo así, los colores pardo, pardo amarillento, y plomo oscuro. Con el transcurso del tiempo, llegaron a elaborar redes de color violeta y añil claro, colores muy semejantes al agua marina. Pero en estos casos, cada red, era teñida solamente de un tono o sea redes monocromas teñidas.

Las redes monocromas eran de dos tipos: unas teñidas después de tejidas y otras tejidas con hilos previamente teñidos (Amano 1976:79).

Sin embargo, para otras partes del mundo, el análisis de los grupos de pescadores tanto tempranos como tardíos tiene un enfoque en los patrones de comportamiento de estos como en las herramientas, incluyendo a los distintos tipos de redes que se usaban, además de responder a los problemas metodológicos y teóricos (Bekker-Nielsen 2010; Maarleveld 2010; Martinussen 2010; Trakadas 2010a, 2010b) que puedan surgir. Así, Morales identifica cuatro tipos de redes que fueron usadas durante la prehistoria como los tipos más representativos; estos cuatro tipos son la red de mano, la red de malla, la atarraya y la red de cerco (2010:41-44). Adicionalmente, advierte sobre posibles problemas para la interpretación ya que diferentes tamaños de redes pueden usarse para pescar la misma especie en la medida que va creciendo; asimismo, un mismo tamaño de anzuelo puede ser usado para pescar varias especies de tamaño similar y, finalmente, hace un llamado a no tomar a las analogías del presente como material concluyente para entender el comportamiento de los pescadores del pasado (Morales 2010:45-52).

Pero esta información al ser contrastada con la presentada en los puntos anteriores se puede considerar que es un poco exagerada en el sentido de que no solamente se tienen datos etnográficos actuales sobre la denominación de las redes, sino, también datos etnohistóricos, por lo que la relación de la red con un nombre, un tipo de pesca y una especie en particular sí es una constante. Aun así, la advertencia de Morales es válida en la medida que ayuda a no caer en suposiciones a priori sobre el material arqueológico.

3.2 Metodología de análisis para todo el material textil:

Se parte de analizar todo el material textil para no excluir posibles casos problemáticos de redes y para entender mejor como las técnicas textiles en general usadas en Disco Verde se relacionan a las técnicas de redes; qué subgrupo de variables textiles es usado en las variables de redes.

Este método fue diseñado específicamente para poder responder a la pregunta de investigación planteada en el capítulo anterior. Con esto se espera medir todas las variables relacionadas a la forma y función de las redes de pescar, las cuales se

describirán a lo largo de este punto. Antes de proceder al análisis mismo del material textil, se tiene que hacer una limpieza de este. La limpieza consiste en retirar todo sedimento que pueda haber quedado adherido a los textiles mediante el uso de pinceles, brochas suaves y bombillas pequeñas. Una vez realizado esto, se procede a remojarlos en agua destilada para que el textil al momento de ser secado pueda recuperar su forma original, además de que el agua destilada permite eliminar las adherencias que de manera mecánica no es posible, tales como las sales. Finalmente, este proceso previo culmina con el planchado al frío de los materiales para que no pierdan la flexibilidad que han recuperado al haber sido sometidos al tratamiento con agua destilada.

Una vez terminada la limpieza se procede al análisis en sí. Para lo cual se han creado tres grandes categorías de material textil: los hilos, las redes y los textiles. La metodología empleada en el análisis de los materiales, de acuerdo a la categoría respectiva, consistirá de una diagnosis general, según la técnica de manufactura y el tipo siguiendo los planteamientos de Irene Emery (1980).

En el caso de los hilos se manejan las variables de grosor (mm); largo (cm); torsión, retorsión, material con el que ha sido hecho y color del hilo. El grosor se medía con calibrador electrónico y el largo con regla.

El largo se mide solo para la identificación del fragmento en la medida que es una variable que indica la conservación del material arqueológico; a menos que el hilo recuperado esté completo, así sirve como una variable para la comparación. Por otro lado, la torsión y la retorsión tienen que ver con el estilo de hacer el hilo. Son variables que indican hábitos de las poblaciones prehispánicas al momento de trabajar un textil. El grosor es una variable estilística y funcional, pero más funcional que estilística debido a que en el grosor existe un costo-beneficio; esto se debe a que una población puede hacer hilos más delgados o más gruesos por costumbre o por necesidad de los artefactos que crea. Asimismo, el material también da información sobre el estilo y probablemente, podría dar información sobre intercambio en la medida que se trate de algún tipo de material que no es local. Finalmente, el color es otra variable de estilo que puede llegar a ser funcional.

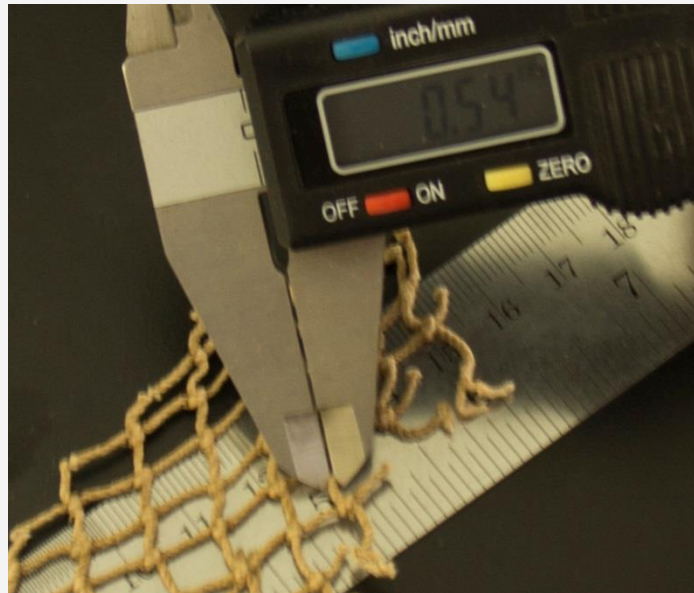
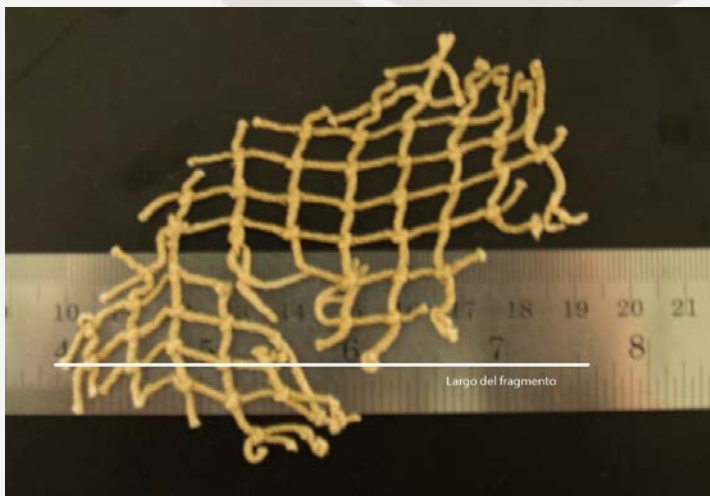


Figura 1. Medición del grosor del hilo.

Para las redes, además de las variables que tienen los hilos, se considera el largo y ancho de la red (en cm) sin estirla después de que ha sido planchada al frío; el perímetro de la cocada de la red (en cm) y la diagonal de esta (en cm), junto con el diámetro, en cm, en caso de las bocas de las bolsas que han sido creadas como redes. Estas mediciones son hechas con una regla.

El largo y el ancho son variables que responden a la conservación del fragmento y se miden para diferenciar los fragmentos entre sí; es decir, no son variables que respondan a la pregunta de investigación, a menos que se trate de redes recuperadas que estén completas. El perímetro de la cocada es la principal variable de la red porque es la que ofrece los datos



necesarios para poder hacer una clasificación y una relación de las redes según el tipo de especie que se está pescando. En otras palabras, es la guía para ver el tamaño de lo que se pesca.

Figura 2. Medición del largo máximo del fragmento de red.

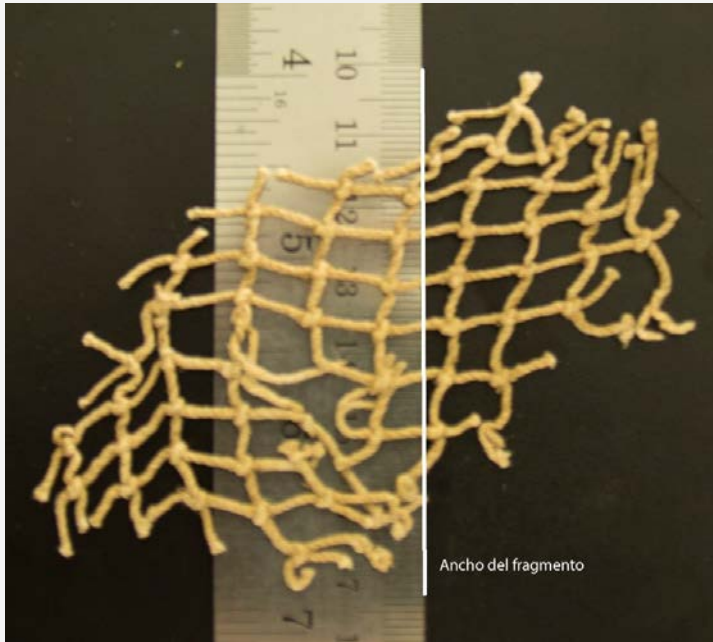


Figura 4. Medición del ancho máximo del fragmento de red.

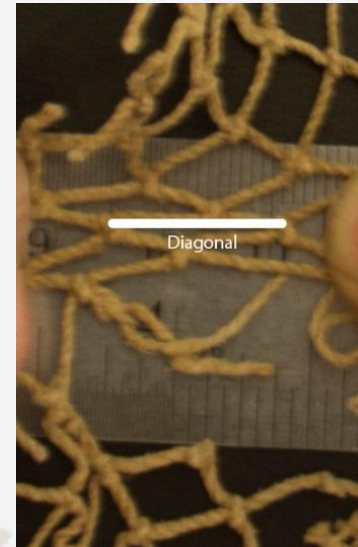


Figura 3. Medición de la diagonal de la cocada.



Figura 5. Medición del perímetro de la cocada.

Además, se considera el ancho y largo (en cm) de los nudos, medidos con calibrador electrónico, y los tipos de nudos siguiendo la clasificación que ha hecho Emery (1980) agregándole tres subtipos del nudo simple. Se entiende como nudo un entrelazamiento de los extremos de un hilo o una cuerda que se cierra, lo cual hace que no sea fácil que se deshaga por sí mismo.

El tipo de los nudos, al igual que variables anteriores, responde a consideraciones estilísticas y funcionales. En otras palabras, el tipo de nudo puede depender de la forma en que se acostumbraba anudar, así como el tipo de red para

la que se estaba anudando. Asimismo, el ancho y largo del nudo son una respuesta tanto al grosor del nudo como a la tendencia de anudar la red; puede haber nudos de un mismo tipo en el que unos sean más sueltos que otros y, por ende, tienen un mayor largo y ancho.

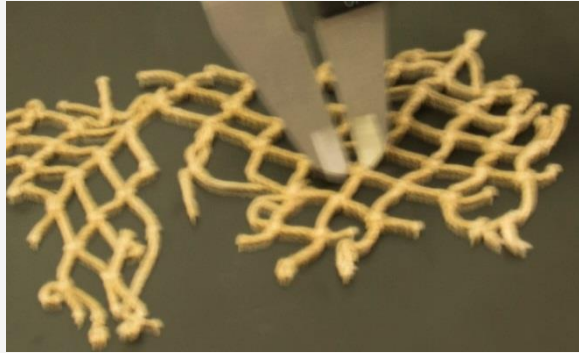


Figura 6. Medición del largo del nudo.

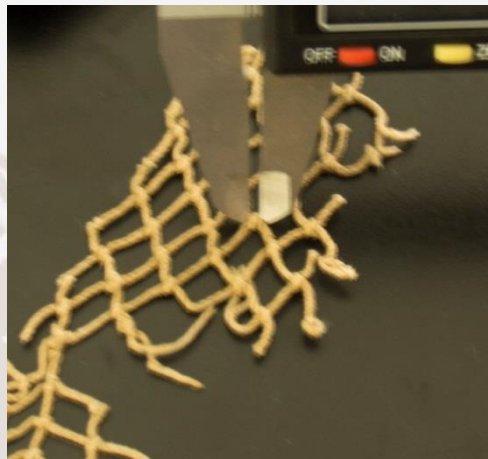


Figura 7. Medición del ancho del nudo.

Los tipos de nudos descritos por Emery son:

- Nudo simple: se describe como la forma más simple para asegurar un hilo o una cuerda alrededor de otra similar (Emery 1980:34). De este tipo se desprenden tres subtipos más que son los que hemos agregado. El primer tipo que no menciona Emery es el nudo doble que se hace de la misma manera que un nudo simple, pero después de la primera vuelta se le hace una más, lo que le da la apariencia de ser dos nudos en lugar de solamente uno. El segundo tipo derivado del nudo simple es el nudo triple que se hace de la misma manera que un nudo simple, pero después de la primera vuelta se le hacen dos más, lo que da la apariencia de ser tres nudos en lugar de solamente uno. Finalmente, el tercer tipo derivado del nudo simple es el múltiple; al igual que los dos tipos anteriores se hace de la misma manera que un nudo simple, pero este nudo tiene más de tres vueltas, lo que le da un aspecto complejo como si el hilo restante para hacer la

red hubiera sido utilizado en la creación de este nudo. Todos estos tipos de nudos tienen caras disímiles y son asimétricos.

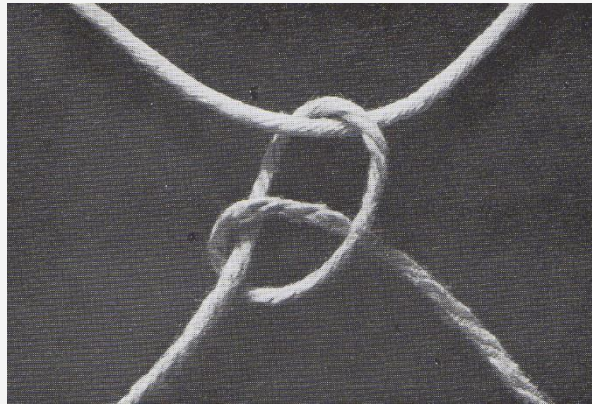


Figura 8. Nudo simple (tomado de Emery 1980:34).

- Nudo corredizo: se describe como un nudo con cierta movilidad el cual se reduce de tamaño al tirar de uno de los extremos; tiene una estructura asimétrica y dos caras disímiles (Emery 1980:35).

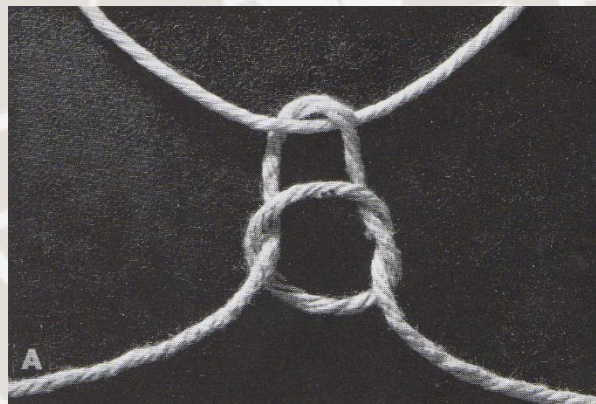


Figura 9. Nudo corredizo (tomado de Emery 1980:35).

- Nudo de ojal anudado como lazo: se describe como un nudo que está compuesto por un nudo simple amarrado a otro hilo o cuerda, al cual en la base de este se le ha creado un segundo nudo simple para darle mayor seguridad. Es un nudo asimétrico y las dos caras son disímiles (Emery 1980:36).

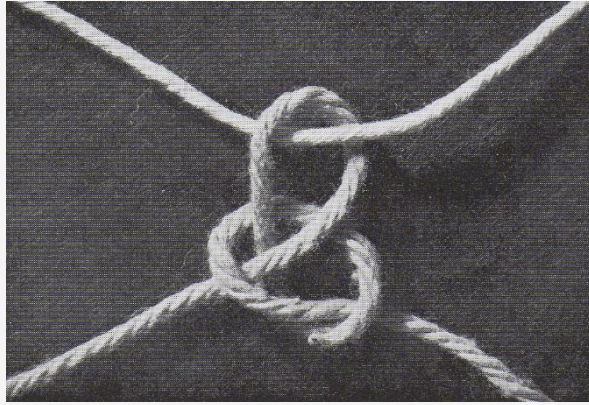


Figura 10. Nudo de ojal anudado como lazo (tomado de Emery 1980:36).

Imagen 1.

- Nudo ballestrinque: se describe como pasar el mismo hilo dos veces seguidas sobre otro, pero sin amarrar directamente una pasada sobre la otra. Es un nudo asimétrico y las dos caras son idénticas (Emery 1980:36).

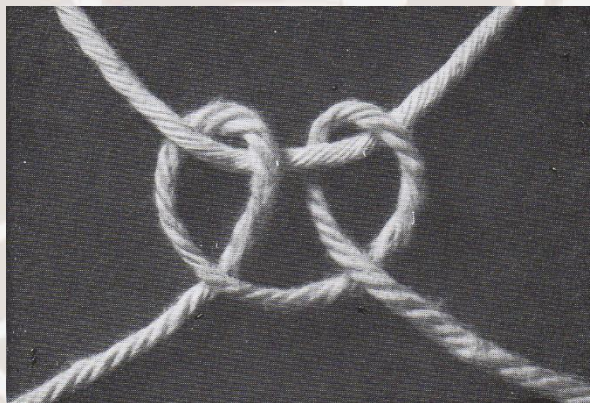


Figura 11. Nudo ballestrinque (tomado de Emery 1980:36).

- Nudo de vaca: se describe como casi idéntico al nudo ballestrinque, la diferencia está en que las dos pasadas del nudo ballestrinque son en la misma dirección, mientras que en el nudo de vaca son en direcciones opuestas. Esto lo hace un nudo simétrico con caras disímiles (Emery 1980:36).

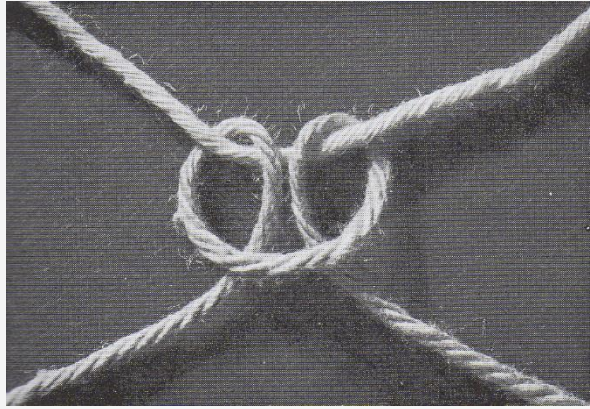


Figura 12. Nudo de vaca (tomado de Emery 1980:36).

- Nudo cuadrado: se describe como similar en la dirección del hilo al nudo de vaca, pero en este caso, el hilo al cual se está amarrando el primero también le da forma al nudo, por lo cual el nudo cuadrado tiene una forma fija y no suspendida (Emery 1980:37). Además, es simétrico con las dos caras idénticas.

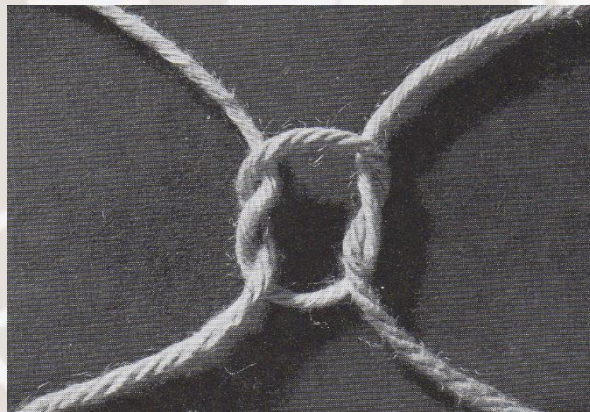


Figura 13. Nudo cuadrado (tomado de Emery 1980:37).

- Nudo “de la abuela”: se describe como un nudo cuadrado, pero el hilo no sigue la misma dirección en las dos pasadas que se realizan para crearlo; por lo cual es un nudo asimétrico con dos caras iguales (Emery 1980:37).

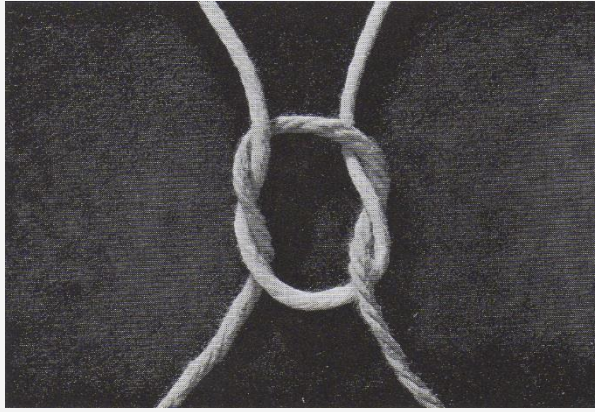


Figura 14. Nudo “de la abuela” (tomado de Emery 1980:37).

- Nudo de tejedor: se describe como un nudo de múltiples variaciones parecido a un nudo simple con la diferencia de que el hilo al que se está amarrando el nudo también conforma el nudo de tejedor (Emery 1980:38). Es un nudo asimétrico con caras disímiles.



Figura 15. Nudo de tejedor (tomado de Emery 1980:38).

- Nudo de red de pesca: se describe como la unión libre de dos cuerdas en el cual ambas participan para la creación del hilo. La forma en que se pasa una cuerda por la otra varía notablemente y el nudo es asimétrico con caras disímiles (Emery 1980:38-39).

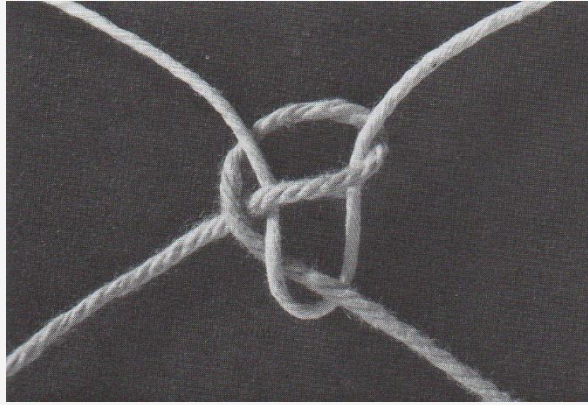


Figura 16. Nudo de red de pesca (tomado de Emery 1980:39).

Así, en una secuencia paso por paso, se tendría el orden siguiente:

- Se realiza la limpieza mecánica del material textil.
- Se remoja el material en agua destilada.
- Se plancha en frío el material textil.
- Se clasifica el material en hilos, redes o textiles.
- Se comienza analizando los hilos. Las variables que se miden son grosor (mm) y largo (cm). Las variables que se registran son la torsión, retorsión, material con el que ha sido hecho y color del hilo.
- Se analiza las redes. Se inicia con las características del hilo de la red, para luego medir las variables propias del fragmento de red como son la cocada (cm), diagonal (cm), diámetro (cm). Asimismo, se registran las variables de tipo de nudo y se miden el largo (cm) y ancho (cm) de este.
- Se analiza los fragmentos de textil. Donde se miden y registran las variables propias de los hilos, junto con las de los fragmentos de textiles.

Finalmente, cada red tiene una medición adicional que se basa en la conservación de esta y que busca estandarizar la muestra con fines comparativos. Para el caso de las redes que tienen cocada, se mide el área que ocupa la red; para las que no la tienen, se mide el largo total del hilo usado. Así, se puede estandarizar la muestra debido a que no es lo mismo que un estrato tenga diez fragmentos de redes que ocupan cien cm² en total, a uno que tenga diez fragmentos que ocupan 1000 cm² en total. El segundo caso tiene una mayor área ocupada por las redes por lo que tiene una mayor cantidad de redes, a pesar de que ambos estratos tienen el mismo número de

fragmentos. El área se mide colocando la red sobre una hoja de papel milimetrado y dibujando el contorno de esta. Luego, se cuenta cada centímetro cuadrado completo dentro del contorno dibujado como uno, mientras que cada centímetro cuadrado incompleto se cuenta como un medio. Esto se realiza de manera sistemática para todos los fragmentos con cocada.



Figura 17. Ejemplo de red sobre hoja de papel milimetrado para medirle el área.

De manera similar sucede con los fragmentos sin cocada. Un estrato puede tener diez fragmentos que luego de ser medidos suman 100 cm de largo total de hilo y otro estrato puede tener diez fragmentos que sumados miden 10 cm de largo total de hilo. El primero va a tener una mayor cantidad de hilo, por lo que comparativamente tiene un mayor uso de red que el segundo. Se lleva a cabo midiendo con una regla el largo total del hilo de cada red sin cocada. Esto se realiza de manera sistemática para todos los fragmentos sin cocada.

Una vez analizado todo el material textil, se crearon tipos dentro de cada categoría que fueron analizados cuantitativamente para ver si es que son constantes o no

a lo largo de la secuencia de ocupación del sitio. Especialmente en el caso de las redes que son la base de la presente tesis.

Dentro de los análisis cuantitativos, el primer paso que se hace es obtener la densidad de las redes estrato por estrato, que se consigue mediante la división del área o largo del fragmento de red por el volumen del estrato. Esto para poder tener una muestra estandarizada y comparable entre sí.

Luego, se presentan los datos del análisis de tipo de las redes; es decir, las variaciones de torsión y retorsión junto con el material usado para su elaboración, incluyendo los hilos sueltos que pueden proceder de redes, además de las diferencias en tamaño de cocadas y cantidad de tipos de nudos presente en los fragmentos de redes.

Después se busca ver las diferencias y similitudes de todas estas variables entre fases. Es importante recalcar que el estrato 0 ha sido dejado de lado de todo este análisis debido a que este es desmonte que está compuesto por material mezclado y removido de las excavaciones de Frederic Engel. Finalmente, se hace una comparación con el material recuperado del sitio de Karwa y con los datos de fauna marina que se tienen para ambos sitios.

Notas

1. Engel solo muestra fotos de las herramientas de pesca en sus publicaciones; ej. ver figuras en 1987:21, 37, 74-79, o hace un listado de ellas; ej. ver tabla en 1988:29. En el caso de los textiles, incluyendo las redes de todo tipo, Engel siempre hace cuatro clasificaciones:

Los cuatro principales tipos de telas que se hacían en el Perú antiguo: A) Entrelazado: varios conjuntos de hilos amarrados por tramas cruzadas.

El tipo A es diagnóstico de los horizontes precerámicos: desaparece cuando se usa la alfarería, salvo para fabricar esteras.

B: Anillado: un solo hilo forma la tela, sin nudos.

El tipo B es también típico del pre-cerámico, pero sigue sirviendo para hacer bolsas en los horizontes posteriores.

C: Red: un solo hilo, pero con nudos formando mallas. Las redes siguen iguales en todos los horizontes.

D: Ondulado: 2 hilos perpendiculares, la urdimbre y la trama, se pasan alternativamente por encima y por abajo.

Las telas onduladas se usaban muy poco, y muy pequeñas, antes de que se usara la alfarería (1966:120).

el anillado, de un hilo con nudos para crear redes de carga o pesca;

– el anillado, de un hilo pero sin nudos, para dar forma a bolsas o gorros;

– el entrelazado, la técnica de base para armar paños y esteras; aquí las tramas se cruzan entre cada montante o “urdiembre”.

– también existió el ondulado, el tejido moderno donde las tramas pasan alternadamente por encima y debajo de cada urdiembre. El ondulado aparece en pequeña proporción durante la fase final del precerámico; reemplazará al entrelazado en la vestimenta, en el momento de la

aparición de la cerámica; eso es un índice más que puede indicar a los inmigrantes ya acostumbrados a utilizar vajilla y telas onduladas, en lugar de paños entrelazados (1987:74-79).

Entrelazado: Es la técnica donde se arman urdimbres en fila por encima de un hilo templado que formará después la bordura alta.

Con dos hilos formando tramas se entrecruzan las urdiembres, sujetándola. Al concluir una línea se vuelve a entrelazar en sentido inverso.

Anillado: Donde un hilo continuo va formando anillos que se van fijando en la fila que los antecede.

Anudado: Es un tejido anillado con nudos, "redes".

Ondulado: Es el tejido moderno con tramas pasando debajo, luego encima de las urdiembres (1988:30).

Hay un solo caso en el cual Engel realiza una descripción de la actividad pesquera periodo por periodo, pero es una descripción para toda la Costa de los Andes Centrales, no es específica para Paracas o para el sitio de Disco Verde:

La recolección de mariscos (conchas, caracoles, cangrejos y otros) ha sido básica para la alimentación de los peruanos prehispánicos. Desde el momento que encontramos hombres en la Costa, ya se nota que vivían rodeados de basurales conteniendo mariscos: los mariscos reemplazan la carne, de la cual siempre hubo escasez.

Es por los basurales cubiertos de conchas que se nota principalmente en la Costa, la existencia de un sitio prehistórico.

Estos basurales cubren pueblos, casas, y no a menudo, tumbas. Forman conjuntos y trazos de los más valiosos para el estudio del hombre prehistórico.

La recolección de mariscos duró hasta los tiempos incaicos, y más lejos aún. A veces, se puede dar una fecha a un sitio por la naturaleza y el tamaño de las conchas que contiene el basural. Las especies sigue igual que hoy, pero los bancos de conchas se mueven; hay épocas, por ejemplo, con choros azules grandes; otras con choros azules pequeños; otras donde principalmente se encuentran Mesodermas (Asia) o Pecten (Otuma).

El Espondylus ha sido traído tarde; viene mucho después del Chavin; parece un elemento de trueque llegado del Ecuador.

Un estudio de la evolución de los métodos de pesca también brinda datos en cuanto a la edad de un sitio. Los precerámicos de hace 5,000 a 1,000 años pescaban con anzuelos de conchas. Poco usaban las redes; empleaban pequeñas "atarrayas". En el Chavín los anzuelos son de hueso; fue después de cinco siglos que se llegó a usar anzuelos de cobre.

Con la cultura Mochica en el Norte y la de Nazca en el Sur, se amplía el uso de las redes, las cuales son entonces más grandes. Pero la pesca continúa con líneas y anzuelos, desde la playa o de las peñas.

Restos de peces se encuentran en los basurales, donde hay huesos de: rayas, cazones, corvinas, cojinovas, guitarras, anchovetas, pintadillas (en forma general, peces de agua poco profunda y que se pescan desde la Costa).

En los ríos de la Selva, todavía se pesca con dardos, y este procedimiento no debe ser moderno. Poco se sabe de la pesca en el mar y del uso de canoas y barcos. El uso de "balsas" o flotadores de totora y otras cañas es comprobado por los Cronistas; se sabe que así viajaban los Chimú hacia el norte, para trocar algodón, sal y otros productos. Este hecho ha sido comprobado en los últimos tiempos prehispánicos, pero de lo anterior se sabe poco; sin embargo, aparecen escenas de pesca desde balsas en la cerámica Mochica.

También no se sabe mucho del uso del harpón y de trampas y cajones para la pesca. Conocemos trampas para cangrejos y camarones; es decir, que el sistema era conocido. Pero en cuanto al harpón, con dardo y punta movible, una de las tres armas usadas por los esquimales, no se sabe nada con seguridad; sin embargo, tenemos, de algunos sitios, muy antiguos implementos que podrían haber sido utilizados con este fin. [...]

En la Costa, se aprovechaba en gran cantidad el lobo de mar. Hay abundantes restos de lobos sacrificados en todos los yacimientos antiguos, hasta que la pesca con redes grandes reemplaza la matanza de los lobos. Cazar lobos no es un problema; es suficiente un bastón. Pero en los basurales también se encuentran huesos de cachalotes, ballenas, delfines, "orcas", etc.; no se sabe si, o como los cazaban. El cachalote aparece en la cerámica y en los tejidos de la cultura Nazca; parece que tenía un papel importante, quizás como enemigo de pueblos cazadores, por sus actos o instintos depredadores o destructores.

En ciertos platos Nazca, se perciben pescadores cargando una red a la espalda y teniendo en la mano una especie de bastón o pico blanco. Puede ser un pico de hueso de ballena usado para matar al cachalote (1962:49-50, 51).

Capítulo 4

Descripción del sitio, del área de excavación y de la estratigrafía

4.1 Ubicación:

El sitio arqueológico de Disco Verde se encuentra ubicado dentro del área de la Reserva Nacional de Paracas (Engel 1991:40-42; ver figuras 1 y 2). Las siguientes son las coordenadas que conforman la poligonal del sitio según las ha determinado el PIA Paracas en el levantamiento topográfico de este (ver figura 3):

Vértice	Este	Norte
A	358000.00	8471000.00
B	359038.20	8471000.00
C	358817.52	8470000.00
D	358000.00	8470000.00

Tabla 1. Coordenadas de los vértices del sitio de Disco Verde.

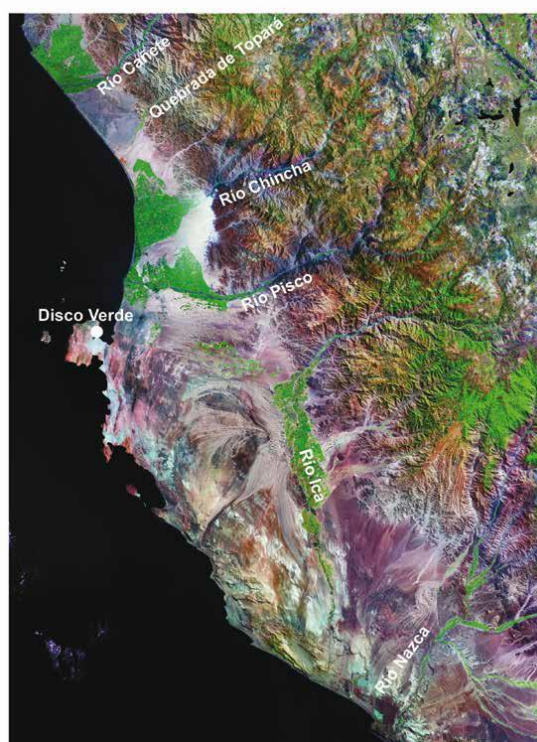


Figura 18. Ubicación del sitio de Disco Verde (Dulanto y Accinelli 2013:138).



Figura 19. Foto aérea de baja altura del sitio de Disco Verde (Dulanto y Accinelli 2013:139).

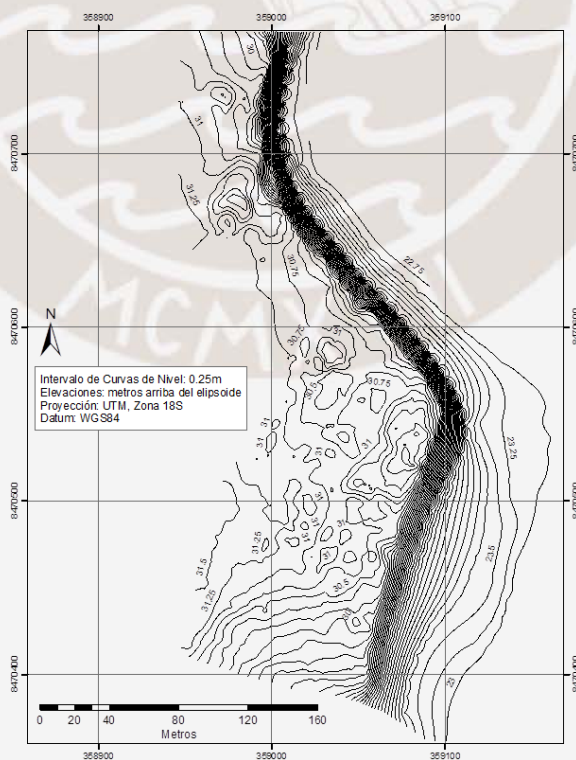


Figura 20. Plano topográfico del sitio arqueológico de Disco Verde. Datum WGS84 (Zona 18 S). Elaborado por Jalh Dulanto.

Asimismo, el PIA Paracas ha determinado como coordenadas UTM referenciales del sitio las siguientes: 359050E y 8470530S. De igual manera, al momento de hacer la prospección en el sitio se ha determinado que este solamente tiene un sector que es una gran concentración de pequeños montículos de conchales sobre la superficie actual. Se puede ver como una aglomeración de suelo blanco en el mosaico fotográfico del sitio (ver figura 2).

Para llegar a este, uno debe de pasar la garita de seguridad que existe a la entrada de la Reserva Nacional de Paracas y seguir la carretera en dirección al muelle que está en la península. Antes de llegar al muelle hay un desvío hacia playa Atenas. El sitio está en el tablazo adyacente y sobre la playa (Dulanto 2012:8-9).

4.2 Descripción del sitio:

El PIA Paracas ha determinado que el sitio tiene aproximadamente 300 m de largo (norte-sur) por 100 m de ancho (este-oeste) y alrededor de tres hectáreas de área. Este está conformado por varios montículos blancos a la vista debido a las conchas de moluscos que han perdido su color por el sol. Estos montículos son evidencia de explotación sistemática de los recursos marinos de las playas adyacentes al lugar.

Además, el sitio tiene tres construcciones modernas en la parte oeste de este (ver figura 2) y ha sido usado sistemáticamente como letrina y basural por los pescadores modernos. Al contrario de lo que se podría pensar, estas estructuras no aparenten haber dañado significativamente el sitio debido a que la mayor concentración de los montículos o conchales está para el lado este cerca del tablazo, ni los malos hábitos de los pescadores parecen haberle hecho mayor daño. Esto se debe a que las perturbaciones modernas son superficiales. Lo único que es visible que haya cambiado la matriz arqueológica del sitio son las excavaciones de Engel. Estas no fueron tapadas una vez terminada la excavación, por lo cual es muy fácil distinguir las cuadrículas que excavó junto con los desmontes que acumuló al lado de ellas. Esto fue lo que permitió su identificación para dar inicio a nuestra excavación como fue descrita en el capítulo anterior.

Estas excavaciones llevadas a cabo en el sitio han permitido identificar ocupaciones del Periodo Inicial, el Horizonte Temprano y el Periodo Intermedio Temprano (Engel 1991:40-42). De igual manera, el dibujo de perfil que hizo del sitio también sirvió como guía para la excavación realizada.

4.3 Antecedentes del sitio:

El primero en registrar el sitio fue Engel (1963b, 1966, 1991), quien le asigna el código 14a VI 90 y denomina Disco Verde. Sus excavaciones en el lugar revelaron la existencia de una secuencia de estratos producto de sucesivas ocupaciones entre el Periodo Inicial y la primera mitad del Periodo Intermedio Temprano.

Engel en sus investigaciones en el sitio determinó que “la gente era pescadores y cazadores de lobos; vivía en pequeñas chozas de madera; todavía se encuentran fuertes palos de sauce y de otras maderas aferrados con muritos bajos de piedra; colcas que habían sido excavadas en la roca podrida por la humedad del subsuelo” (1966:131)¹. Asimismo, es en Disco Verde que se define el estilo cerámico del mismo nombre, el cual es “una alfarería sencilla, generalmente de color marrón castaño” (1966:134) que tiene una “pasta color chocolate con decoración negativa de círculos preservados por aplicación de una sustancia, con la finalidad de que no se oscurezcan durante la cocción; también se notaba decoración obtenida por frotación con pigmento rojo” (1991:120).

Engel definió cuatro momentos para la ocupación en la bahía de Paracas:

- a) Un ‘Paracas’ temprano, transitorio entre el Chavín y un arte más típicamente regional; es la cultura de ‘Disco Verde, con fecha radio carbono de 700 años a. de C.;
- b) Una fase típicamente regional, con alfarería incisa y pintada después de la cocción es la cultura ‘Cavernas’ de Julio C. Tello. [...] Los pueblos de esta fase consisten en agrupaciones de casas con muritos bajos de piedra y barro, los cuales sirven de apoyo a palos de huarango y otras maderas. [...] La gente vivía a base de productos agrícolas: maíz, ají, maní, yuca, jíquima, camote (quizás papas, ollucos, etc.) con un suplemento de carne: cuy, mariscos, lobo de mar, otros peces, y productos de la caza en lugares apartados del mar.
- c) Viene después un segundo período regional. [...] En una época que todavía está mal determinada, alrededor de más o menos el año de Cristo, se manifiesta un neto cambio cultural en la Costa Sur. [...] observamos que es distinta la arquitectura; las casas de Paracas ahora se buscan debajo de la superficie de la tierra o de los basurales anteriores; se enterraban y se tapaban con techos de esteras de caña o totora extendidas sobre una fuerte viga de algarrobo. En Cabezas Largas, a la falda Sur-Este de la Bahía de Paracas, [...] hay todavía numerosas casas de esta cultura, y como se usaban para entierros de hasta una docena de fardos funerarios, [...] se hablaba de la cultura, del estilo ‘Necrópolis’.

En Paracas y más al Sur (Playa de Carhua, Bahía de la Independencia), no se notan cambios notables en el tipo de vida; parece que sigue una actividad basada en la recolección y la pesca, pero cambian los temas decorativos en los tejidos; aparecen nuevos estilos decorativos. También

aparece el cobre, para ganchos y anzuelos. El uso del oro se multiplica; [...] parecen agricultores y pescadores, quizás dedicados a migraciones por temporadas, para pescar desde las playas y peñas durante el verano, y cultivando su maíz y vegetales en las zonas bajas de los ríos, con ayuda de regadío de fácil alcance, con livianas boca-tomas y cortos canales. [...]

d) Es durante el tercer período regional [...] que notamos los efectos de lo que puede haber sido una revolución o, por lo menos, una rápida evolución agraria. Una mayor cantidad de alimentos vegetales al alcance de todos habría permitido la expansión demográfica. [...]

En estos centros poblados se normaliza una vez más el uso de la arquitectura elevada encima del suelo [...] También cambian totalmente los temas en el arte textil y en la cerámica [...] Nace el arte clásico conocido como el de Nazca (1962:40-42).

Esta descripción la ha hecho numerosas veces (Engel 1963a:10, 13, 1965b:37-40, 1972:133, 153-166, 1976:128-129, 147-164, 1987:89-90)². En todas ubica al estilo Disco Verde como temprano y contemporáneo al estilo Chavín que definió Tello.

Al describir la secuencia ocupacional de la superficie hacia la base del sitio de Disco Verde, Engel dice que en

las capas superiores perduraban los vestigios de una pequeña aldea Naza (sic.); los moradores vivían en chozas hechas de vegetales rodeadas por muritos bajos de bloques de piedra y lajas incrustadas en los desperdicios. Un 'graffiti' decoraba una de esas lajas. [...]

Debajo de la capa ocupada por los Nazca se recogieron objetos y vestigios típicos de una de las sociedades de los Paracas, y pronto siguieron otras capas mezcladas con fragmentos típicos del Paracas más antiguo, con cerámica incisa y pintada post-cocción. Estos fragmentos se encontraron mezclados con otros, decorados y horneados en el más puro estilo Chavín.

En algunos sectores, el Chavín se encontró mezclado con cerámica de un tipo que fuimos los primeros en descubrir en la zona y que denominamos Disco Verde [...] Además, conviene agregar que en algunos sectores del montículo, el Chavín estaba ausente y se encontraba la cerámica Paracas sobre un piso que la separaba de las capas que contenían fragmentos de tipo Disco Verde. También hubo sectores marginales donde el Chavín, el Paracas o el Disco Verde llegaban mezclados hasta la superficie, indicando los efectos de reocupaciones posteriores.

Parece, por tanto, que hubo coexistencia quizás temporal entre las tres sociedades: Paracas I, Chavín y Disco Verde; pero de las capas catalogadas del 1 al 22, desde la superficie [...], sólo las diez últimas contenían cerámica Disco Verde, y eso hasta la base del montículo donde los habitantes habían cavado colcas en la roca; las colcas también contenían cerámica de tipo Disco Verde.

Al parecer, Disco Verde empezó como una aldea de pescadores sin grandes recursos; se vestían con ropas de algodón y no con lana como a veces vestían los de Chavín; todavía usaban esteras para dormir y obtenían fuego con ullacas o 'fire drills'. Es probable que por la escasez de combustible sus fogatas se apagaban con frecuencia; solo así se explicaría la abundancia de los

'fire drills' encontrados en nuestros cortes, relativamente pequeños. No se hallaron herramientas finas de piedra, para raspar y cortar se usaban, mayormente, guijarros partidos. No encontramos batanes o morteros; posiblemente se los llevaron los últimos ocupantes del lugar. Las capas Paracas o Chavín parecían más ricas que las anteriores, y contenían en abundancia restos de vegetales comestibles: maíz, yuca, jíquima (*Pachyrrhizus tuberosus*) y maní.

A partir de la capa 16 se notaba la humedad producida por filtraciones de agua dulce; sin embargo, la excavación fue continuada porque todavía se encontraban vestigios de presencia humana. Así, finalmente a la capa 22 la cual dio un fechado del carbono 14 de 2,715 años A.P (Engel 1991:120).

Sin embargo, Engel (1991: 120-126), en la última publicación que realizó, cambió un poco la secuencia que venía usando para el sitio al decir que el orden de los estilos era el siguiente: primero Disco Verde, seguido de Chavín, después Paracas I y II, finalmente, Nazca. El problema radica en que no se distinguen bien en sus definiciones unos estilos de otros, como se ha demostrado.

4.4 Metodología de excavación:

Se diseñó una estrategia de excavación basándose en la información proporcionada por Engel, esta estrategia tenía diferentes etapas, las cuales fueron:

La primera etapa involucró la limpieza de los perfiles norte y oeste de la extensión excavada por Engel al este de la unidad de 12 x 12 m excavada en el centro del sitio, para así poder registrar su estratificación arqueológica antes de excavarla. La limpieza de estos dos perfiles permitió registrar una estratificación arqueológica de 3,5 metros de espesor, en la que pudimos distinguir más de 40 superficies de ocupación, además de una serie de rasgos asociados a estas superficies [...]. La segunda etapa involucró la subdivisión del área a ser excavada en varias unidades de excavación para poder tener un mejor control en la recolección de los materiales asociados a las diferentes unidades de estratificación arqueológica que excaváramos. [...] En total, excavamos 23 metros cuadrados (Dulanto & Accinelli 2013:141-142).

Asimismo, debido a la gran complejidad estratigráfica que presentaba el sitio, la excavación se hizo por partes y dejando testigos que permitieran tener el mínimo error posible.

No obstante, no todas las unidades fueron excavadas desde la superficie actual del sitio hasta la superficie original del mismo. Así, por ejemplo, las unidades 1, 2, 3 y 4 fueron excavadas por separado hasta la UEA 17; sin embargo, de allí en adelante, una vez que comprobamos que era posible seguir fácilmente cada una de las superficies de ocupación identificadas en el perfil, las excavamos como una sola unidad. En total excavamos nueve unidades que fueron numeradas correlativamente en el orden en que fueron creadas y excavadas. La tercera etapa involucró la excavación de las últimas 2 unidades; las unidades 8 y 9, para obtener muestras de tierra que serían tamizadas utilizando mallas de diferentes medidas. La unidad 9 fue excavada desde la superficie actual del sitio hasta la superficie de la UEA 18. La unidad 8, por su parte, fue excavada desde la superficie de la UEA 18 hasta la superficie original del sitio (Dulanto & Accinelli 2013:142).

Adicionalmente, se hizo necesario tener un sistema de muestreo adecuado debido a los reportes de abundancia de material recuperados en el sitio por otros investigadores en excavaciones previas.

Debido a que prácticamente todos los estratos identificados durante la limpieza de los perfiles de la excavación de Engel mostraban un alto contenido de ecofactos –en concreto, restos de flora y fauna consumidos en el lugar–, diseñamos un proceso de excavación en el que distinguimos entre unidades en las que los sedimentos serían tamizados únicamente por mallas de 1/2” (unidades de la 1 a la 7), y unidades en las que además tomaríamos muestras de sedimentos a ser tamizados por mallas más finas de 1/4” y 1/8” (unidades 8 y 9). Todas las unidades fueron excavadas por estratos naturales. Asimismo, todas las UEA identificadas durante la excavación fueron numeradas correlativamente, descritas en diarios de campo, dibujadas y fotografiadas. Tomamos fotografías de todas las superficies de ocupación para generar modelos 3D, que nos permitieran reconstruir el relieve de las mismas. En el caso de todas las UEA, medimos el volumen de los sedimentos excavados contando los baldes y partes de balde que retiramos durante la excavación de cada una de ellas. De esta manera, fue posible calcular posteriormente las densidades de los diferentes tipos de materiales asociados. Durante la excavación, todos los sedimentos fueron tamizados utilizando una malla de 1/2”. Todo el material tamizado fue embolsado y, posteriormente, separado por categoría de material en el laboratorio. En el caso de las unidades 8 y 9, tomamos además muestras de aproximadamente 10 litros de tierra. Estas fueron tamizadas en el laboratorio mediante mallas de 1/4” y 1/8”, y el material fue separado por categoría de

material para su posterior análisis por especialistas. En el caso de todas las muestras, preservamos los sedimentos que quedaron después de ser pasados por la malla de 1/8" para que –de ser necesario– pudieran ser flotados (Dulanto y Accinelli 2013:142-144).

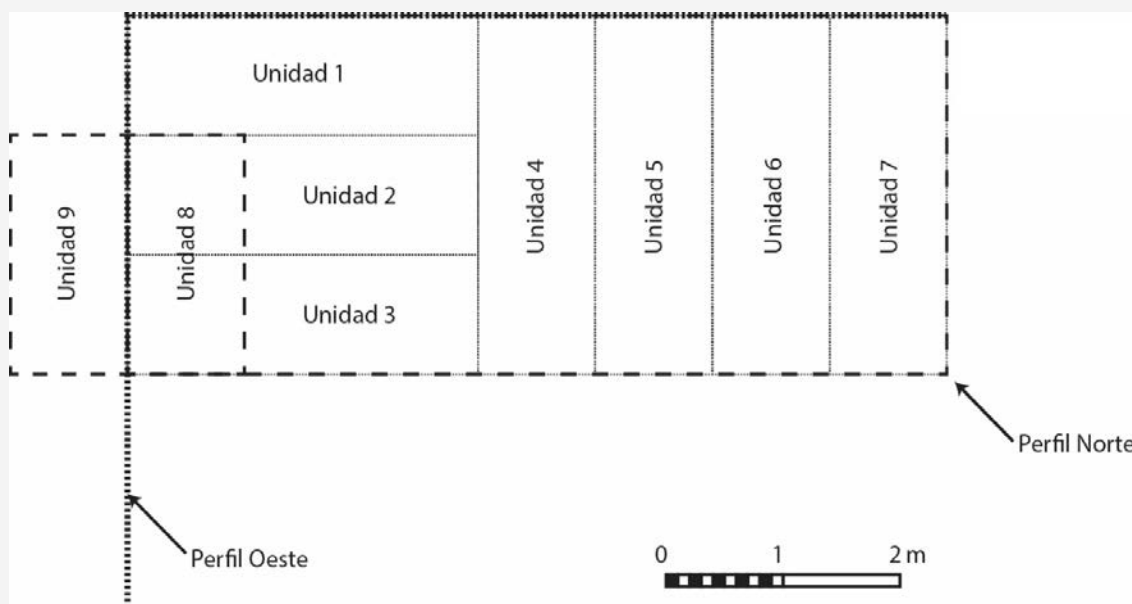


Figura 21. Esquema a escala de la distribución de las unidades de excavación dentro del sitio de Disco Verde. (Dulanto y Accinelli 2013:143)

Los pasos generales de la excavación y registro de los UEA del sitio de Disco Verde, una vez limpiados los perfiles dejados por Engel y desmonte de su excavación, fueron los siguientes:

1. La matriz de cada UEA era tamizada por malla de 1/2" directamente en el campo, el material tamizado era embolsado en su totalidad.
2. Las bolsas con el material tamizado eran rotuladas por estrato y fecha.
3. Estas bolsas con todo el material recogido en campo eran luego abiertas en el gabinete para hacer la separación según el tipo de material respectivo. En otras palabras, los diferentes artefactos eran separados entre sí; ej. cerámica, textil, lítico, etc. En el caso de las columnas muestrales, aparte de los artefactos, también se separaban los ecofactos; ej. botánico, óseo animal, malacológico.
4. Después de haber sido separados, todos los materiales eran embolsados por tipo. Los rótulos indicaban tipo de material, estrato y fecha.
5. Cada bolsa con material era ingresada al inventario de materiales de la excavación.

6. En el caso de las columnas muestrales, se tomaron muestras de tierra de cada matriz excavada. Las mismas eran embolsadas aparte sin haber sido pasadas por la malla de ½” directamente en el campo. Las muestras obtenidas para estos fines tenían un volumen de 7.5 litros; este volumen era medido exactamente antes de ser embolsadas. El medio balde que se escogía para estos fines era uno de los primeros en ser llenados con la matriz del estrato o en el caso que la matriz del estrato fuera menor o igual a medio balde, esta era embolsada directamente.

7. Estas muestras de matriz luego eran tamizadas en mallas de ½”, ¼” y 3 mm para la obtención de restos de flora y fauna. Todo el material tamizado era embolsado directamente sin ser separado por tipo.

8. Las bolsas eran rotuladas según el estrato, la fecha en la que fue excavado y el tamaño de la malla por la que fue tamizada.

9. Cada bolsa era ingresada al inventario de materiales de la excavación.

4.5 Unidad de excavación:

La ubicación de la unidad excavada en Disco Verde puede verse en el plano del sitio (ver figura 4) junto con las coordenadas UTM que conforman este. A continuación se presenta una descripción de los perfiles limpiados y de la unidad excavada en Disco Verde, así como una tabla con la descripción de las UEA.

4.5.1. Perfil 1, Perfil 2 y Unidad 1:

El Perfil 1 tiene 16m de largo que corresponde al límite norte de la excavación de Frederic Engel (1991:40-42). Los primeros cuatro metros de oeste a este corresponden al área excavada. El primer metro no corresponde al área excavada por Engel. El Perfil 2 tiene 5 m de largo y corresponde al límite este de la excavación de Engel (1991:40-42). Los primeros tres metros de sur a norte corresponden al área excavada por Engel, los siguientes dos metros de sur a norte corresponden al área excavada. La Unidad 1 tiene 4 x 2 m. Las coordenadas de los Perfiles 1 y 2, junto con las de la Unidad 1 son las siguientes:

A	359091.323	8470535.848
B	359096.323	8470535.848
C	359091.323	8470533.848
D	359091.323	8470538.848
E	359090.323	8470537.848
F	359094.323	8470537.848
G	359094.323	8470535.848
H	359090.323	8470535.848

Tabla 2. Coordenadas de la unidad de excavación del sitio de Disco Verde.

La descripción de los 41 estratos excavados, incluyendo volúmenes, según como se ven en el perfil oeste del sitio (ver figuras 5 y 6), junto con los lentes de ceniza encontrados en la superficie de cada uno, es la siguiente (transcripción del cuaderno de campo de Jalh Dulanto):

UEA	Tamaño de las partículas	Ordenamiento de las partículas	Redondez / Angularidad de las partículas	Clasificación de las partículas	Compactación del estrato	Volumen de sedimentos excavados (m ³)
0						0.62935
1	Fina	Pobre	Subredondeada	Arena muy fina	Media alta	1.7367
Lente de ceniza 1 sobre estrato 2						0.0082
2	Fina	Pobre	Subredondeada	Arena fina	Media baja	0.2944
Lente de ceniza 1 sobre estrato 3						0.0064
3	Fina	Pobre	Subredondeada	Arena fina	Media baja	2.23295
Lente de ceniza 1 sobre estrato 4						0.0057
4	Fina	Pobre	Subangular	Arena fina	Media baja	0.1228
Lente de ceniza 1 sobre estrato 5						0.074
5,6,7	Fina	Pobre	Subangular	Arena fina	Baja	0.12055
Lente de ceniza 1 sobre estrato 8						0.0072
8, 9, 10, 11	Fina	Pobre	Subangular	Arena fina	Media alta	0.1052
9	Fina	Pobre	Subangular	Arena fina	Media alta	0.614
10	Fina	Pobre	Subangular	Arena fina	Media alta	0.13815
11	Fina	Pobre	Subangular	Arena fina	Media alta	0.1065
Lente de ceniza 1 sobre estrato 12						0.00472
12	Fina	Pobre	Subangular	Arena fina	Baja	0.1851
13	Fina	Pobre	Subangular	Arena fina	Baja	0.1587

Tabla 3. Descripción de la estratigrafía registrada en el sitio de Disco Verde. (Dulanto y Accinelli 2013:151-153)

Tabla 3. (...continúa)

UEA	Tamaño de las partículas	Ordenamiento de las partículas	Redondez / Angularidad de las partículas	Clasificación de las partículas	Compactación del estrato	Volumen de sedimentos excavados (m ³)
14	Fina	Pobre	Subangular	Arena fina	Baja	1.94955
14-16 Nivel 1	Fina	Pobre	Subangular	Arena fina	Baja	0.2835
14-16 Nivel 2	Fina	Bueno	Subredondeada	Arena muy fina	Media baja	0.05325
15	Fina	Pobre	Subangular	Arena fina	Baja	0.50655
16	Fina	Bueno	Subredondeada	Arena muy fina	Media baja	1.1455
17	Fina	Bueno	Subredondeada	Arena muy fina	Media baja	0.02255
18	Fina	Bueno	Subredondeada	Arena muy fina	Media	0.2815
19	Fina	Bueno	Subredondeada	Arena muy fina	Alta	0.14535
20	Fina	Bueno	Subredondeada	Arena muy fina	Alta	0.02255
Lente de ceniza 1 sobre estrato 21						0.0131
Lente de ceniza 2 sobre estrato 21						0.0092
21	Fina	Pobre	Angular	Arena muy fina	Media	0.4702
21A	Fina	Pobre	Angular	Arena muy fina	Media	0.0379
Lente de ceniza 1 sobre estrato 21B						0.0094
21B	Fina	Pobre	Angular	Arena muy fina	Media	0.04735
Lente de ceniza 1 sobre estrato 21C						0.0101
21C	Mediana/Fina	Pobre	Subangular	Arena muy fina	Media	0.11465
Lente de ceniza 1 sobre estrato 21D						0.0071
21D	Mediana/Fina	Pobre	Subangular	Arena muy fina	Media alta	0.13815
Lente de ceniza 1 sobre estrato 22						0.00653
Lente de ceniza 2 sobre estrato 22						0.00365
Lente de ceniza 3 sobre estrato 22						0.005
22	Fina	Pobre	Subangular	Arena muy fina	Baja	0.2149
22A	Fina	Pobre	Subangular	Arena muy fina	Baja	0.02255
22B	Fina	Pobre	Subangular	Arena muy fina	Alta	0.04605
22C	Fina	Pobre	Subangular	Arena muy fina	Alta	0.02255
22D	Fina	Pobre	Subangular	Arena muy fina	Baja	0.0686
22E	Fina	Pobre	Subangular	Arena muy fina	Alta	0.1914
Lente de ceniza 1 sobre estrato 23						0.0093

Tabla 3. (...continúa)

UEA	Tamaño de las partículas	Ordenamiento de las partículas	Redondez / Angularidad de las partículas	Clasificación de las partículas	Compactación del estrato	Volumen de sedimentos excavados (m ³)
Lente de ceniza 2 sobre estrato 23						0.0057
23	Fina	Pobre	Subangular	Arena muy fina	Alta	0.614
24	Mediana/Fina	Pobre	Subangular	Arena mediana/fina	Baja media	0.1228
25	Mediana/Fina	Pobre	Subangular	Arena mediana/fina	Baja media	0.75935
25-26	Mediana/Fina	Pobre	Subangular	Arena mediana/fina	Baja media	0.29165
26	Mediana	Pobre	Subangular	Arena mediana	Media	0.14535
27	Mediana/Fina	Pobre	Subangular	Arena mediana/fina	Baja	0.07265
28	Mediana/Fina	Pobre	Subangular	Arena mediana/fina	Baja	0.4299
29	Mediana/Fina	Pobre	Subangular/subredondeada	Arena mediana/fina	Baja	0.42165
Lente de ceniza 1 sobre estrato 30						0.055
Lente de ceniza 2 sobre estrato 30						0.034
30	Mediana	Pobre	Subangular	Arena mediana/fina	Baja	153.50
Lente de ceniza 1 sobre estrato 31						0.0041
Lente de ceniza 2 sobre estrato 31						0.00389
31	Mediana	Pobre	Subangular	Arena mediana/fina	Baja	0.2221
Lente de ceniza 1 sobre estrato 32						0.0081
32	Mediana	Pobre	Subangular	Arena mediana/fina	Baja	0.6212
33	Mediana	Pobre	Subredondeada	Arena mediana/fina	Baja	0.3214
Lente de ceniza 1 sobre estrato 34						0.0093
34	Mediana	Pobre	Subredondeada	Arena mediana	Baja	0.26815
35	Mediana	Pobre	Subredondeada	Arena mediana	Baja	0.3756
36	Mediana	Pobre	Subangular	Arena mediana	Media	0.2738
Lente de ceniza 1 sobre estrato 37						0.0093
Lente de ceniza 2 sobre estrato 37						0.0073
Lente de ceniza 1 sobre estrato 37						0.0056

Tabla 3. (...continúa)

UEA	Tamaño de las partículas	Ordenamiento de las partículas	Redondez / Angularidad de las partículas	Clasificación de las partículas	Compactación del estrato	Volumen de sedimentos excavados (m ³)
Lente de ceniza 2 sobre estrato 37						0.00815
37	Mediana	Pobre	Subangular	Arena mediana/fina	Baja	0.30295
Lente de ceniza 1 sobre estrato 38						0.003
Lente de ceniza 2 sobre estrato 38						0.0029
38	Mediana	Pobre	Subangular	Arena mediana/fina	Baja	0.40085
39	Mediana	Pobre	Subangular	Arena mediana/fina	Baja	0.10745
Lente de ceniza 1 sobre estrato 39/40						0.0077
Lente de ceniza 1 sobre estrato 39/40						0.0023
40	Mediana	Pobre	Subangular	Arena mediana/fina	Baja	0
41	Mediana	Pobre	Subangular	Arena Limo /	Alta	0

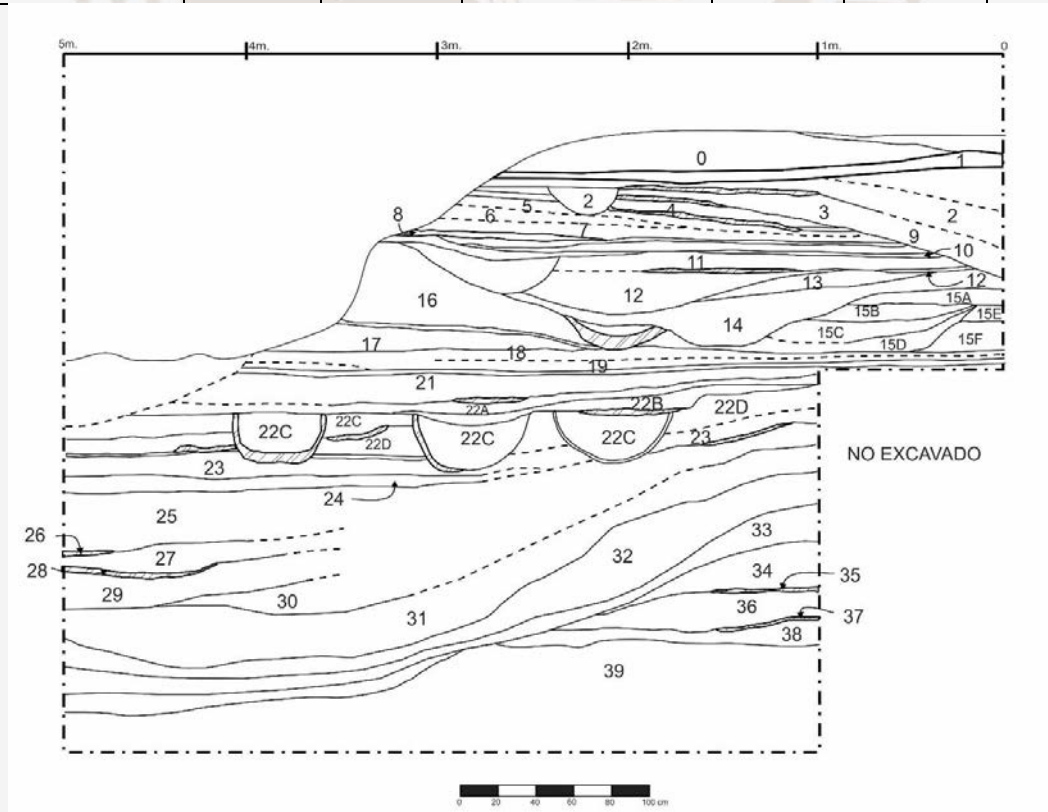


Figura 22. Perfil Oeste del sitio de Disco Verde (Dulanto y Accinelli 2013:142).

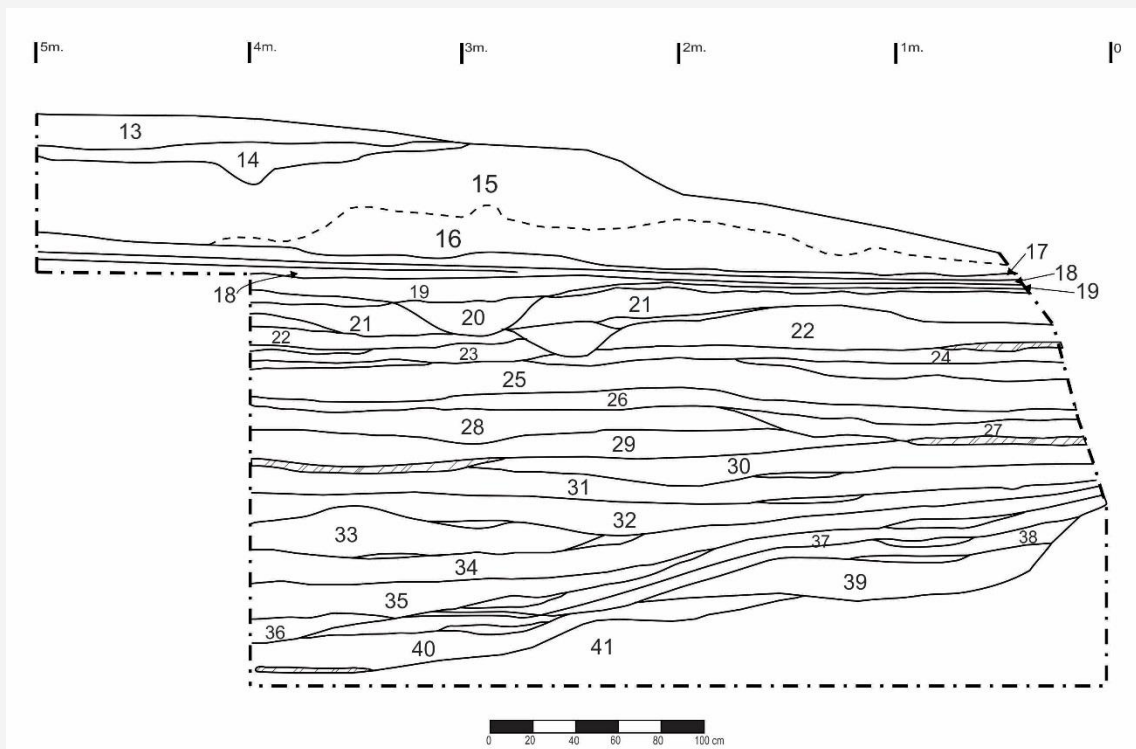


Figura 23. Perfil Norte del sitio de Disco Verde (Accinelli y Dulanto 2013:143).

4.6. Análisis estratigráfico:

La superposición de los estratos excavados y el contenido de estos, ya descritos en el capítulo anterior, demuestran claramente que el sitio se conformó como un gran depósito de desechos y basura acumulada por parte de las poblaciones que habitaron allí. Los procesos de formación del sitio permiten identificar a este material como basura primaria; es decir, no existen indicios que lleven a pensar que esta fue trasladada desde otras áreas del sitio o desde otro sitio arqueológico y depositada en Disco Verde.

Entre estos desechos es posible encontrar pisos o apisonados como pozos pequeños dentro de estos. Esta estratigrafía indica que el sitio se conformó a raíz de la explotación constante de fauna marina. En otras palabras, la gente construía pequeñas viviendas, explotaba los recursos que tenían a la mano, consumían estos recursos, desechaban estos alrededor de las viviendas o dentro de las ya abandonadas y caminaban sobre la basura acumulada. Este proceso es lo que acabó conformando los conchales que actualmente se ven en el sitio como montículos blancos.

4.6.1. Fases de ocupación:

Los estratos excavados han sido divididos en cuatro fases (Dulanto y Accinelli 2013). La división de los estratos ha sido realizada siguiendo las variaciones de estilo y forma para los fragmentos de cerámica encontrados. Para esto se ha seguido la redefinición de los estilos Disco Verde (Engel 1966, 1991), Puerto Nuevo y Ocucaje (Rowe, Menzel y Dawson 1964). Esta redefinición (García y Pinilla 1995) comienza con la Fase Disco Verde, a la que le sigue una Fase Puerto Nuevo, después una Fase Karwas, una Fase Cavernas y una transición de Necrópolis a Nasca Temprano. Asimismo, se ha contrastado con la secuencia de García y Pinilla (1995) para la cerámica temprana de la región de Paracas hasta donde es comparable, ya que ellos incluyen Nasca Temprano en sus datos, material que no ha sido recuperado en el sitio de Disco Verde. En ambos casos las secuencias coinciden, aunque difieren ligeramente las fechas:

Nro. de fase	Estratos que abarca	Estilo	Fecha ³	Datación de García y Pinilla (1995)
Fase 1	1-13	Ocucaje	760-407 a.C. (UEA 8)	Dividen entre fase Karwas, 600-500 a.C., y fase Cavernas, 500-100 a.C.
Fase 2	14-25	Puerto Nuevo	976-764 a.C. (UEA 21B)	800-600 a.C.
Fase 3	26-33	Puerto Nuevo/Disco Verde	Sin fechado	Sin fechado
Fase 4	34-40	Disco Verde	1188-843 a.C. (UEA 41)	1000-800 a.C.

Tabla 4. Fases de ocupación del sitio de Disco Verde y fechados de los mismos.

4.6.1.1. Cerámica⁴:

Del estrato 39 / 40, que es el primer estrato depositado directamente sobre la superficie original del sitio (estrato 41), hasta el estrato 34 [...], observamos únicamente especímenes de vasijas de cerámica cerradas y abiertas, que incluyen únicamente ollas sin cuello y cuencos. Las ollas sin cuellos tienen bordes invertidos, rectos o ligeramente convexos, con labios engrosados y redondeados. Las bases son convexas. Los cuencos tienen bordes ligeramente evertidos y verticales, ligeramente convexos o ligeramente cóncavos, con labios redondeados. Las bases son

planas o ligeramente convexas. La pasta de todas estas vasijas es de color marrón rojizo y, aunque incluye variantes más oscuras y más claras, es evidente que ninguna de estas es producto de una atmósfera reducida. En casi todos los casos, el temperante utilizado es arena fina. Las superficies externas e internas de todos estos especímenes están alisadas o bruñidas. Usualmente, las superficies externas están mejor tratadas que las internas. Las superficies internas suelen mostrar estrías cortantes cruzadas. Algunas ollas sin cuello están decoradas con una hilera horizontal de círculos estampados, que corre paralela a la boca y está ubicada a menos de un centímetro por debajo de ella. Todos estos círculos tienen consistentemente entre 5,25 y 6,25 milímetros de diámetro, y están separados unos de otros alrededor de 5 milímetros. No obstante, es claro que, en los estratos más profundos de Disco Verde que hemos excavado, no encontramos dos rasgos que usualmente son atribuidos al «estilo» Disco Verde: bases anulares y decoración negativa por ahumado. También, es claro que no encontramos ni un solo espécimen que podamos reconocer como una botella (Dulanto y Accinelli 2013:145-146).

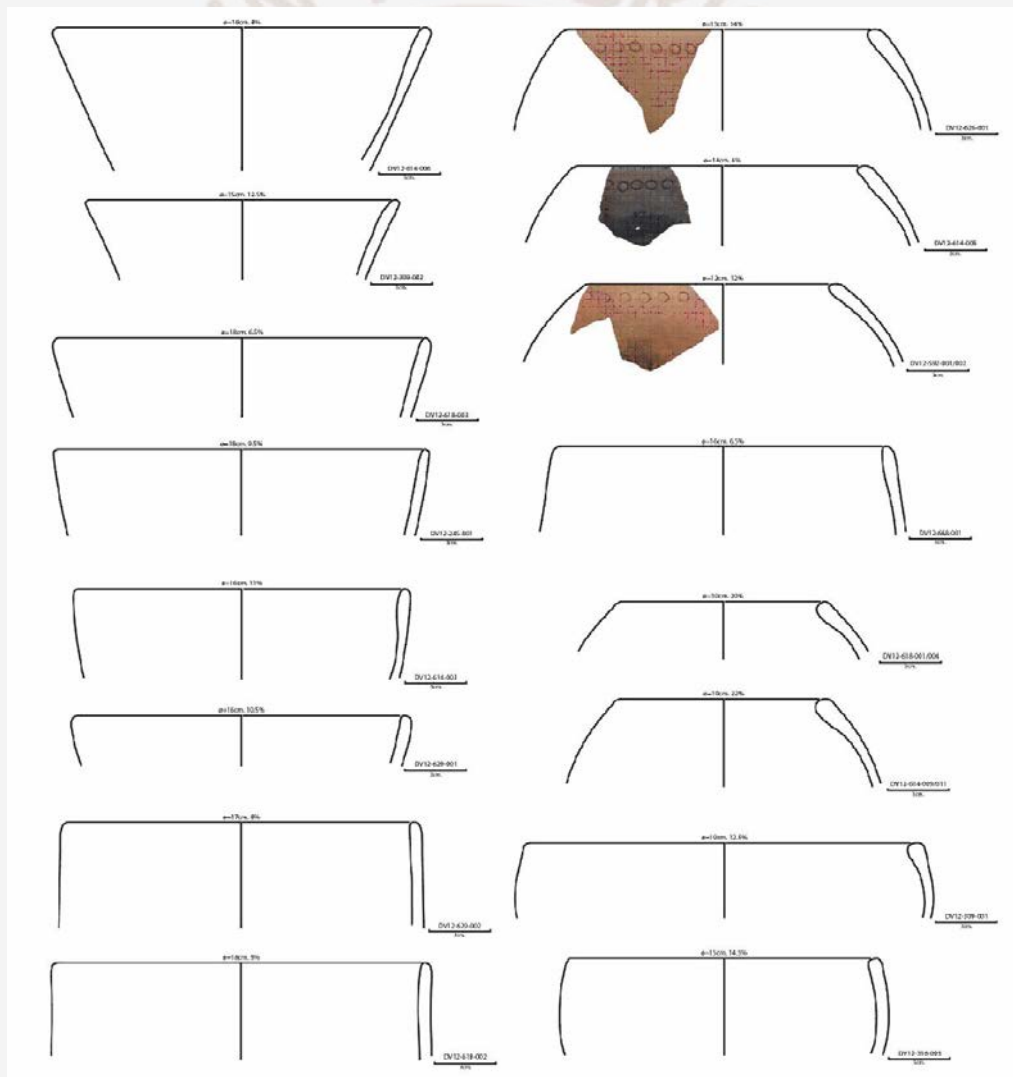


Figura 24. Cerámica decorada y bordes de los estratos 39/40 al 34.

Del estrato 33 al estrato al estrato 26 [...], observamos en general el mismo tipo de vasijas de cerámica. Sin embargo, también, encontramos algunos especímenes que muestran características nuevas. En el estrato 32, hallamos un fragmento de la base ligeramente convexa de un cuenco, comparativamente grueso, y que tiene una pasta reducida que no tiene arena como desgrasante y que es común entre los fragmentos de «estilo» Puerto Nuevo. En el estrato 30 y en el estrato 28, encontramos 2 fragmentos de bases planas de cuencos, que tiene huellas de haber tenido adherido un pedestal anular. En el estrato 28, hay, además, un fragmento de uno de estos pedestales. Se debe anotar que el fragmento del estrato 30 tiene huellas de quema en la superficie externa, que podrían ser rastros de algún tipo de decoración negativa por ahumado mal lograda. Fuera de estos casos aislados, sin embargo, todos los especímenes recuperados en estos estratos tienen características que encajan en la descripción de los especímenes recuperados en los estratos del 39 / 40 al 34 (Dulanto y Accinelli 2013:146).

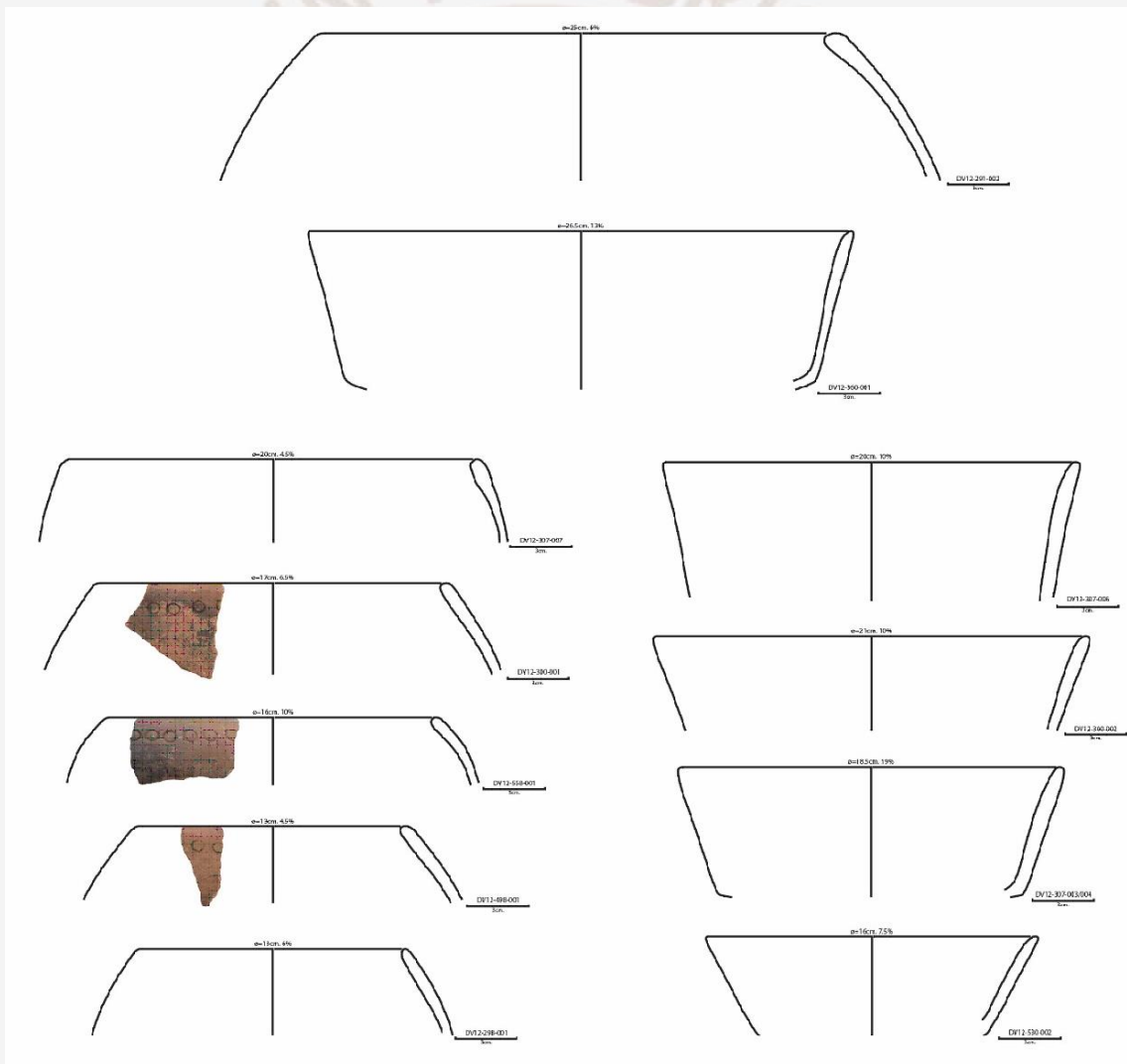


Figura 25. Cerámica decorada y bordes de los estratos 33 al 26.

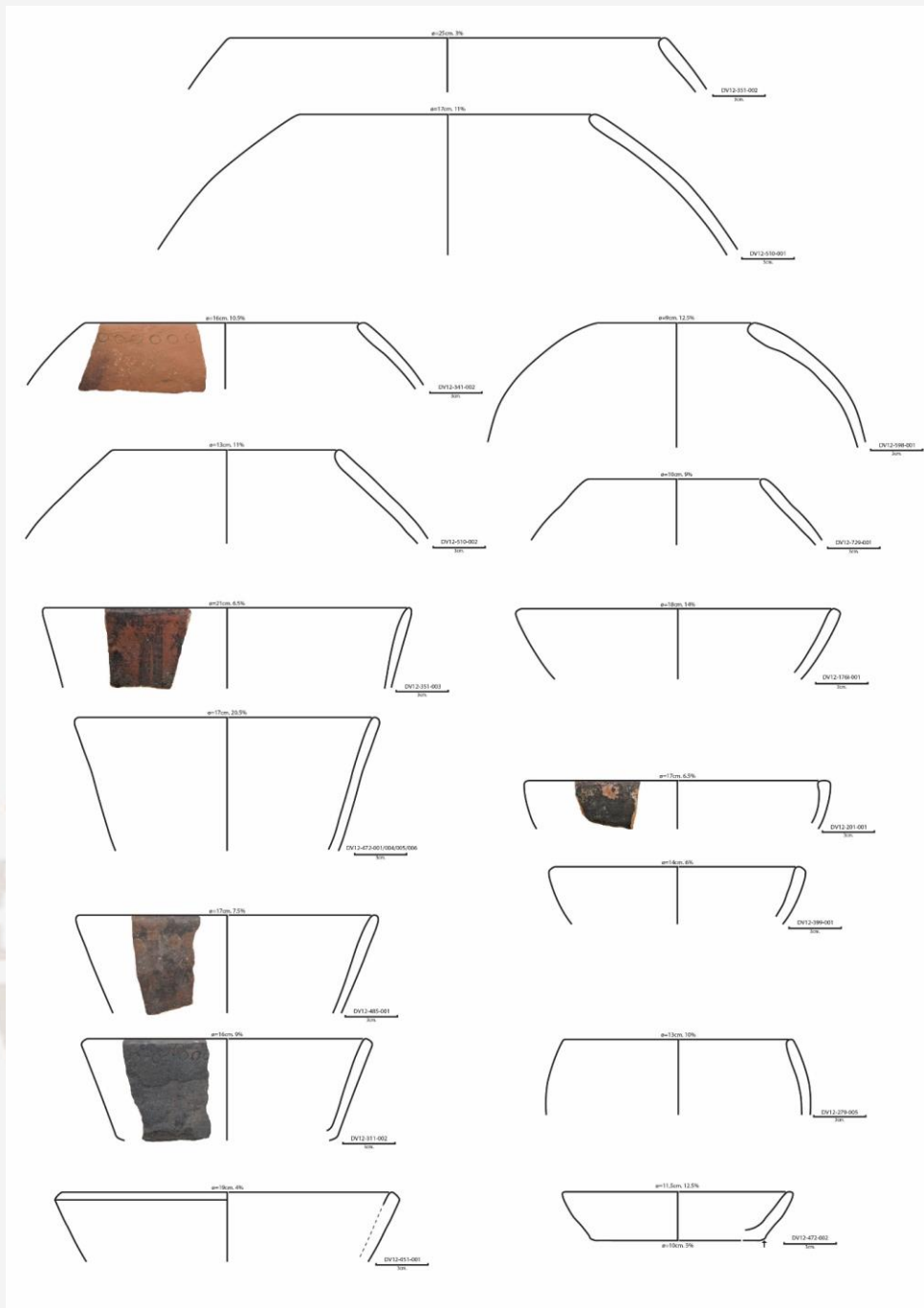


Figura 26. Cerámica decorada y bordes de los estratos 25 al 14.

Del estrato 25 al estrato 14 [...], seguimos observando en general el mismo tipo de vasijas de cerámica que en los 2 grupos de estratos anteriores. Sin embargo, a los nuevos rasgos ya observados se suman otros. A partir del estrato 25, la decoración con hileras horizontales de círculos estampados comienza a aparecer no solo en ollas sin cuello, sino también en cuencos. Ocasionalmente, tanto los cuencos como las ollas sin cuello que están decoradas con estas hileras de círculos estampados tienen superficies brochadas. Algunas de las ollas sin cuello y cuencos que no están decorados muestran, en cambio, superficies externas que han sido alisadas y

bruñidas burdamente, y que como resultado son bastante irregulares y rugosas. Asimismo, algunos de los cuencos con y sin decoración tienen labios biselados. A la pasta de color marrón rojizo con desgrasante de arena fina, y oxidada –observada en los estratos anteriores–, se suma en estos estratos una pasta sin desgrasante de arena fina, que puede ser o bien oxidada o bien reducida. Al menos un fragmento –procedente de los estratos 23 o 24– tiene paredes gruesas y una almena en el labio; y es prácticamente idéntico a los cuencos con bordes almenados recuperados en Puerto Nuevo. De igual modo, por lo menos un fragmento de un cuenco procedente del estrato 23 tiene indiscutiblemente decoración negativa por ahumado. Finalmente, se debe anotar que un fragmento procedente del estrato 13 tiene decoración por pintura post cocción con franjas diagonales que se desprenden desde el borde. Este fragmento es prácticamente idéntico a los fragmentos de este tipo recuperados en Puerto Nuevo (Dulanto y Accinelli 2013:146).

Del estrato 13 hasta el estrato 1 [...], encontramos varios especímenes que, por sus características tecnológicas, morfológicas y decorativas, podemos caracterizar como Paracas Tardío. Los especímenes incluyen varios fragmentos de vasijas de cerámica abiertas y cerradas, que incluyen principalmente cuencos y ollas. Aunque el número de fragmentos recuperados no permite una descripción más detallada, es claro que todos estos especímenes tienen paredes más



Figura 27. Cerámica decorada y bordes de los estratos 13 al 1

delgadas, pastas más finas y superficies internas y externas mejor tratadas ya sea por alisado, bruñido o pulido. Al menos dos fragmentos procedentes del estrato 10, están decorados con la técnica de incisiones delgadas cortantes sobre pasta fresca y pintura post cocción, en zonas que es típica de los estilos Paracas Medio y Paracas Tardío. Los motivos con los que están decorados, sin embargo, son típicos del estilo Paracas Tardío, y –específicamente– de las fases Ocucaje 8, 9 y 10. Al menos, un fragmento procedente del estrato 9 está decorado con la técnica del negativo por ahumado. El motivo con el que está decorado es típico de este mismo estilo y estas mismas fases (Dulanto y Accinelli 2013:146-147).

Como se puede apreciar, Disco Verde es un sitio que tiene diferentes ocupaciones claramente diferenciables entre sí, y, por lo tanto, permite trazar cambios durante buena parte o casi todo el primer milenio a.C. En otras palabras, tiene una ocupación desde el Formativo Medio en adelante. Asimismo, las ocupaciones de Disco Verde parecen ser regulares aunque esporádicas durante todo este milenio y abarcarían por lo menos las cuatro fases definidas por García y Pinilla (1995).

Notas

1. Engel realiza una descripción completa del sitio y de su ocupación:

Al sur de la bahía de Paracas está el pueblo de Disco Verde; así lo hemos bautizado por el círculo de plantas verdes que existía en la playa antes de que viniera el maremoto de 1960. La existencia del círculo de plantas indicaba la existencia de agua dulce, y nos dio la idea de buscar rasgos de la presencia humana; pronto encontramos el pueblo, el cual se extiende encima del tablazo, muy cerca de la playa. Buena parte del pueblo ha sido arrastrado, quizá por un maremoto o simplemente por la erosión. Aquella habría sido fuerte en tiempos de transgresión marina; después de la ocupación chavinoide subió el nivel del mar de 1,50 m.; todavía se ve las huellas del fenómeno al pie del pueblo; está pulida la roca por la acción de las aguas. La primera ocupación del lugar también es chavinoide; su fecha es de 750 años antes de nuestra era. Se instaló la gente, probablemente para pescar, durante la transgresión marina. Antes, quizá, no eran accesibles las capas de agua dulce que hemos encontrado, perforando pozos al pie del pueblo. Después, Disco Verde ha conocido ocupaciones con interrupciones, hasta que tuvieron que abandonarlo sus habitantes, cuando nuevamente descendió el océano debajo del nivel de hoy, secando, con toda probabilidad, las fuentes de agua dulce.

Parece haber sido sencilla la vida en Disco Verde; la gente era pescadores y cazadores de lobos; vivía en pequeñas chozas de madera; todavía se encuentran fuertes palos de sauce y otras maderas aferrados con muritos bajos de piedra; colcas habían sido excavadas en la roca podrida por la humedad del subsuelo. [...]

Conviene también indicar que en los sitios chavinoides de la zona de Paracas existen, mezclados, dos clases distintas de cerámica: una alfarería sencilla, generalmente de color marrón castaño, típica del sitio de Disco Verde, a la margen sureste de la bahía, y que por esa razón hemos bautizado con este nombre; y la cerámica típica de Chavín: loza negra, pulida al espejo, grabada o pulida en zonas; vasos de doble cuerpo; vasos en forma de fortaleza, con hendiduras y gradas; platos y copones pintados de varios colores después de la cocción, o con decoración negativa.

Podría ser que la cerámica de tipo marrón corresponda a una tradición antigua, importada de Colombia, de Venezuela o del Ecuador, mientras que la cerámica de tipo Chavín hubiera sido traída por otros inmigrantes; un índice a favor de tal posibilidad es el número reducido de fragmentos Chavinoides típicos que hemos encontrado en Disco Verde, donde predomina la loza marrón, mientras que en el sitio algo más joven de Puerto Nuevo de Paracas, la cerámica Disco

Verde aparece en minoría en los estrados hondos, los cuales presentan marcadas características de capas muy chavinoides. Estos elementos chavinoides van disminuyendo a medida que nos acercamos a la superficie, donde el Disco Verde se mezcla con los fragmentos del próximo horizonte cultural, hasta ahora conocido con el nombre de Paracas. [...]

Poco sabemos en cuanto a los usos funerarios de la fase 1. Solamente conocemos una tumba que le correspondió, estratigráficamente. La hemos encontrado en Disco Verde; se trataba de un fardo pobre, flexionado, envuelto en una tela de algodón; contenía una jovencita con unos alimentos escondidos en un nicho colocado cerca de su cabeza; un plato de tipo “Disco Verde final, ya pintado de rojo como son los platos de Paracas, estaba encima de la cabeza (1966:130-131, 134-136, 169-170).

2. “No se ha establecido una tipología para artefactos líticos en la costa del Perú. Cuando encontramos en la superficie del valle del Chillón (20 km al norte de Lima) implementos similares a las puntas y cuchillos Cupisnique de Bird, y, en la costa sur del Perú, otros artefactos sin asociación muy similares a los implementos encontrados en los niveles de Ayampitín y Viscachani de Bolivia y Argentina, nos quedamos perplejos y decidimos esperar hasta que encontráramos objetos asociados o estratificados; nuestra paciencia ha sido recompensada: encontramos, 4 km al oeste de Pozo Santo (inmediatamente al sur de Paracas), un taller donde cientos de lascas y alrededor de tres docenas de cuchillos, raederas, armas y otras puntas estaban en la superficie de un montículo de basura. Algunas de estas puntas recuerdan a las ya mencionadas puntas de la Pampa de los Fósiles (Cupisnique), Paiján y Chillón. Si no fueron llevadas al montículo de Pozo Santo en una fecha posterior a su manufactura, tienen que ser cronológicamente muy recientes debido a que la capa inferior contiene cerámica del tipo Disco Verde fechada en 740 a.C. [...]

En Paracas, 150 km al sur de Asia, hemos establecido que un tipo de cerámica todavía sin publicar, que llamamos “Disco Verde”, se encuentra estratigráficamente por debajo de la denominada fase “Cavernas” y por encima a dos fases superpuestas de cerámica Chavinoide, de las cuales la superior presenta algunos ejemplos de la altamente pulida cerámica negra Chavinoide, típica de Chavín de Huantar; esta cerámica es abundante en el estrato sobre el suelo estéril.

Las vasijas encontradas en el nivel inferior Chavinoide en Paracas son comparables a las encontradas en los montículos Chavinoides en el valle de Omas; la similitud, en cuanto a patrones, distribución de colores y los colores mismos, es tan llamativa que muchos fragmentos son intercambiables; ambos sitios producen en cantidad un animal policromo, modelado en bajo relieve, pintado post-cocción similar al que se encuentra en la cerámica de La Copa, en la sierra de Cajamarca.

Estamos convencidos de que los montículos de Omas y los niveles Chavinoide Paracas tienen que ser contemporáneos, y consideramos que deben ser colocados al final del periodo Chavinoide, al menos en lo que concierne a la costa sur. Nuestras convicciones se ven reforzadas por los resultados de dos fechas radiocarbónicas: (a) la fecha del nivel más bajo (No. 13, 4 m de profundidad) en el sitio de Disco Verde (sitio 104-BC-3, península de Paracas) es de 755 a.C. ± 60. Este nivel todavía contiene algunos raros fragmentos Chavinoides, pero principalmente fragmentos del tipo Disco Verde; todos los niveles sobre el dicho nivel 13 contienen solo fragmentos Disco Verde; y esto es válido hasta el nivel 5 (que es “Cavernas” y se encuentra por debajo de sucesivos estratos “Necropolis” y “Nazca”). (b) La segunda fecha data de 660 a.C. ± 60. Fue obtenida de muestras de carbón halladas en un fogón del sitio 104-HB-4 (Puerto Nuevo de Paracas), una aldea Chavinoide tardía, que se superpone a un asentamiento más temprano que presenta vasijas negras pulidas Chavinoides, similares a las que se encuentran en los niveles más bajos de los montículos de Omas. El nivel Chavinoide tardío de Puerto Nuevo está sellado por una capa blanca, gruesa y dura, que lo separa de los estratos superiores que contienen cerámica Disco Verde.

Nada similar a Disco Verde o a Paracas ha sido reportado en el valle de Omas, pero hemos encontrado escasos fragmentos Paracas, incisos, pintados post-cocción en la costa central en Ancón y Curayacu; el área que contiene cerámica Paracas parece desarrollarse mucho más al sur, alrededor de 125 km al sur de Lima” (1963a:10, 13; la traducción es mía).

“Mientras que «Chavín» no se superpone a aldeas previas, todavía podemos encontrar un poco mezclado una cerámica marrón chocolate que llamamos « Disco Verde », que es el nombre de la aldea donde por primera vez la encontramos.

En este sitio, y en el sitio vecino de « Puerto Nuevo de Paracas », la cerámica Disco Verde puede ser encontrada mezclada con aquella Chavín en las capas más profundas. Mientras nos

acercamos a la superficie, lo que significa acercarnos a nuestros tiempos, los elementos Chapín disminuyen y se desvanecen en la superficie de los montículos.

Entonces podemos asumir que los elementos pre-Chavín han existido, pero no sabemos dónde. Tal vez en los valles medios, donde la sucesiva reocupación han borrado su presencia. Tal vez en los Andes, donde no habrían bajado a la costa hasta que la vida pacífica fuera posible otra vez alrededor de las playas. Esta hipótesis nos lleva a considerar el abandono de las franjas costeras por varios siglos” (1972:133; la traducción es mía).

“Mientras que «Chavín» no se superpone a aldeas previas, todavía podemos encontrar un poco mezclado una cerámica marrón chocolate que llamamos «Disco Verde», que es el nombre de la aldea donde por primera vez la encontramos en la Bahía de Paracas.

En este sitio, y en el sitio vecino de « Puerto Nuevo de Paracas », muy cercano, la cerámica Disco Verde puede ser encontrada mezclada con aquella Chavín, tan temprano como el estrato más profundo, que puede ser de 2 700 años de antigüedad en las. Disco Verde significa en español “un disco verde”. En la playa, al pie de los acantilados que están sobre el océano en la bahía de Paracas, yo repentinamente vi un montón de verdolagas, dieciséis millas de cualquier fuente visible de agua. La existencia de estas plantas indica la presencia de una fuente subterránea pero accesible de agua y me dio la idea de visitar el acantilado, donde encontré una aldea pre-colombina por encima del disco verde.

Mientras uno se eleva en el sitio (es decir, mientras uno se acerca a las épocas modernas), los elementos chavinoides comienzan a desaparecer en la superficie de los montículos.

En algunos casos los Chavín se reasentaban en aldeas precerámicas, por razones prácticas: para reusar los postes para construcciones, y otros materiales tales como el combustible, principalmente porque un refugio en el montículo era más fácil de cavar que uno en el suelo de la planicie. Pero las dos ocupaciones eran muy distantes en el tiempo. Era solo una cuestión de coincidencia. Uno puede suponer que los grupos no-chavinoides habían vivido en esa área, y que probablemente también en los bajos valles costeros como en los Andes. Uno puede suponer más aún que aquellos viviendo en las tierras bajas habían sido chavinizados por los contactos con otros grupos que vivían en la costa” (1976:150; la traducción es mía).

“En las faldas que dominan la bahía de Paracas, encontré dos pueblos denominados Disco Verde y Puerto Nuevo; los dos nos dieron fechas de 2715 ± 60 años A.P. y en ambos tuve la suerte de establecer claramente una secuencia que me llevó desde capas que contenían un tipo de cerámica hasta las que revelaron fragmentos y piezas enteras decoradas con motivos bien conocidos como Chavín.

No solamente pudimos observar el cambio en la cerámica, sino también en dos arquitecturas distintas; los pre-Chavín vivían en chozas rectangulares o cuadrangulares, con paredes de esteras; éstas no se han conservado, pero sí las zanjas en el suelo, las filas de estacas y los hoyos de los postes para sostenerlas. [...] En estos vestigios de chozas encontré lindos ceramios con decoración “negativa”, es decir, partes que quedan más claras después de la cocción, mientras que el resto se pone negro, posiblemente por la quema de una materia orgánica realizada en una segunda cocción a baja temperatura.

Cerámica del tipo Disco Verde fue encontrada por el arqueólogo Ramiro Matos, alrededor de las lagunas que se extienden en la puna, más arriba de Castrovirreyña: estas lagunas alimentan al río Pisco. El descubrimiento establece un interesante contacto entre las zonas altas y el desierto costero, a lo largo del mismo cauce. [...]

El único monumento de la época que se ha estudiado hasta la fecha es la “Huaca Grande”, ubicada en el valle bajo del Omas, signada con el No. 302 en el catálogo del CIZA. Consistió en un edificio principal rodeado por numerosos montículos que contenían pequeñas estructuras de adobe y fardos funerarios. La huaca misma estaba construida con adobes cónicos sobre un pueblo precerámico. ... La suerte nos hizo encontrar tumbas superpuestas de las tres culturas: precerámica, cerámica del tipo “Disco Verde” y del tipo Chavín. Una de estas tumbas, la que contenía cerámica y objetos diversos de gran interés, arrojó una edad de 3050 ± 140 años A.P” (1987:89-90).

3. Datos de los fechados obtenidos por el PIA Paracas presentados en la tabla:

Fechado	Área	UEA	a.P.	a.C.	a.C.	%
AA101417	I	UEA 8	2,443 +/- 53	-760	-407	95.4
AA101415	I	UEA 21B	2,701 +/- 54	-976	-794	95.4
AA101412	I	UEA 41	2,832 +/- 54	-1188	-843	95.4

4. Todos los dibujos y fotografías de la cerámica han sido hechos por Diego Bedoya.



Capítulo 5

Análisis de las redes

En primer lugar, se presentan los datos del análisis de tipo de las redes, siendo el primero de estos datos la densidad de los fragmentos de redes estandarizados por estratos; luego, las variaciones de torsión y retorsión, el número de cabos y el grosor del hilo, incluyendo los hilos sueltos que pueden proceder de redes. Se hace una comparación entre estas variables con los resultados de los textiles para demostrar cómo es que se puede diferenciar un hilo suelto de red, de uno procedente de un textil. Una vez hecho esto, se procede a ver las diferencias en tamaño de cocadas y cantidad de tipos de nudos presente en los fragmentos de redes.

En tercer lugar, las diferencias y similitudes de todas estas variables entre estratos y fases también se presentarán. Es importante recalcar que el estrato 0 ha sido dejado de lado de todo este análisis debido a que el mismo es desmonte que está compuesto por material mezclado y removido de las excavaciones de Frederic Engel. Finalmente, se hace una comparación con el material recuperado del sitio de Karwa, pero solamente con las fases más tardías y con los datos de fauna marina que se tienen para el sitio de Disco Verde. En este último punto, se va a tratar de encontrar una correlación entre los diferentes tamaños de peces con los diferentes tamaños de cocada de red.

5.1. Fases de redes:

Estas fases no son de ocupación y responden a la necesidad de agrupar por razones metodológicas que faciliten el análisis cuantitativo entre estratos a través del tiempo. Se hace uso de las densidades que hemos calculado para cada estrato (ver figuras 30 y 31, tabla 5). Las redes, incluyendo a los posibles hilos de redes, se han analizado en su totalidad para las siguientes variables: torsión, retorsión, número de cabos, grosor del hilo, tipo de nudo, ancho y largo del nudo simple. Todos los análisis relacionados a la cocada, fueron hechos solo con las redes que la conservaron. Asimismo, para poder hacer una correlación entre especie capturada y tamaño de cocada, nuevamente solo se han usado las redes que la conservaron.



Figura 28. Ejemplo de red con cocada.



Figura 29. Ejemplo de red sin cocada

Existen dos densidades porque son dos tipos de distribución debido a que la muestra se ha estandarizado de dos maneras distintas con dos medidas distintas (ver punto 3.2). La densidad ha sido calculada con los volúmenes presentados en el punto 4.5.1 transformados a litros.

UEA	Volumen del estrato (m ³)	Número de redes con cocada	Área de redes (cm ²)	Número de redes sin cocada	Largo de redes (cm)	Área/Volumen (en litros)	Largo/Volumen (en litros)
2	0.2944	1	144	1	18.5	0.49	0.06
2, 3, 4	0.1228	3	83.5	0	0	0.28	0
3	2.23295	2	65	0	0	0.03	0
4	0.1228	5	170	1	7.9	1.38	0.06
Lente de ceniza 1 sobre estrato 5	0.074	3	66.5	0	0	0.9	0
5, 6, 7	0.12055	5	171.5	1	14.2	1.42	0.12
8, 9, 10, 11	0.1052	3	70	0	0	0.67	0
9	0.614	2	49.5	2	7	0.08	0.01
10	0.13815	3	17.5	0	0	0.13	0
Subtotal Fase 1	3.82485	27	837.5	4	47.6	5.38	0.25
11	0.1065	0	0	2	12.1	0	0.11
12	0.1851	3	40	2	21.9	0.22	0.12
13	0.1587	11	547.5	3	30	3.45	0.19
14	1.94955	27	1806	13	179.3	0.93	0.09
14-16 Nivel 1	0.2835	9	524.5	5	102.2	1.85	0.36

Tabla 5. Densidad de los estratos de Disco Verde.

Tabla 5. (...continúa).

UEA	Volumen del estrato (m ³)	Número de redes con cocada	Área de redes (cm ²)	Número de redes sin cocada	Largo de redes (cm)	Área/Volumen (en litros)	Largo/Volumen (en litros)
15	0.50655	1	27.5	0	0	0.05	0
16	1.1455	13	553	12	49.4	0.48	0.04
Subtotal Fase 2	4.3354	64	3498.5	37	394.9	6.98	0.91
17	0.02255	1	14	0	0	0.91	0
18	0.2815	7	192	2	14.8	0.68	0.05
19	0.14535	4	94.5	4	76.7	0.65	0.53
20	0.02255	0	0	3	32.4	0	1.44
21	0.4702	22	991	3	52.7	2.11	0.11
21A	0.0379	0	0	1	8	0	0.21
21B	0.04735	8	228.5	2	10	4.83	0.21
21C	0.11465	23	1230.5	9	67.5	10.73	0.59
21D	0.13815	5	147.5	2	30.7	1.07	0.22
22	0.2149	4	130.5	2	39.3	0.61	0.18
Subtotal Fase 3	1.4951	74	3028.5	28	332.1	21.59	3.54
22B	0.04605	2	14.5	1	34	0.31	0.74
22D	0.0686	5	297	1	12.1	4.33	0.18
23	0.614	15	512	15	197.8	0.83	0.32
23-24	0.614	6	121	5	65.8	0.99	0.54
24	0.1228	6	258.5	8	126.5	2.11	1.03
25	0.75935	32	1698	28	492.6	2.24	1.69
26	0.14535	0	0	0	0	0	0
27	0.07265	12	252	12	128.2	3.47	1.76
28	0.4299	13	797	4	189.4	1.85	0.73
29	0.42165	23	1260	9	113.5	2.99	0.32
30	0	6	277.8	13	191.2	0	0
31	0.2221	1	74	2	35.3	0.33	0.16
32	0.6212	4	327.5	2	22.8	0.53	0.04
33	0.3214	0	0	0	0	0	0
34	0.26815	0	0	0	0	0	0
35	0.3756	0	0	0	0	0	0
36	0.2738	0	0	0	0	0	0
37	0.30295	0	0	1	8.3	0	0.03
38	0.40085	0	0	0	0	0	0
39/40	0.10745	0	0	0	0	0	0
sobre estéril	0.10745	2	59	3	20.1	0.55	0.19
Subtotal Fase 4	6.2953	127	5948.3	104	1637.6	20.53	7.73

Al haber estandarizado la muestra, se puede ver que existen 4 picos claramente diferenciados del resto de los estratos (figura 30). Estos picos corresponden a los estratos 2, 14, 21C y 29.

A su vez, estos picos demuestran que para la explotación de fauna marina hubo diferentes fases, distintas a las fases estilísticas descritas en el capítulo anterior. Estas fases de pesca son 4. La primera va desde el estrato 1 hasta el estrato 11. La segunda va desde el estrato 12 hasta el estrato 16. La tercera va desde el estrato 16 Nivel 1 hasta el estrato 22. La cuarta va desde el estrato 22B hasta el estrato 39/40. Estas fases son las que se van a usar para el análisis de las redes, no van a ser las fases estilísticas ya que el cambio en el estilo de la cerámica no significa necesariamente un cambio en el estilo de pesca.

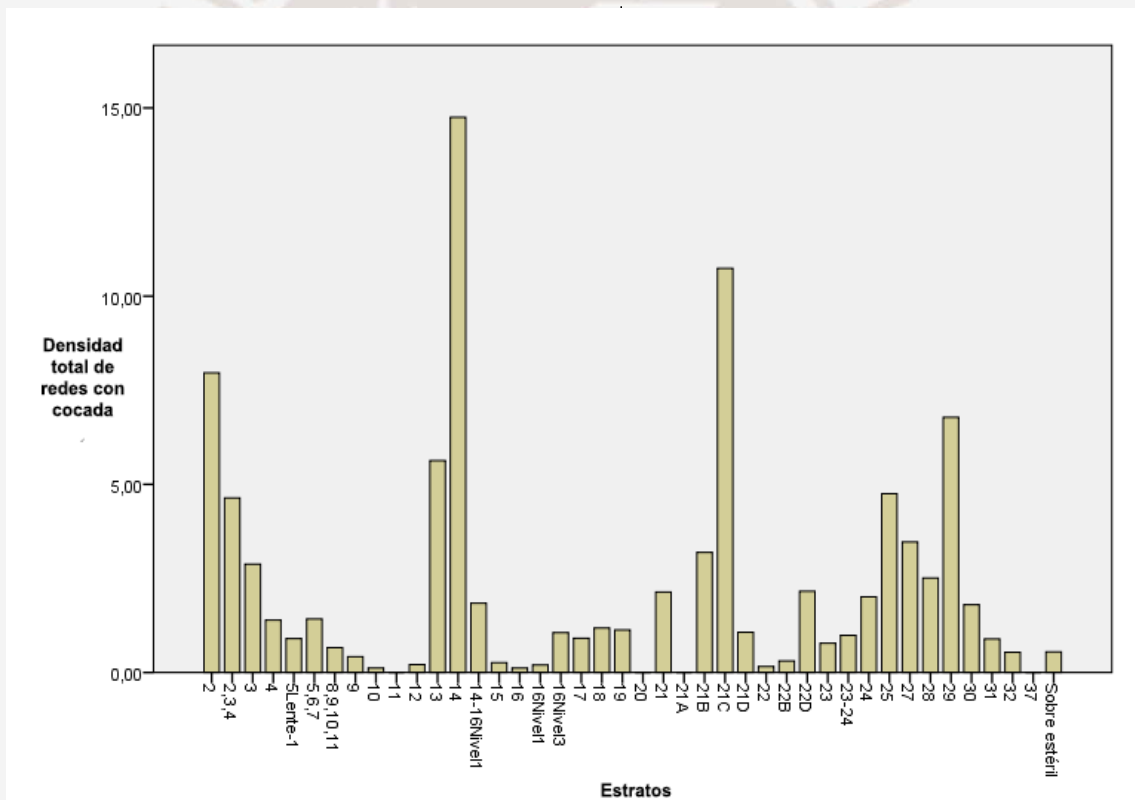


Figura 30. Gráfico de barras de la densidad total por estrato de redes con cocada para el sitio de Disco Verde.

El criterio es puramente cuantitativo, en la medida que no todos los estratos presentan fragmentos de redes o presentan cantidades pequeñas, menores a 10

fragmentos recuperados. En otras palabras, se ha decidido agrupar por los problemas en el tamaño de la muestra.

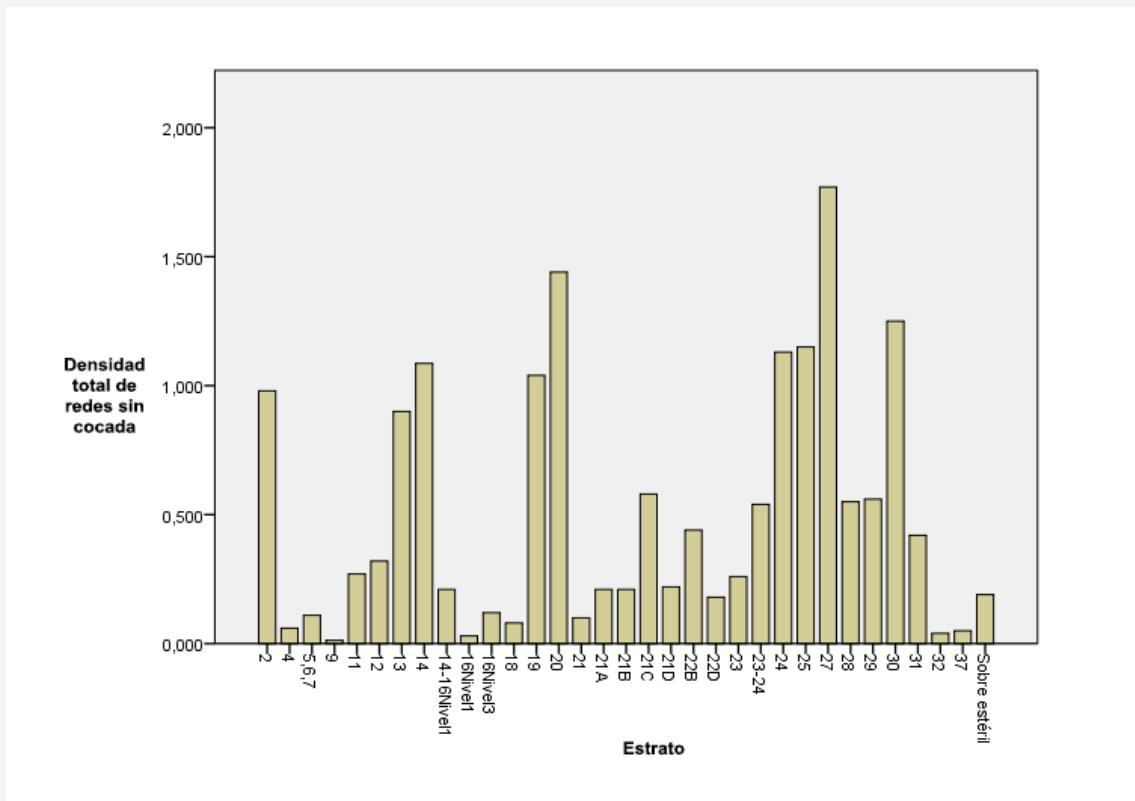


Figura 31. Gráfico de barras de la densidad total por estrato de redes sin cocada para el sitio de Disco Verde.

5.2. Definición de tipos de redes:

Dentro de nuestro análisis, aparte de las redes y los textiles, existe un grupo de hilos sueltos. Estos hilos proveen de información adicional, pero se tenía que poder identificar cuáles probablemente pertenecieron a redes y cuáles a textiles.

Entonces, la primera clasificación que se hizo fue para la torsión, así, tratar de determinar el patrón para los hilos de redes y el patrón para los textiles. De esta manera, todos los hilos sueltos que siguieran el patrón de las redes podrían ser añadidas al presente análisis. Hay que recalcar el hecho de que todas las redes fueron hechas con algodón, no se usó ningún otro material para la fabricación de estas. Viendo los figuras 32 y 33, se puede observar claramente que el patrón para los textiles corresponde a la torsión Z-S, mientras que para las redes, el patrón es Z-S-Z. Por lo cual, todo hilo suelto que tenga el patrón Z-S-Z va a ser considerado como un hilo de red en el presente estudio.

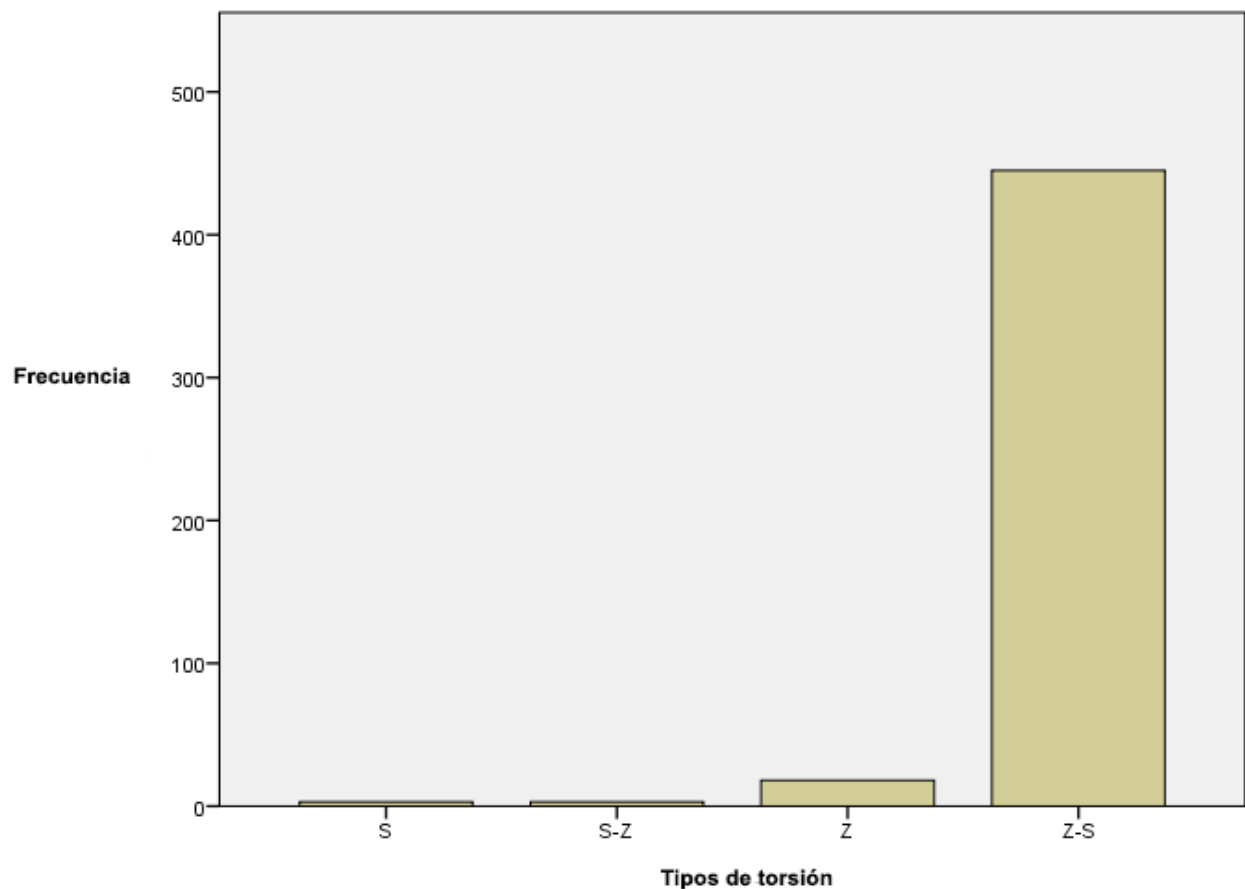


Figura 32. Gráfico de barras de la frecuencia de los tipos de torsión de los hilos para los textiles.

Para el número de cabos del hilo, se puede ver marcadas diferencias entre los textiles y las redes; además, los hilos sueltos de redes siguen el mismo patrón que las redes (ver figuras 34, 35 y 36). Sin embargo, el patrón suele ser que los hilos son hechos con una cantidad par de cabos, lo que va a variar entre textiles en contraste con los hilos sueltos de redes y las redes es la cantidad de cabos que se usa para cada uno. Siendo la tendencia, casi exclusiva, de 2 cabos para los textiles, mientras que para las redes e hilos de redes hay una tendencia decreciente a partir de los 4 cabos en adelante, siempre en número par.

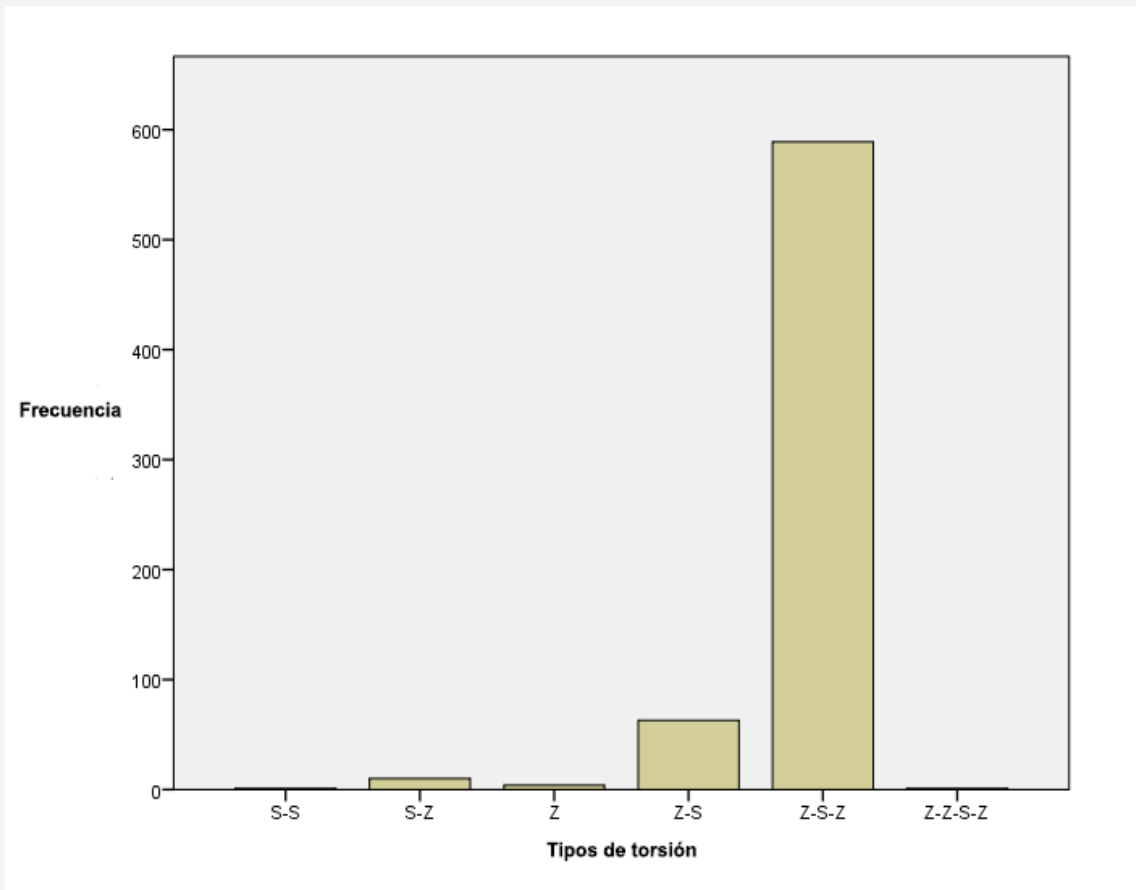


Figura 33. Gráfico de barras de la frecuencia de los tipos de torsión de los hilos para las redes.

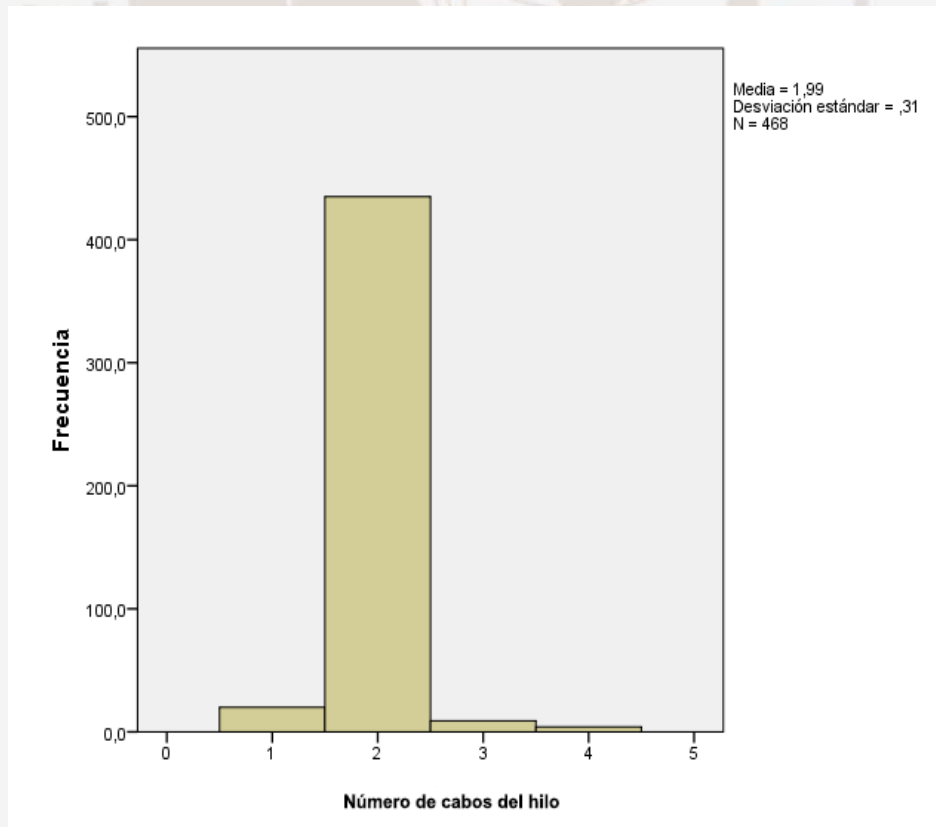


Figura 34. Histograma de la frecuencia de los números de cabos del hilo para los textiles del sitio de Disco Verde.

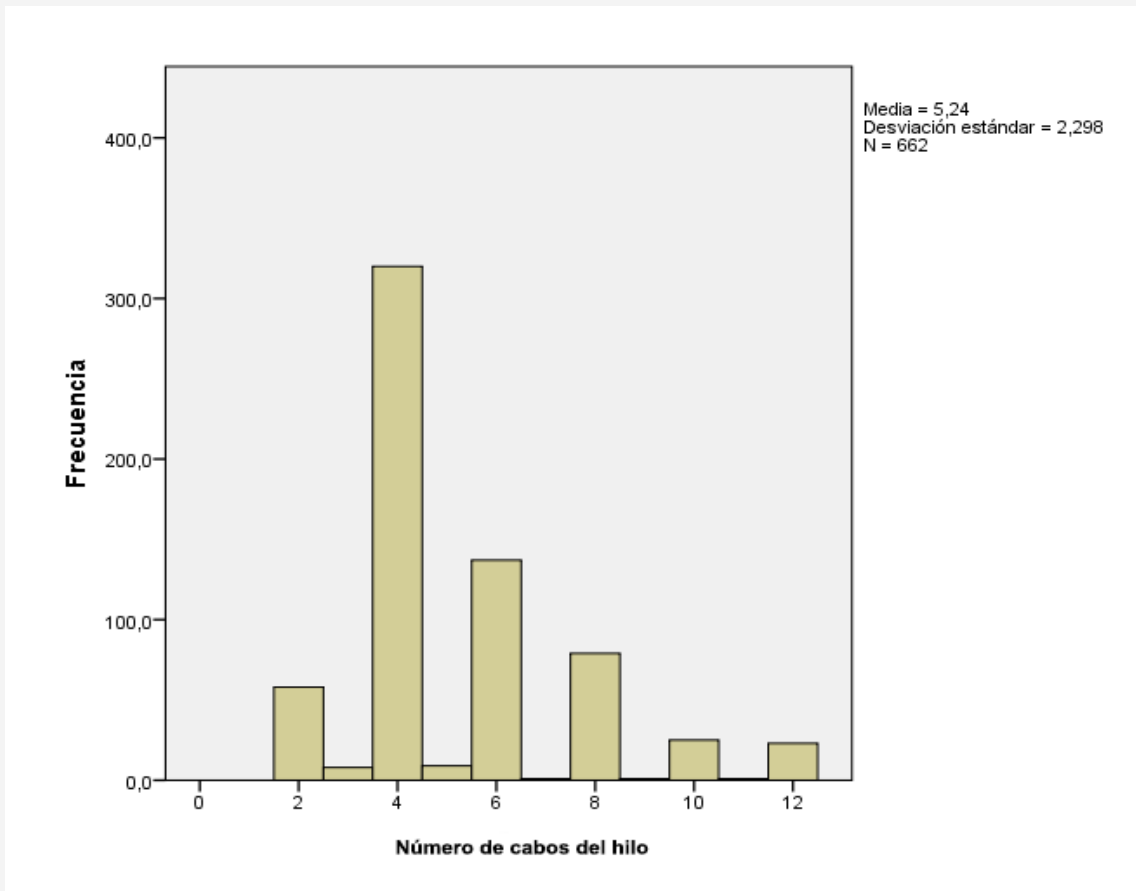


Figura 35. Histograma de la frecuencia de los números de cabos del hilo para las redes del sitio de Disco Verde.

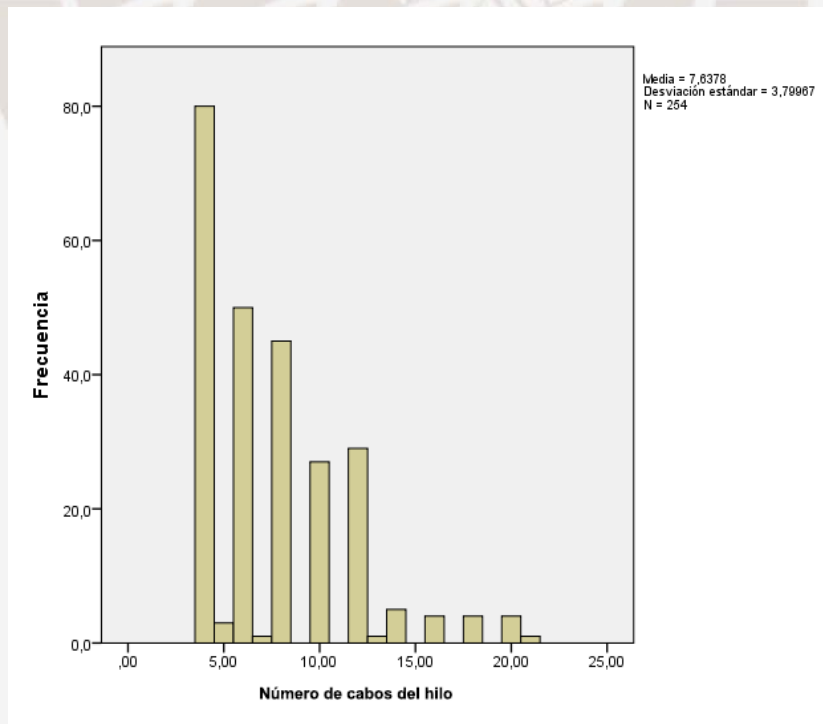


Figura 36. Histograma de la frecuencia de los números de cabos del hilo para los hilos sueltos que pertenecieron a redes del sitio de Disco Verde.

Similar situación se da para el grosor, en mm, del hilo. Hay una gran diferencia entre los textiles y las redes con los hilos sueltos de redes (ver figuras 37, 38 y 39). Así, las tres características básicas del hilo tienen un gran contraste entre los que pertenecen a textiles y los que pertenecen a redes.

En el caso específico de las redes, se puede ver que entre estratos hay una variabilidad marcada, pero lo más probable es que se deba a que el tamaño de la muestra para cada estrato es muy reducida (ver tabla 6 y figura 40). Mientras que a lo largo de las diferentes fases establecidas, no hay una mayor variabilidad entre estas (ver tabla 7 y figura 41).

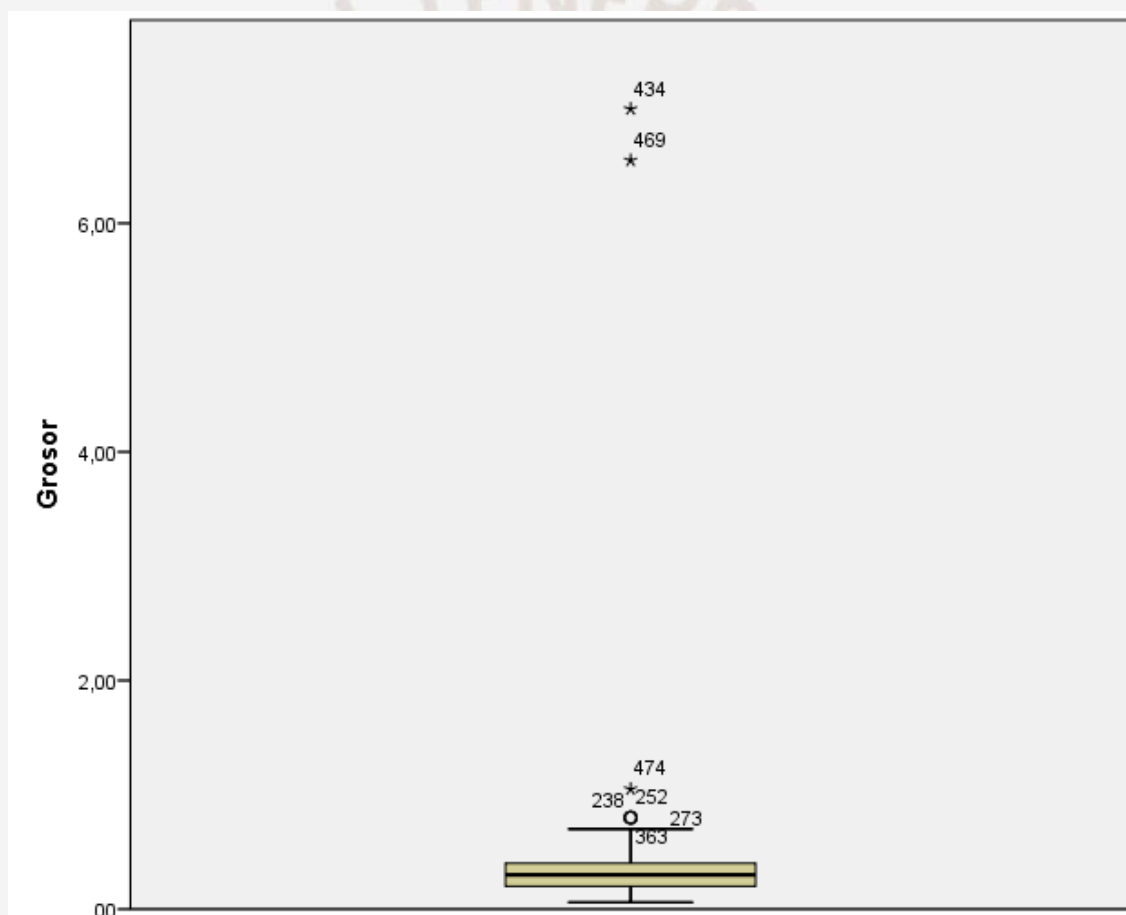


Figura 37. Diagrama de caja para el grosor del hilo de los textiles del sitio de Disco Verde.

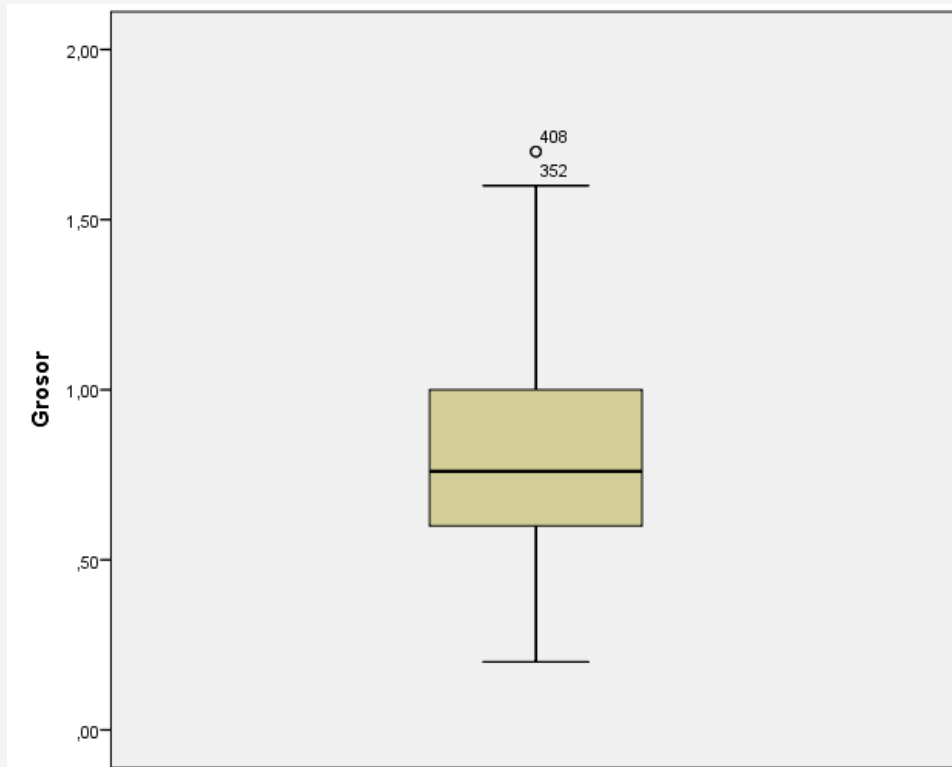


Figura 38. Diagrama de caja para el grosor del hilo de los textiles del sitio de Disco Verde.

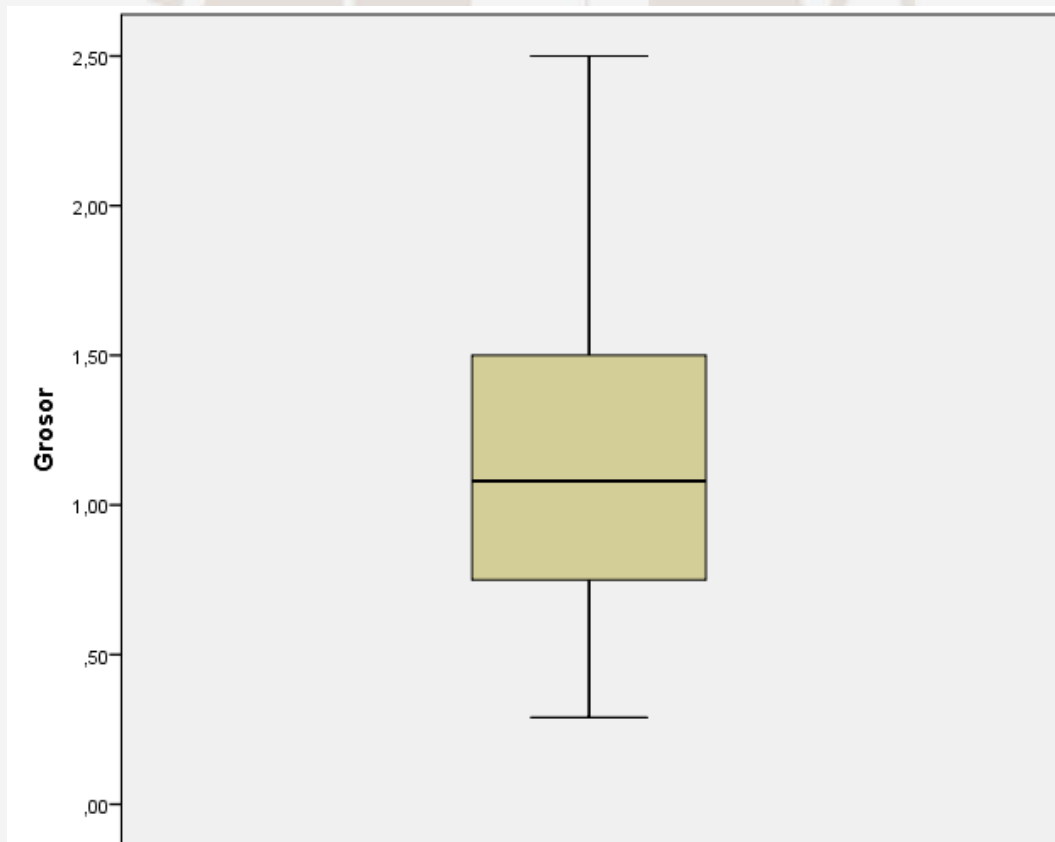


Figura 39. Diagrama de caja para el grosor del hilo de los hilos sueltos que pertenecieron a redes del sitio de Disco Verde.

	Grosor		
	Media	Máximo	Mínimo
Orden 2	1,50	1,50	1,50
2,3,4	,75	1,15	,47
3	,88	,99	,77
4	,76	,93	,48
5Lente-1	,70	,93	,53
5,6,7	1,22	1,50	1,00
8,9,10,11	,71	,96	,58
9	,75	,90	,60
10	,62	1,00	,35
11	.	.	.
12	1,00	1,00	1,00
13	,80	1,30	,58
14	,83	1,17	,54
14-16Nivel1	1,48	1,50	1,25
15	,83	,83	,83
16	,67	,67	,66
16Nivel1	.	.	.
16Nivel3	,72	1,00	,33
17	,70	,70	,70
18	,80	1,00	,59
19	,66	,84	,57
20	.	.	.
21	,88	1,14	,55
21A	.	.	.
21B	,89	1,50	,60
21C	,80	1,20	,40
21D	,83	1,08	,61
22	,80	,90	,70
22B	,50	,50	,50
22D	,70	1,10	,50
23	,79	1,20	,40
23-24	,75	1,00	,40
24	,75	1,70	,30
25	,81	1,60	,40
27	,75	1,00	,40
28	,99	1,50	,50
29	,73	1,50	,30
30	,55	,70	,30
31	1,00	1,00	1,00
32	,73	1,30	,40
37	.	.	.
Sobre estéril	,55	,60	,50

Tabla 6. Grosor del hilo de las redes por estrato del sitio de Disco Verde.

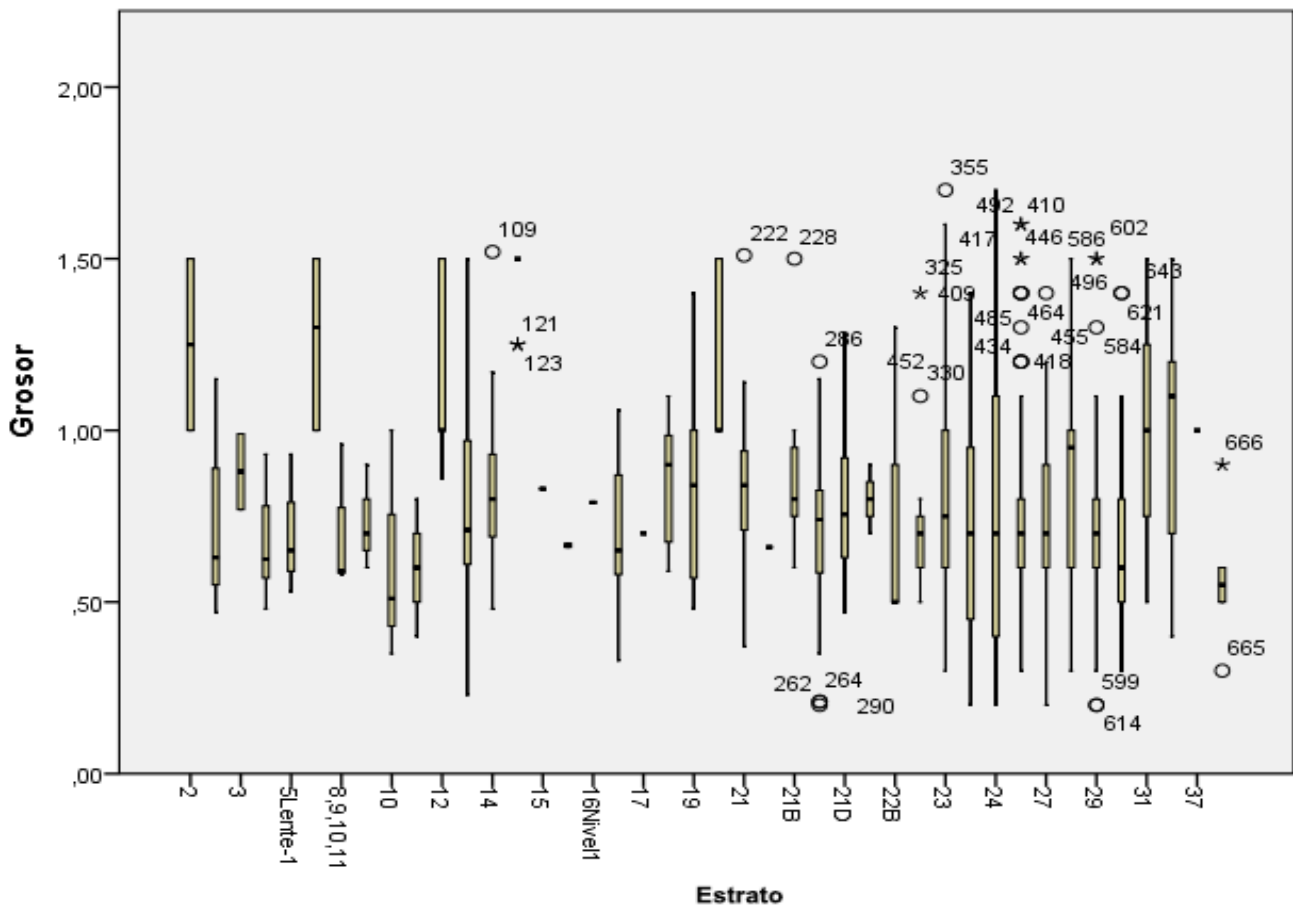


Figura 40. Diagrama de cajas por estrato del grosor del hilo de las redes del sitio de Disco Verde.

		Grosor del hilo		
		Media	Mínimo	Máximo
Fase	1	,85	,35	1,50
	2	,94	,54	1,50
	3	,80	,33	1,50
	4	,79	,30	1,70

Tabla 7. Grosor del hilo de las redes por fase del sitio de Disco Verde.

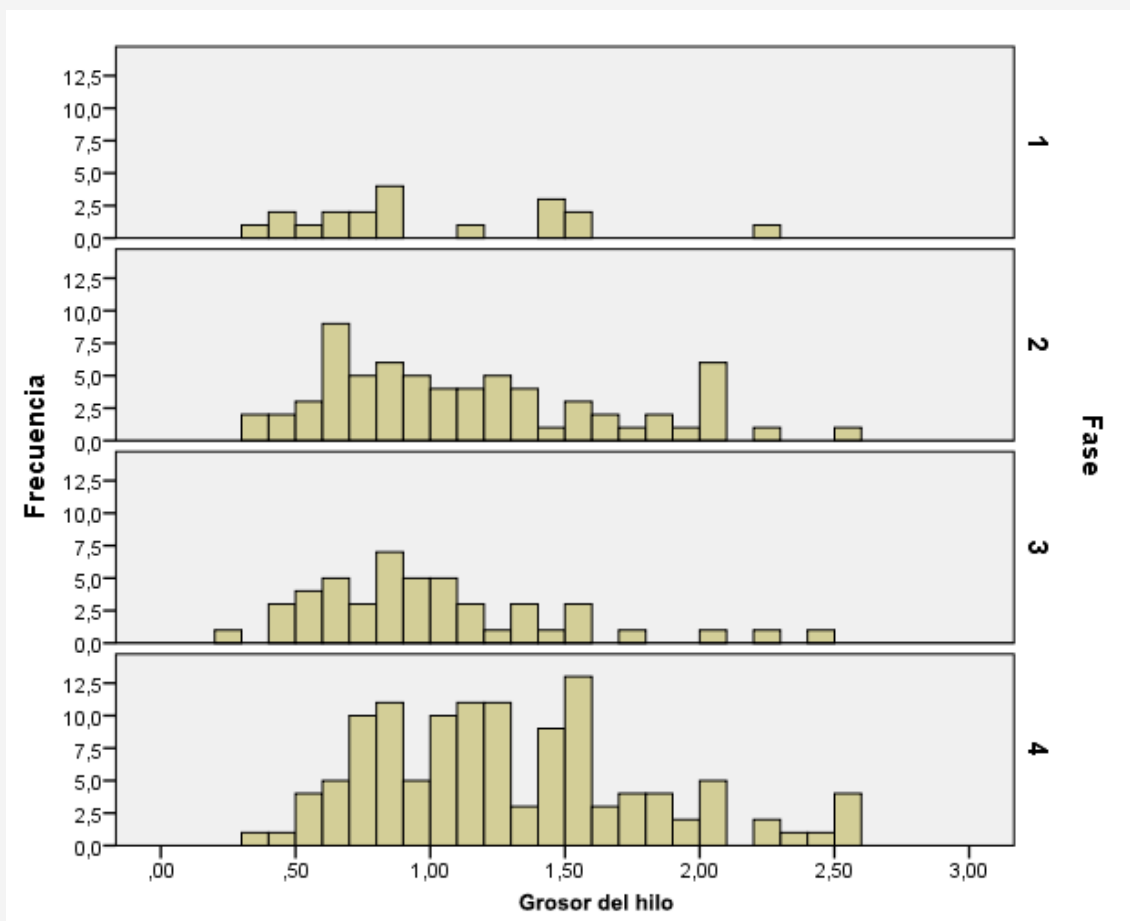


Figura 41. Histogramas por fases de la frecuencia del grosor del hilo de los hilos sueltos del sitio de Disco Verde.

De igual manera las similitudes se mantienen para el ancho y largo del nudo simple de las redes entre estratos y por fases (ver tablas 8, 9 y figura 42 y 43). Asimismo, para una correlación entre el tamaño del nudo y la cocada, se puede usar solamente una de estas dos variables ya que entre ellas existe una muy fuerte correlación (ver figura 43).

	Largonudosimple			Anchonudosimple		
	Media	Máximo	Mínimo	Media	Máximo	Mínimo
Estrato 2	4,00	4,00	4,00	1,50	1,50	1,50
2,3,4	2,37	2,59	2,23	1,64	1,80	1,39
3	3,51	3,69	3,32	1,81	1,82	1,80
4	2,40	2,86	1,96	1,49	1,82	1,27
5Lente-1	2,39	3,28	1,88	1,68	2,18	1,43
5,6,7	3,60	4,00	3,00	1,40	1,50	1,00
8,9,10,11	2,36	2,83	2,03	1,73	1,93	1,54
9	2,00	2,10	1,90	,80	1,00	,60
10	2,42	2,80	1,78	1,43	1,51	1,29
11
12	3,00	3,00	3,00	1,50	1,50	1,50
13	2,52	3,13	1,96	1,72	2,16	1,20

Tabla 8. Largo y ancho del nudo simple por estrato para el sitio de Disco Verde.

Tabla 8. (...continúa).

		Largonudosimple			Anchonudosimple		
		Media	Máximo	Mínimo	Media	Máximo	Mínimo
Estrato	14	2,68	3,87	1,80	1,53	2,78	,70
	14-16Nivel1	3,22	4,00	2,50	1,39	2,00	1,00
	15	3,42	3,42	3,42	2,21	2,21	2,21
	16	2,34	2,46	2,21	1,44	1,45	1,43
	16Nivel1
	16Nivel3	2,62	3,48	1,38	1,58	2,52	,77
	17	2,89	2,89	2,89	2,08	2,08	2,08
	18	2,45	3,76	1,60	1,43	3,06	,80
	19	2,62	3,38	2,16	1,62	1,75	1,51
	20
	21	2,72	4,10	2,05	1,83	2,86	1,10
	21A
	21B	2,40	3,20	1,80	1,33	1,60	1,00
	21C	2,91	4,26	1,73	1,89	2,70	1,27
	21D	3,00	3,65	2,18	1,91	2,84	1,34
	22	2,13	2,50	1,80	,87	1,00	,70
	22B	1,00	1,00	1,00	,50	,50	,50
	22D	2,40	3,30	1,70	1,38	2,30	1,00
	23	2,19	2,70	1,10	1,06	1,60	,30
	23-24	1,88	2,70	,80	,75	1,10	,50
	24	2,20	4,10	1,20	1,23	2,20	,90
	25	2,62	4,50	1,40	1,58	3,50	,70
	27	2,27	2,90	1,50	1,12	1,50	,60
	28	2,71	3,50	2,00	1,45	2,00	1,00
	29	2,78	5,20	1,40	1,59	3,60	,70
	30	1,78	2,30	1,50	1,02	1,40	,70
	31	3,00	3,00	3,00	1,50	1,50	1,50
	32	2,32	4,00	1,20	1,08	2,10	,60
	37
	Sobre estéril	2,55	2,60	2,50	1,00	1,20	,80

		Largonudosimple			Anchonudosimple		
		Media	Máximo	Mínimo	Media	Máximo	Mínimo
Fase	1	2,72	4,00	1,78	1,50	2,18	,60
	2	2,74	4,00	1,80	1,55	2,78	,70
	3	2,67	4,26	1,00	1,67	3,06	,50
	4	2,47	5,20	,80	1,35	3,60	,30

Tabla 9. Largo y ancho del nudo simple por fase del sitio de Disco Verde.

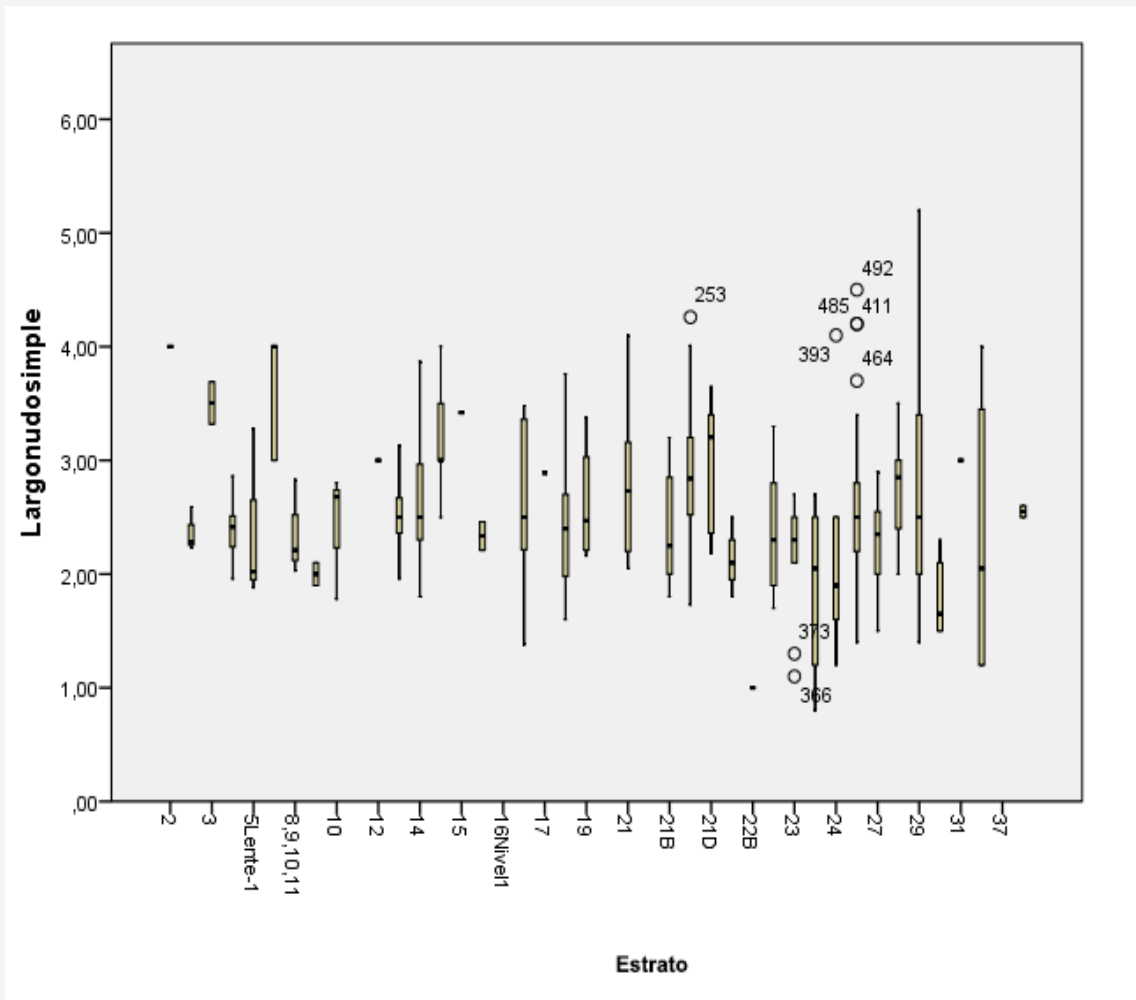


Figura 42. Diagrama de cajas para el largo del nudo simple por estrato del sitio de Disco Verde.

Casi toda la muestra ha sido hecha con nudos simples, salvo algunas excepciones; es la regla general para la creación de redes.

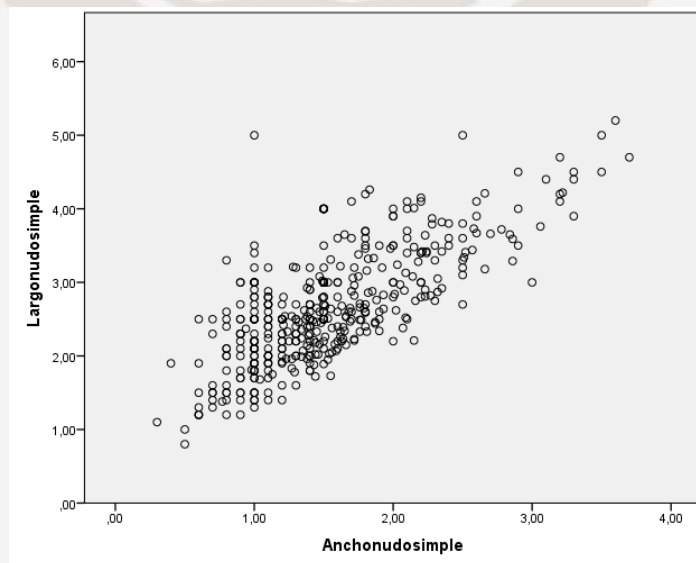


Figura 43. Diagrama de dispersión del largo y ancho del nudo simple.

La variación va a existir entre los tipos de nudos adicionales que cada fragmento de red puede presentar. Pero, en estos casos, los tipos de nudos que no sean el simple van a ser casos aislados dentro del mismo fragmento; es decir, la red siempre va a ser creada con nudos simples, pero puede presentar algún o algunos nudos de otro tipo o tipos. Estos tipos de nudos adicionales registrados son el doble, el triple y el múltiple. No se ha registrado ningún otro tipo de nudo más allá de los cuatro mencionados. Esto se puede ver en la siguiente tabla:

	Nudo simple	Densidad	Nudo doble	Densidad	Nudo triple	Densidad	Nudo múltiple	Densidad	Nudo simple y nudo doble	Densidad	Nudo simple y nudo múltiple	Densidad	Nudo simple y nudo triple	Densidad	Nudo simple, doble y triple	Densidad	Nudo simple, doble y múltiple	Densidad	Nudo simple, múltiple y triple	Densidad	Nudo simple, doble, triple y múltiple	Densidad	
Fase 1	29	9.65	0	0.00	0	0	0	0.00	1	0.20	4	2.36	1	7.96	0	0	0	0	0	0	0	0	0
2	62	23.00	2	0.66	0	0	1	0.03	10	2.39	12	3.11	0	0	0	0	3	1.35	0	0	0	0	0
3	72	7.34	2	0.39	0	0	2	0.59	9	3.69	15	4.30	3	0.95	2	0.20	8	1.87	0	0	1	0.29	0.29
4	130	6.71	10	0.85	0	0	17	1.13	14	6.64	42	4.92	3	1.15	1	1.22	17	3.06	2	0.15	3	0.83	0.83
Total	293	46.70	14	1.90	0	0	20	1.74	34	12.92	73	14.68	7	10.06	3	1.42	28	6.28	2	0.15	4	1.13	1.13

Tabla 10. Distribución de los tipos de nudos y combinaciones de los mismos por fases del sitio de Disco Verde.

5.3. Análisis de la cocada:

La siguiente variable que se ha analizado para la creación de tipos es el tamaño del perímetro de la cocada. En este caso la cantidad de redes analizadas es menor debido a que solamente se toman en cuenta aquellas que han conservado la cocada completa, mientras que aquellas que no han podido conservar la cocada completa quedan fuera de estos tipos.

En el histograma presentado se puede ver claramente cuatro modas que agrupan los datos conseguidos (ver figura 44):

Sin embargo, si uno ordena las redes por el tamaño de cocada de la más grande a la más pequeña (ver figura 45), se obtienen seis grupos diferentes para el tamaño de esta. El primer va entre 0 a 3cm; el segundo grupo es >3cm hasta 4cm; el tercero es >4cm hasta 6cm; el cuarto es >6cm hasta 7cm; el quinto es >7cm hasta 9cm y el sexto es >9cm (ver tabla 11).

Esto se obtiene al ver los puntos de inflexión en la figura 45.

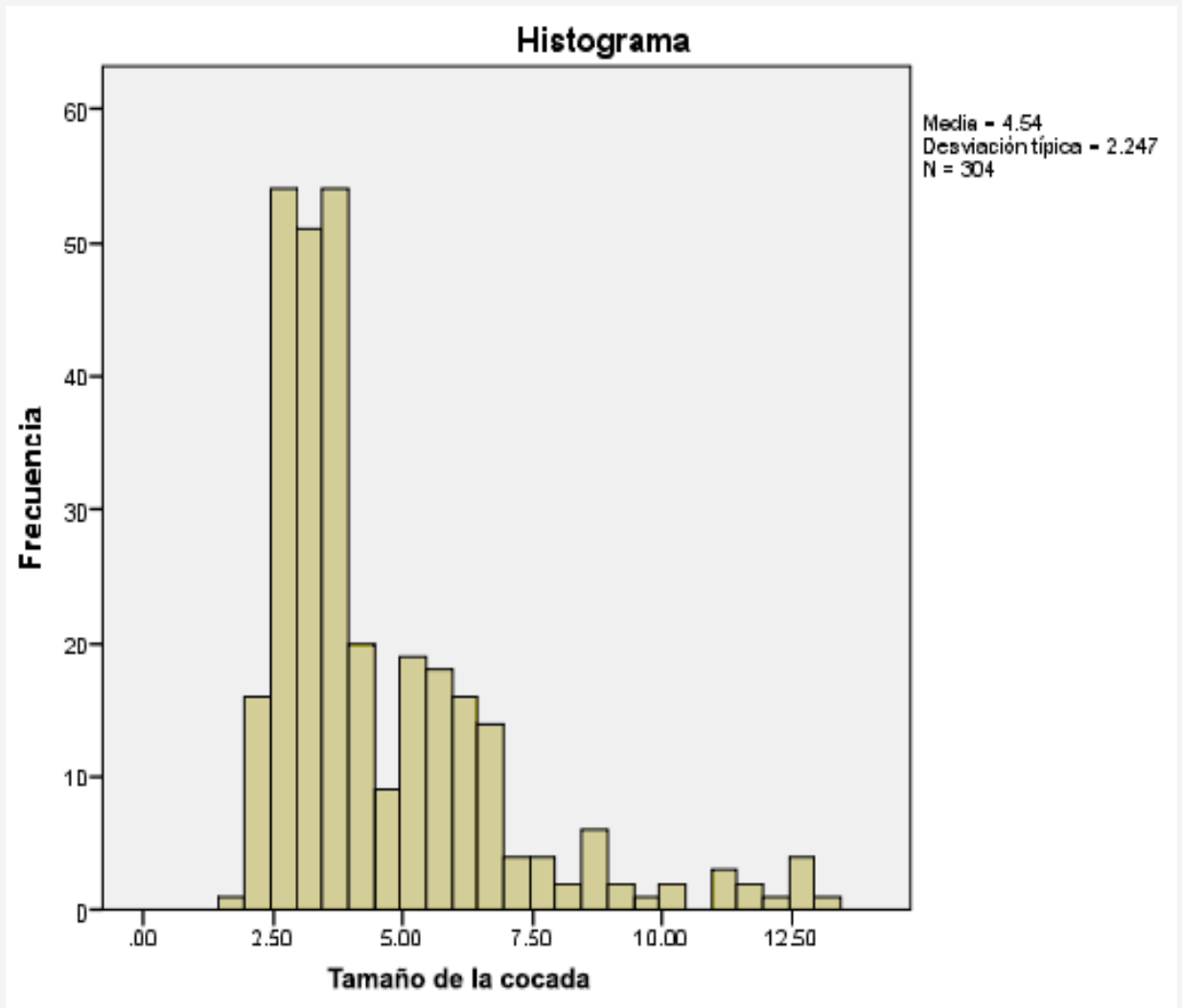


Figura 44. Histograma para la medida de la cocada de los fragmentos de redes recuperados. En este se pueden ver cuatro modas.

Tipo	Tamaño
1	0-3cm
2	>3, =4cm
3	>4, =6cm
4	>6, =7cm
5	>7, =9cm
6	>9cm

Tabla 11. Tipos de tamaño de la cocada para las redes de Disco Verde

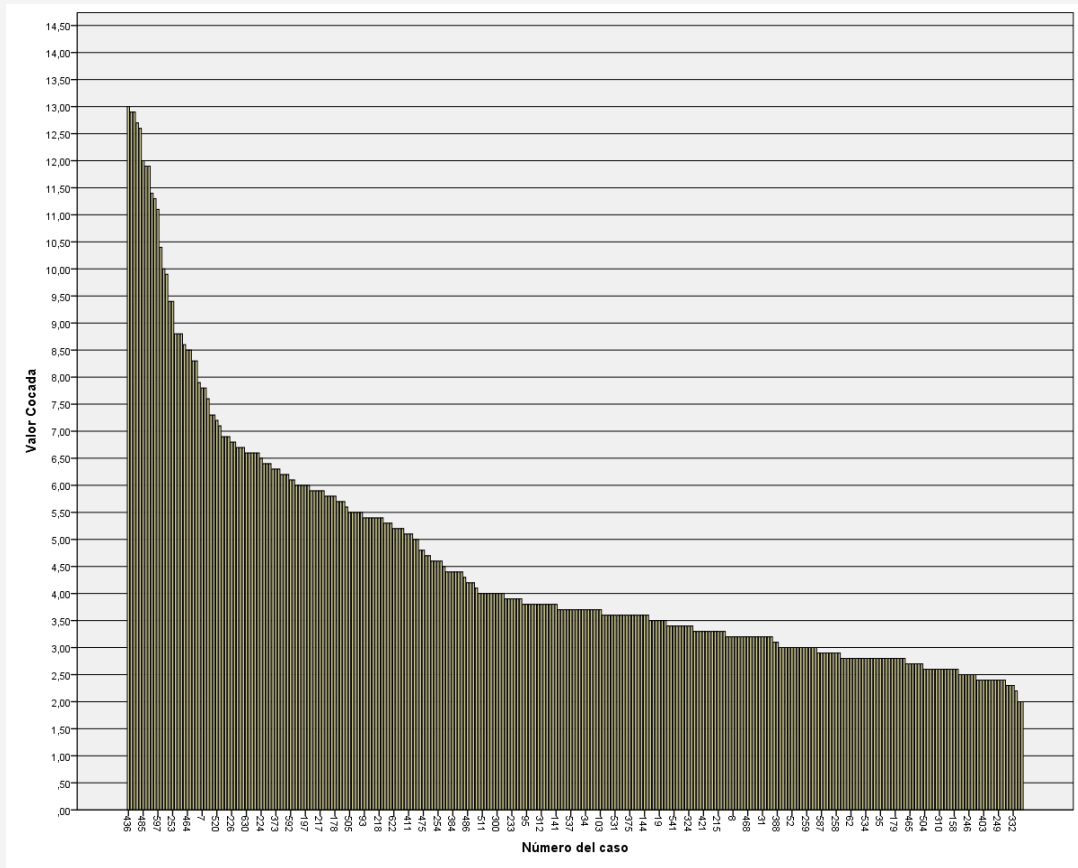


Figura 45. Tamaño de cocada de todas las redes ordenadas de mayor a menor para el sitio de Disco Verde.

Al observar la distribución por fases del tamaño de la cocada, se puede ver que para las fases más tempranas hay presencia de redes con cocada más grande. Estos tamaños desaparecen para la última fase, la más tardía (ver figuras 46, 47). Esta tendencia puede ser un indicador de que en las fases más tempranas se pescaba peces de mayor tamaño y que por eso se necesitaba cocadas más grandes. Asimismo, la ausencia de estas en la fase más tardía indica que muy probablemente se dejó de pescar este tipo de peces.

Este contraste será desarrollado más adelante.

Al observar esta distribución entre estratos (ver figuras 48, 49), se puede ver una gran fluctuación en el tamaño de la cocada. Esto se debe al tamaño de la muestra, como ya ha sido explicado, y a casos atípicos.

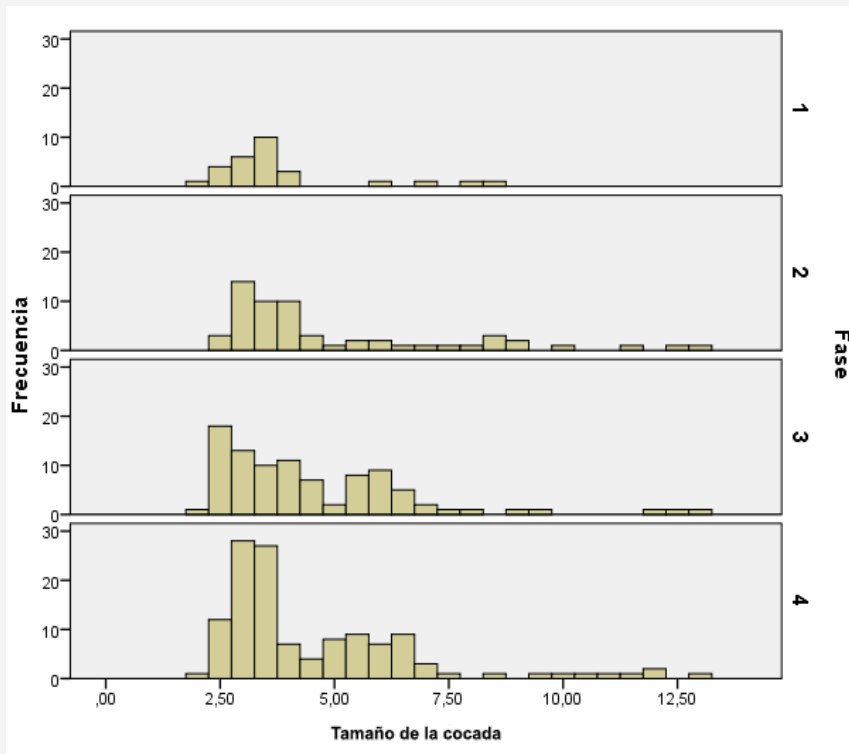


Figura 46. Histograma del tamaño de la cocada por fases del sitio de Disco Verde.

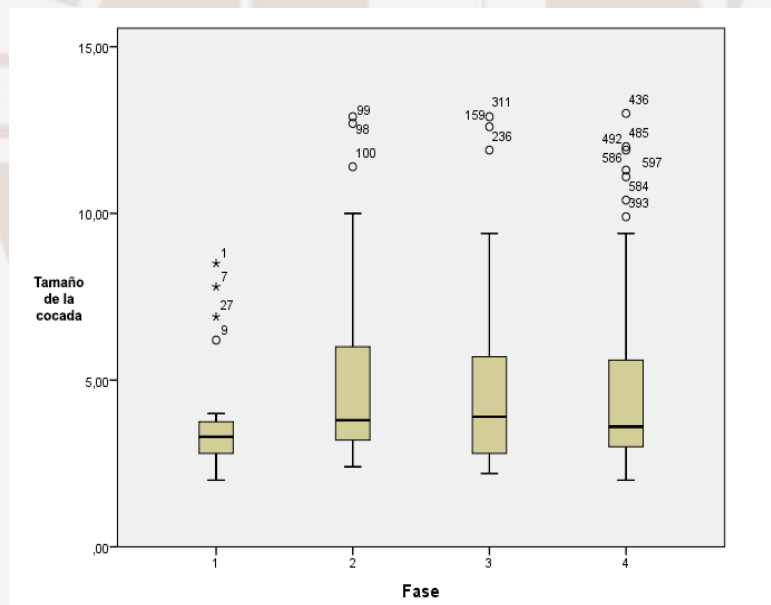


Figura 47. Diagrama de cajas del tamaño de la cocada por fases del sitio de Disco Verde.

Al hacer una nube de puntos entre el grosor del hilo y el tamaño de la cocada, se puede ver que existe una correlación entre una variable y otra. Es decir, mientras más grande la cocada, más grueso el hilo. Sin embargo, también viendo la nube de puntos se puede apreciar que, aunque es una tendencia, no necesariamente va a ser siempre así (ver figura 50).

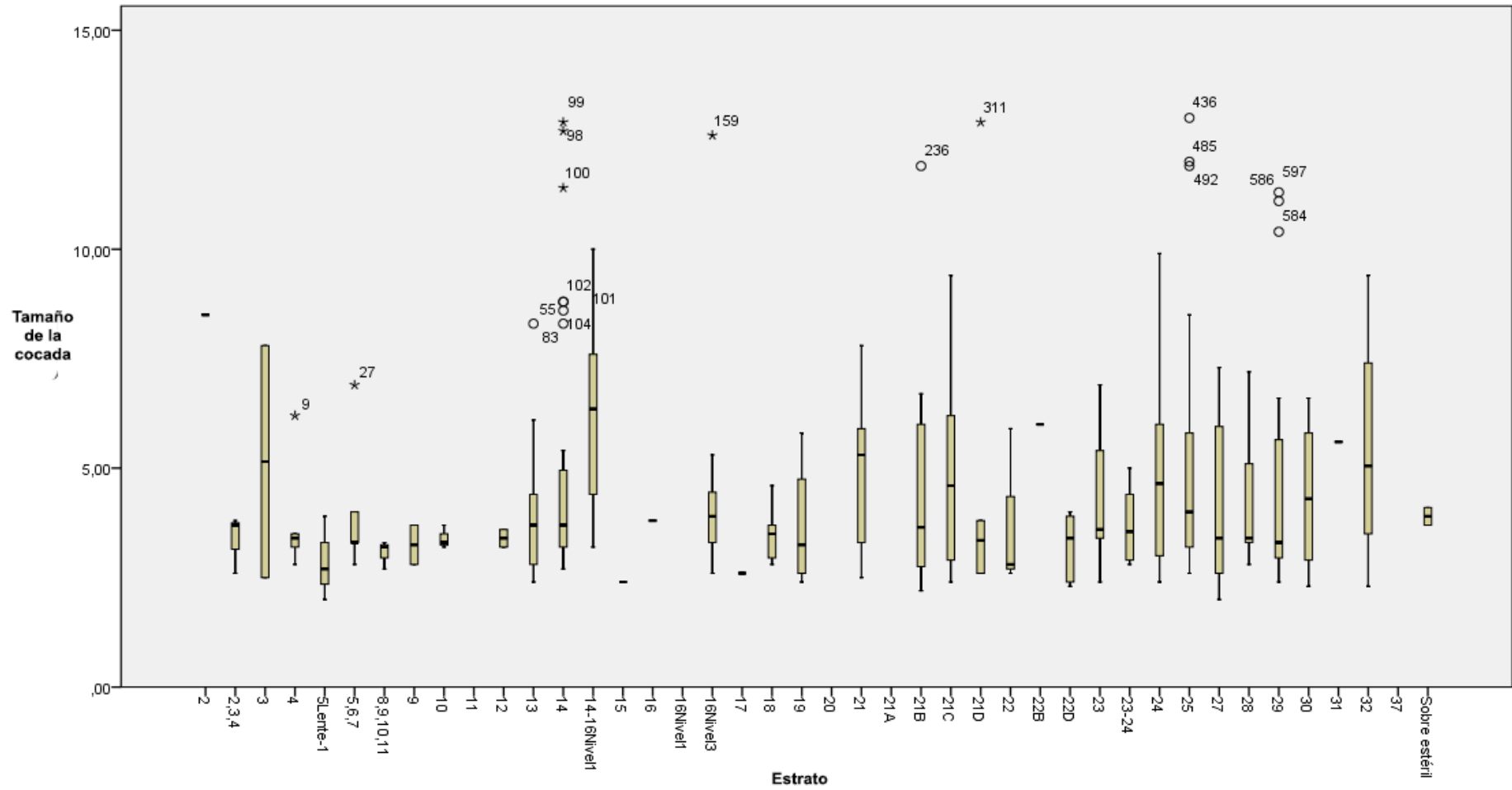


Figura 48. Diagrama de cajas del tamaño de la cocada por estratos para el sitio de Disco Verde.

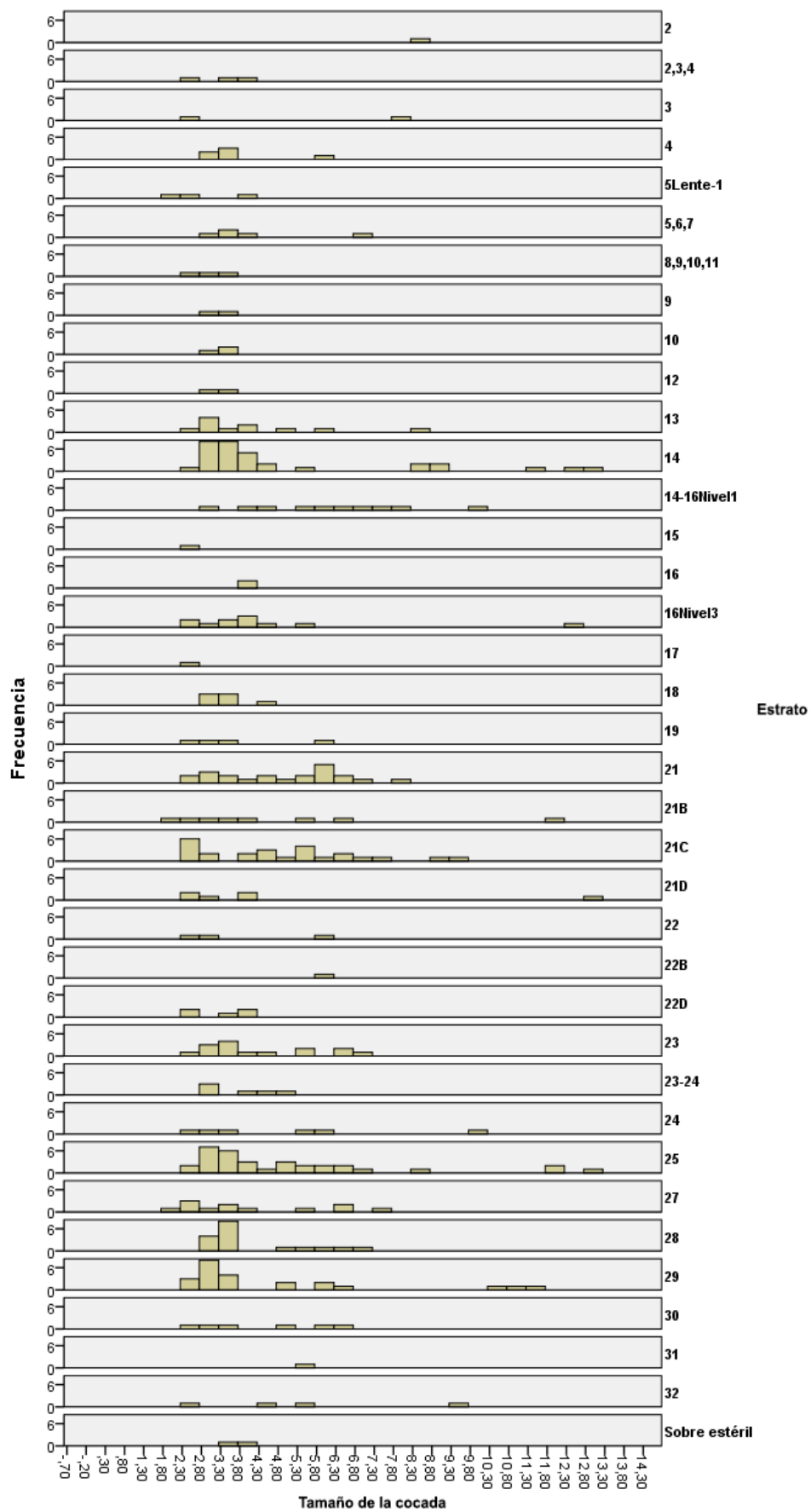


Figura 49. Histogramas del tamaño de la cocada por estratos para el sitio de Disco Verde.

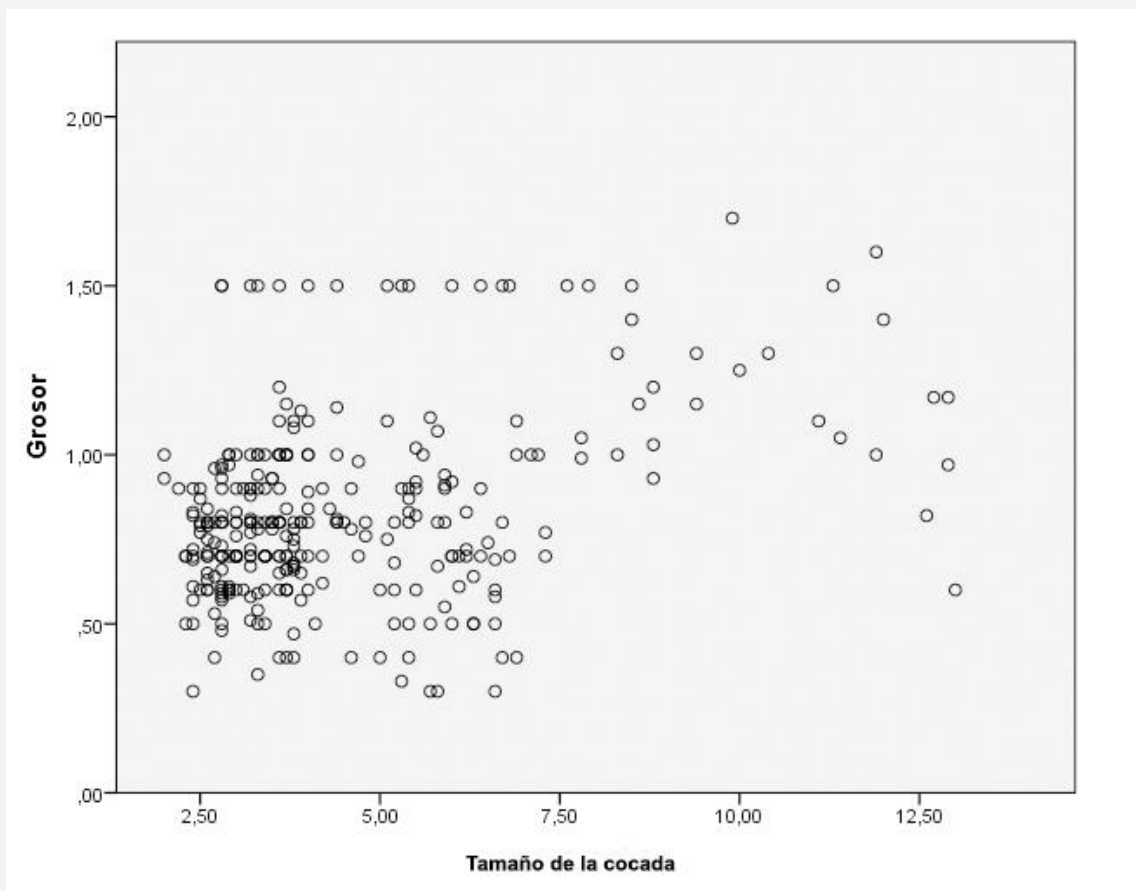


Figura 50. Diagrama de dispersión entre el grosor y el tamaño de la cocada para el sitio de Disco Verde.

Habiendo terminado el análisis para las redes de Disco Verde, se procede a hacer la comparación con el material recuperado del sitio de Karwa. En esta comparación solo se va a usar las fases de ocupación 1 y 2 de Disco Verde debido a que son las únicas que tienen contemporaneidad con las ocupaciones de Karwa como lo ha determinado el PIA Paracas.

5.4. Comparación entre Disco Verde y Karwa:

El sitio de Karwa se encuentra frente a la isla de Independencia en la bahía del mismo nombre dentro de la Reserva Nacional de Paracas. Está conformado por varios montículos de valvas de moluscos, también conocidos como conchales, y ha sido intensamente saqueado.

Al igual que en el sitio de Disco Verde, el PIA Paracas realizó excavaciones en el sitio de Karwa, ubicado dentro de la Reserva Nacional de Paracas en la Bahía de Independencia. Estas excavaciones se llevaron a cabo mediante columnas muestrales de

50x50 cm. Se hicieron un total de 4 columnas muestrales en dos perfiles diferentes, de un total de 6 perfiles definidos. Estos perfiles fueron el perfil 1 y el perfil 3.

En la siguiente tabla se puede ver las densidades de los diferentes estratos excavados (ver figuras 51, 52, 53 y 54):

Perfil	Columna	Estrato	Nivel	Volumen del estrato (en m³)	Número de redes con cocada	Área de redes	Número de redes sin cocada	Largo de redes	Área/Volumen	Largo/Volumen
1	1	2	B	0.01535	0	0	0	0	0	0
1	1	5		0.0307	0	0	0	0	0	0
1	1	6		0.01535	0	0	0	0	0	0
1	1	7	A	0.023	0	0	0	0	0	0
1	1	7	B	0.00365	0	0	0	0	0	0
1	1	10		0.1535	3	367.93	3	65.7	2.4	0.43
1	1	13		0.0266	0	0	0	0	0	0
1	1	15		0.03435	0	0	1	10	0	0.29
1	1	17		0.01535	0	0	1	12.1	0	0.79
1	1	22		0.00765	0	0	0	0	0	0
1	1	23		0.0307	3	592.4	4	110.3	19.3	3.59
1	1	49		0.00365	0	0	0	0	0	0
1	1	50		0.00765	0	0	0	0	0	0
1	1	51		0.1765	2	134.86	0	0	0.76	0
1	1	52		0.00765	0	0	0	0	0	0
1	1	53		0.00365	1	28.37	0	0	7.77	0
1	1	54		0.00365	0	0	0	0	0	0
1	2	0		0.00765	0	0	0	0	0	0
1	2	1	1	0.0307	0	0	0	0	0	0
1	2	1	2	0.0307	1	32.52	8	146.9	1.06	4.79
1	2	3	A	0.00765	0	0	1	6.5	0	0.85
1	2	3	B	0.00275	1	90.68	0	0	32.97	0
1	2	3	C	0.0052	1	145.73	1	21.1	28.03	4.06
1	2	4	1	0.0052	0	0	0	0	0	0
1	2	4	2	0.02055	3	59.88	1	17.5	2.91	0.85
1	2	7		0.0131	0	0	0	0	0	0
1	2	8	1	0.00765	0	0	2	12.6	0	1.65
1	2	8	2	0.0104	4	466.84	2	49	44.89	4.71
1	2	8	3	0.0614	0	0	1	6	0	0.1
1	2	9	1	0.0131	0	0	0	0	0	0
1	2	9	2	0.01535	0	0	1	9.9	0	0.64
3	1	0		0.0307	0	0	0	0	0	0
3	1	1		0.0307	0	0	0	0	0	0
3	1	2		0.03835	1	8.52	1	27.1	0.22	0.71

Tabla 12. Densidades de las redes con cocada y sin cocada en el sitio de Karwa.

Tabla 12. (...continúa)

Perfil	Columna	Estrato	Nivel	Volumen del estrato (en m³)	Número de redes con cocada	Área de redes	Número de redes sin cocada	Largo de redes	Área/Volumen	Largo/Volumen
3	1	3		0.0307	0	0	0	0	0	0
3	1	4		0	0	0	0	0	0	0
3	1	5		0.0307	0	0	0	0	0	0
3	1	6	1	0.05645	3	31.17	4	6.8	0.55	0.12
3	1	6	2	0.00765	0	0	0	0	0	0
3	1	6	3	0.0537	3	67.08	0	0	1.25	0
3	1	7 y 8		0.0723	1	11.79	0	0	0.16	0
3	1	9		0.01535	0	0	0	0	0	0
3	1	10		0.00765	0	0	0	0	0	0
3	1	11	1	0.02055	0	0	0	0	0	0
3	1	11	2	0.0126	2	38.6	1	12.2	3.06	0.97
3	1	12		0.0126	2	235.97	4	27.1	18.73	2.15
3	1	13		0.0339	0	0	0	0	0	0
3	1	14		0	1	16.1	0	0	0	0
3	1	15		0.04605	0	0	1	4.7	0	0.1
3	1	16	1	0.0181	0	0	1	5.4	0	0.3
3	1	16	2	0.02575	1	3.3	0	0	0.13	0
3	1	17		0.0052	0	0	1	7.8	0	1.5
3	1	18		0.01535	0	0	0	0	0	0
3	2	1		0	1	4.79	0	0	0	0
3	2	3		0.0307	1	27.24	0	0	0.89	0
3	2	4		0.03835	0	0	0	0	0	0
3	2	5		0.0844	0	0	0	0	0	0
3	2	6		0.0581	2	56.05	1	2.6	0.96	0.04
3	2	7		0.1608	5	234.28	8	98.3	1.46	0.61
3	2	9		0	1	8.22	0	0	0	0
3	2	9	2	0.0614	2	152.26	3	14.3	2.48	0.23
3	2	10		0.0497	1	115.99	2	21.1	2.33	0.42
3	2	11		0	1	9.81	3	26.2	0	0
3	2	11	2	0.04605	4	54.65	6	26	1.19	0.56

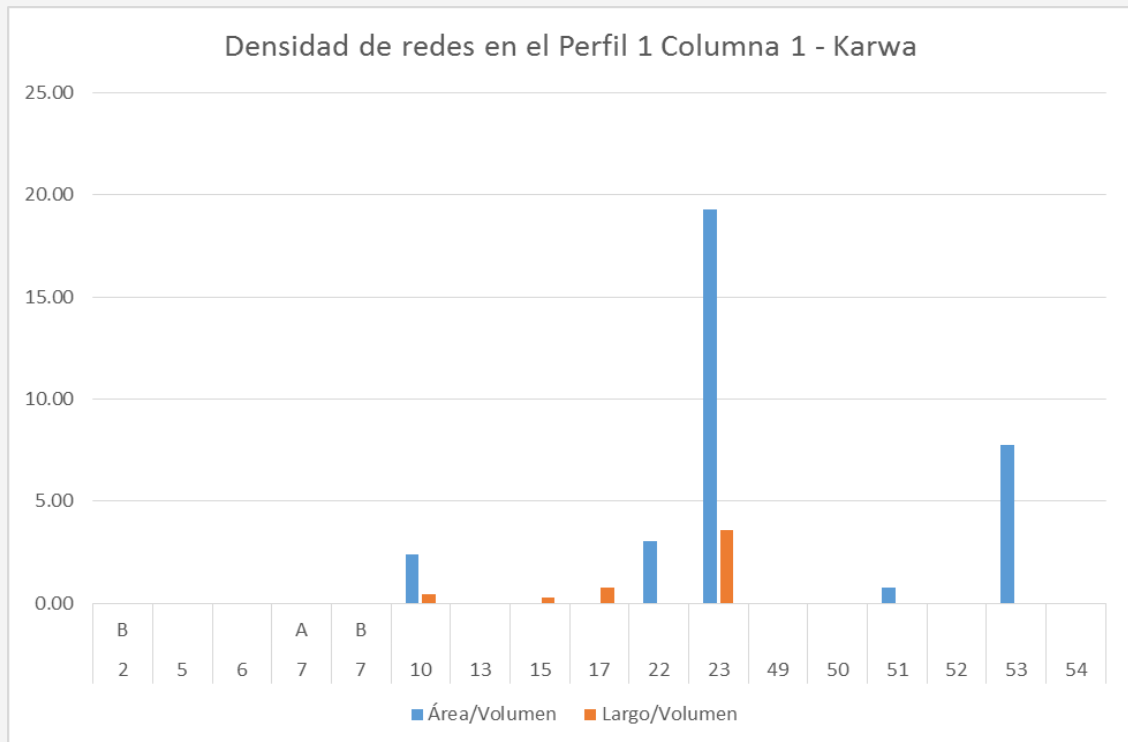


Figura 51. Distribución de las redes por estrato según la densidad de estas (área de redes, con cocada, y largo de redes, sin cocada, entre volumen excavado en litros por estrato) para la columna 1 del perfil 1 del sitio de Karwa.

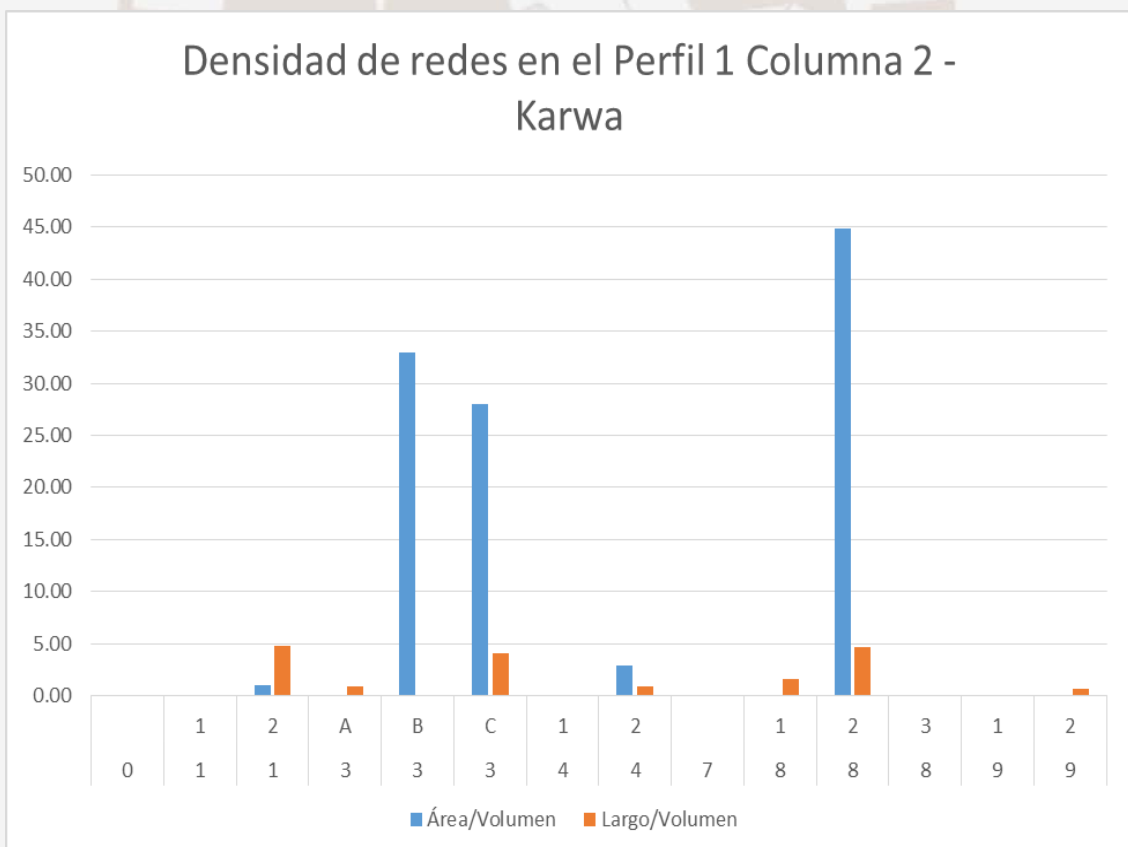


Figura 52. Distribución de las redes por estrato según la densidad de estas (área de redes, con cocada, y largo de redes, sin cocada, entre volumen excavado en litros por estrato) para la columna 2 del perfil 1 del sitio de Karwa.

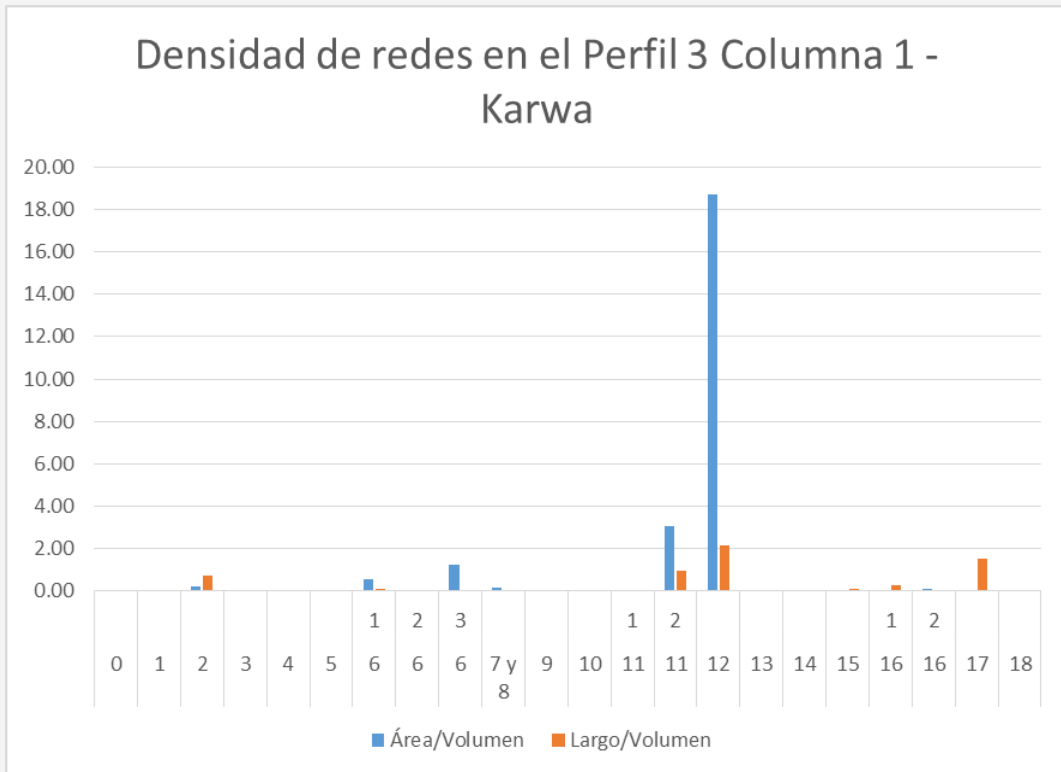


Figura 53. Distribución de las redes por estrato según la densidad de estas (área de redes, con cocada, y largo de redes, sin cocada, entre volumen excavado en litros por estrato) para la columna 1 del perfil 3 del sitio de Karwa.

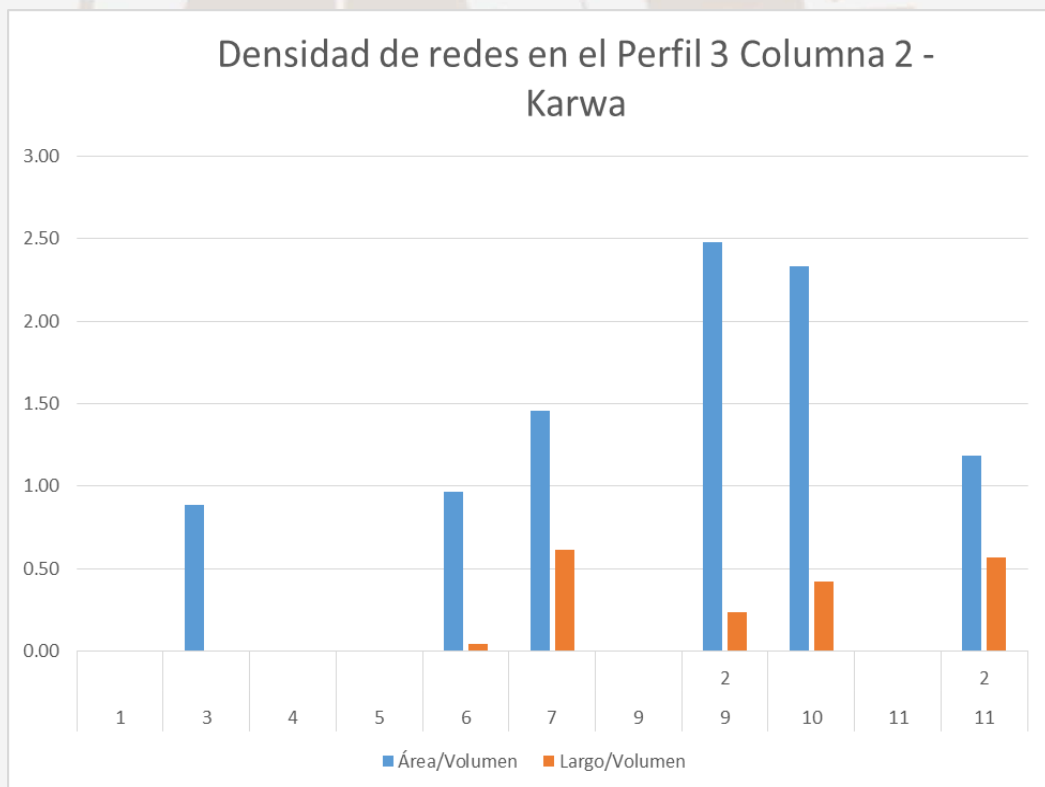


Figura 54. Distribución de las redes por estrato según la densidad de estas (área de redes, con cocada, y largo de redes, sin cocada, entre volumen excavado en litros por estrato) para la columna 2 del perfil 3 del sitio de Karwa.

En la tabla y en los gráficos se puede ver que las densidades de varios estratos de Karwa son mayores que el estrato con mayor densidad de Disco Verde. Asimismo, hay muchos estratos en Karwa, tanto en el perfil 1 como en el perfil 3, que no presentaron restos de redes de ningún tipo. Esto se debe a la restricción en el tamaño de las excavaciones por el muestreo realizado.

La muestra de Karwa en su totalidad, contando tanto los especímenes de ambas columnas de ambos perfiles y tanto redes con cocada como sin cocada, consiste de 152 casos solamente. Se ha optado por tomar toda la muestra en su conjunto para los análisis comparativos pertinentes, salvo la comparación del tamaño de la cocada debido a que no todos los fragmentos de red lo han conservado.

Al igual que en la totalidad del sitio de Disco Verde, en el sitio de Karwa, para la torsión del hilo, la tendencia abrumadoramente mayoritaria es Z-S-Z (ver figura 55). Comparando con las fases de ocupación 1 y 2 de Disco Verde, la tendencia es la misma (ver figura 56).

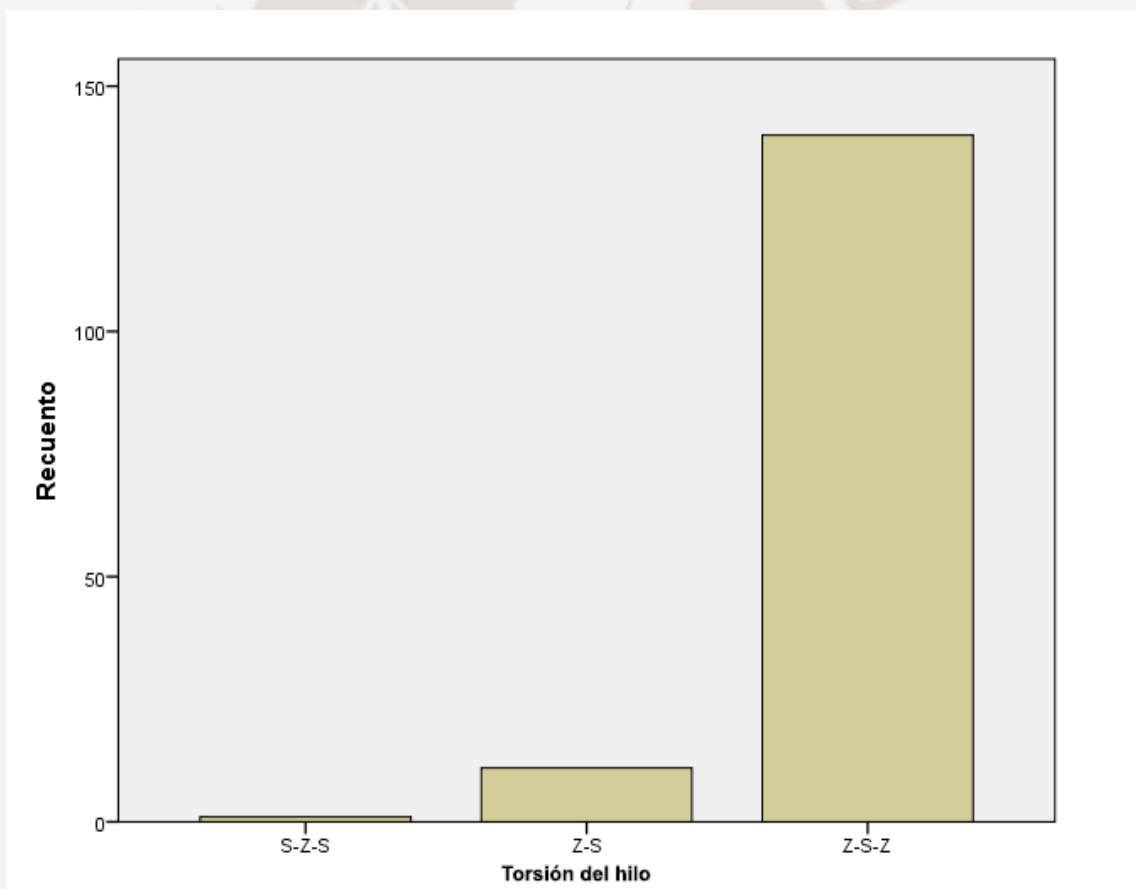


Figura 55. Diagrama de barras para la torsión del hilo de las redes recuperadas del sitio de Karwa.

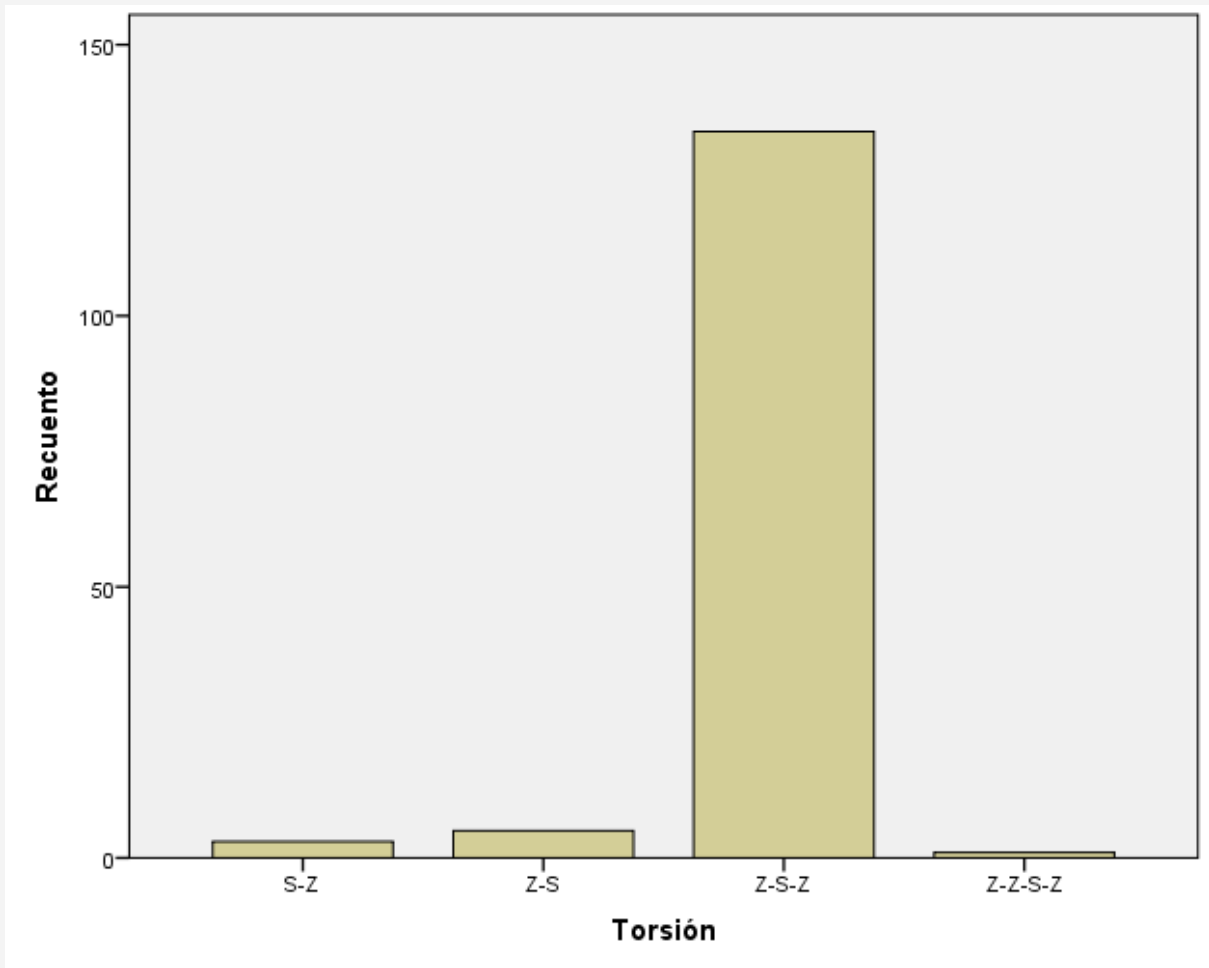


Figura 56. Diagrama de barras de la torsión del hilo de las redes para las fases de ocupación 1 y 2 de Disco Verde.

En el caso del grosor del hilo, los diagramas de cajas son casi idénticos (ver figuras 57 y 58). Solamente con observarlos, es claro que no hay ninguna diferencia significativa entre ambos sitios. Lo cual significa que no solamente la torsión es la misma, sino que el grosor del hilo también.

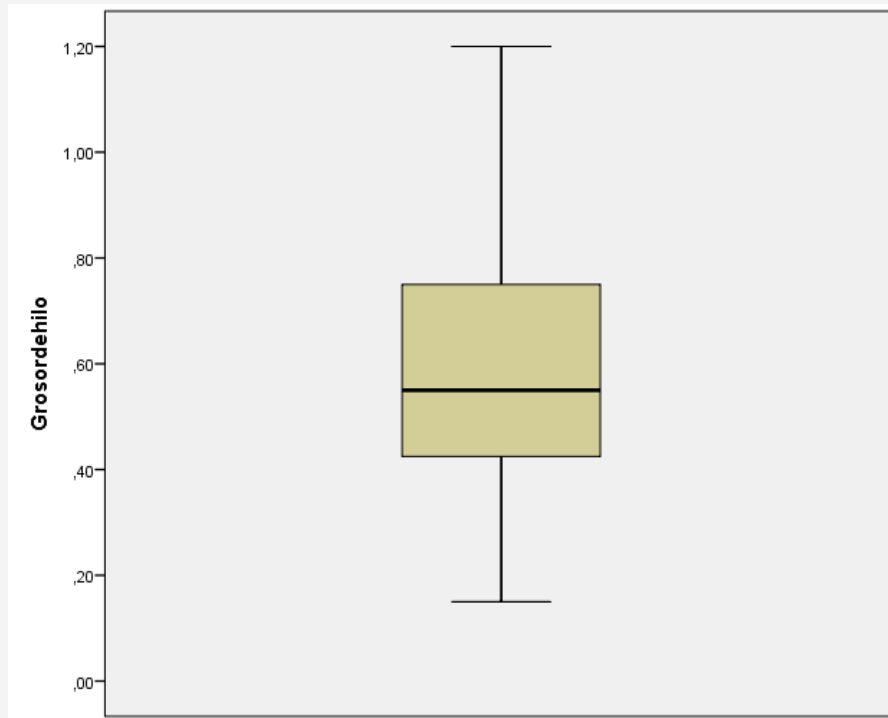


Figura 57. Grosor del hilo para la totalidad de las redes recuperadas en el sitio de Karwa.

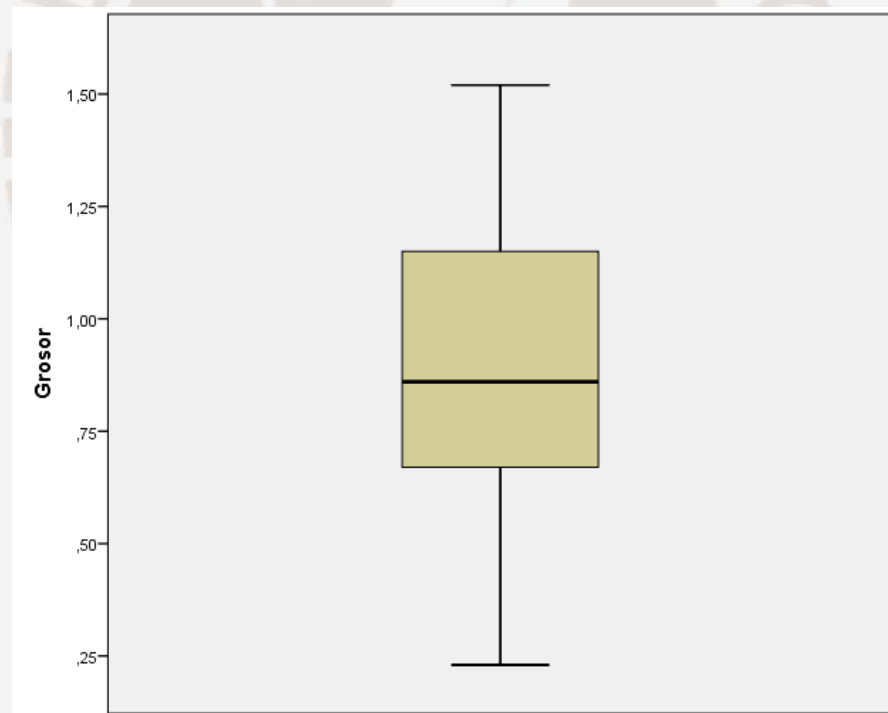


Figura 58. Grosor del hilo para las redes de las fases de ocupación 1 y 2 de Disco Verde.

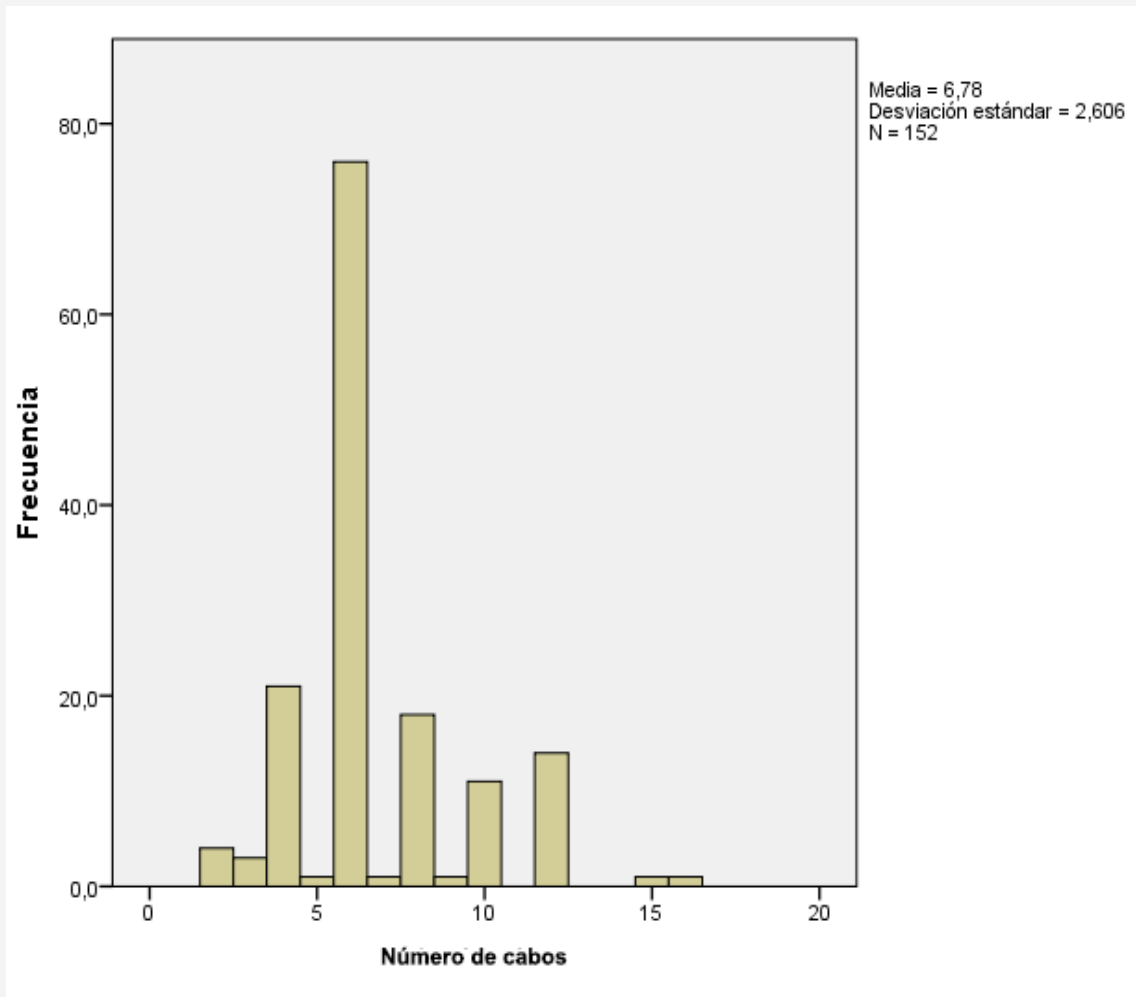


Figura 59. Diagrama de barras del número de cabos para el sitio de Karwa.

En el número de cabos es donde se puede observar la primera diferencia entre las tendencias de Karwa y de Disco Verde, a pesar de que para ambos sitios la moda es la misma (ver figuras 59 y 60). La diferencia radica en que el pico para Karwa es mucho más abrupto que para Disco Verde, donde la diferencia entre los números de cabos es más gradual. Sin embargo, para ambos sitios la mayoría de redes fueron hechas con números de cabos pares.

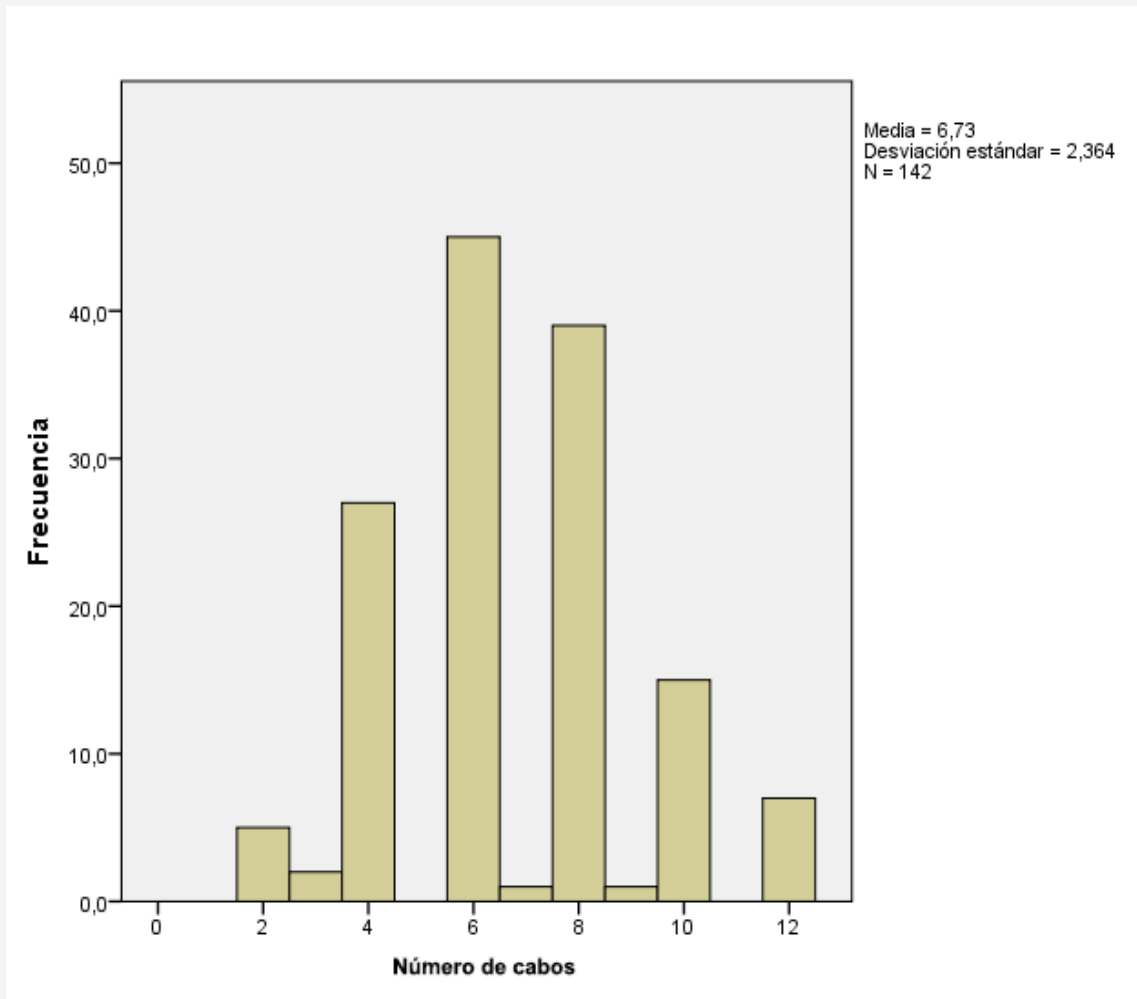


Figura 60. Diagrama de barras del número de cabos de las redes para las fases de ocupación 1 y 2 del sitio de Disco Verde.

Para las variables del nudo simple, tanto largo como ancho, se tiene que hay una gran similitud entre ambos sitios (ver figuras 61, 62, 63 y 64). Esto significa que la tendencia a hacer las redes de manera idéntica se sigue manteniendo.

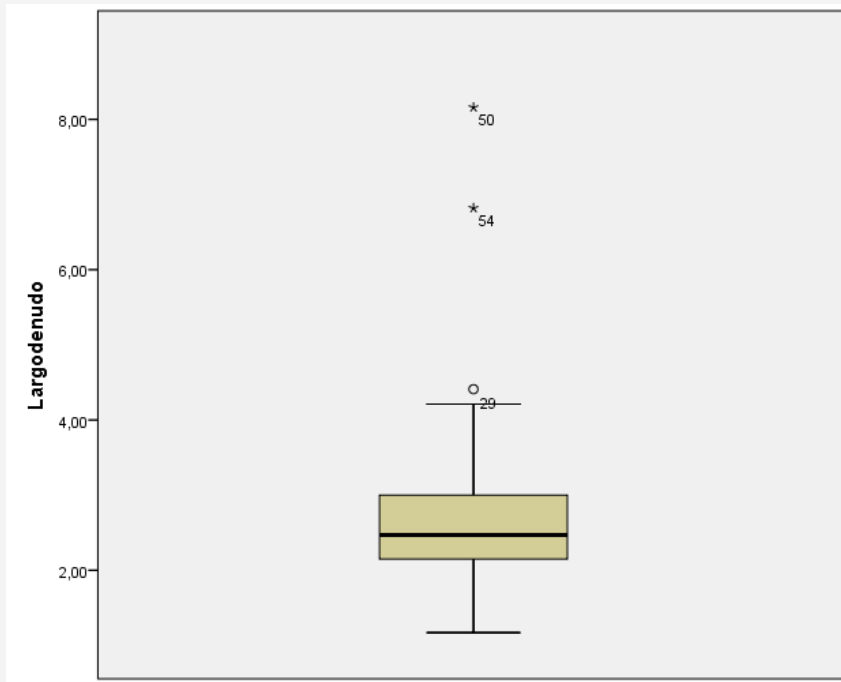


Figura 61. Diagrama de caja del largo del nudo simple para la totalidad de las redes del sitio de Karwa.

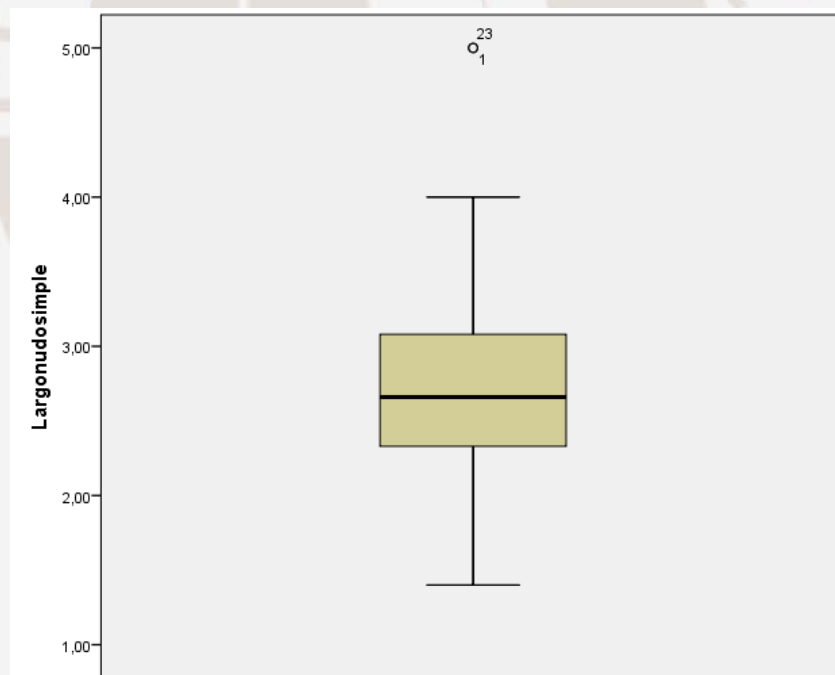


Figura 62. Diagrama de caja del largo del nudo simple para las fases de ocupación 1 y 2 del sitio de Disco Verde.

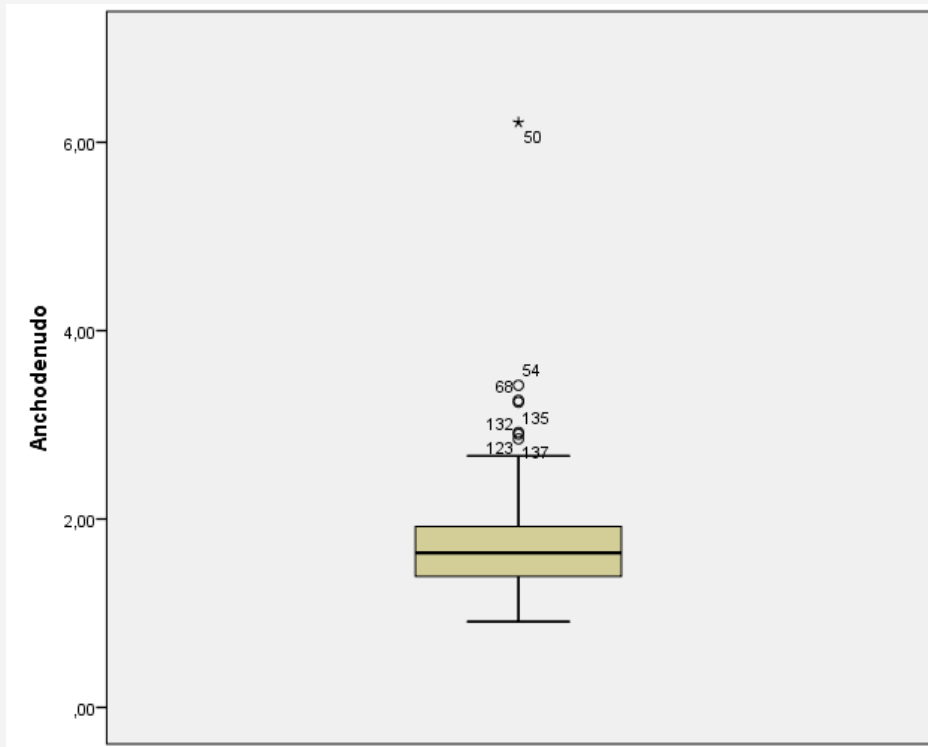


Figura 63. Diagrama de caja del ancho del nudo simple para la totalidad de las redes del sitio de Karwa.

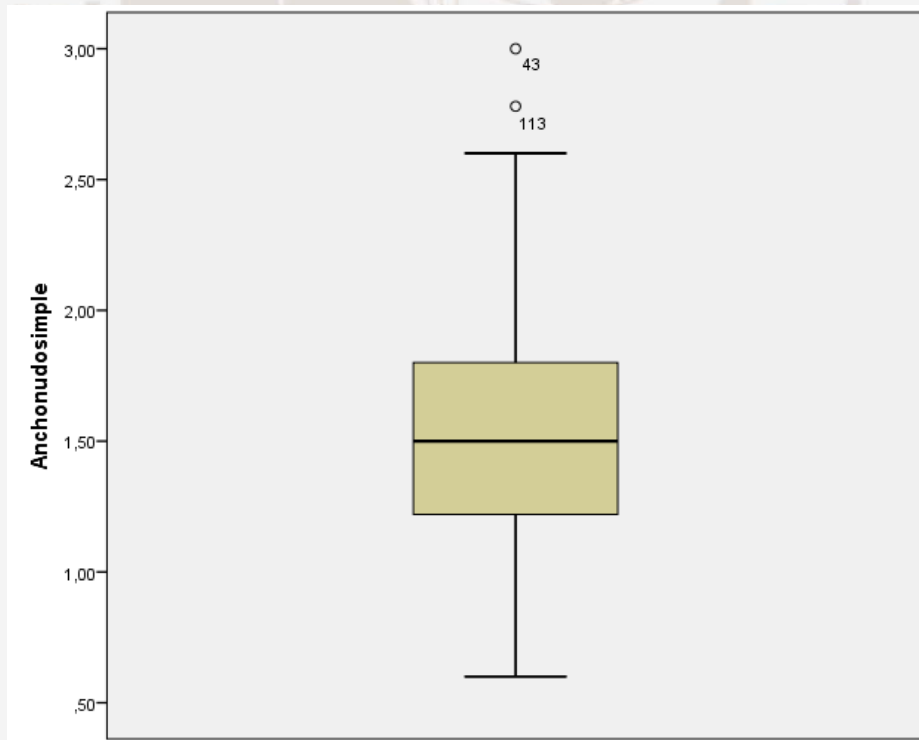


Figura 64. Diagrama de caja del ancho del nudo simple para las fases de ocupación 1 y 2 en el sitio de Disco Verde.

La variable más importante en el presente estudio, el tamaño de la cocada, también presenta una gran similitud entre Disco Verde y Karwa (ver figura 65 y 66). Adicionalmente, los tipos de tamaño 4, 5 y 6, previamente definidos, son atípicos para el sitio de Karwa (ver figura 67).

Esto termina de confirmar que para ambos sitios existe una tradición para hacer las redes, lo que significa que para la Península de Paracas a fines del periodo Formativo los tipos de redes son generalizados para los grupos de pescadores que habitaron esta área.

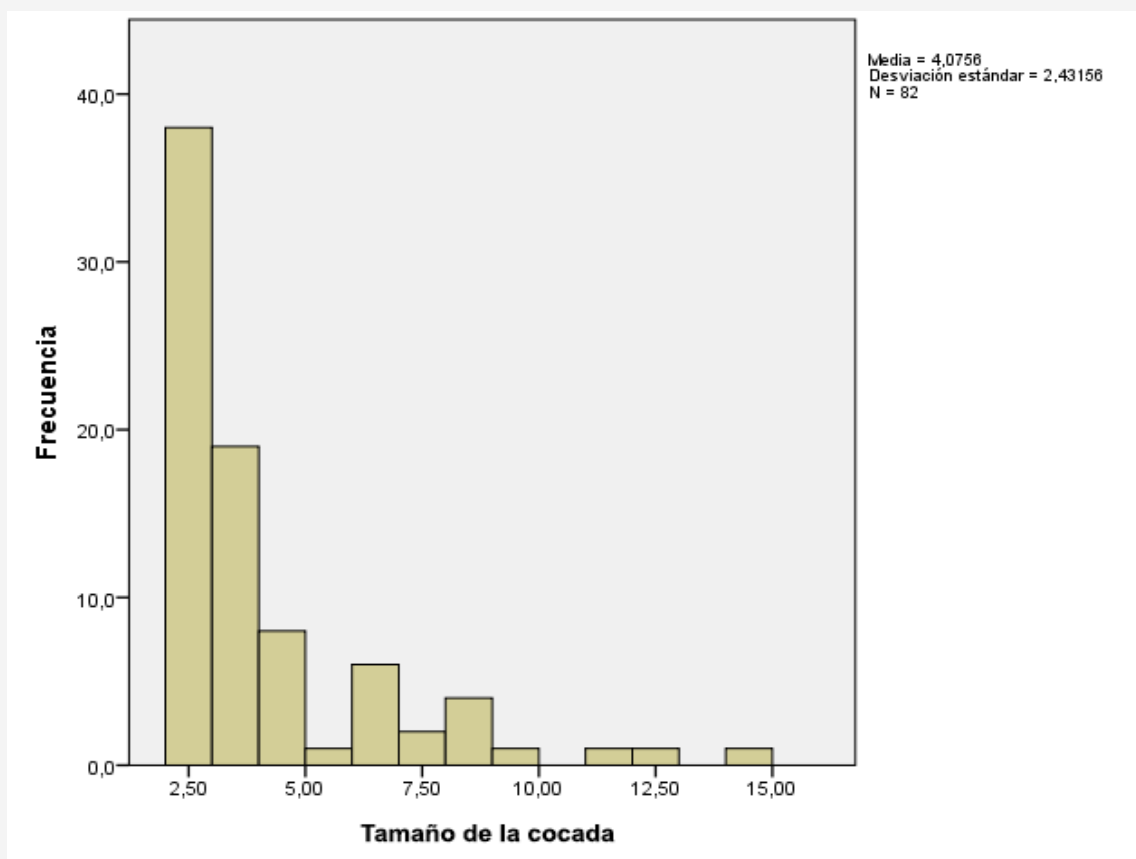


Figura 65. Tamaño de la cocada para las fases de ocupación 1 y 2 del sitio de Disco Verde.

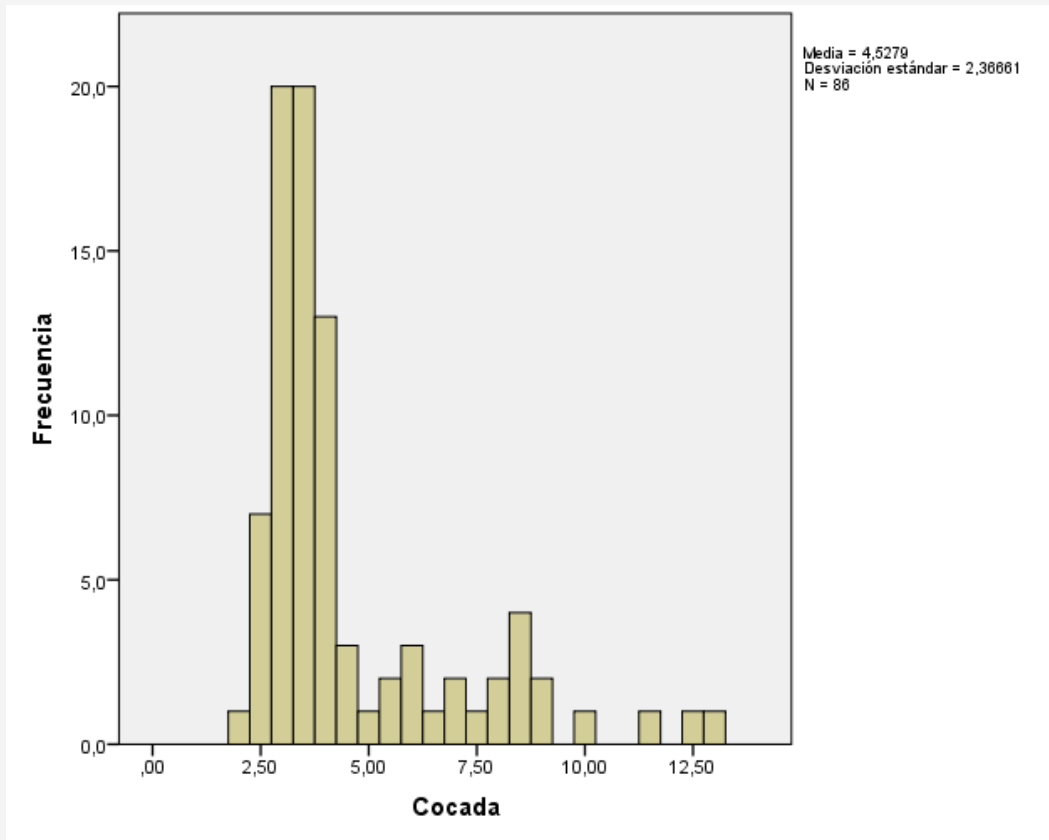


Figura 66. Histograma para la medida de la cocada de los fragmentos de redes recuperados en todo el sitio de Karwa. En este se pueden ver cuatro modas al igual que en el histograma del tamaño de la cocada para todo el sitio de Disco Verde (ver figura 44).

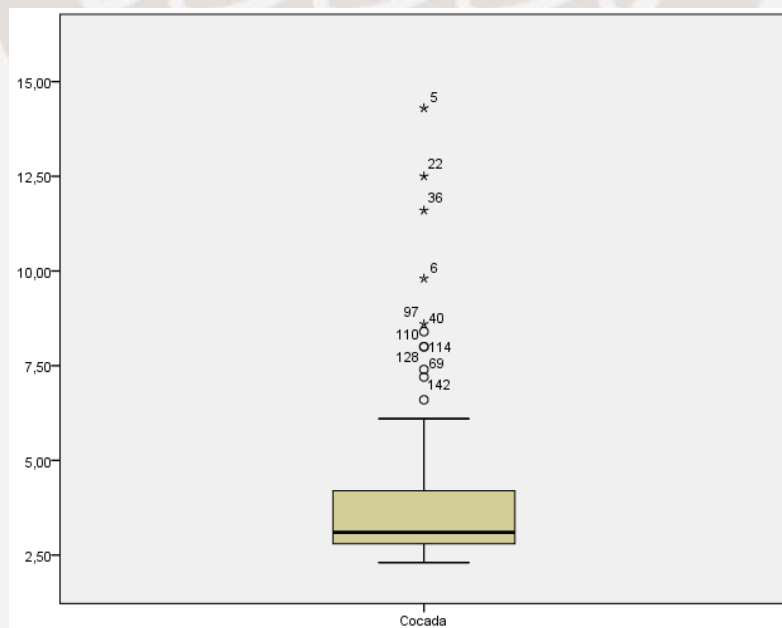


Figura 67. Diagrama de caja que muestra cómo todos los casos para los tipos 4, 5 y 6 de tamaño de red son atípicos para la muestra de Karwa.

En conclusión, se tiene que para ambos sitios los tipos de redes y la manera de hacerlas es la misma. Lo cual muy probablemente se deba a que en ambos sitios se están pescando las mismas especies y, por lo tanto, requieren de uso de tecnología similar, por no decir idéntica. Para confirmar esta suposición se ha hecho un análisis comparativo entre la fauna marina recuperada en el sitio de Disco Verde con las redes de este.

5.5. Datos de fauna marina para ambos sitios:

La información de la fauna marina, a excepción de los restos malacológicos, fue analizada por Víctor Vásquez y Teresa Rosales¹. El indicador que se usó fue el Número de Especímenes Identificados (NISP). Las especies identificadas, el nombre común de estas y el hábitat se ven a continuación en la siguiente tabla:

Especie marina	Nombre común	Hábitat		
		Orilla Marina	Orilla Marina y Oceánica	Oceánica
<i>Galeorhinus</i> sp.	“cazón”	X		
<i>Mustelus</i> sp.	“tollo”	X		
<i>Carcharhinus falciformis</i>	“tiburón”		X	
<i>Carcharhinus</i> sp.	“tiburón”		X	
<i>Sphyrna</i> sp.	“tiburón martillo”		X	
<i>Urotrygon</i> sp.	“raya con espina”	X		
<i>Myliobatis</i> sp.	“raya águila”	X		
<i>Engraulis ringens</i>	“anchoveta”			X
<i>Sardinops sagax sagax</i>	“sardina”			X
<i>Mugil cephalus</i>	“lisa común”	X		
<i>Paralichthys</i> sp.	“lenguado común”	X		
<i>Labrisomus</i> sp.	“trambollo”	X		
<i>Trachurus symmetricus murphyi</i>	“jurel”			X
<i>Seriolella violacea</i>	“cojinova”			X
<i>Caulolatilus</i> sp.	“peje blanco”		X	
<i>Genypterus</i> sp.	“congrío”		X	
<i>Chromis</i> sp.	“castañuela”	X		
<i>Calamus</i> sp.	“marotilla”	X		
<i>Paralonchurus</i> sp.	“suco”	X		
<i>Stellifer minor</i>	“mojarrilla común”	X		
<i>Stellifer</i> sp.		X		
<i>Cynoscion</i> sp.	“cachema”	X		
<i>Sciaena deliciosa</i>	“lorna”	X		

Tabla 13. Especies marinas identificadas en los sitios de Karwa y Disco Verde.

Tabla 13. (...continúa)

Especie marina	Nombre común	Hábitat		
		Orilla Marina	Orilla Marina y Oceánica	Oceánica
<i>Sciaena gilberti</i>	“gallinaza”		X	
<i>Sciaena fasciata</i>	“corvina”	X		
<i>Sciaena sp.</i>		X		
<i>Larimus sp.</i>	“bereche”	X		
<i>Micropogonias altipinnis</i>	“corvina dorada”	X		
<i>Menticirrhus sp.</i>	“misho”	X		
<i>Cheilodactylus sp.</i>	“pintadilla”	X		
Serranidae		X		
<i>Paralabrax sp.</i>	“cabrilla”		X	
<i>Lutjanus sp.</i>			X	
<i>Trachinotus sp.</i>	“pampanito”		X	
<i>Anisotremus scapularis</i>	“chita”	X		
<i>Isacia conceptionis</i>	“cabinza”		X	
<i>Merluccius gayi peruanus</i>	“merluza”		X	
<i>Sarda chiliensis chiliensis</i>	“bonito”		X	
Pez No Identificado				

La frecuencia de las especies marinas y el porcentaje que representan cada una dentro de la muestra total se ve a continuación en la siguiente tabla:

Especie	Especie			
	Frecuencia	Porcentaje	Porcentaje válido	Porcentaje acumulado
<i>Anisotremus scapularis</i>	11	,2	,2	,2
<i>Auchenionchus sp.</i>	33	,5	,5	,7
<i>Carcharhinus falciformis</i>	11	,2	,2	,8
<i>Carcharhinus sp.</i>	23	,3	,3	1,2
<i>Cheilodactylus variegatus</i>	2	,0	,0	1,2
<i>Engraulis ringens</i>	5402	81,9	81,9	83,1
<i>Ethmidium maculatum</i>	2	,0	,0	83,2
<i>Galeichthys peruvianus</i>	4	,1	,1	83,2
<i>Galeorhinus sp.</i>	16	,2	,2	83,5
<i>Genypterus sp.</i>	4	,1	,1	83,5
<i>Isacia sp.</i>	8	,1	,1	83,6
<i>Labrisomus philippii</i>	124	1,9	1,9	85,5
<i>Lutjanus sp.</i>	5	,1	,1	85,6
<i>Mugil cephalus</i>	153	2,3	2,3	87,9

Tabla 14. Frecuencia de las especies recuperadas en Disco Verde.

Tabla 14. (...continúa)

	Especie			
	Frecuencia	Porcentaje	Porcentaje válido	Porcentaje acumulado
Paralabrax sp.	4	,1	,1	88,0
Paralichthys sp.	20	,3	,3	88,3
Pez dulceacuícola n/i	6	,1	,1	88,4
Pez n/i	171	2,6	2,6	91,0
Rhinobatos planiceps	13	,2	,2	91,2
Sarda chiliensis chiliensis	5	,1	,1	91,2
Sardinops sagax	54	,8	,8	92,1
Scartichthys sp.	391	5,9	5,9	98,0
Sciaena deliciosa	3	,0	,0	98,0
Sciaena sp.	10	,2	,2	98,2
Serirolella violacea	1	,0	,0	98,2
Serranidae	1	,0	,0	98,2
Sicyases sanguineus	16	,2	,2	98,5
Sphyrna sp.	1	,0	,0	98,5
Squatina armata	2	,0	,0	98,5
Stellifer minor	87	1,3	1,3	99,8
Stellifer sp.	9	,1	,1	100,0
Trachinotus sp.	3	,0	,0	100,0
Total	6595	100,0	100,0	

Es notable la abrumadora presencia de huesos de *Engraulis ringens*, “anchoveta”, en comparación al resto de especies marinas. Asimismo, la distribución por hábitats demuestra que la mayoría de especímenes recuperados pertenecen a uno oceánico (ver figura 68).

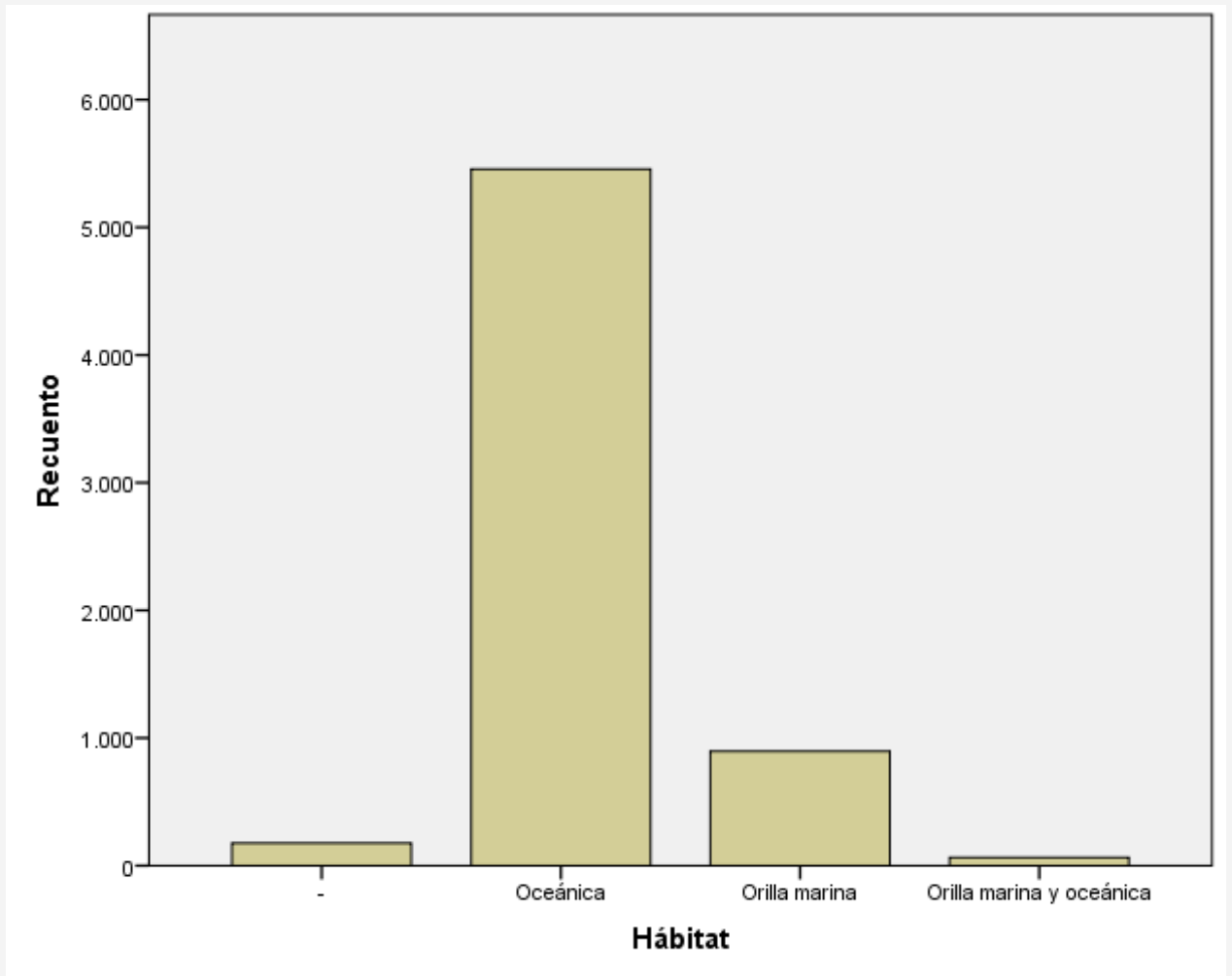


Figura 68. Distribución por hábitat de los especímenes de fauna marina recuperados.

De igual manera, se puede ver que en la densidad por estratos de la fauna marina (ver tabla 15), la anchoveta no solo es la más abundante, también es la especie con la mayor densidad de todas.

	Especie																																			
	Anisotr emus scapul aris	Auchen onchus sp.	Carcha rhinus falci formis	Carcha rhinus sp.	Cheilod actylus variegat us	Engr aulis ringe ris	Ethmi dium macul atum	Galeic hthys peruvi anus	Galeor hinus sp.	Genyp terus sp.	Isaci a sp.	Labris omus philipp ii	Lutja nus sp.	Mugi l ceph alus	Paral abrax sp.	Paralic hthys sp.	Pez dulceac uicola n/i	Pez n/i	Rhino batos planic eps	Sard a chilie nsis chilie nsis	Sardi nops saga x	Scartic hthys sp.	Scia ena delic iosa	Scia ena sp.	Serio lella viola cea	Serra nidae	Sicyas es sangu ineus	Sph yrna sp.	Squa atina arma ta	Stelli fer mino r	Stelli fer sp.	Trachi notus sp.				
	NISP sobre volum en	NISP sobre volum en	NISP sobre volum en	NISP sobre volum en	NISP sobre volum en	NISP sobr e volu men	NISP sobre volum en	NISP sobre volum en	NISP sobre volum en	NISP sobre volum en	NISP sobre volum en	NISP sobre volum en	NISP sobre volum en	NISP sobre volum en	NISP sobre volum en	NISP sobre volum en	NISP sobre volum en	NISP sobre volum en	NISP sobre volum en	NISP sobre volum en	NISP sobre volum en	NISP sobre volum en	NISP sobre volum en	NISP sobre volum en	NISP sobre volum en	NISP sobre volum en	NISP sobre volum en	NISP sobre volum en	NISP sobre volum en	NISP sobre volum en	NISP sobre volum en	NISP sobre volum en				
	Suma	Suma	Suma	Suma	Suma	Suma	Suma	Suma	Suma	Suma	Suma	Suma	Suma	Suma	Suma	Suma	Suma	Suma	Suma	Suma	Suma	Suma	Suma	Suma	Suma	Suma	Suma	Suma	Suma	Suma	Suma	Suma	Suma	Suma		
1		,390				6,630	,130					,390						,390																		
2						3,770				,260		,130	,260								,130	2,990					,390			,130						
3						9,490					,130	,910	1,170		,130			,130	,520			4,290							,130			1,170				
4	,010					8,840						,130	,430									,520	,780				,130									
5- Lent e1																		,130																		
5,6,7						4,160							,520	,390			,390	,260		,050	,130	,130					,130						,130			
8,9,1 0,11		,650				2,470	,130							,260								,910														
12						4,680												,780				,130														
13						9,100				,130		,130	,390				,390	,020	,130		,520															
14- 16Ni vel1			,050			12,090						1,170	,780		,520		,260				,260	1,170	,260			,520										
14- 16Ni vel2	,130		,020			15,080	,130				,130	,780	,390		,520		,520				,130	3,250									,260					
17						10,270															,130	,260									,390					
18						1,040						,130	,130								,520															
19						23,270					,390											,390											,650			
21A						30,680						,390	,780	,130	,390							,130	,130													
21B						29,770		,020						,260								,130	,650									,130				
21C														,010									,010													
21D	,130			,020	,130	15,600							,520			,390					,260	1,300					,130			,520						

Tabla 15. Densidad por estrato de las especies marinas recuperadas para el sitio de Disco Verde.

Tabla 15. (...continúa)

	Especie																																		
	Anisotr emus scapul aris	Auchenio nchus sp.	Carchar hinus falcifor mis	Carchar hinus sp.	Cheiloda ctylus variegat us	Engr aulis ringe ns	Ethmi dium macul atum	Galeic hthys peruvi anus	Galeor hinus sp.	Genyp terus sp.	Isaci a sp.	Labris omus philippi i	Lutja nus sp.	Mugil ceph alus	Parala brax sp.	Paralic hthys sp.	Pez dulceac uícola n/i	Pez n/i	Rhino batic eps	Sard a chilie nsis chilie nsis	Sardi nops sagax	Scartic hthys sp.	Scia ena delici osa	Scia ena sp.	Serio lella viola cea	Serra nidae	Sicyas es sangui neus	Sphy ma sp.	Squa tina arma ta	Stelli fer mino r	Stelli fer sp.	Trachi notus sp.			
	NISP sobre volum en	NISP sobre volum en	NISP sobre volum en	NISP sobre volum en	NISP sobre volum en	NISP sobre volum en	NISP sobre volum en	NISP sobre volum en	NISP sobre volum en	NISP sobre volum en	NISP sobre volum en	NISP sobre volum en	NISP sobre volum en	NISP sobre volum en	NISP sobre volum en	NISP sobre volum en	NISP sobre volum en	NISP sobre volum en	NISP sobre volum en	NISP sobre volum en	NISP sobre volum en	NISP sobre volum en	NISP sobre volum en	NISP sobre volum en	NISP sobre volum en	NISP sobre volum en	NISP sobre volum en	NISP sobre volum en	NISP sobre volum en	NISP sobre volum en	NISP sobre volum en	NISP sobre volum en	NISP sobre volum en		
Suma	Suma	Suma	Suma	Suma	Suma	Suma	Suma	Suma	Suma	Suma	Suma	Suma	Suma	Suma	Suma	Suma	Suma	Suma	Suma	Suma	Suma	Suma	Suma	Suma	Suma	Suma	Suma	Suma	Suma	Suma	Suma	Suma	Suma		
22 A		,910				2,990							,130								,520											,130			
22 B						35,360					,390		1,430				1,320				,520	1,170									,910		,130		
22 C						17,550		,130				,780	,130						,130			1,300										,520			
22 D			,260		,130	14,300						,520	,650									1,040									,520				
23						38,740						,520	,910		,390		1,300		,260		,650	2,860									,780		,130		
24						44,850	,130					1,300	,530				,780				,390					,010				,390					
25		,650		,010																															
26	,010												,020																						
28				,010								,010																							
29				,004																															
31						55,120						,130	,650	,650			1,300				1,040	7,410										1,690			
32	,260	,520				63,570	,130		,044			2,600	,176	3,120			6,500			,910	4,290			,044							1,950				
33	,260	1,170				51,220			,004	,130		1,820	2,470				3,640			,520	5,330					,910				,390					
34	,140					58,110			,030			2,990	1,560				3,250				7,280														
35				,030		18,070											,260				,780		,130								,780				
36				,001		26,000						,520	,001	,390			,780				,650									,390					
37						15,600			,030			,260	,650							,260	,260								,130	,520					
38						49,140							,265		,260				,650			1,950	,260								,260				
39						24,700											,260					,390													

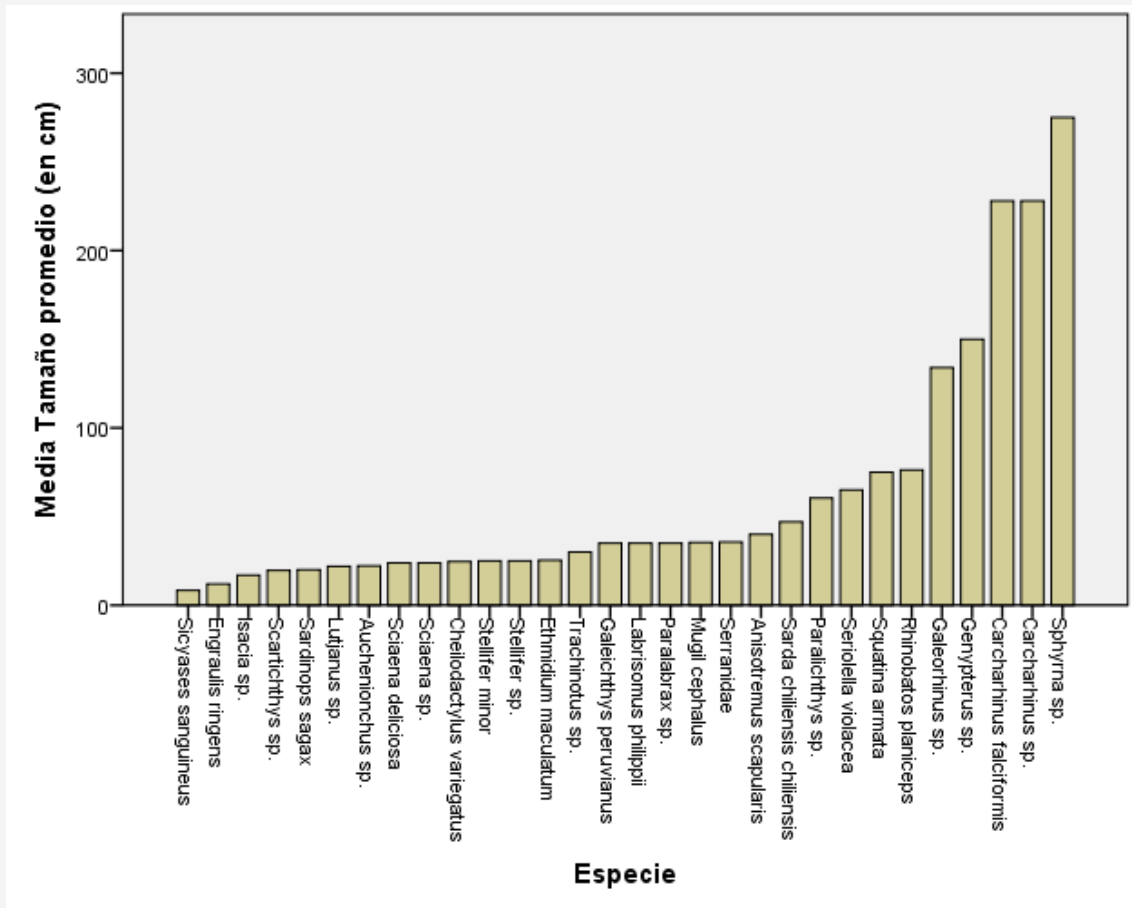


Figura 69. Gráfico de barras en el que se ve los diferentes tamaños de las diferentes especies marinas.

Se han creado categorías de tamaño para clasificar las diferentes especies marinas (ver figura 69). Estas categorías son 6.

La distribución de estas varía considerablemente en las fases de redes creadas (ver figura 70). Así, se puede ver claramente que hay una disminución paulatina de la densidad de las especies pequeñas capturadas. La ausencia de especímenes de mayor tamaño se explica porque en general son atípicos para la muestra, por lo que no es extraña su ausencia en las fases 1 y 2.

Sin embargo, al comparar con la densidad del tamaño de la cocada por fases de redes (ver figura 71) se puede establecer claramente que la disminución de las especies pequeñas capturadas se da por un aumento en la densidad de las redes con cocada grande. Esto significa que sí existe una correlación entre especie capturada y tamaño de cocada de red.

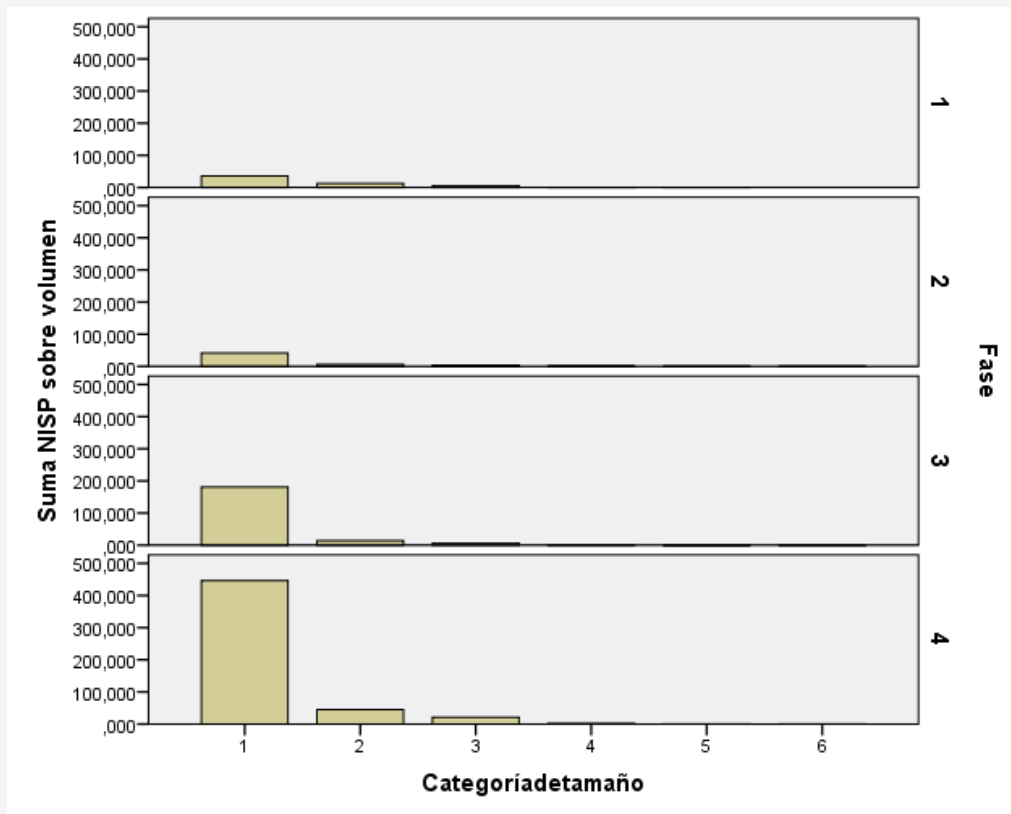


Figura 70. Distribución por densidad de las especies marinas durante las fases de pesca.

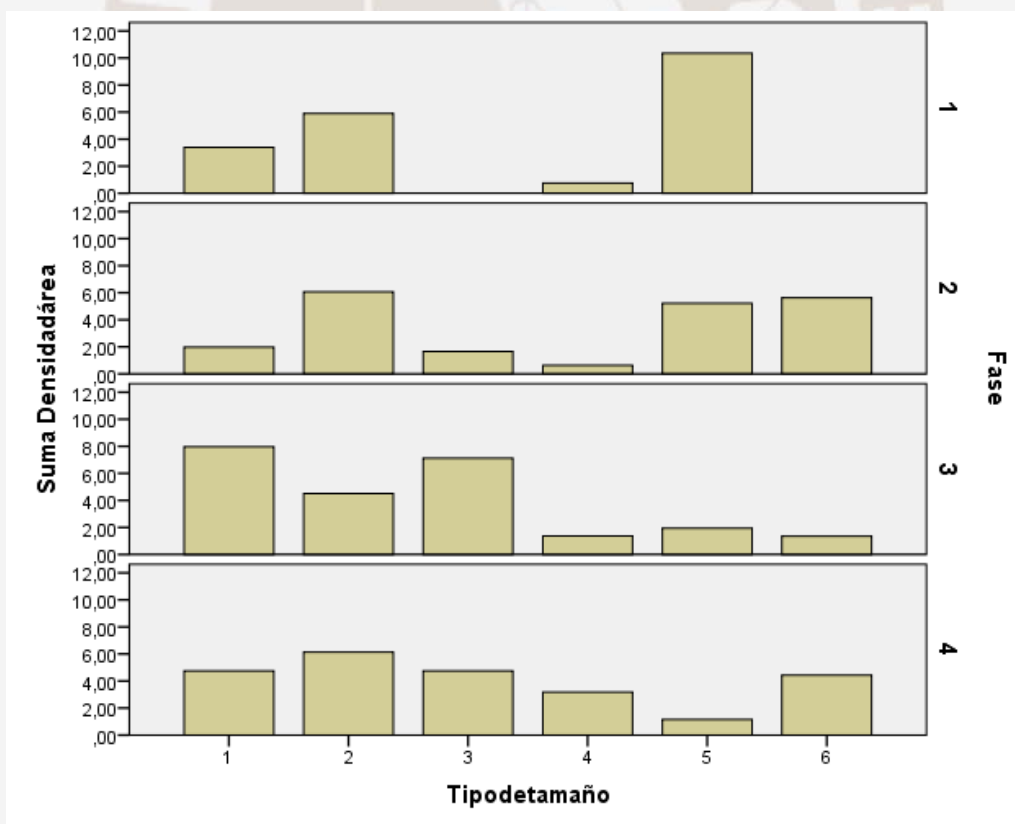


Figura 71. Distribución por densidad del tamaño de la cocada por fases de redes.

Notas

1. Estos datos fueron entregados en noviembre del 2012 al PIA Paracas en un informe del análisis de fauna para ambos sitios excavados por el Proyecto. Toda la información sobre fauna marina que se presenta en esta investigación procede del mencionado informe.



Capítulo 6

Conclusiones

Después de analizar los datos de los fragmentos de redes se puede concluir que el material usado para hacer las redes en los dos sitios que fueron escogidos para el presente estudio siempre ha sido el algodón. Nunca se usaron redes hechas de fibra vegetal, como en el caso de Chinchorro en Chile, o de fibra de camélido.

Además, el estilo de hacer el hilo de las redes fue siempre el mismo. La torsión primero en Z, luego una primera retorsión en S, para una retorsión final en Z es constante desde los estratos más profundos hasta los estratos más superficiales. Existen excepciones en algunas redes recuperadas, pero la tendencia abrumadoramente mayoritaria para las fases de ocupación fue esa. Tal vez los casos atípicos se traten de errores de manufactura o de cordeles que eran usados para sostener el cuerpo de las redes. Cabe notar que el único caso de una torsión Z-S-Z-Z se da en el estrato 2 y es el fragmento de red más tardía que se ha recuperado en la excavación del sitio. Esto podría indicar un cambio que se inicia a fines del Formativo y continúa en los siguientes periodos como una manera de hacer el hilo de la red más resistente.

Asimismo, el uso del nudo simple es otra constante que no varía a lo largo del tiempo, está presente en todas las fases. Lo que varía son los nudos adicionales que puede haber, pero no el uso de este.

El perímetro de la cocada en promedio es el mismo para todas las fases de Disco Verde. La fluctuación, incluyendo a los picos, que se ve entre las cantidades de redes recuperadas es muy probable que sea una respuesta a una fluctuación climática constante en la que hay mayor presencia de fauna marina en unos momentos y en otros esta fauna disminuye. Por lo cual, los picos que se dan en los estratos indican que la pesca en general fue más intensiva en comparación al resto lo que significa que no ha variado la necesidad de hacer redes con cocadas de un tamaño determinado. Entonces, los picos representan una mayor actividad pesquera de lo mismo. En otras palabras, lo que hay es una mayor abundancia de las especies marinas que siempre fueron explotadas en el sitio; no hay un cambio de estas. Esto se ve reflejado por las especies marinas que han sido recuperadas en el sitio de Disco Verde, a lo largo del tiempo son las mismas las que se capturan.

Esta actividad pesquera muy probablemente estaría respondiendo a la demanda de grupos de agricultores de los valles aledaños que necesitaban de los productos marinos que los pobladores de Disco Verde podían proveer. Es posible que se haya comerciado el pescado que era explotado.

Este intercambio pudo ser el preludio de la integración de las comunidades pesqueras a todo el sistema de desarrollo político y social que se va a dar en la península de Paracas con la cultura del mismo nombre. Es decir, la mayor actividad pesquera es el preludio del desarrollo hacia una mayor diferenciación social. Asimismo, estos grupos de pescadores jugaron un papel importante en zonas intermedias de tránsito comercial como ya se ha explicado.

Comparando con Karwa, se puede afirmar que para el área de Paracas existe un solo estilo para hacer las redes; en otras palabras, mismo tipo de material, torsión y retorsión del hilo, tipos de nudos, etcétera. De igual manera, el tamaño de la cocada es muy similar. Adicionalmente, los picos de actividad en Karwa demuestran que en esta zona de Paracas, la Bahía de Independencia, la pesca fue más intensiva que en Disco Verde.

Finalmente, es posible relacionar los tipos de tamaño de red con las especies encontradas. Por lo que la mayor abundancia de redes con cocadas de gran tamaño sí es un indicador claro de que hubo una explotación de fauna marina considerada en esta investigación como grande.

Adicional a esto se tiene que necesariamente para pescar a nivel oceánico con redes se debió de haber usado algún tipo de embarcación, sea para buscar especies grandes o pequeñas. Lo que a su vez sugiere que el intercambio marítimo a larga distancia es una posibilidad para el periodo Formativo, dentro del cual la península de Paracas cumplió un papel importante como una zona intermedia.

Bibliografía:

ADOVASIO, James

2010 *Basketry technology: a guide to identification and analysis*. Walnut Creek, California: Left Coast Press Inc.

ALFARO, Carmen

2010 "Fishing Nets in the Ancient World: the Historical and Archaeological Evidence". En BEKKER-NIELSEN, Tønnes & BERNAL CASASOLA, Darío (editores). *Ancient nets and fishing gear: proceedings of the International Workshop on "Nets and Fishing Gear in Classical Antiquity: A First Approach"*, Cádiz, November 15-17, 2007. Cádiz: Servicio de Publicaciones de la Universidad de Cádiz; Aarhus, Denmark : Aarhus University Press pp.55-82.

AMANO, Yoshitaro

1976 "Redes teñidas". En PÉREZ BONANY, Alfonso (editor). *La Pesca en el Perú prehispánico*. Lima: Pesca Perú pp.79-81.

ÁNGELES, Rommel & POZZI-ESCOT, Denise

2000 "Textiles del Horizonte Medio: las evidencias de Huaca Malena, Valle de Asia". En *Boletín de arqueología PUCP*. Lima, volumen 4, pp.401-424.

ARELLANO, Carmen

2011 "El avance en el estudio del quipu: Una introducción". En ARELLANO, Carmen (editor). *Atando cabos*. Lima: Ministerio de Cultura: Museo Nacional de Arqueología, Antropología e Historia del Perú, pp. 25-45.

ARRANZ BOCOS, Isabel

2001 "Aproximación a la Iconografía y Simbolismo en los textiles Paracas". En *Boletín Americanista*. Barcelona, número 51, pp.7-23.

ARRIAZA, Bernardo

2003 *Cultura Chinchorro: Las momias más antiguas del mundo*. Santiago de Chile: Universitaria.

ASCHER, Marcia & ASCHER, Robert

1978 "Números y relaciones de los antiguos quipus andinos". En RAVINES, Roger (editor). *Tecnología andina*. Lima: IEP: Instituto de Investigación Tecnológica, Industrial y de Normas Técnicas, pp.733-772.

1981 "El quipu como lenguaje visible". En LECHTMAN, Heather & SOLDI, Ana María (editores). *La Tecnología en el Mundo Andino. Tomo I: Subsistencia y Mensuración*. México D.F.: Universidad Nacional Autónoma de México, pp.407-432.

BARRETT, James; JOHNSTONE, Cluny; HARLAND, Jennifer; VAN NEER, Wim; ERVYNCK, Anton; MAKOWIECKI, Daniel; HEINRICH, Dirk; HUFTHAMMER, Anne Karin; ENGHOF, Inge; AMUNDSEN, Colin; CHRISTIANSE, Jørgen; JONES,

Andrew; LOCKER, Alison; HAMILTON-DYER, Sheila; JONSSON, Leif; LOUGAS, Lembi; ROBERTS, Callum; RICHARDS, Michael

2008 "Detecting the medieval cod trade: a new method and first results". En *Journal of Archaeological Science*, volume 35, número 4, pp.850-861.

BARRETT, James; ORTON, David; JOHNSTONE, Cluny; HARLAND, Jennifer; VAN NEER, Wim; ERVYNCK, Anton; ROBERTS, Callum; LOCKER, Alison; AMUNDSEN, Colin; ENGHOFF, Inge; HAMILTON-DYER, Sheila; HEINRICH, Dirk; HUFTHAMMER, Anne Karin; JONES, Andrew; JONSSON, Leif; MAKOWIECKI, Daniel; POPE, Peter; O'CONNELL, Tamsin; DE ROO, Teresa; RICHARDS, Michael

2011 "Interpreting the expansion of sea fishing in medieval Europe using stable isotope analysis of archaeological cod bones". En *Journal of Archaeological Science*, volumen 38, número 7, pp.1-9.

BELTRAME, Carlo

2010 "Fishing from Ships: Fishing Techniques in the Light of Nautical Archaeology". En BEKKER-NIELSEN, Tønnes & BERNAL CASASOLA, Darío (editores). *Ancient nets and fishing gear: proceedings of the International Workshop on "Nets and Fishing Gear in Classical Antiquity: A First Approach"*, Cádiz, November 15-17, 2007. Cádiz: Servicio de Publicaciones de la Universidad de Cádiz; Aarhus, Denmark : Aarhus University Press pp.229-242.

BEKKER-NIELSEN, Tønnes

2010 "Fishing in the Roman World". En BEKKER-NIELSEN, Tønnes & BERNAL CASASOLA, Darío (editores). *Ancient nets and fishing gear: proceedings of the International Workshop on "Nets and Fishing Gear in Classical Antiquity: A First Approach"*, Cádiz, November 15-17, 2007. Cádiz: Servicio de Publicaciones de la Universidad de Cádiz; Aarhus, Denmark : Aarhus University Press pp.187-204.

BENNETT, Wendell C.

1938 "If you died in Old Peru". En *Natural History*, volumen 41, número 2, pp.119-125.

1948 "The Peruvian co-tradition". En BENNETT, Wendell (editor). *A Reappraisal of Peruvian Archaeology* Menasha, Wis: Society for American Archaeology Institute of Andean Research pp. 1-7.

BERNAL, Darío

2010 "Fishing Tackle in Hispania: Reflections, Proposals and First Results". en BEKKER-NIELSEN, Tønnes & BERNAL CASASOLA, Darío (editores). *Ancient nets and fishing gear: proceedings of the International Workshop on "Nets and Fishing Gear in Classical Antiquity: A First Approach"*, Cádiz, November 15-17, 2007 Cádiz: Servicio de Publicaciones de la Universidad de Cádiz; Aarhus, Denmark : Aarhus University Press pp.83-138.

BIRD, Junius

1973 "Fibers and spinning procedures in the Andean area". en ROWE, Ann Pollard, BENSON, Elizabeth P. & SCHAFFER, Anne-Louise (editores). *The Junius B. Bird pre-Columbian Textile Conference, May 19th and 20th, 1973* Washington,

D.C.: Textile Museum : Dumbarton Oaks. Trustees for Harvard University
pp.13-17.

BOETTO, Giulia

2010 "Fishing vessels in Antiquity: the archaeological evidence from Ostia". en BEKKER-NIELSEN, Tønnes & BERNAL CASASOLA, Darío (editores). *Ancient nets and fishing gear: proceedings of the International Workshop on "Nets and Fishing Gear in Classical Antiquity: A First Approach"*, Cádiz, November 15-17, 2007 Cádiz: Servicio de Publicaciones de la Universidad de Cádiz; Aarhus, Denmark : Aarhus University Press pp. 243-256.

BONAVIA, Duccio & Claude CHAUCHAT

1990 "Presencia del Paijanense en el Desierto de Ica". en *Boletín del Instituto Francés de Estudios Andinos*, volumen 19, número 2, pp. 399-412.

BOYTNER, Ran

2004 "Clothing the Social World". en SILVERMAN, Helaine (editor). *Andean archaeology*. Malden: Blackwell pp.130-145.

BUENO MENDOZA, Alberto

1992 "Julio C. Tello y los descubrimientos de Paracas". en *Alma mater*. Lima, número 2, pp. 91-97.

BUSE, Hermann

1973 *Historia marítima del Perú. Época prehistórica*. Dos volúmenes. Lima: Instituto de Estudios Histórico-Marítimos del Perú.

1976 "Pesca y recolección de mariscos". En PÉREZ BONANY, Alfonso (editor). *La Pesca en el Perú prehispánico*. Lima: Pesca Perú, pp.17-37.

1981 *Actividad pesquera*. Lima: Documenta.

BUSTAMANTE, Macarena,

2010 "Terra Sigillata as a Source for Fishing Gear of the Early Imperial Period". en BEKKER-NIELSEN, Tønnes & BERNAL CASASOLA, Darío (editores). *Ancient nets and fishing gear: proceedings of the International Workshop on "Nets and Fishing Gear in Classical Antiquity: A First Approach"*, Cádiz, November 15-17, 2007 Cádiz: Servicio de Publicaciones de la Universidad de Cádiz; Aarhus, Denmark : Aarhus University Press pp. 287-298.

BURGER, Richard L.

1984 *The prehistoric occupation of Chavín de Huántar, Peru*. Berkeley: University of California Press.

1992 *Chavin and the origins of Andean civilization*. London: Thames and Hudson.

1998 *Excavaciones en Chavín de Huantar*. Lima: PUCP. Fondo Editorial.

2010 "Los señores de los templos". en MAKOWSKI, Krzysztof (compilador) *Señores de los reinos de la luna*. Lima: Banco de Crédito del Perú, pp.13-37.

BURGER, Richard L. & MAKOWSKI, Krzysztof eds.

2009 *Arqueología del Periodo Formativo en la cuenca baja de Lurín*. Lima: PUCP Fondo Editorial.

- BURGER, Richard L. & SALAZAR-BURGER, Lucy
 1993 *Emergencia de la civilización en los Andes: ensayos de interpretación*. Lima: Universidad Nacional Mayor de San Marcos.
- 2000 “Los Primeros Templos en América”. en BURGER, Richard (editor). *Los dioses del antiguo Perú*. Lima: Banco de Crédito del Perú, pp.1-27.
- CARRIÓN-CACHOT, Rebeca
 1931 “La indumentaria en la antigua cultura de Paracas”. en *Wira Kocha*, volumen 1, número 1, pp.2-52.
- CERVERA, Cristina
 1988 “La pesca en la costa Norte del Perú, culturas mochica y chimú”. en JORNADA DE HISTORIADORES AMERICANISTAS. *América: Hombre y Sociedad Actas de las primeras jornadas de historiadores americanistas* Granada: Diputación Provincial de Granada, Sociedad de Historiadores Mexicanistas pp.43-56
- CHAPDELAIN, Claude & PIMENTEL, Víctor
 2003 “Un tejido único Moche III del sitio Castillo de Santa: Una escena de cosecha de Yuca”. en *Boletín del Instituto Francés de Estudios Andinos*, volumen 32, número 1, pp. 23-50.
- CLARO, Ana et. al
 2010 “Identification of red colorants in van Gogh paintings and ancient Andean textiles by microspectrofluorimetry”. en *Journal of Cultural Heritage*, número 11, pp. 27-34.
- CLEMENTE, Ignacio; GARCÍA, Virginia; RAMOS, José; DOMÍNGUEZ-BELLA, Salvador; PÉREZ, Manuela; VIJANDE, Eduardo; CANTILLO, Juan; SORIGUER, Milagrosa; ZABALA, Cristina & HERNANDO, José
 2010 “The Lithic Tools of the La Esparragosa Site (Chiclana de la Frontera, Cadiz, Spain, fourth Millennium BC): A Methodological Contribution to the Study of Lithic Tools for the Consumption of Fish”. en BEKKER-NIELSEN, Tønnes & BERNAL CASASOLA, Darío (editores). *Ancient nets and fishing gear: proceedings of the International Workshop on "Nets and Fishing Gear in Classical Antiquity: A First Approach"*, Cádiz, November 15-17, 2007 Cádiz: Servicio de Publicaciones de la Universidad de Cádiz; Aarhus, Denmark : Aarhus University Press pp. 275-286.
- COLOMBINI, María et. al
 2007 “Colour fading in textiles: A model study on the decomposition of natural dyes”. en *Microchemical Journal*, volume 85, pp.174–182.
- CONKLIN, William
 1978a “The Revolutionary Weaving inventions of the Early Horizon”. en *Ñawpa Pacha*, volumen 16, pp.1-12.
- 1978b “Estructura de los tejidos Moche”. en RAVINES, Roger (editor). *Tecnología andina*. Lima: IEP: Instituto de Investigación Tecnológica, Industrial y de Normas Técnicas, pp.299-332.

2008 “The Culture of Chavín Textiles”. en CONKLIN, William & QUILTER, Jeffrey (editores). *Chavín: art, architecture, and culture*. Los Ángeles: UCLA. Cotsen Institute of Archaeology, pp. 261-278.

2011 “Antes del quipu inca: La evolución de los sistemas informativos basados en cuerdas”. en ARELLANO, Carmen (editor). *Atando cabos*. Lima: Ministerio de Cultura: Museo Nacional de Arqueología, Antropología e Historia del Perú, pp.77-93.

CORNEJO, Miguel

2002 “Sacerdotes y tejedores en la provincia inka de Pachacamac”. en *Boletín de Arqueología PUCP*. Lima, volumen 6, pp. 171-204.

COTTICA, Daniela & DIVARI, Luigi

2010 “Spheroid clay weights from the Venetian Lagoon”. en BEKKER-NIELSEN, Tønnes & BERNAL CASASOLA, Darío (editores). *Ancient nets and fishing gear: proceedings of the International Workshop on "Nets and Fishing Gear in Classical Antiquity: A First Approach", Cádiz, November 15-17, 2007* Cádiz: Servicio de Publicaciones de la Universidad de Cádiz; Aarhus, Denmark : Aarhus University Press pp. 347-365.

d'HARCOURT, Raoul

2002 *Textiles of Ancient Peru and Their Techniques*. Mineola, New York: Dover Publications, Inc.

De GUIMARAES, Enrique

1978 “Algo sobre los quipus”. en RAVINES, Roger (editor). *Tecnología andina*. Lima: IEP: Instituto de Investigación Tecnológica, Industrial y de Normas Técnicas, pp.773-779.

DeLEONARDIS, Lisa & LAU, George F.

2004 “Life, Death, and Ancestors”. en SILVERMAN, Helaine (editor). *Andean Archaeology*, Malden: Blackwell, pp. 77-115.

DÍAZ, A. & ORTLIEB, L.

1993 “El fenómeno «El Niño» y los moluscos de la costa Peruana”. en *Boletín del Instituto Francés de Estudios Andinos*. Volumen 22, número 1, pp. 159-177.

DWYER, Edward

1973 “Early Horizon Tapestry from South Coastal Peru”. en ROWE, Ann Pollard, BENSON, Elizabeth P. & SCHAFFER, Anne-Louise (editores). *The Junius B. Bird pre-Columbian Textile Conference, May 19th and 20th, 1973* Washington, D.C.: Textile Museum: Dumbarton Oaks. Trustees for Harvard University pp. 61-82.

DWYER, Jane

1973 “The chronology and iconography of Paracas-style textiles”. en ROWE, Ann Pollard, BENSON, Elizabeth P. & SCHAFFER, Anne-Louise (editores). *The Junius B. Bird pre-Columbian Textile Conference, May 19th and 20th, 1973* Washington, D.C.: Textile Museum: Dumbarton Oaks. Trustees for Harvard University pp. 105-128.

EKROTH-EDEBO, Margareta

- 1990 "Paracas and Pachacamac Textiles from the Museum's Collections Morphological, chemical and physical analysis". en *Göteborgs Etnografiska Museum Arstryck*. Göteborg:Citat & Xset Grafisk Produktion, pp.1-20.

EMERY, Irene

- 1980 *The Primary Structures of Fabrics: an Illustrated Classification*. Washington, D.C.: The Textile Museum.

ENGEL, Frédéric-André

- 1960 "Un Groupe Humain Datant de 5000 ans à Paracas, Pérou". en *Journal de la Société des Américanistes*, volumen 49, pp. 7-35.
- 1962 *Elementos de Prehistoria Peruana*. Lima: Stylo.
- 1963a *A Preceramic Settlement on the Central Coast of Peru: Asia, Unit 1*. Filadelfia: Transactions of the American Philosophical Society, New Series, v.53, n.3.
- 1963b *Notes Relatives à des Explorations Archéologiques à Paracas et sur la Côte Sud du Pérou*. Lima, Paris: L'Institut francais d' Etudes Andines.
- 1965a "La gran antigüedad de las culturas peruanas". en *Cultura y pueblo*, números 7-8, pp. 16-19.
- 1965b *Historia elemental del Perú antiguo*. Lima: Juan Mejía Baca.
- 1966 *Paracas: cien siglos de cultura peruana*. Lima: Juan Mejía Baca.
- 1969 "Eléments de géographie humaine précolombienne". en *L'Homme* volumen 9, número 4, pp. 97-102.
- 1970 "Exploration of the Chilca Canyon, Peru". en *Current Anthropology*, volumen 11, número 1, pp.55-58.
- 1972 *Le monde précolombien des Andes*. Paris: Hachette.
- 1973 "New Facts about Pre-Columbian Life in the Andean Lomas". en *Current Anthropology*, volumen 14, número 3, pp. 271-280.
- 1976 *An ancient world preserved: relics and records of prehistory in the andes*. New York: Crown Publishers.
- 1980 "Problemas alimenticios en las regiones áridas". En *Boletín de Lima*, número 9, pp. 17-21.
- 1987 *De las Begonias al Maíz: Vida y Producción en el Perú Antigua*. Lima: CIZA-UNALM.
- 1988 *Ecología prehistórica andina: el hombre, su establecimiento y el ambiente de los Andes. La vida en tierras áridas y semiáridas*. Lima: CIZA.
- 1991 *Un Desierto en Tiempos Prehispánicos: Río Pisco, Paracas, Río Ica*. Lima: CIZA-UNALM.

ENGHOFF, Inge

- 1986 "Freshwater fishing from a Sea-Coast settlement". en *Journal of Danish Archaeology*, número 5, pp. 62-76.
- 1991 "Mesolithic Eel-Fishing at Bjørnsholm, Denmark: Spiced with exotic species". En *Journal of Danish Archaeology*, número 10, pp. 105-118.
- 1994 "Fishing in Denmark During the Ertebølle Period". En *International Journal of Osteoarchaeology*, número 4, pp. 65-96.
- 1996 "A medieval herring industry in Denmark and the importance of herring in Eastern Denmark". en *Archaeofauna*, número 5, pp. 43-47.

- 1999 “Fishing in the Baltic Region from the 5th Century BC to the 16th Century AD: Evidence from Fish bones”. En *Archaeofauna*, número 8, pp. 41-85.
- 2007 “Viking age fishing in Denmark, with particular focus on the freshwater site Viborg, methods of excavation and smelt fishing”. en PLOGMANN, H. Hüster (editor). *The role of fish in ancient time: Proceedings of the 13 th meeting of the ICAZ Fish Remains Working Group on October 4th -9th, Basel/Augst. Rhaden/Westf.* pp. 69-76.

FOCACCI, Guillermo

- 1974 “Excavaciones en el cementerio playa Miller 7. Arica (Chile)”. en *Chungara: Revista de Antropología Chilena*, volumen 3, pp. 23-7.

FOLENSBEE, Billie

- 2008 “Fiber Technology and Weaving in Formative-Period Gulf Coast Cultures”. en *Ancient Mesoamerica*, número 19, pp. 87–110.

FRAME, Mary

- 1994 “Las imágenes visuales de estructuras textiles en el arte del antiguo Perú”. en *Revista andina*, número 24, pp. 295-372.
- 2007 “Las prendas bordadas de la necrópolis de Wari Kayan”. en FRAME, Mary (editor). *Hilos del pasado: el aporte francés al legado Paracas*. Lima: Instituto Nacional de Cultura: Museo Nacional de Arqueología, Antropología e Historia del Perú: Fundación Franco-Peruana: Embajada de Francia pp.65-73.

FUNG, Rosa

- 1969 “Los Anzuelos de Las Aldas: Un análisis comparativo”. en *Boletín del Seminario de Arqueología*, volumen 4, pp. 29-43.
- 1978 “Análisis tecnológico de encajes del Antiguo Perú: Periodo Tardío”. En RAVINES, Roger (editor). *Tecnología andina*. Lima: IEP: Instituto de Investigación Tecnológica, Industrial y de Normas Técnicas, pp. 333-345

GARCÍA, Amelia

- 2000 *Pescadores artesanales y medio ambiente en la reserva nacional de Paracas – Pisco*. Lima: Universidad Nacional Mayor de San Marcos.

GARCÍA, Rubén

- 2009 “Puerto Nuevo y los Orígenes de la Tradición Estilístico-Religiosa Paracas”. En *Boletín de Arqueología PUCP*, volumen 13, pp. 187-207.
- 2010 “La Ocupación Paracas en la Bahía de la Independencia de Paracas”. En: VALLE, L. (editor). *Arqueología y Desarrollo: Experiencias y Posibilidades en el Perú*. Lima: Ediciones SIAN, pp. 53-66.

GARCÍA, Enrique & FLORIDO, David

- 2010 “The Origin and Development of Tuna Fishing Nets (Almadrabas)”. En BEKKER-NIELSEN, Tønnes & BERNAL CASASOLA, Darío (editores). *Ancient nets and fishing gear: proceedings of the International Workshop on "Nets and Fishing Gear in Classical Antiquity: A First Approach"*, Cádiz, November 15-17, 2007 Cádiz: Servicio de Publicaciones de la Universidad de Cádiz; Aarhus, Denmark: Aarhus University Press pp. 205-228.

GAYTON, Ann

1961 “Early Paracas Style Textiles from Yauca, Peru”. En *Archaeology*, volumen 14, número 2, pp. 117-121.

1978 “Significado cultural de los textiles peruanos: producción, función y belleza”. En RAVINES, Roger (editor). *Tecnología andina*. Lima: IEP: Instituto de Investigación Tecnológica, Industrial y de Normas Técnicas, pp. 269-297.

GUILLÉN, Sonia

1997 “Morro 1-5 (Arica): momias y sociedades complejas del arcaico de los Andes Centrales”. en *Boletín de arqueología PUCP*, número 1, pp. 65-78.

HAAS, Jonathan & CREAMER, Winifred

2006 “Crucible of Andean Civilization: The Peruvian Coast from 3000 to 1800 BC”. en *Current Anthropology*, volumen 47, número 5, pp. 745-775.

HALD, Margrethe

1982 “A Contribution to the Study of the Mummy Blankets from Paracas: With remarks on Danish Bronze Age Textiles”. en *Acta Archaeologica*, volumen 52, pp. 119-128.

HAMMEL, E. A. & HAASE, Ynez D.

1962 “A Survey of Peruvian Fishing Communities”. en *Anthropological Records*, volumen 21, número 2, pp. 211-229.

HRDLIČKA, Aleš

1978 “La trepanación en los pueblos prehistóricos de América”. En RAVINES, Roger (editor). *Tecnología andina*. Lima: IEP: Instituto de Investigación Tecnológica, Industrial y de Normas Técnicas, pp. 687-695.

HUDSON, Jean

2004 “Additional Evidence for Gourd Floats on Fishing Nets”. en *American Antiquity*, volumen 69, número 3, pp. 586-587.

ISLA, Johny & REINDEL, Markus

2007 “Los Paracas del Sur: Una nueva perspectiva desde los valles de Palpa”. en FRAME, Mary (editor). *Hilos del pasado: el aporte francés al legado Paracas*. Lima: Instituto Nacional de Cultura: Museo Nacional de Arqueología, Antropología e Historia del Perú: Fundación Franco-Peruana: Embajada de Francia pp.75-77.

JAKES, Kathryn

1991 “Physical and Chemical Analysis of Paracas Fibers”. En PAUL, Anne (editor). *Paracas Art and Architecture*. Iowa City: University of Iowa Press, pp. 222-239.

JULIEN, Catherine

2011 “El quipu en el imperio incaico”. En ARELLANO, Carmen (editor). *Atando cabos*. Lima: Ministerio de Cultura: Museo Nacional de Arqueología, Antropología e Historia del Perú, pp. 95-123.

- KAULICKE, Peter
- 1994 *Historia general del Perú. Primer volumen*. Lima: Brasa.
- 1997 *Contextos Funerarios de Ancón: Esbozo de una Síntesis Analítica*. Lima: PUCP
- 1998 “Perspectivas regionales del Periodo Formativo en el Perú”. En *Boletín de Arqueología PUCP*, número 2, pp. 353-368.
- 2008a “La economía en el Período Formativo”. En CONTRERAS, Carlos (editor). *Compendio de historia económica del Perú, primer volumen*. Lima: BCRP: IEP, pp. 137-230.
- 2008b “Espacio y tiempo en el Periodo Formativo: una introducción”. En *Boletín de Arqueología PUCP*, número 12, pp. 9-23.
- 2010a *Las cronologías del formativo: 50 años de investigaciones japonesas en perspectiva*. Lima: Fondo Editorial de la Pontificia Universidad Católica del Perú.
- 2010b *Historia del Perú: El Perú antiguo I (9000 a.C.-200 d.C.): los períodos arcaico y formativo*. Lima: Empresa Editora El Comercio.
- KING, Mary
- 1969 “Some New Paracas Textile Techniques from Ocucaje, Peru“. En *Internationalen Amerikanistankongressen, Stuttgart-München, 12 bis 18 August 1968*. Munich: Kommissionsverlag Klaus Renner, volumen 1, pp. 369-377.
- 1974 “Mythological Figures in Textiles from Ocucaje, Peru”. En *Atti del XL Congresso Internazionale degli Americanisti Roma – Genova 3-10 Settembre 1972*, volumen 2, pp. 521-529.
- 1983 “Sprang in the Paracas Period of Peru”. En ROGERS, Nora & Martha STANLEY (editores). *In Celebration of the Curious Mind: A Festschrift to honor Anne Blinks on her 80th birthday*. Loveland, Colo.: Interweave Press pp.61-67
- LEÓN, Elmo
- 2007a “Cronología de los fardos funerarios de Wari Kayan, Paracas Necrópolis”. En FRAME, Mary (editor). *Hilos del pasado: el aporte francés al legado Paracas*. Lima: Instituto Nacional de Cultura: Museo Nacional de Arqueología, Antropología e Historia del Perú: Fundación Franco-Peruana: Embajada de Francia pp. 33-47.
- 2007b “Lascas de obsidiana tipo kombewa de Wari Kayan, Paracas”. En FRAME, Mary (editor). *Hilos del pasado: el aporte francés al legado Paracas*. Lima: Instituto Nacional de Cultura: Museo Nacional de Arqueología, Antropología e Historia del Perú: Fundación Franco-Peruana: Embajada de Francia pp.75-77.
- LEVILLIER, Jean
- 1928 *Paracas: A Contribution to the study of Pre-Incaic textiles in ancient Peru*. Paris: Libreria Hispano-Americana.
- LOCKE, L. Leland
- 1978 “El quipu antiguo o registro peruano de nudos”. En RAVINES, Roger (editor). *Tecnología andina*. Lima: IEP: Instituto de Investigación Tecnológica, Industrial y de Normas Técnicas, pp. 705-731.
- LOZADA, María & BUIKSTRA, Jane E.
- 2002 *El Señorío de Chiribaya en la Costa Sur del Perú*. Lima : IEP.

LÓPEZ, Guadalupe

- 2010 “Nets and Fishing Gear in Roman Mosaics from Spain”. En BEKKER-NIELSEN, Tønnes & BERNAL CASASOLA, Darío (editores). *Ancient nets and fishing gear: proceedings of the International Workshop on "Nets and Fishing Gear in Classical Antiquity: A First Approach"*, Cádiz, November 15-17, 2007 Cádiz: Servicio de Publicaciones de la Universidad de Cádiz; Aarhus, Denmark: Aarhus University Press pp. 161-186.

LÓPEZ, J. & RUIZ, J.

- 2010 “Corrals, Sabaleras and Pulperas: Three Types of Fishing in the Bay of Cadiz”. En BEKKER-NIELSEN, Tønnes & BERNAL CASASOLA, Darío (editores). *Ancient nets and fishing gear: proceedings of the International Workshop on "Nets and Fishing Gear in Classical Antiquity: A First Approach"*, Cádiz, November 15-17, 2007 Cádiz: Servicio de Publicaciones de la Universidad de Cádiz; Aarhus, Denmark: Aarhus University Press pp. 327-332.

LUMBRERAS SALCEDO, Luis Guillermo

- 1974 *Los orígenes de la civilización en el Perú*. Lima : Milla Batres.
1989 *Chavín de Huántar en el nacimiento de la civilización andina*. Lima : Instituto Andino de Estudios Arqueológicos.
2000 *El nacimiento de la civilización*. Lima : IFEA : Lluvia Editores.

MAARLEVELD, Thijs

- 2010 “Fish and "Chips of Knowledge": Some Thoughts on the Biases of the Archaeological Record”. En BEKKER-NIELSEN, Tønnes & BERNAL CASASOLA, Darío (editores). *Ancient nets and fishing gear: proceedings of the International Workshop on "Nets and Fishing Gear in Classical Antiquity: A First Approach"*, Cádiz, November 15-17, 2007 Cádiz: Servicio de Publicaciones de la Universidad de Cádiz; Aarhus, Denmark: Aarhus University Press pp. 257-273

MAKOWSKI, Krzysztof

- 2000 “Los seres sobrenaturales en la iconografía paracas y nazca”. en Makowski, Krzysztof (compilador). *Los dioses del antiguo Perú. Dos volúmenes*. Lima: Banco de Crédito del Perú, p.277-312.
2005 “Deificación frente a ancestralización de gobernante en el Perú Prehispánico: Sipán y Paracas” en *Arqueología, geografía e historia. Aportes peruanos en el 50° Congreso de Americanistas/Varsovia Polonia 2000*. Lima: PromPerú – Fondo Editorial de la Pontificia Universidad Católica del Perú, pp.39-80.

MARTINUSSEN, Atle

- 2010 “Fishing Gear, Open Boats and Preserving Skills”. En BEKKER-NIELSEN, Tønnes & BERNAL CASASOLA, Darío (editores). *Ancient nets and fishing gear: proceedings of the International Workshop on "Nets and Fishing Gear in Classical Antiquity: A First Approach"*, Cádiz, November 15-17, 2007 Cádiz: Servicio de Publicaciones de la Universidad de Cádiz; Aarhus, Denmark: Aarhus University Press pp. 311-326

- McCAFFERTY, Sharisse & McCAFFERTY, Geoffrey
 2008 “Spinning and weaving tolos from Santa Isabel, Nicaragua”. En *Ancient Mesoamerica*, número 19, pp. 143–156.
- MENZE, Dorothy, John H. ROWE, y Lawrence E. DAWSON
 1964 *The Paracas Pottery of Ica: A Study in Style and Time*. Berkeley: University of California.
- MORALES, Arturo
 2010 “Inferences about Prehistoric Fishing Gear based on Archaeological Fish Assemblages”. En BEKKER-NIELSEN, Tønnes & BERNAL CASASOLA, Darío (editores). *Ancient nets and fishing gear: proceedings of the International Workshop on "Nets and Fishing Gear in Classical Antiquity: A First Approach", Cádiz, November 15-17, 2007* Cádiz: Servicio de Publicaciones de la Universidad de Cádiz; Aarhus, Denmark: Aarhus University Press pp. 25-54.
- MUELLE, Jorge & RAVINES, Rogger
 1973 “Los estratos precerámicos de Ancón”. en *Revista del Museo Nacional*, número 39, pp. 49-90.
- MUÑOZ, Iván
 1985 “Introducción al estudio de las poblaciones costeras durante la etapa arcaica en el norte de Chile”. en *Antropológica*, número 3, pp. 261-286.
- MURRA, John
 1981 “Las etnocategorías de un khipu estatal”. En LECHTMAN, Heather & SOLDI, Ana María (editores). *La Tecnología en el Mundo Andino. Tomo I: Subsistencia y Mensuración*. México D.F.: Universidad Nacional Autónoma de México, pp.433-442
 2009 *El mundo andino: población, medio ambiente y economía*. Lima: PUCP. Fondo Editorial: IEP
- O’NEALE, Lila
 1932 “Tejidos del periodo primitivo de Paracas”. En *Revista del Museo Nacional*, volumen 2, número 2, pp. 60-80.
 1935 “Pequeñas prendas ceremoniales de Paracas”. en *Revista del Museo Nacional*, volumen 4, número 2, pp. 245-266.
 1942 “Textile periods in ancient Peru: II. Paracas caverns and the grand necropolis” en *American archaeology and ethnology*, volumen 42, pp. 143-201.
- OAKLAND, Amy & FERNÁNDEZ, Arabel
 2000 “Los tejidos huari y tiwanaku: comparaciones y contextos”. En *Boletín de arqueología PUCP*, número 4, pp. 119-130.
- OLIVA, Isabela
 1993 *La pesca artesanal en el Perú*. Tesis de licenciatura en Ciencias Sociales con mención en Antropología Social. Lima: Pontificia Universidad Católica del Perú, Facultad de Ciencias Sociales

- OLIVERA, Gloria
1975-76 "Algunos tejidos de Ica". En *Arqueología PUC: boletín del seminario de arqueología*, número 17-18, pp. 51-68.
- ORTIZ, Ingrid
2006 "Los pescadores artesanales de la Playa de Jahuay". En BÉRNINZON, Carlos E. *La costa y su gente: Interacciones humanas en la zona costera peruana*. Lima: Acción Solidaria para el Desarrollo, pp.31-44.
- PAUL, Anne
1990a *Paracas Ritual Attire. Symbols of Authority in Ancient Peru*. University of Oklahoma Press.
1990b "The Use of Color in Paracas Necropolis Fabrics: What Does It Reveal about the Organization of Dyeing, Designing, and Society?". En *National Geographic Research*, volumen 6, número 1, pp. 7-21.
1991a "Paracas Necropolis Bundle 89: A Description and Discussion of Its Contents". En PAUL, Anne (editor). *Paracas Art and Architecture*. Iowa City: University of Iowa Press, pp. 172-221.
1992 "Paracas Necropolis Textiles: Symbolic visions of Coastal Peru". En Townsend, Richard (editor). *The Ancient Americas: Art from sacred landscapes*. Chicago: The Art Institute of Chicago, pp.279-288.
- PETERS, Ann
2000 "Funerary regalia and institutions of leadership in Paracas and Topara". En *Chungara, Revista de Antropología Chilena*, volumen 32, número 2, pp. 245-252.
2005 "Cabeza y Tocado: Significados en Paracas, Topara y Nasca". En SOLANILLA, Victoria (editor). *Tejiendo Sueños en el Cono Sur: Textiles Andinos, Pasado, Presente y Futuro*. Barcelona: Universitat Autònoma de Barcelona, pp. 144-165.
2007 "La necrópolis de Wari Kayan". En FRAME, Mary (editor). *Hilos del pasado: el aporte francés al legado Paracas*. Lima: Instituto Nacional de Cultura: Museo Nacional de Arqueología, Antropología e Historia del Perú: Fundación Franco-Peruana: Embajada de Francia pp. 23-32.
2010 "Paracas: Liderazgo social, memoria histórica y lo sagrado en la necrópolis de Wari Kayán". En Makowski, K. (compilador). *Señores de los Imperios del Sol*. Lima: Banco de Crédito del Perú, pp. 201-224.
- PORTILLO, María Flor
1988 "La observación astronómica y su aplicación al ciclo agrícola en los tejidos paracas-nazca". En *América: Hombre y Sociedad Actas de las primeras jornadas de historiadores americanistas*. Granada: Diputación Provincial de Granada, Sociedad de Historiadores Mexicanistas, pp.25-41.
- POZORSKI, Shelia & PORZORSKI, Thomas
1987 *Early settlement and subsistence in the Casma Valley, Peru*. Iowa City: University of Iowa Press
- PROULX, Donald
1996 "Paracas". en BOONE HILL, Elizabeth (editor). *Andean art at Dumbarton Oaks* v.1 Washington, D.C.: Trustees for Harvard University, pp. 101-106.

- RAVINES, Rogger
 1977 “Prácticas Funerarias en Ancón”. En *Revista del Museo Nacional*, número 43, 327-397.
 1978 “Textilería”. En RAVINES, Roger (editor). *Tecnología andina*. Lima: IEP: Instituto de Investigación Tecnológica, Industrial y de Normas Técnicas, pp. 253-268.
- RICE, Prudence
 1987 *Pottery Analysis: A Sourcebook*. Chicago: The University of Chicago Press.
- RIVAS, Roxani
 2004 *El gran pescador: técnicas de pesca entre los cocama-cocamillas de la Amazonía peruana*. Lima: PUCP. Fondo Editorial
- REID, James
 2008 *Textiles peruanos precolombinos: el primer arte moderno*. Piura: Industria Textil Piura
- ROSTWOROWSKI, María
 1976 “La vida de un poblado de pescadores”. En PÉREZ BONANY, Alfonso (editor). *La Pesca en el Perú prehispánico*. Lima: Pesca Perú, pp. 69-76
 1981a “Mediciones y computes en el antiguo Perú”. En LECHTMAN, Heather & SOLDI, Ana María (editores). *La Tecnología en el Mundo Andino. Tomo I: Subsistencia y Mensuración*. México D.F.: Universidad Nacional Autónoma de México, pp. 397-405.
 1981b “Los pescadores del litoral peruano en el siglo XV «Yunga Guaxme»”. En *Nova americana*, número 4, pp. 11-42.
 1981c *Recursos naturales renovables y pesca, siglos XVI y XVII*. Lima: IEP
- ROWE, Ann
 1978 “Prácticas textiles en el área del Cuzco”. En RAVINES, Roger (editor). *Tecnología andina*. Lima: IEP: Instituto de Investigación Tecnológica, Industrial y de Normas Técnicas, pp. 369-394
- SILVERMAN, Helaine
 1996 “The Formative Period on the South Coast of Peru: A Critical Review”. En *Journal of World Prehistory*, volumen 10, número 2, pp. 95-146.
- SANDWEISS, Daniel
 1992 *The archaeology of Chincha fishermen: specialization and status in Inka Peru*. Pittsburgh: Carnegie Museum of Natural History
 1996 “The development of fishing specialization on the Central Andean Coast”. En *Prehistoric Hunter-Gatherer Fishing Strategies*. Idaho: Boise State University Printing and Graphics Services, pp.41-63.
 2008 “Early Fishing Societies in Western South America”. En SILVERMAN, Helaine & William H. ISBELL (editores). *Handbook of South American Archaeology*. New York: Springer, pp.145-156
 2014 “Early Coastal South America” s.n.

2008 *El Niño, catastrophism, and culture change in ancient America*. Washington, D.C.: Dumbarton Oaks Research Library and Collection

SANDWEISS, Daniel & RADEMAKER, Kurt

2013 “El poblamiento del sur peruano: costa y sierra”. En *Boletín de Arqueología PUCP*, número 15, pp. 275-293.

SHADY, Ruth

2006 “La Civilización Caral: Sistema social y manejo del territorio y sus recursos. Su trascendencia en el proceso cultural andino”. En *Boletín de Arqueología PUCP*, número 10, pp. 59-89

STOCKS, Anthony

1983 “Cocamilla fishing : patch modification and environmental buffering in the Amazon Várzea”. En HAMES, Raymond B. & William VICKERS (editores). *Adaptive responses of native Amazonians*. New York: Academic Press, pp.239-267.

TELLO, Julio C.

1921 *Introducción a la historia antigua del Perú*. [s.l.: s.n.]

1923 *Wira-Kocha*. Lima: [s.n.]

1929 *Antiguo Perú: primera época*. Lima: Comisión Organizadora del Segundo Congreso Sudamericano de Turismo

1942 *Origen y desarrollo de las civilizaciones prehistóricas andinas*. Lima : Lib. e Imp. Gil

1959 *Paracas : primera parte*. Lima : Empresa Gráfica T. Scheuch

1960 *Chavín : cultura matriz de la civilización andina : primera parte*. Lima : UNMSM

1961 *El Perú antiguo*. Lima : Tipografía Peruana

1967 *Páginas escogidas*. Lima : UNMSM

1979 *Paracas. Segunda parte : Cavernas y Necrópolis*. Lima : UNMSM. Dirección Universitaria de Bibliotecas y Publicaciones

2009 *Paracas Cavernas*. Lima: Universidad Nacional Mayor de San Marcos. Museo de Arqueología y Antropología.

THAYS, Carmen

2007 “La anastilosis en textiles: la restauración de los tejidos Paracas”. En FRAME, Mary (editor). *Hilos del pasado: el aporte francés al legado Paracas*. Lima: Instituto Nacional de Cultura: Museo Nacional de Arqueología, Antropología e Historia del Perú: Fundación Franco-Peruana: Embajada de Francia pp. 49-63.

THOMAS, Ross

2010 “Fishing Equipment from Myos Hormos and Fishing Techniques on the Red Sea in the Roman period”. En BEKKER-NIELSEN, Tønnes & BERNAL CASASOLA, Darío (editores). *Ancient nets and fishing gear: proceedings of the International Workshop on "Nets and Fishing Gear in Classical Antiquity: A First Approach"*, Cádiz, November 15-17, 2007 Cádiz: Servicio de Publicaciones de la Universidad de Cádiz; Aarhus, Denmark: Aarhus University Press pp. 139-160.

TRAKADAS, Athena

- 2010a “Archaeological Evidence for Ancient Fixed-Net Fishing in Northern Morocco”. En BEKKER-NIELSEN, Tønnes & BERNAL CASASOLA, Darío (editores). *Ancient nets and fishing gear: proceedings of the International Workshop on "Nets and Fishing Gear in Classical Antiquity: A First Approach"*, Cádiz, November 15-17, 2007 Cádiz: Servicio de Publicaciones de la Universidad de Cádiz; Aarhus, Denmark: Aarhus University Press pp. 299-310
- 2010b “Nets and Fishing Gear in Classical Antiquity: Past, Present and Future Scholarship”. En BEKKER-NIELSEN, Tønnes & BERNAL CASASOLA, Darío (editores). *Ancient nets and fishing gear: proceedings of the International Workshop on "Nets and Fishing Gear in Classical Antiquity: A First Approach"*, Cádiz, November 15-17, 2007 Cádiz: Servicio de Publicaciones de la Universidad de Cádiz; Aarhus, Denmark: Aarhus University Press pp. 367-372.

URTON, Gary

- 2011a “El quipu inca: Mantenimiento de registros en cuerdas con nudos”. En ARELLANO, Carmen (editor). *Atando cabos*. Lima: Ministerio de Cultura: Museo Nacional de Arqueología, Antropología e Historia del Perú, pp. 59-75.
- 2011b “Los quipus de la Laguna de los Cóndores”. En ARELLANO, Carmen (editor). *Atando cabos*. Lima: Ministerio de Cultura: Museo Nacional de Arqueología, Antropología e Historia del Perú, pp. 125-159.

UWE, Carlson

- 2011 “Iconografía andina : interpretación del simbolismo en antiguos tejidos peruanos”. En *Boletín de Lima*. Número, 158, pp.3-56.

VERDE, Ana

- 2009 *Mantos para la eternidad: textiles Paracas del antiguo Perú*. Madrid: Ministerio de Cultura: INC

WEISS, Pedro

- 1962 *Las trepanaciones de los antiguos peruanos: estudio osteo-cultural*. Lima: Valverde

YACOVLEFF, Eugenio

- 1932 “Las falcónidas en el arte y en las creencias de los antiguos peruanos”. En *Revista del Museo Nacional*, volumen 1, número 1, pp. 35-111.

YACOVLEFF, Eugenio & MUELLE, J.

- 1934 “Un fardo funerario de Paracas”. En *Revista del Museo Nacional*, volumen 3, número 1, pp. 63-153.

Anexos:

A continuación se presenta el catálogo de todo el material textil analizado a lo largo de esta investigación. El orden a seguir es el siguiente: primero los hilos, luego los textiles y, finalmente, las redes. De igual manera, dentro de cada categoría de textiles, primero se presentan los datos de Disco Verde y luego los de Karwa. Se han usado contracciones por motivos de espacio en las variables de fibra y color. Para la fibra se tiene algodón (A), fibra vegetal (V) y fibra de camélido (C); para el color se tiene blanco (B), marrón (M), rojo (R), verde (V) y amarillo (A).

Unidad	Estrato	Nivel	Fibra	Color	Largo (cm)	Torsión	N° Cabos	Grosor (mm)	Observaciones
F9	0		A	B	5	Z-S-Z	25	1.34	
F9	0		A	B	23.7	Z-S-Z	10	0.78	
F9	0		A	B	15	Z-S	6	0.51	
F9	0		A	B	5.9	Z-S	4	0.67	
F9	0		A	B	5.7	Z-S-Z	6	0.83	Tiene un nudo simple
F9	0		A	B	5	Z-S	3	0.45	
F9	0		A	B	3.7	Z-S-Z	8	0.57	Tiene un nudo simple
F9	0		A	M	1.9	Z-S-Z	4	1.04	Tiene dos nudos simples
F9	0		A	B	3.2	Z-S-Z	6	0.65	Tiene dos nudos simples
F9	0		A	B	15.2	Z-S	2	0.13	
F9	0		A	B	9.8	Z-S	2	0.13	Tiene un nudo simple
F9	0		A	B	1.1	Z-S-Z	8	0.56	
F9	0		A	B	6.2	Z-S	2	0.21	
F9	0		A	B	3.9	Z-S	2	0.21	
F9	0		A	B	1.1	Z-S-Z	8	1.04	
1	0		A	B	11.7	Z-S-Z	4	0.53	Tiene un nudo múltiple
1	0		A	B	4.5	Z-S-Z	18	1.22	Tiene un nudo simple
1	0		A	B	25.5	Z-S	2	0.4	
1	0		A	M	38	Z-S	2	0.27	
1	0		A	M	8.3	Z-S	2	0.27	
1	0		A	B	23.2	Z-S	2	0.25	
1	0		A	B	10	Z-S	2	0.2	
1	0		A	M	19.2	Z-S	2	0.33	
1	0		A	B	26	Z-S-Z	4	0.57	
1	0		A	B	9.7	Z-S-Z	4	0.6	
1	0		A	B	2.7	Z-S	2	0.26	
1	0		A	B	7.2	Z-S	1	0.23	
1	0		A	B	7.5	Z-S	2	0.21	
1	0		A	M	8.7	Z-S	2	0.23	
1	0		A	B	6.5	Z-S	2	0.15	

Unidad	Estrato	Nivel	Fibra	Color	Largo (cm)	Torsión	N° Cabos	Grosor (mm)	Observaciones
1	0		A	B	2.6	Z-S	2	0.19	
1	0		A	B	4.9	Z-S	2	0.26	
1	0		A	B	4.3	Z-S	3	0.33	Tiene un nudo simple
1	0		A	B	10.8	Z-S	2	0.19	
1	0		A	B	5.7	Z-S	2	0.22	
1	0		A	B	9.5	Z-S	2	0.2	
1	0		V	M	6.5	Z	2	5.31	
F9	1		A	B	13.4	Z-S	2	.5	
F9	1		A	M	4.9	Z-S-S	6	2	
F9	3		A	B	4.5	Z-S	18	2.96	Tiene un nudo simple. Está trenzado
F9	3		A	B	29	Z-S	2	0.35	
F9	3		A	M	2.1	Z-S-Z	4	0.71	
F9	4		A	B	24.3	Z-S-Z	10	0.84	
F9	4		A	M	22	Z-S	2	0.18	
F9	4		A	B	18	Z-S-Z	12	1.49	Tiene un nudo múltiple
F9	4		A	B	4.7	Z-S	2	0.36	
F9	4		A	B	3.2	Z-S-Z	14	1.13	
F9	4		A	B	21.7	Z-S	2	0.26	
F9	4		A	M	24.5	Z-S	2	0.17	
F9	4		A	B	2.8	Z-S	2	0.21	
F9	4		A	B	24	Z-S	2	0.23	
F9	4		A	B	7.5	Z-S-Z	4	0.33	
F9	4		A	M	4.1	Z-S	2	0.2	
F9	4		A	M	1.2	Z-S	2	0.26	
F9	5,6,7		A	B	16.3	Z-S	2	1	
F9	5,6,7		A	V	11.9	Z-S	2	1	
F9	5,6,7		A	M	4.9	Z-S	2	1	
F9	5,6,7		A	M	1.8	Z-S-Z	6	1.5	Tiene un nudo simple
F9	5,6,7		A	M	6.5	Z-S	2	1	
F9	5,6,7		A	M	12.5	Z-S-S	8	1.04	
F9	5,6,7		A	B		Z-S-Z	8		Doblado en la mitad para formar un hilo en Z de 16 cabos. En el extremo donde se dobló queda una zona sin torcer bien. Al otro extremo tiene un nudo vertical del tipo "granny".
F9	5,6,7		A	B,M	9.1	Z-S-Z	12	1.13	Hilo bicolor con dos nudos simples que conforman un aro en uno de los extremos

Unidad	Estrato	Nivel	Fibra	Color	Largo (cm)	Torsión	N° Cabos	Grosor (mm)	Observaciones
F9	L1-8		A	B	5.2	Z-S	2	1	
F9	8, 9, 10, 11		A	B	7.7	Z	1	0.17	
F9	8, 9, 10, 11		A	B	8.5	Z-S	10	0.54	Tiene un nudo simple
F9	8, 9, 10, 11		A	B	13.7	Z-S-Z	8	0.61	
F9	8, 9, 10, 11		A	B	2	Z-S	28	1.45	Tiene un nudo múltiple
1	9		A	B	7.5	Z-S-Z	12	1.4	
1	9		A	B	4	Z-S	2	0.4	
1	9		A	B	2.3	Z-S-Z	6	0.8	Tiene un nudo simple
1	9		A	B	8.1	Z-S	2	0.7	
1	9		A	B	1.3	Z-S-Z	16	1.5	
1	9		A	B	2.5				No se puede medir por su deterioro
1	9		A	B	1.7	Z-S-Z	6	0.8	
1	9		A	B	2.3	Z-S	10		Tiene un nudo múltiple por lo que no se puede medir el grosor
F3	9		A	B	24.8	Z-S-Z	4	0.4	
F3	9		A	B	2.5	Z-S-Z	12	1.4	
F3	9		A	B	5.4	Z-S-Z	8	0.7	
F3	9		A	B	7.8	Z-S	2	0.2	
F3	9		A	B	6.7	Z-S-Z	4	0.4	
F3	9		A	B	5.5	Z-S-Z	6	0.8	
F3	9		A	B	9.4	Z-S	2	0.3	
F3	9		A	B	5.4	Z-S	2	0.5	
F2	10		A	B	13.4	Z-S	2	0.27	
F2	10		A	B	11.2	Z-S	3	0.69	
F2	10		A	B	6.2	Z-S	2	0.35	
F2	10		A	B	3.6	Z-S	2	0.25	
F2	10		A	B	4.4	Z-S	2	0.21	
F2	10		A	B	3.5	Z-S	2	0.45	
F2	10		A	B	5.5	Z-S-Z	4	0.53	
F2	10		A	B	3.9	Z-S	2	0.31	
F2	10		A	B	2.9	S-Z-S	12	1.17	
F2	10		A	B	2.3	Z-S-Z	8	0.67	
F2	10		A	B	2.1	Z-S	2	0.3	
F2	10		A	R	6.1	Z-S	2	0.21	
F2	10		A	R	3.3	Z-S	2	0.18	
F1	11		A	B	7	Z-S	2	0.2	
F1	11		A	B	2.7	Z-S-Z	8	0.9	Tiene un nudo simple
F9	12		A	B	42.6	S-Z	2	1-2	
F9	12		A	B	2.8	Z-S	10	1.5	
F9	12		A	B	12.1	Z-S	2	.5	
F9	12		A	B	8.3	Z-S-S	4	1-1.5	
F9	12		A	M	15.4	Z-S	2	.5-1	

Unidad	Estrato	Nivel	Fibra	Color	Largo (cm)	Torsión	N° Cabos	Grosor (mm)	Observaciones
F9	12		A	B	9.1	Z-S	2	.5-1.5	
F9	12		V	M	19	Z	2	9-10	Cuerda
F2	13		A	B	16.5	Z-S	3	1.5	Tiene un nudo simple
F2	13		A	M	2.3	Z-S-Z	10	2.5	
F2	13		A	B	4.2	Z-S	3	1-1.5	
F2	13		A	M/B	7.2	Z-S	4	1-2	Es un hilo de dos colores al que se le ha dado vuelta
F1	13		A	B	1.8	Z-S-Z	8	1.3	
F1	13		A	B	5	Z-S	2	0.5	
F1	13		A	B	3	Z-S-Z	8	1.2	Tiene un nudo simple
F1	13		A	B	4	Z-S	2	0.2	
F1	13		A	B	2.6	S-Z	3	0.6	
F1	13		A	B	5.6	Z-S	2	0.3	
F1	13		A	B	1.7	Z		0.9	Tiene dos nudos simples
F1	13		A	B	1.5	S-Z	8	1.2	Tiene un nudo simple
F1	13		A	B	4.4	Z-S	2	0.4	Tiene un nudo simple
F1	13		A	B	3.3	Z-S	2	0.2	
F1	13		A	B	5.6	Z-S-Z	4	0.6	
F1	13		A	B	1.7	S-Z	2	0.4	
F1	13		A	B	7.4	Z-S	2	0.3	Tiene un nudo simple
F9	13		A	B	13.2	Z-S	13	0.73	
F9	13		A	B	11.1	Z-S-Z	5	0.64	
F9	13		A	B	6.3	Z-S-Z	4	0.53	
F9	13		A	B	3.8	Z-S-Z	6	0.63	
F9	13		A	B	3.4	Z-S	2	0.23	
F9	13		A	B	14.4	Z-S-Z	6	0.47	
F9	13		A	B	8.2	Z-S-Z	6	0.67	
F9	13		A	B	3.1	Z-S	2	0.23	
F9	13		A	B	5	Z-S	2	0.29	
F9	13		A	B	13	Z-S	7	0.73	
F9	13		A	B	3.2	Z-S	2	0.3	
F9	13		A	B	8.9	Z-S-Z	4	0.75	
F9	13		A	B	3	Z-S		4.53	Cuerda
F2	13		A	B	34	Z-S	2	0.14	
F2	13		A	B	36	Z-S	2	0.13	
F2	13		A	B	13.5	Z	1	0.08	
F1	14		A	B	8.8	Z-S	2	0.8	Tiene un nudo simple
F1	14		A	B	26.8	Z-S	2	0.34	
F1	14		A	B	5.3	Z-S	2	0.2	
F1	14		A	B	2.4	Z-S	2	0.23	
F1	14		A	B	4	Z-S	2	0.16	
F1	14		A	B	1.5	Z-S-Z	8	1.24	Tiene un nudo múltiple

Unidad	Estrato	Nivel	Fibra	Color	Largo (cm)	Torsión	N° Cabos	Grosor (mm)	Observaciones
F1	14		A	B	1.6	Z-S	2	0.22	
F1	14		A	B	1.5	Z-S	2	0.14	
F1-2	14		A	B	2	Z-S	2	0.11	
F1-2	14		A	B	7.5	Z-S-Z	12	1.13	
F1-2	14		A	B	17	Z-S-Z	10	1.03	
F1-2	14		A	B	8.2	Z-S	3	0.39	Está en dos partes
F1-2	14		A	V	7.4	Z-S	2	0.23	
F1-2	14		A	B	32	Z-S-Z	14	1.88	
F1-2	14		F	R	5.7	Z-S	2	0.29	
F1-2	14		F	R	17	Z-S	2	0.23	
F1-2	14		F	R	15	Z-S	2	0.32	
F1-2	14		A	B	18	Z-S-Z	4	0.44	
F2	14		A	B	6.3	Z-S	2	0.2	
F2	14		A	B	3	Z-S	2	0.3	
F2	14		A	B	9.2	Z-S	2	0.4	
F2	14		A	B	1.3	Z-S	2	0.3	
F2	14		A	B	8.4	Z-S	2	0.4	
F2	14		A	B	4.7	Z-S	5	1.1	
F2	14		A	B	2.4	Z-S	2	0.2	
F2	14		A	B	7	Z-S	16	1.8	16 cabos como mínimo
F2	14		A	B y A	9.2		16	1.3	
F2	14		A	B	6	Z-S	2	0.28	
F2	14		A	B	2	Z-S-Z	6	0.7	Tiene dos nudos simples
F2	14		A	B	3.8	Z-S-Z	12	1	Tiene un nudo simple
F2	14		A	B	2.3	Z-S-Z	6	1.05	Tiene un nudo simple
F2	14		A	B	2	Z-S-Z	6	0.6	Tiene un nudo simple
F2	14		A	B	1.5	Z-S-Z	6	0.73	Tiene un nudo simple
F2	14		A	B	2	Z-S	2	0.55	
F2	14		A	B	2.4	Z-S	2	0.33	
F2	14		A	B	1.8	Z-S	2	0.17	
F2	14		A	B	4.4	Z-S	3	0.38	
F3	14		V	M	11.1	Z	2	6.8	Soga, cuerda
F3	14		A	B	1.9	Z-S-Z	4	0.65	
F3	14		A	M	12.1	Z-S	2	0.3	
F3	14		V	M	11.1	Z	2	6.8	
F3	14		A	B	6.8	Z-S-Z	12	1.75	Tiene un nudo doble
F3	14		A	B	5.1	Z-S-Z	8	1.08	Tiene un nudo simple
F3	14		A	B	9.7	Z-S-Z	8	1.25	
F3	14		A	M	18.5	Z-S	2	0.41	
F3	14		A	M	16.7	Z-S	2	0.32	
F3	14		A	B	4.2	Z-S	2	0.22	
F3	14		A	B	10.3	Z-S-S	12	1.06	
F3	14		A	B	8.3	Z-S	2	0.28	

Unidad	Estrato	Nivel	Fibra	Color	Largo (cm)	Torsión	N° Cabos	Grosor (mm)	Observaciones
F3	14		A	B	33	Z-S	2	0.23	
F3	14		A	B	16	Z-S	5	0.71	
F3	14		A	B	19.4	Z-S	2	0.25	
F3	14		A	B	5.7	Z-S	2	0.47	
F3	14		A	B	7	Z-S	2	0.47	
F3	14		A	B	4.1	Z-S	2	0.22	
F3	14		A	M	15.9	Z-S-S-Z	10	0.98	
F3	14		A	B	19.2	Z-S	2	0.28	
F3	14		A	B	16.7	Z-S	2	0.41	
F3	14		A	B	4.8	Z-S-Z	10	1.62	Tiene un nudo múltiple
F3	14		A	B	5.3	Z-S	3	0.52	
F3	14		A	B	20	Z-S	2	0.38	
F3	14		A	B	7.2	Z-S	6	0.72	
F3	14		A	B	15	Z-S	2	0.42	
F3	14		A	B	7.6	Z-S-Z	4	0.92	Tiene un nudo simple y uno doble
F3	14		A	B	18.4	Z-S-S	4	0.56	
F3	14		A	B	6.8	Z-S	2	0.35	
F3	14		A	B	8.5	Z-S	2	0.32	
F3	14		A	B	7.6	Z-S	2	0.45	
F3	14		A	B	9.8	Z-S	6	0.86	
F3	14		A	B	3.5	Z-S	2	0.41	
F3	14		A	B	11	Z-S	2	0.38	
F3	14		A	B	5.9	Z-S	2	0.43	
F3	14		A	B	7.2	Z-S	2	0.62	
F3	14		A	B	11.5	Z	1	0.4	Ovillo
F3	14		A	B	13.1	Z-S	2	0.28	
F3	14		A	B	4.6	Z-S	2	0.21	
F3	14		A	B	12.4	Z-S	2	0.3	
F3	14		A	M	1.7	Z-S	2	0.52	
F3	14		A	B	2	Z-S	2	0.23	
F3	14		A	B	7.1	Z-S	2	0.23	
F3	14		A	B	2.4	Z-S	2	0.4	
F3	14		A	B	3	Z-S	2	0.22	
F3	14		A	B	2.8	Z-S	2	0.22	
F3	14		A	B	5	Z-S	2	0.19	
F3	14		A	B	2.6	Z-S	2	0.28	
F3	14		A	B	3.3	Z-S	2	0.21	
F3	14		A	B	4.4	Z-S	2	0.23	
F9	14-16	1	A	B	37.5	Z-S-Z	6	2.25	
F9	14-16	1	A	B	8.5	Z-S-Z	4	1.5	
F9	14-16	1	A	M	16.8	Z-S-Z	6	2	Está en dos partes
F9	14-16	1	A	B	4.8	Z-S	3	1.5-2.5	
F9	14-16	1	A	B	5.7	Z-S	3	1.5-3	

Unidad	Estrato	Nivel	Fibra	Color	Largo (cm)	Torsión	N° Cabos	Grosor (mm)	Observaciones
F9	14-16	1	A	B	3.8	Z-S-Z	8	2	
F9	14-16	1	A	B	12.3	Z-S	2	1.5	
F9	14-16	1	A	M	6.3	Z-S-Z	4	1.5	Está en dos partes
F9	14-16	1	A	G	5	Z-S	2	1	
F9	14-16	1	A	B	6.8	Z-S-Z	12	2	Tiene un nudo simple
F9	14-16	1	A	M	2.9	S	1	1	
F9	14-16	1	A	B	2.4	Z-S-Z	8	2	Tiene un nudo simple
F2	15		A	B	2.7	Z-S	2	0.14	
F2	15		A	B	9.3	Z-S	2	0.22	
F2	15		A	B	9.8	Z-S	2	0.21	
F2	15		A	B	4.3	Z-S	2	0.15	
F2	15		A	B	2.2	Z	1	0.14	
F2	15		A	B	2.8	Z-S	2	0.24	
F2	15		A	B	1.4	Z-S-Z	4	0.92	Tiene un nudo doble
F2	15		A	B	1	Z	1	0.1	
F9	14-16	2	A	B	10.5	Z-S	3	0.28	Tiene un nudo simple
F9	14-16	2	A	B	7	Z-S	2	0.25	
F9	14-16	2	A	B	3	Z	1	0.14	
F1	16		A	B	14	Z-S	2	0.2	
F1	16		A	B	7.7	Z-S-Z	12	1.3	
F1	16		A	B	16.2	Z-S	16	2.8	
F1	16		A	B	11.1	Z-S	2	0.3	
1	16	1	A	B	7.4	Z-S	2	0.34	
1	16	1	A	B	2.4	Z-S	2	0.34	
1	16	1	A	B	2.4	Z-S	2	0.18	
1	16	1	A	B	3	Z-S	2	0.18	
1	16	1	A	B	2.6	Z-S	2	0.4	
1	16	1	A	B	5	Z-S	2	0.16	
1	16	1	A	B	2.7	Z	1	0.08	
1	16	1	A	B	2	Z	1	0.15	
1	16	1	A	B	1.8	Z	1	0.08	
1	16	1	A	B	2.7	Z	1	0.11	
1	16	1	A	B	2.1	Z-S	2	0.21	
1	16	1	A	B	3.2	Z	1	0.1	
1	16	1	A	B	2	Z	1	0.12	
1	16	1	A	B	1	Z	1	0.23	
1	16	1	A	B	1	Z	1	0.18	
1	16	1	A	B	1	Z	1	0.12	
1	16	1	A	B	1	Z	1	0.14	
1	16	1	A	B	1	Z-S	2	0.14	
1	16	1	V	M	28	Z	2	11.65	
1	16	3	A	B	12	Z-S-Z	20	2.09	

1	16	3	A	B	9.5	Z-S-Z		1.16	Tiene dos nudos simples, uno en cada extremo
1	16	3	A	B	4.6	Z-S	2	0.41	
1	16	3	A	M	24	Z-S	2	0.27	
1	16	3	A	B	29.7	Z	1	0.16	
1	16	3	A	M	6.5	Z-S	2	0.7	
1	16	3	A	B	7.8	Z-S-Z	4	0.67	
1	16	3	A	B	14.4	Z-S	2	0.58	
1	16	3	A	B	5.6	Z-S	2	0.64	
1	16	3	A	B	15.2	Z-S	2	0.34	
1	16	3	A	M	9.8	Z-S	2	0.5	
1	16	3	A	B	12	Z-S-Z	4	0.32	
1	16	3	A	B	3.5	Z	1	0.17	
1	16	3	A	B	4.4	Z-S	2	0.27	
1	16	3	A	B	11	Z-S	2	0.59	
1	16	3	A	B	20	Z-S	2	0.39	
1	16	3	A	B	2.6	Z-S-Z	8	0.89	Tiene un nudo simple
1	16	3	A	B	11	Z-S	2	0.4	
1	16	3	A	B	4.8	Z-S	2	0.6	
1	16	3	A	B	30	Z-S	3	0.3	
1	16	3	A	B	18.4	Z-S	2	0.41	
1	16	3	A	B	9.4	Z-S	2	0.45	
1	16	3	A	B	9.6	Z-S-Z	4	0.82	
1	16	3	A	B	15.4	Z-S-Z	4	0.61	
1	16	3	A	B	4.1	Z-S	2	0.29	
1	16	3	A	B	4.3	Z-S	2	0.33	
1	16	3	A	B	5.2	Z-S	2	0.27	
1	16	3	A	B	13.2	Z-S	2	0.5	
1	16	3	A	B	29	Z-S-Z	4	0.52	Tiene un nudo simple
1	16	3	A	B	10.5	Z-S	2	0.46	
1	16	3	A	B	12.5	Z-S	2	0.42	
1	16	3	A	B	8.8	Z-S	2	0.43	
1	16	3	A	B	3	Z	1	0.09	
1	16	3	A	B	3	Z-S	2	0.23	
1	16	3	A	B	8	Z-S	2	0.3	
1	16	3	A	B	5.2	Z-S	2	0.66	
1	16	3	A	B	9.3	Z-S	2	0.55	
1	16	3	A	B	5.7	Z	1	0.3	
1	16	3	A	B	23	Z-S	3	0.76	Tiene tres nudos simples
1	16	3	A	B	6	Z-S	2	0.34	
1	16	3	A	B	3.5	Z-S	2	0.29	
1	16	3	A	B	3.5	Z-S	3	0.51	
1	16	3	A	B	3.8	Z-S	2	0.37	

Unidad	Estrato	Nivel	Fibra	Color	Largo (cm)	Torsión	N° Cabos	Grosor (mm)	Observaciones
1	16	3	A	B	2.3	Z-S	4	0.81	
1	16	3	A	B	10	Z-S	2	0.62	
1	16	3	A	B	4.1	Z-S	2	0.34	
1	16	3	A	B	9.2	Z-S	2	0.3	
1	16	3	A	B	4.5	Z-S	2	0.29	
1	16	3	A	B	20.4	Z-S	2	0.69	
1	16	3	A	B	7.8	Z-S	2	0.35	
1	16	3	A	B	20.1	Z-S	2	0.5	
1	16	3	A	B	2.2	Z-S-Z	4	0.89	
1	16	3	A	B	9.6	Z-S	2	0.38	
1	16	3	A	B	11	Z-S	2	0.35	Tiene un nudo simple
1	16	3	A	B	39.8	Z-S	3	0.66	
1	16	3	A	B	34.2	Z-S	2	0.4	
1	16	3	A	B	47.2	Z-S	2	0.61	
1	16	3	A	B	6.5	Z-S	2	0.33	
1	16	3	A	B	3.4	Z-S	2	0.62	
1	16	3	A	B	5	Z-S	2	0.39	
1	16	3	A	B	4.3	Z-S	2	0.33	
1	16	3	A	B	2.6	Z-S	2	0.25	
1	16	3	A	B	3	Z-S	2	0.18	
1	16	3	A	B	4	Z-S	2	0.31	
1	16	3	A	B	5	Z-S	2	0.57	
1	16	3	A	B	4.7	Z-S	2	0.13	
1	16	3	A	B	7.4	Z-S	2	0.52	
1	16	3	A	B	12.3	Z-S	3	0.42	
1	16	3	A	B	5.5	Z-S	2	0.27	
1	16	3	A	B	5.3	Z-S	2	0.59	
1	16	3	A	B	7.4	Z-S	2	0.32	
1	16	3	A	B	9.7	Z-S	2	0.34	
1	16	3	A	B	6.5	Z-S	2	0.3	
1	16	3	A	B	6	Z-S	2	0.37	
1	16	3	A	B	9.3	Z-S	2	0.42	
1	16	3	A	B	3.8	Z-S	2	0.34	
1	16	3	A	B	6	Z-S	2	0.4	
1	16	3	A	B	5.4	Z-S	2	0.4	
1	16	3	A	B	13.1	Z-S	2	0.24	
1	16	3	A	B	8.8	Z-S	2	0.23	
1	16	3	A	B	15.4	Z-S	2	0.48	
1	16	3	A	B	18.3	Z-S	2	0.19	
1	16	3	A	B	8	Z-S	2	0.16	
1	16	3	A	B	8.1	Z-S-Z	4	0.35	
1	16	3	A	B	3.4	Z-S	2	0.22	
1	16	3	A	B	4.6	Z-S	2	0.32	

Unidad	Estrato	Nivel	Fibra	Color	Largo (cm)	Torsión	N° Cabos	Grosor (mm)	Observaciones
1	16	3	A	B	4	Z-S	2	0.31	Tiene tres nudos simples
1	16	3	A	B	12.4	Z-S-Z	6	1.46	
1	16	3	A	B	2.7	Z-S-Z	8	1.29	
1	16	3	A	B	4.9	Z-S-Z	8	1.8	Tiene un nudo simple y uno múltiple
1	16	3	A	B	6.1	Z-S	2	0.31	
1	16	3	A	B	12.8	Z-S	2	0.32	
1	16	3	A	B	4.1	Z	1	0.11	
1	16	3	A	B	32.5	Z-S	3	0.59	
1	16	3	A	B	48.2	Z	1	0.25	
1	16	3	A	B	17.2	Z-S	2	0.28	
1	16	3	A	B					
1	16	3	A	B	4.4	Z-S-Z	8	1.11	
1	16	3	A	B	4.1	Z-S-Z	10	1.15	Tiene dos nudos simples
1	16	3	A	B	14	Z-S	3	0.6	
1	16	3	A	B	12	Z-S	2	0.3	
1	16	3	A	B	7.6	Z-S	2	0.33	
1	16	3	A	B	5.3	Z-S	2	0.43	
1	16	3	A	B	3.7	Z-S	2	0.33	
1	16	3	A	B	6.3	Z-S	2	0.22	
1	16	3	A	B	3.1	Z-S	2	0.41	
1	16	3	A	B	16.7	Z-S	2	0.39	
1	16	3	A	B	3.7	Z-S	2	0.41	
1	16	3	A	B	4.6	Z-S	2	0.52	
1	16	3	A	B	4.8	Z-S	2	0.22	
1	16	3	A	B	5.7	Z-S	2	0.4	
1	16	3	A	B	9.2	Z-S	2	0.34	
1	16	3	A	B	8	Z-S	2	0.47	
1	16	3	A	B	5	Z-S	2	0.3	
1	16	3	A	B	4.7	Z-S	2	0.45	
1	16	3	A	B	6.5	Z-S	2	0.21	
1	16	3	A	B	11.2	Z-S	2	0.29	
1	16	3	A	B	12.5	Z-S	2	0.3	
1	16	3	A	B	4.3	Z-S	2	0.38	
1	16	3	A	B	6.6	Z-S	2	0.21	
1	16	3	A	B	10.8	Z-S	2	0.19	
1	16	3	A	B	4.1	Z-S	2	0.31	
1	16	3	A	B	2.3	Z-S-Z	16	1.37	Tiene un nudo simple
1	16	3	A	B	12	Z	1	0.32	
1	16	3	A	B	3.1	Z-S	2	0.56	
1	16	3	A	B	7.1	Z-S	2	0.56	
1	16	3	A	B	7.3	Z-S	2	0.26	

Unidad	Estrato	Nivel	Fibra	Color	Largo (cm)	Torsión	N° Cabos	Grosor (mm)	Observaciones
1	16	3	A	B	3.3	Z-S	2	0.39	
1	16	3	A	B	5.3	Z-S	2	0.45	
1	16	3	A	B	1.7	Z-S	2	0.69	
1	16	3	A	B	2.7	Z-S	2	0.27	
1	16	3	A	B	4	Z-S	2	0.42	
1	16	3	A	B	7.8	Z-S	2	0.3	
1	16	3	A	B	8.6	Z-S	2	0.29	
1	16	3	A	B	4.4	Z-S	2	0.32	
1	16	3	A	B	5.3	Z-S	2	0.27	
1	16	3	A	B	11.2	Z-S	2	0.28	
1	16	3	A	B	7	Z-S	2	0.34	
1	16	3	A	B	3.2	Z-S-Z	10	1.28	
1	16	3	A	B	4	Z-S	2	0.16	
1	16	3	A	B	5.2	Z-S-Z	6	0.91	
1	16	3	A	B	7.6	Z-S	2	0.29	
1	16	3	A	B	5.3	Z-S	2	0.43	
1	16	3	A	B	3.6	Z-S-Z	4	0.83	
1	16	3	A	B	6.4	Z-S	2	0.19	
1	16	3	A	B	7.8	Z-S	2	0.3	
1	16	3	A	B	3.6	Z-S-Z	12	1.3	
1	16	3	A	B	15.2	Z-S	2	0.29	
1	16	3	A	B	6.3	Z-S	2	0.47	
1	16	3	A	B	3.5	Z-S-Z	4	0.6	
1	16	3	A	B	2.6	Z-S	2	0.45	
1	16	3	A	B	14.3	Z-S	2	0.22	
1	16	3	A	B	9.4	Z-S-Z	6	0.75	
1	16	3	A	B	6.3	Z-S	2	0.24	
1	16	3	A	B	5.4	Z-S	2	0.41	
1	16	3	A	B	4.1	Z-S-Z	4	0.52	
1	16	3	A	B	6.4	Z-S	4	0.7	
1	16	3	A	B	3.9	Z-S	2	0.83	Tiene un nudo simple
1	16	3	A	B	1.2	Z-S	4	0.51	Tiene un nudo simple
1	16	3	A	B	8.2	Z-S	2	0.29	
1	16	3	A	B	6.3	Z-S	2	0.48	
1	16	3	A	B	4	Z-S-Z	4	0.83	
1	16	3	A	B	7.9	Z-S-Z	12	1.66	Tiene un nudo simple
1	16	3	A	B	6.2	Z-S	2	0.39	
1	16	3	A	B	8.3	Z-S	2	0.23	
1	16	3	A	B	4.6	Z-S	4	1.37	
1	16	3	A	B	3.1	Z-S	2	0.24	
1	16	3	A	B	2.2	Z-S	2	0.31	
1	16	3	A	B	13.6	Z-S	2	0.5	
1	16	3	A	B	3.8	Z-S	2	0.22	
1	16	3	A	B	6.8	Z	1	0.28	

Unidad	Estrato	Nivel	Fibra	Color	Largo (cm)	Torsión	N° Cabos	Grosor (mm)	Observaciones
1	16	3	A	B	4	Z-S	2	0.39	
1	16	3	A	B	4.2	Z-S	2	0.22	
1	16	3	A	B	4.3	Z-S	2	0.48	
1	16	3	A	B	9	Z-S	2	0.35	
1	16	3	A	B	8.5	Z-S	2	0.62	
1	16	3	A	B	6	Z-S	2	0.44	
1	16	3	A	B	10.8	Z-S	2	0.39	
1	16	3	A	B	6.4	Z-S	2	0.3	
1	16	3	A	B	7.3	Z-S	2	0.21	
1	16	3	A	B	4.8	Z-S-Z	12	2.05	Tiene un nudo múltiple
1	16	3	A	B	3.1	Z-S	2	0.26	
1	16	3	A	B	3.3	Z-S	2	0.58	
1	16	3	A	B	1.5	Z-S	2	0.4	
1	16	3	A	B	2	Z-S	6	1.05	
1	16	3	A	B	3	Z-S	2	0.2	
1	16	3	A	B	9.9	Z-S	2	0.33	
1	16	3	A	B	5	Z-S	2	0.37	
1	16	3	A	B	3.7	Z-S	2	0.48	
1	16	3	A	B	4	Z-S	2	0.23	
1	16	3	A	B	4.5	Z-S	4	0.37	
1	16	3	A	B	8	Z-S	2	0.53	
1	16	3	A	B	10.4	Z-S	2	0.32	
1	16	3	A	B	5.1	Z-S	2	0.28	
1	16	3	A	B	4.7	Z-S	2	0.17	
1	16	3	A	B	1	Z	1	0.12	
1	16	3	A	B	2.4	Z	1	0.15	
1	16	3	A	B	3.5	Z-S	2	0.39	
1	16	3	A	B	6.5	Z-S	2	0.16	
1	16	3	A	B	3.2	Z-S	2	0.36	
1	16	3	A	B	5.3	Z-S	2	0.38	
1	16	3	A	B	5	Z-S	2	0.13	
1	16	3	A	B	14.3	Z-S	2	0.35	
1	16	3	A	B	3.2	Z-S	2	0.2	
1	16	3	A	B	4.7	Z-S	4	0.78	Tienes tres nudos simples
F4	16		A	B	14.5	Z-S	2	0.25	
F4	16		A	B	28.2	Z-S	2	0.21	
F4	16		A	B	16.2	Z-S	2	0.26	
F4	16		A	B	7.6	Z-S	3	0.31	
F4	16		A	B	4.7	Z-S	2	0.36	
F4	16		A	B	20	Z-S	2	0.21	
F4	16		A	B	19.1	Z-S-Z	10	0.85	
F4	16		A	B	4.8	Z-S	2	0.26	
F4	16		A	B	7.6	Z-S	2	0.17	

Unidad	Estrato	Nivel	Fibra	Color	Largo (cm)	Torsión	N° Cabos	Grosor (mm)	Observaciones
F4	16		A	B	2.5	Z-S	2	0.26	
F4	16		A	B	9.2	Z	1	0.09	
F4	16		A	B	11	Z-S	3	0.48	
F4	16		A	B	4.8	Z-S	2	0.1	
F4	16		A	B	7.2	Z-S	2	0.25	
F1	16		A	B	21.8	Z-S-Z	8	0.74	
F4	18		A	B	9.6	Z-S-Z	21	1.5	Tiene un nudo simple
F4	18		A	B	13.7	Z-S	2	0.5	
F4	18		A	B	4.4	Z-S	2	0.5	
F4	18		A	B	10	Z-S	2	0.5	
F4	19		A	B	4.7	Z	1	0.3	
F4	19		A	B	19.1	Z-S-Z	6	1	
F4	19		A	B	17.9	Z	1	0.4	
F4	19		A	B	13.4	Z-S	2	0.6	
F4	19		A	B	8.6	Z-S	3	0.8	
F4	19		A	B	3.2	Z-S-Z	4	1	
F4	19		A	B	9.2	Z-S	2	0.5	
F4	19		A	B	2.2	Z	1	0.1	
F4	19		A	B	6.4	Z-S	2	0.3	
F4	19		A	B	10.5	Z-S	2	0.5	
F4	19		A	B	4.2	Z-S	2	0.1	
F4	19		A	B	6.7	Z-S	2	0.2	
F4	19		A	B	9.1	Z-S	2	0.1	
F4	19		A	B	9.3	Z-S	2	0.2	
F4	19		A	B	29	Z	1	0.3	
F4	19		A	B	4.5	Z-S	2	0.9	
F4	19		A	B	9	Z-S	2	0.2	
F4	19		A	B	24	Z		0.2	
F4	19		A	B	22.6	Z-S	4	0.5	
F4	19		A	B	11	Z-S	2	0.4	
F4	19		A	B	6.6	Z-S	2	0.3	
F4	19		A	B	3	Z-S	2	0.3	
F4	19		A	B	4	Z-S	2	0.3	
F4	19		A	B	8.1	Z-S	2	0.4	
F4	19		A	B	11.6	Z-S	2	0.3	
F4	19		A	B	3.2	Z-S	3	0.5	
F4	19		A	B	10	Z-S	2	0.3	
F4	19		A	B	5	Z-S	2	0.4	
F4	19		A	B	8.9	Z-S	2	0.3	
F4	19		A	B	5.7	Z	1	0.5	
F4	19		A	B	17.8	Z	1	0.4	
F4	19		A	B	7.4	Z	1	0.4	
F4	19		A	B	3.7	Z-S	2	0.1	
F4	19		A	B	8.5	Z	1	0.3	

Unidad	Estrato	Nivel	Fibra	Color	Largo (cm)	Torsión	N° Cabos	Grosor (mm)	Observaciones
F4	19		A	B	5.2	Z	1	0.3	
F4	19		A	B	3.1	Z	1	0.4	
F4	19		A	B	4.1	Z	1	0.2	
F8	19		A	B	10.4	Z-S-Z	6	0.77	
F8	19		A	B	21	Z-S-Z	8	1.14	Tiene un nudo múltiple
F8	19		A	B	30	Z-S	2	0.46	
F8	19		A	B	5	Z-S-Z	6	1.11	
F8	19		A	B	13.5	Z-S-Z	8	0.93	
F8	19		A	B	6.6	Z-S-Z	6	0.62	
F8	19		A	B	21.2	Z-S-Z	4	0.65	
F8	19		A	B	10.8	Z-S	2	0.3	
F8	19		A	B	4.2	Z-S	2	0.2	
F8	19		A	B	19	Z-S	2	0.25	Tiene un nudo simple
1	20		A	B	3	Z-S-Z	4	1.5	No fue terminado de retorcer
1	20		A	M	11.9	Z-S-Z	10	2.25	
1	20		A	M	4.3	Z-S	2	1	
1	20		A	B	13	Z-S	2	1	
1	20		A	M	6	Z-S	2	1	
1	20		A	M	21.9	Z-S	2	1.5-2	
1	20		A	B	26	Z-S	2	1	
1	20		A	B	3.5	Z	1	.5-1	
1	20		A	B	2.5	Z-S	3	2-3	
1	20		A	M	7.4	S-Z	40	3.5-4	
1	20		A	B	3.5	Z-S	2	1.5	
1	20		A	M	6.5	Z-S	2	1	
1	20		A	B	6.5	Z-S	2	1	
1	20		A	B	6	Z-S-Z	4	1.5	
1	20		A	B	7.5	Z-S	2	1	
1	20		A	M	11.4	Z-S-Z	12	2	
1	20		A	M	6.3	Z-S	2	1	
1	20		A	B	5.5	Z-S	2	.5-1	
1	20		A	M	7.1	Z-S	2	.5	
1	20		A	M	3.4	Z-S	6	2	
1	20		A	M	3.8	Z-S	2	1	
1	20		A	M	5.4	Z-S	2	1	
1	20		A	B	5.1	Z-S	4	1	
1	20		A	M	8.8	Z-S	4	1.5	Retorción incompleta
1	20		A	B	22.9	Z-Z	2	1	Se nota que han querido retirar uno de los cabos y se ha formado como una especie de ovillo

1	20		A	B	13.8	Z-S	2	1-1.5	Se nota que han querido retirar uno de los cabos y se ha formado como una especie de ovillo
1	20		A	B	3.7	Z-S	5	2.5	
1	20		A	B	25.8	Z-S	2	1	Tiene un nudo simple del que salen dos partes del hilo
1	20		A	M	8.8	Z-S	3	1	Son dos hilos amarrados y ha pasado lo mismo que en los hilos 25 y 26
1	21		V	M	6.2	Z-S	3		Cuerda
1	21		V	M	6.2		3	4.41	Trenza
1	21		A	B	26.8	Z-S	2	0.28	
1	21		A	B	4.2	Z-S	2	0.41	
1	21		A	B	7.8	Z-S	2	0.28	
1	21		A	B	2.2	Z-S	2	0.19	
1	21		A	B	11	Z-S-Z	4	0.52	
1	21		A	B	10.4	Z-S	2	0.42	
1	21		A	B	29.4	Z-S-Z	6	1.26	
1	21		A	B	9.6	Z-S	2	0.45	
1	21		A	B	9.2	Z-S	2	0.34	
1	21		A	M	4.5	Z-S	2	0.42	
1	21		A	B	21.1	Z-S-Z	4	0.65	Tiene un nudo múltiple
1	21		A	B	7.8	Z-S	2	0.34	
1	21		A	B	8	Z-S	2	0.65	
1	21		A	B	5	Z-S	2	0.43	
1	21		A	B	2.2	Z-S	2	0.34	
1	21		A	B	2.3	Z-S	2	0.42	
1	21		A	B	2.8	Z-S	2	0.39	
1	21		A	B	7.4	Z-S	2	0.1	
1	21		A	B	3.7	Z-S	2	0.24	
1	21		A	B	5.2	Z-S	2	0.35	
1	21		A	B	3.2	Z-S	2	0.22	
1	21		A	B	1.5	Z-S	2	1.24	
1	21		A	B	4.2	Z-S	2	0.29	
1	21		A	B	7.3	Z-S	2	0.37	
1	21		A	B	4.8	Z-S	2	0.55	
1	21		A	B	13.4	Z-S	2	0.28	
1	21		A	B	3.6	Z-S	2	0.25	
1	21		A	B	5	Z-S	2	0.37	
1	21		A	B	2.3	Z-S	2	0.32	Tiene un nudo simple
1	21		A	B	8.2	Z-S-Z	4	0.99	
1	21		A	B	35	Z-S	2	0.31	
1	21		A	B	17.5	Z-S	2	0.31	

Unidad	Estrato	Nivel	Fibra	Color	Largo (cm)	Torsión	N° Cabos	Grosor (mm)	Observaciones
1	21		A	B	22.8	Z-S	2	0.4	
1	21		A	B	8.5	Z-S	2	0.36	
1	21		A	B	3.7	Z-S	2	0.41	
1	21		A	B	2.5	Z-S	2	0.21	
1	21		A	B	16.5	Z-S	2	0.21	
1	21		A	B	5.8	Z-S	2	0.36	
1	21		A	B	10.6	Z-S	2	0.53	
1	21		A	B	6.8	Z-S	2	0.36	
1	21		A	B	6.6	Z-S	2	0.31	
1	21		A	B	15.8	Z-S	2	0.21	
1	21		A	B	7.8	Z-S	2	0.29	
1	21		A	B	3.8	Z-S	2	0.5	
1	21		A	B	2.1	Z-S	2	0.27	
1	21		A	B	2	Z-S	2	0.34	
1	21		A	B	21.3	Z-S	2	0.36	
1	21		C	A	9.6	Z-S	2	0.49	
1	21		A	B	16	Z-S	2	0.3	Tiene un nudo simple
1	21		A	B	14.3	Z-S	2	0.18	
1	21		A	B	13.5	Z-S-Z	4	0.64	
1	21		A	B	4.2	Z-S	2	0.37	
1	21		A	B	2.9	Z-S-Z	14	1.12	
1	21		A	B	7.1	Z-S	2	0.35	
1	21		A	B	6	Z-S	2	0.3	
1	21		A	B	7.2	Z-S	2	0.19	
1	21		A	B	8.1	Z-S	2	0.47	
1	21		A	B	3.3	Z-S	2	0.44	
1	21		A	B	23.1	Z-S	2	0.38	
1	21		A	B	12.3	Z-S	2	0.48	
1	21		A	B	12.5	Z-S	2	0.47	
1	21		A	B	7.8	Z-S	2	0.47	
1	21		A	B	15	Z-S	2	0.25	
1	21		A	B	19.2	Z-S	4	0.34	
1	21		A	B	4.9	Z-S	2	0.36	
1	21		A	B	2.2	Z-S	2	0.22	
1	21		A	B	3.3	Z-S	2	0.22	
1	21		A	B	5	Z-S-Z	4	0.99	Tiene un nudo doble
1	21		A	B	4.8	Z-S	2	0.34	
1	21		A	B	5.8	Z-S	2	0.31	
1	21		A	B	3.5	Z-S	2	0.15	
1	21		A	B	2.5	Z-S-Z	4	0.98	Tiene un nudo simple
1	21		A	B	4.5	Z-S	8	0.94	Tiene dos nudos múltiples, uno a cada extremo
1	21		A	B	4.1	Z-S	2	0.29	

Unidad	Estrato	Nivel	Fibra	Color	Largo (cm)	Torsión	N° Cabos	Grosor (mm)	Observaciones
1	21		A	B	2.4	Z-S	2	0.28	
1	21		A	B	2.5	Z-S	2	0.22	
1	21		A	B	3	Z-S-Z	4	1.73	
1	21		A	B, M	9	Z-S	2	0.69	Bicolor
1	21		A	B	2	Z-S	2	0.35	
1	21		A	B	3.6	Z-S	2	0.31	
1	21		A	B	10	Z-S	2	0.22	
1	21		A	B	4	Z-S	2	0.42	
1	21		A	B	4.9	Z-S	2	0.33	
1	21		A	B	3.7	Z-S	2	0.25	
1	21		A	B	4.4	Z-S	2	0.4	
1	21		A	B	21.6	Z-S	2	0.54	
1	21		A	B	7.3	Z-S	2	0.42	
1	21		A	B	8.2	Z-S	3	0.6	
1	21		A	B	6.7	Z-S	2	0.25	
1	21		A	B	4.7	Z-S	2	0.39	
1	21		A	B	2.8	Z-S	2	0.14	
1	21		A	B	2.4	Z-S	2	0.29	
1	21		A	B	2.5	Z-S	2	0.43	
1	21		A	B	3.8	Z-S	2	0.17	
1	21		A	B	3	Z-S	2	0.21	
1	21		A	B	7.3	Z-S	2	0.21	
1	21		A	B	6.6	Z-S	3	0.5	Tiene un nudo simple
1	21		A	B	5.8	Z-S	2	0.25	
1	21		A	B	3.7	Z-S	2	0.28	
1	21		A	B	3	Z-S	2	0.27	
1	21		A	B	2.8	Z-S	2	0.25	
1	21		A	B	3.1	Z-S-Z	4	0.57	
1	21		A	B	4.2	Z-S	2	0.39	
1	21		A	B	6.2	Z-S	2	0.36	
1	21		A	B	8.2	Z-S	2	0.44	
1	21		A	B	9.1	Z-S	2	0.33	
1	21		A	B	4.2	Z-S	2	0.19	
1	21		A	B	5.3	Z-S-Z	4	0.61	
1	21		A	B	4.3	Z-S	2	0.26	
1	21		A	B	9	Z-S	2	0.31	
1	21		A	B	1.8	Z-S	2	0.38	
1	21		A	B	4.5	Z-S	2	0.3	
1	21		A	B	3.4	Z-S	2	0.31	
1	21		A	B	3.8	Z-S	8	1.01	Tiene un nudo simple
1	21		A	B	15	Z-S-Z	4	0.29	Tiene dos nudos simples
1	21		A	B	4.4	Z-S-Z	6	0.77	Tiene un nudo simple
1	21		A	B	34.7	Z-S	2	0.27	

Unidad	Estrato	Nivel	Fibra	Color	Largo (cm)	Torsión	N° Cabos	Grosor (mm)	Observaciones
1	21		A	B	29	Z-S	2	0.33	
1	21		A	B	47	Z-S	4	0.39	
F8	21A		A	B	15	Z-S-Z	6	0.83	
F8	21A		A	B	5.6	Z-S-Z	6	0.85	Tiene un nudo simple
F8	21A		A	B	7.4	Z-S	2	0.42	
F8	21A		A	B	3.5	Z-S	2	0.31	
F8	21A		A	B	4	Z-S	2	0.25	
F8	21A		A	B	2	Z	1	0.16	
F8	21A		A	B	18.2	Z-S-Z	4	0.8	
F8	21A		A	B	15.3	Z-S	2	0.48	
F8	21A		A	B	7.7	Z-S-Z	4	0.73	
F8	21A		A	B	3.7	Z-S	2	0.53	
F8	21A		A	B	4.2	Z-S	2	0.26	
F8	21A		A	B	2.8	Z-S	2	0.29	
F8	21B		A	B	9.2	Z-S	2	0.3	
F8	21B		A	B	5.1	Z-S	2	0.3	
F8	21B		A	B	7.2	Z-S	2	0.2	
F8	21B		A	B	19	Z-S-Z	6	1	
F8	21B		A	B	5	Z-S	2	0.5	
F8	21B		A	B	13.1	Z-S	2	0.4	
F8	21B		A	B	18.7	Z-S	2	0.4	
F8	21B		A	B	8.1	Z-S	2	0.5	
F8	21B		A	B	15.2	Z-S	2	0.4	
F8	21B		A	B	26.9	Z-S	2	0.5	
F8	21B		A	B	5.2	Z-S	2	0.4	
F8	21B		A	B	16.5	Z-S	2	0.6	
F8	21B		A	B	6.1	Z-S	2	0.3	
F8	21B		A	B	4.3	Z-S	2	0.3	
F8	21B		A	B	9.2	Z-S	5	1.2	
F8	21B		A	B	4.2	Z-S	3	0.5	
F8	21B		A	B	2.6	Z-S	3	0.4	
F8	21B		A	B	5.2	Z-S	3	0.6	
F8	21B		A	B	12.7	Z-S	2	0.5	
F8	21B		A	B	6.7	Z-S	2	0.5	
F8	21B		A	B	15.2	Z-S	2	0.5	
F8	21B		A	B	7.4	Z-S	3	0.4	
F8	21B		A	B	3.4	Z-S-Z	6	0.8	
F8	21B		A	B	10.9	Z-S	2	0.4	
F8	21B		A	B	6.5	Z-S	3	0.6	
F8	21B		A	B	7.9	Z-S	2	0.3	
F8	21B		A	B	12.6	Z-S	3	0.5	
F8	21B		A	B	14.7	Z-S	2	0.5	
F8	21B		A	B	2	Z-S	2	0.4	
F8	21B		A	B	5.7	Z-S	3	0.4	

Unidad	Estrato	Nivel	Fibra	Color	Largo (cm)	Torsión	N° Cabos	Grosor (mm)	Observaciones
F8	21B		A	B	3.6	Z-S	3	0.3	
F8	21B		A	B	5.9	Z-S	2	0.3	
F8	21B		A	B	20	Z-S	3	0.7	Tiene dos nudos simples que conforman un agujero ovalado.
F8	21C		A	B	78	Z-S-Z	4	0.47	
F8	21C		A	B	4.5	Z-S	2	0.34	
F8	21C		A	B	7.2	Z-S	2	0.46	
F8	21C		A	B	2.3	Z-S	2	0.41	
F8	21C		A	B	1.7	Z-S	2	0.14	
F8	21C		A	B	16	Z-S	2	0.29	
F8	21C		A	B	20	Z-S	2	0.32	
F8	21C		A	B	2.5	Z-S-Z	4	0.57	Tiene un nudo simple
F8	21C		A	M	8.7	Z-S	2	0.54	Tiene un nudo simple
F8	21C		A	B	5.1	Z-S	2	0.28	
F8	21C		A	B	13.8	Z-S	2	0.28	
F8	21C		A	M	2.4	Z-S	2	0.47	
F8	21C		A	B	13.9	Z-S	2	0.48	
F8	21C		A	B	6.4	Z-S	2	0.43	
F8	21C		A	B	6.5	Z	1	0.42	
F8	21C		A	B	11.8	Z-S	2	0.47	
F8	21C		A	B	4.4	Z-S-Z	6	0.83	
F8	21C		A	B	6.8	Z-S	2	0.35	
F8	21C		A	B	14.5	Z-S	2	0.4	
F8	21C		A	B	11.4	Z-S	2	0.26	
F8	21C		A	B	14	Z-S	2	0.47	
F8	21C		A	B	9.7	Z-S	2	0.36	
F8	21C		A	B	9.8	Z-S	3	0.54	
F8	21C		A	B	3.6	Z-S	2	0.58	
F8	21C		A	B	2.2	Z	1	0.21	
F8	21C		A	B	2.1	Z-S	2	0.23	
F8	21C		A	B	5.5	Z-S	2	0.22	
F8	21C		A	B	2.5	Z-S	2	0.31	
F8	21C		A	B	41.8	Z-S	2	0.41	
F8	21C		A	B	3.8	Z-S-Z	8	1.38	
F8	21C		A	B	13	Z-S	5	0.67	
F8	21C		A	B	6.9	Z-S-Z	6	0.92	
F8	21C		A	B	5.8	Z-S	2	0.38	
F8	21C		A	B	5.1	Z-S	2	0.29	
F8	21C		A	B	2.3	Z-S	2	0.35	
F8	21C		A	B	6.4	Z-S-Z	6	1.32	
F8	21C		A	B, M	21.5	Z-S	2	0.56	Bicolor
F8	21C		A	B	3.6	Z-S	2	0.24	
F8	21C		A	B	11.9	Z-S	2	0.45	

Unidad	Estrato	Nivel	Fibra	Color	Largo (cm)	Torsión	N° Cabos	Grosor (mm)	Observaciones
F8	21C		A	B	10	Z-S	2	0.52	
F8	21C		A	B	4.4	Z-S	2	0.34	
F8	21C		A	B	8.8	Z-S	2	0.28	
F8	21C		A	B	1.8	Z-S	2	0.37	
F8	21C		A	B	13.1	Z-S	2	0.37	
F8	21C		A	B	4.2	Z-S-Z	6	1	
F8	21C		A	B	7.6	Z-S	2	0.57	
F8	21C		A	B	3.8	Z-S	2	0.15	
F8	21C		A	B	6.3	Z-S	2	0.33	
F8	21C		A	B	2.4	Z-S	2	0.25	
F8	21C		A	B	3.7	Z-S	2	0.27	
F8	21C		A	B	3.5	Z-S	2	0.35	
F8	21C		A	B	40	Z-S-Z	4	1.38	Tiene un nudo múltiple
F8	21C		A	B	1.3	Z-S	2	0.49	
F8	21C		A	B	3	Z-S	2	0.43	
F8	21C		A	B	2	Z-S	2	0.41	
F8	21C		A	B	4.3	Z-S	2	0.19	
F8	21C		A	B	4.4	Z	1	0.4	
F8	21C		A	B	3.9	Z-S	2	0.39	
F8	21C		A	B	2.6	Z-S-Z	6	0.82	
F8	21C		A	B	3.7	Z-S	3	0.45	Tiene un nudo simple
F8	21C		A	B	29.3	Z-S	2	0.3	
F8	21C		A	B	12	Z-S	2	0.22	
F8	21C		A	B	2	Z-S	2	0.27	
F8	21C		A	B	3	Z-S	2	0.72	
F8	21C		A	B	2.1	Z-S	2	0.26	
F8	21C		A	B	1	Z-S	2	0.31	
F8	21C		A	B	1.5	Z-S	2	0.36	
F8	21D		A	B	4	Z-S-Z	10	1.08	
F8	21D		A	B	23	Z-S	2	0.53	
F8	21D		A	B	6.4	Z-S	2	0.37	
F8	21D		A	B	29.6	Z-S	2	0.36	
F8	21D		A	B	4.8	Z-S	2	0.36	
F8	21D		A	B	2	Z-S	2	0.55	
F8	21D		A	B	15	Z-S	2	0.35	
F8	21D		A	B	2.6	Z-S	2	0.38	
F8	21D		A	B	4.8	Z-S	2	0.37	
F8	21D		A	B	9.6	Z-S	2	0.47	
F8	21D		A	B	14.1	Z-S	2	0.41	
F8	21D		A	B	3.4	Z-S-Z	4	0.4	
F8	21D		A	B	9.5	Z-S	2	0.37	
F8	21D		A	B	6.6	Z-S	2	0.38	
F8	21D		A	B	5.7	Z-S	2	0.32	
F8	21D		A	B	2.8	Z-S	2	0.26	

Unidad	Estrato	Nivel	Fibra	Color	Largo (cm)	Torsión	N° Cabos	Grosor (mm)	Observaciones
F8	21D		A	B	3.1	Z-S	2	0.23	
F8	21D		A	B	5	Z-S	2	0.22	
F8	21D		A	B	6	Z-S	2	0.49	
F8	21D		A	B	3.4	Z-S	2	0.31	
F8	21D		A	B	7.1	Z-S	2	0.43	
F8	21D		A	B	6.1	Z-S	2	0.52	
F8	21D		A	B		Z-S	3	0.25	Ovillo
F8	21D		A	B		Z-S	2	0.27	Ovillo
F8	21D		A	B		Z-S	2	0.14	Ovillo
F8	21D		A	B		Z-S	2	0.26	Ovillo
F8	21D		A	B		Z-S	2	0.27	Ovillo
F8	21D		V	M	2.1			6.09	Atado
1	22		A	B	28.5	Z-S-Z	6	0.8	
1	22		A	B	4.6	Z-S	3	0.7	
1	22		A	B	7	Z-S-Z	16	1.4	Tiene un nudo simple
1	22		A	B	15.6	Z-S	2	0.4	
1	22		A	B	3.7	Z-S	2	0.6	
1	22		A	B	4.5	Z-S	2	0.2	
1	22		A	B	4	Z-S	2	0.3	
1	22		A	M	6.6	Z-S-Z	10	2.4	
1	22		A	B	2.7	Z-S	2	0.4	
1	22		A	B	2.9	Z-S	2	0.4	
1	22		A	B	9	Z-S	2	0.5	
1	22		A	B	6.8	Z-S	2	0.5	
1	22		A	B	1.5	Z-S	2	0.5	
1	22		A	B	4.1	Z-S	3	0.5	
1	22		A	B	3.9	Z-S	2	0.3	
1	22		A	B	7.6	Z-S	2	0.4	
1	22		A	B	12	Z-S	2	0.3	
1	22		A	M	3.9	Z-S	2	0.5	
1	22		A	B	8.8	Z-S	2	0.2	
1	22		A	B	6.2	Z-S	3	0.6	
1	22		A	B	6.9	Z-S	2	0.3	
1	22		A	B	4	Z-S	2	0.7	
1	22		A	B	3.4	Z-S	2	0.4	
1	22		A	B	1.7	Z-S	2	0.3	
1	22		A	B	8.8	Z-S	2	0.6	
1	22		A	B	8.4	Z-S	2	0.4	
1	22		A	M	8.6	Z-S	2	0.5	
1	22		A	B	8	Z-S	2	0.4	
1	22		A	M	7.8	Z-S	2	0.4	
1	22		A	B	2	Z-S	2	0.4	
1	22		A	M	3.4	Z-S	2	0.4	
1	22		A	B	8.3	Z-S	2	0.3	

Unidad	Estrato	Nivel	Fibra	Color	Largo (cm)	Torsión	N° Cabos	Grosor (mm)	Observaciones
1	22		A	B	11.3	Z-S	2	0.4	
1	22		A	B	9.6	Z-S	2	0.6	
1	22		A	B	9.1	Z-S	2	0.8	
1	22		A	B	9.2	Z-S	2	0.3	
F8	22B		A	B	29.2	Z-S-Z	4	0.5	
F8	22B		A	B	18.3	Z-S-Z	4	0.4	
F8	22B		A	B	5.9	Z-S	2	0.3	
F8	22B		A	B	11.4	Z-S	2	0.3	
F8	22B		A	B	14.7	Z-S	2	0.3	
F8	22B		A	B	8.4	Z-S	2	0.3	
F8	22B		A	B	5.3	Z	1	0.1	
F8	22B		A	B	7.4	Z-S	2	0.3	
F8	22B		A	B	3.3	Z-S	2	0.3	
F8	22C		A	M	4	Z-S	2	0.3	
F8	22C		A	B	6.8	Z-S	2	0.6	
F8	22C		A	B	3.7	Z-S	2	0.7	
F8	22C		A	B	6.3	Z-S	2	0.5	
F8	22C		A	B	2.2	Z-S	2	0.4	
F8	22C		A	M	1.9	Z-S	2	0.3	
F8	22C		A	M	2.2	Z-S	2	0.3	
F8	22C		A	M	3.3	Z-S	2	0.4	
F8	22C		A	M	6.3	Z-S	2	0.5	
F8	22C		A	M	3.2	Z-S	2	0.4	
F8	22C		A	M	10	Z-S	2	0.3	
F8	22C		A	M	11.7	Z-S	2	0.4	
F8	22D		A	B	9.6	Z-S	2	0.5	
F8	22D		A	B	4.2	Z-S	2	0.5	
F8	22D		A	M	8.6	Z-S	2	0.3	
F8	22D		A	M	8.7	Z-S	2	0.3	
F8	22D		A	M	4.7	Z-S	2	0.4	
F8	22D		A	B	5	Z-S	2	0.5	
F8	22D		A	B	7.4	Z-S	2	0.3	
F8	22D		A	M	1.5	Z	1	0.1	
F8	22D		A	B	4.3	Z-S	2	0.4	
F8	22D		A	M	2	Z-S	2	0.2	
F8	22D		A	M	6.1	Z-S	2	0.3	
F8	22D		A	M	1.9	Z-S	2	0.3	
F8	22D		A	B	3.4	Z-S	2	0.2	
F8	22D		A	M	3	Z-S	2	0.4	
F8	22D		A	B		Z-S	2	0.5	Ovillo
1	23		A	B	7.5	Z-S-Z	12	1.9	Tiene un nudo simple
1	23		A	B	4.2	Z-S	2	.3	
1	23		A	B	8	Z-S-Z	6	.7	
1	23		A	B	8.2	Z-S	2	.8	

Unidad	Estrato	Nivel	Fibra	Color	Largo (cm)	Torsión	N° Cabos	Grosor (mm)	Observaciones
1	23		A	B	13.4	Z-S	2	.6	
1	23		A	B	4.3	Z-S	2	.6	
1	23		A	B	3.5	Z	1	.3	
1	23		A	B	4.5	Z-S	3	.6	
1	23		A	B	6.7	Z-S	2	.3	
1	23		A	B	5.2	Z-S	2	.3	
1	23		A	B	14.7	Z-S-Z	6	.9	Tiene un nudo simple
1	23		A	B	2.3	Z-S	2	.7	
1	23		A	B	6.3	Z-S	2	.7	
1	23		A	B	7.2	Z-S	2	.6	
1	23		A	B	17.8	Z-S	2	.7	
1	23		A	B	13.85	Z-S	2	.4	
1	23		A	B	5.4	Z-S	2	.3	
1	23		A	B	7.6	Z-S-Z	6	1.1	
1	23		A	B	7.9	Z-S	2	.3	
1	23		A	B	12.8	Z-S	2	.7	
1	23		A	B	11.8	Z-S	2	.5	
1	23		A	B	11.3	Z-S	2	.4	
1	23		A	B	5.7	Z-S	2	.6	
1	23		A	B	26.8	Z-S	2	.6	
1	23		A	B	6.2	Z-S	2	.6	
1	23		A	B	12.7	Z-S-Z	12	1.8	Tiene un nudo simple
1	23		A	B	6.9	Z-S	2	.4	
1	23		A	B	8.9	Z-S	2	.5	
1	23		A	B	13.7	Z-S	2	.4	
1	23		A	B	4.4	Z-S	2	.4	
1	23		A	B	3.4	Z-S	2	.5	
1	23		A	B	1.9	Z	1	.3	
1	23		A	B	6.4	Z-S-Z	4	.8	
1	23		A	B	5.9	Z-S	2	.7	
1	23		A	B	4.6	Z-S	4	.4	
1	23		A	B	2.4	Z-S	2	.4	
1	23		A	B	10.8	Z-S	2	.5	
1	23		A	B	4	Z-S	2	.3	
1	23		A	B	3.9	Z-S	2	.5	
1	23		A	B	3.9	Z-S-Z	6	.9	
1	23		A	B	3.7	Z	1	.2	
1	23		A	B	5.1	Z-S	2	.4	
1	23		A	B	7.9	Z-S	2	.3	
1	23		A	B	6.8	Z-S	2	.6	
1	23		A	B	11.2	Z-S	2	.5	
1	23		A	B	21.5	Z-S-Z	4	.6	
1	23		A	B	7.8	Z-S-Z	4	.8	Tiene un nudo simple
1	23		A	B	8	Z-S	2	.5	

Unidad	Estrato	Nivel	Fibra	Color	Largo (cm)	Torsión	N° Cabos	Grosor (mm)	Observaciones
1	23		A	B	3.1	Z-S	2	.3	
1	23		A	B	3	Z-S	2	.4	
1	23		A	B	2.4	Z-S	2	.3	
1	23		A	B	3.1	Z-S	2	.2	
1	23		A	B	7.5	Z-S	2	.3	
1	23		A	B	14.4	Z-S-Z	8	1.1	
1	23		A	B	11.2	Z-S	2	.4	
1	23		A	B	22.4	Z-S	2	.4	
1	23		A	B	8.5	Z-S	2	.4	
1	23		A	B	11	Z-S	2	.4	
1	23		A	B	4.7	Z-S	2	.3	
1	23		A	B	3.4	Z-S	2	.6	
1	23		A	B	21.9	S-Z	2	.7	
1	23		A	B	3	Z-S	2	.3	
1	23		A	B	3.7	Z-S	2	.2	
1	23		A	B	6.9	Z-S	2	.6	
1	23		A	B	11.4	Z-S	4	1	
1	23		A	B	19.2	Z-S	2	.6	Tiene dos nudos simples
1	23		A	B	2.8	Z-S	2	.3	
1	23		A	B	9	Z-S	2	.2	
1	23		A	B	16	Z-S	2	.3	
1	23		A	B	17.3	Z-S	2	.5	
1	23		A	B	14.3	Z-S	2	.4	
1	23		A	B	3	Z-S	2	.2	
1	23		A	B	5	Z-S	2	.3	
1	23		A	B	6.8	Z-S	2	.2	
1	23		A	B	17.8	Z-S	2	.7	
1	23		A	B	4.5	Z-S	2	.4	
1	23		A	B	16.5	Z-S	2	.4	
1	23		A	B	18.8	Z-S	3	.5	
1	23		A	B	15.5	Z-S	2	.6	
1	23		A	B	4.7	Z-S	2	.3	
1	23		A	B	3.6	Z-S	2	.2	
1	23		A	B	2	Z-S	2	.2	
1	23		A	B	5	Z-S	2	.7	
1	23		A	B	8.3	Z-S	2	.6	
1	23		A	B	2.2	Z-S	2	.2	
1	23		A	B	1.5	Z-S	2	.4	
1	23		A	B	39.1	Z-S-Z	6	1	
1	23		A	B	3.4	Z-S	2	.1	
1	23		A	B	15.1	Z-S	2	.9	Tiene un nudo simple del que salen tres hebras del hilo

Unidad	Estrato	Nivel	Fibra	Color	Largo (cm)	Torsión	N° Cabos	Grosor (mm)	Observaciones
1	23		A	B	10.3	Z-S	2	.4	
1	23		A	B	17	Z-S	2	.4	
1	23		A	B	6	Z-S	2	.5	
1	23		A	B	2.5	Z-S	2	.3	
1	23		A	B	9.8	Z-S-Z	4	1.1	
1	23		A	B	4.8	Z-S-S	6	.3	
1	23		A	B	12.7	Z-S	2	.4	
1	23		A	B	6.9	Z	1	.1	
1	23		A	B	5.6	Z-S	2	.2	
1	23		A	B	16.7	Z-S	2	.3	
1	23		A	B	3	Z-S	2	.6	
1	23		A	B	4.9	Z-S	2	0.1	
1	23		A	B	7.4	S-Z	16	2.2	
1	23		A	B	13.9	Z-S	4	.8	
1	23		A	B	10.9	Z-S	2	.3	
1	23		A	B	5.8	Z-S	2	.2	
1	23		A	B	3.5	Z	1	.2	
1	23		A	B	2.7	Z	1	.1	
1	23		A	B	9	Z	1	.2	
1	23		A	B	3.4	Z-S	2	.3	
1	23		A	B	5.8	Z-S	2	.4	
1	23		A	B	19.1	Z-S	2	.6	
1	23		A	B	7.4	Z-S	2	.3	
1	23		A	B	11.1	Z-S	2	.4	
1	23		A	B	7.7	Z	1	.2	
1	23		A	B	5.4	Z-S	2	.5	
1	23		A	B	11.3	Z-S	2	.3	
1	23		A	B	10.7	Z-S	2	.4	
1	23		A	B	9.9	Z-S	2	.4	
1	23		A	B	6	Z-S	2	.5	
1	23		A	B	9.6	Z-S	2	.5	
1	23		A	B	3.6	Z-S	2	.7	
1	23		A	B	9.2	Z-S-Z	4	.5	
1	23		A	B	2.5	Z-S	2	.5	
1	23		A	B	2.3	Z-S	2	.3	
1	23		A	B	14.2	Z-S	2	.4	
1	23		A	B	4.4	Z-S	2	.6	
1	23		A	B	3.3	Z-S	2	.4	
1	23		A	B	7.5	Z-S	2	.4	
1	23		A	B	8.5	Z	1	.1	
1	23		A	B	2.5	Z	1	.1	
1	23		A	B	3.3	Z-S	2	.3	
1	23		A	B	5.4	Z-S-Z	14	1.4	
1	23		A	B	10.1	Z-S-S	4	.7	

Unidad	Estrato	Nivel	Fibra	Color	Largo (cm)	Torsión	N° Cabos	Grosor (mm)	Observaciones
1	23		A	B	7.4	Z-S	2	.3	
1	23		A	B	4.1	Z-S	2	.3	
1	23		A	B	3	Z-S	2	.2	
1	23		A	B	6.8	Z-S-Z	12	1.5	
1	23		A	B	4.9	Z-S	4	.5	
1	23		A	B	7.2	Z-S	2	.5	
1	23		A	B	4.4	Z-S	2	.4	
1	23		A	B	6.7	Z-S	2	.5	
1	23		A	B	6.8	Z-S	4	.3	
1	23		A	B	4.2	Z-S	2	.3	
1	23		A	B	3	Z	1	.2	
1	23		A	B	2.9	Z-S	2	.3	
1	23		A	B	4	Z-S	2	.3	
1	23		A	B	2.3	Z-S	2	.4	
1	23		A	B	2.5	Z-S	2	.4	
1	23		A	B	3.5	Z-S	2	.2	
1	23		A	B	7.1	Z-S	2	.1	
1	23		A	B	2.7	Z-S	2	.2	
1	23		A	B	8	S-S	8	.9	
1	23		A	B	7.8	Z-S	13	1.4	
1	23		A	B	2.7	Z-S	2	.2	
1	23		A	B	1.4	Z-S	2	.4	
1	23		A	B	2.4	Z-S	3	.3	
1	23		A	B	2.5	Z-S	2	.2	
1	23		A	B	12.3	Z-S-Z	6	1.2	Tiene tres partes diferentes en donde ha sido retorcido. Cada parte tiene un grosor distinto.
1	23		A	B		Z-S	2	0.3	Ovillo
1	23		A	B		Z-S	2	0.3	Ovillo
1	23		A	B		Z-S	2	0.2	Ovillo
1	23		A	B	51.8	Z-S	2	0.3	
1	23		A	B	64	Z-S	2	0.3	
1	23		A	B	40.5	Z-S	2	0.4	
1	23		V	M				16.5	La cuerda está cerrada por un nudo múltiple por lo que no se puede medir el largo. Está trenzada por lo que no se puede medir el número de cabos, ni tiene retorsión o torsión.

Unidad	Estrato	Nivel	Fibra	Color	Largo (cm)	Torsión	N° Cabos	Grosor (mm)	Observaciones
F8	23-24		A	B	27.6	Z-S	2	0.3	
F8	23-24		A	B	3.9	Z-S-Z	12	1.5	
F8	23-24		A	B	13.2	Z-S	5	0.7	
F8	23-24		A	B	12.7	Z-S	2	0.4	
F8	23-24		A	B	8.4	Z-S	3	0.6	
F8	23-24		A	B	12.7	Z-S	2	0.4	
F8	23-24		A	B	3	Z-S-Z	4	0.8	Tiene un nudo simple
F8	23-24		A	B	9.3	Z-S	2	0.6	
F8	23-24		A	B	5.2	Z-S-Z	12	1.9	
F8	23-24		A	B	32.1	Z-S	2	0.3	
F8	23-24		A	B	12.2	Z-S	2	0.5	
F8	23-24		A	B	23.1	Z-S	2	0.5	
F8	23-24		A	B	7.7	Z-S	2	0.3	
F8	23-24		A	B	3	Z-S	2	0.3	
F8	23-24		A	B	3.5	Z-S	2	0.6	
F8	23-24		A	B	8.5	Z-S	2	0.7	
F8	23-24		A	B	6.9	Z-S	2	0.3	
F8	23-24		A	B	7.1	Z-S	2	0.2	
F8	23-24		A	B	2.9	Z-S	2	0.3	
F8	23-24		A	B	2.5	Z-S	2	0.3	
F8	23-24		A	B	4.1	Z-S-Z	10	1.4	Tiene un nudo doble
F8	23-24		A	B	8.5	Z-S	2	0.4	
F8	23-24		A	B	17	Z-S	4	0.5	
F8	23-24		A	B	22.6	Z-S-Z	6	0.6	Tiene un nudo doble
F8	23-24		A	B	5.5	Z-S	2	0.4	
F8	23-24		A	B	10.4	Z-S	2	0.2	
F8	23-24		A	B	7.3	Z-S	2	0.3	
F8	23-24		A	B	6.7	Z-S	2	0.6	
F8	23-24		A	B	4.4	Z-S	2	0.6	
F8	23-24		A	B	19.4	Z-S	2	0.6	
F8	23-24		A	B	5.4	Z-S	2	0.2	
F8	23-24		A	B	18.9	Z-S	2	0.3	
F8	23-24		A	B	8.1	Z-S-Z	18	1.6	
F8	23-24		A	B	9.5	Z-S	2	0.5	
F8	23-24		A	B	4.4	Z-S-Z	4	0.4	
F8	23-24		A	B	6.9	Z-S	2	0.3	
F8	23-24		A	B	13.4	Z-S	2	0.7	
F8	23-24		A	B	10.3	Z-S	2	0.5	
F8	23-24		A	B	14.2	Z-S	2	0.2	
F8	23-24		A	B	8.5	Z-S	2	0.4	
F8	23-24		A	B	14.3	Z-S	2	0.4	
F8	23-24		A	B	4.5	Z-S	2	0.4	
F8	23-24		A	B	4.4	Z-S	2	0.3	
F8	23-24		A	B	7	Z-S	2	0.2	

Unidad	Estrato	Nivel	Fibra	Color	Largo (cm)	Torsión	N° Cabos	Grosor (mm)	Observaciones
F8	23-24		A	B	11.4	Z-S	2	0.3	
F8	23-24		A	B	23.8	Z	1	0.1	
F8	23-24		A	B	2.3	Z-S	2	0.4	
F8	23-24		A	B	4.4	Z-S	2	0.5	Tiene un nudo simple
F8	23-24		A	B	4.3	Z-S	3	0.6	
F8	23-24		A	B	3.6	Z-S	2	0.3	
F8	23-24		A	B	10.5	Z-S	2	0.3	
F8	23-24		A	B	2.4	Z-S	2	0.8	
1	24		A	B	12.1	Z-S	2	0.5	
1	24		A	B	10.6	Z-S	2	0.3	
1	24		A	B	7.4	Z-S	2	0.4	
1	24		A	B	11.4	Z-S	2	0.6	
1	24		A	B	2.4	Z-S	2	0.4	
1	24		A	B	11.6	Z-S	2	0.5	
1	24		A	B	11.4	Z-S	2	0.6	
1	24		A	B	6.6	Z-S	2	0.3	
1	24		V	M	9.5	Z	4	3.8	Tiene un nudo múltiple.
1	24		A	B	91.5	Z-S	2	0.3	Tiene un nudo simple.
1	24		A	B	15.2	Z-S	2	0.3	
1	24		A	B	4.8	S-Z	6	1.6	
1	24		A	B	5.8	Z-S	2	0.6	
1	24		A	B	9	Z-S	2	0.4	
1	24		A	B	8	Z-S	2	0.3	
1	24		A	B	15	Z-S	2	0.5	
1	24		A	B	8.1	Z-S	2	0.4	
1	24		A	B	10.5	Z-S	2	0.2	
1	24		A	B	6	Z-S	2	0.4	
1	24		A	B	5	Z-S	2	0.2	
1	24		A	B	19.5	Z-S	2	0.6	
1	24		A	B	8	Z-S	2	0.2	
1	24		A	B	8.8	Z-S	2	0.6	
1	24		A	B	6.1	Z-S	2	0.2	
1	24		A	B	14	Z-S	2	0.5	
1	24		A	B	8	Z-S	2	0.6	
1	24		A	B	8.8	Z-S	2	0.3	
1	24		A	B	13.9	Z-S	4	0.8	
1	24		A	B	5.1	Z-Z-S	6	1.1	
1	24		A	B	14.5	Z-S	2	0.3	
1	24		A	B	12	Z-S	2	0.2	
1	24		A	B	6.2	Z-S	2	0.4	
1	24		A	B	5.5	Z-S	2	0.3	
1	24		A	B	3.5	Z	1	0.2	
1	24		A	B	4	Z-S	2	0.2	
1	24		A	B	3.5	Z-S	2	0.4	

Unidad	Estrato	Nivel	Fibra	Color	Largo (cm)	Torsión	N° Cabos	Grosor (mm)	Observaciones
1	24		A	B	12.5	Z-S	2	0.4	
1	24		A	B	11.4	Z-S-Z	4	0.9	Tiene un nudo simple.
1	24		A	B	2.8	Z-S	2	0.04	
1	24		A	B	6.5	Z	1	0.2	
1	24		A	B	4	Z-S	2	0.4	
1	24		A	B	2.5	Z-S	2	0.5	
1	24		A	B	39.2	Z-S	2	0.4	
1	24		A	B	7	Z-S	2	0.3	
1	24		A	B	2.5	Z-S-Z	8	1.2	Tiene un nudo simple.
1	24		A	B	16.2	Z-S	2	0.5	
1	24		A	B	21	Z-S	2	0.4	
1	24		A	B	6.5	Z-S	2	0.3	
1	24		A	B	18.6	Z-S	2	0.6	
1	24		A	B	15.8	Z-S	2	0.2	
1	24		A	B	7.3	Z-S	3	0.5	
1	24		A	B	3.5	Z-S	2	0.3	
1	24		A	B	10.3	Z-S	2	0.4	
1	24		A	B	16	Z-S	2	0.5	
1	24		A	B	11.5	Z-S	2	0.6	
1	24		A	B	11	Z-S	2	0.6	
1	24		A	B	3.5	Z-S	2	0.3	
1	24		A	B	13.9	Z-S	2	0.2	
1	24		A	B	8.1	Z-S	2	0.3	
1	24		A	B	11.2	Z-S	2	0.3	
1	24		A	B	10	Z-S	2	0.2	
1	24		A	B	9.4	Z-S	2	0.2	
1	24		A	B	5.5	Z-S	5	0.5	
1	24		A	B	4.5	Z-S	2	0.2	
1	24		A	B	4	Z	1	0.2	
1	24		A	B	11	Z-S	2	0.4	
1	24		A	B	10.2	Z-S	2	0.2	
1	24		A	B	1.7	Z-S	2	0.3	
1	24		A	B	3	Z-S	6	0.8	
1	24		A	B	4	Z-S	2	0.2	
1	24		A	B	6.5	Z-S	2	0.4	
1	24		A	B	3.2	Z-S	2	0.1	
1	24		A	B	3.7	Z-S	4	0.7	
1	24		A	B	2.9	Z	1	0.1	
1	24		A	B	3	Z-S	2	0.2	
1	24		A	B	2.4	Z-S	2	0.2	
1	24		A	B	1.4	Z-S	2	0.3	
1	24		A	B	2.4	Z-S	2	0.3	
1	24		A	B	11.2	Z-S	2	0.2	
1	24		A	B	11	Z	1	0.1	

Unidad	Estrato	Nivel	Fibra	Color	Largo (cm)	Torsión	N° Cabos	Grosor (mm)	Observaciones
1	25		A	M		Z-S	2	0.5	Ovillo
1	25		A	B		Z	1	0.1	Ovillo
1	25		A	B		Z-S	2	0.5	Ovillo
1	25		A	M		Z-S	3	0.3	Ovillo
1	25		A	B		Z-S	2	0.2	Ovillo
1	25		A	B		Z-S-Z	4	0.5	Ovillo
1	25		A	B	7.7	Z-S-Z	20	2.4	Está en dos partes
1	25		A	M	3	Z-S-Z	10	1.6	Tiene un nudo simple
1	25		A	B	17.2	Z-S-Z	20	1.4	Tiene un nudo simple
1	25		A	B	13.3	Z-S	2	0.4	
1	25		A	B	11.6	Z-S	2	0.3	
1	25		A	B	4.8	Z-S	2	0.4	
1	25		A	M	2.5	Z-S	2	0.3	
1	25		A	M	11.7	Z-S	2	0.4	
1	25		A	B	2.3	Z-S-Z	5	0.7	
1	25		A	M	1.5	Z-S	2	0.5	
1	25		A	M	8.8	Z-S	2	0.3	
1	25		A	B	8.2	Z-S	2	0.4	
1	25		A	B	9.7	Z-S	2	0.3	
1	25		A	B	6.9	Z-S	2	0.3	
1	25		A	B	6.2	Z-S-Z	16	2.3	Tiene un nudo múltiple
1	25		A	M	4.4	Z-S	2	0.3	
1	25		A	M	3.5	Z-S	2	0.4	
1	25		A	M	4.6	Z-S	2	0.3	
1	25		A	M	4.4	Z-S	2	0.3	
1	25		A	M	2.9	Z-S	2	0.1	
1	25		A	M	3.6	Z-S	2	0.2	
1	25		A	B	5.8	Z-S	2	0.4	
1	25		A	B	3	Z-S	2	0.3	
1	25		A	B	11	Z	1	0.1	
1	25		A	M	11	Z-S	2	0.2	
1	25		A	B	4.2	Z-S-Z	12	1.4	Tiene un nudo simple
1	25		A	B	4.9	Z-S-Z	12	1.5	
1	25		A	M	7.9	Z-S	4	0.4	
1	25		A	M	13.7	Z-S	2	0.3	
1	25		A	B	4.2	Z-S	2	0.4	
1	25		A	B	6.3	Z-S	2	0.3	
1	25		A	B	3.8	Z-S-Z	10	1.5	
1	25		A	B	2.4	Z-S-Z	10	1.4	
1	25		A	B	6.9	Z-S-Z	12	1.4	Tiene un nudo simple
1	25		A	B	12.4	Z-S	2	0.4	Tiene un nudo simple
1	25		A	B	15.7	Z-S-Z	4	0.8	
1	25		A	B	27.1	Z-S	2	0.2	
1	25		A	B	7	Z-S-Z	12	1.3	Tiene un nudo simple

Unidad	Estrato	Nivel	Fibra	Color	Largo (cm)	Torsión	N° Cabos	Grosor (mm)	Observaciones
1	25		A	B	2.5	Z-S	3	0.4	
1	25		A	M	9.3	Z-S	2	0.4	
1	25		A	M	8.8	Z-S	2	0.2	
1	25		A	M	12.4	Z-S	2	0.3	
1	25		A	B	8.4	Z-S	3	0.3	Tiene un nudo simple
1	25		A	B	13	Z-S	2	0.4	
1	25		A	B	13.5	Z-S	2	0.2	
1	25		A	B	2.9	Z-S	2	0.2	
1	25		A	M	3.2	Z-S	2	0.3	
1	25		A	B	25.3	Z-S	2	0.2	
1	25		A	B	22.2	Z-S-Z	6	1.2	Tiene un nudo doble
1	25		A	B	20	Z-S	2	0.2	
1	25		A	M	6	Z-S	2	0.3	
1	25		A	M	15.5	Z-S	2	0.5	
1	25		A	B	4.4	Z-S-Z	4	0.6	
1	25		A	M	7.2	Z-S	2	0.4	
1	25		A	B	7.9	Z-S	2	0.3	
1	25		A	B	11	Z-S	2	0.2	
1	25		A	B	8.8	Z-S	2	0.2	
1	25		A	M	2	Z-S	2	0.1	
1	25		A	M	4.5	Z-S	2	0.3	
1	25		A	B	12.5	Z-S	2	0.4	
1	25		A	B	22	Z-S	2	0.3	
1	25		A	B	11.7	Z-S	2	0.4	
1	25		A	M	6.9	Z-S	2	0.4	
1	25		A	B	20.8	Z-S-Z	8	1.2	Tiene un nudo simple
1	25		A	M	7.4	Z-S	2	0.4	
1	25		A	B	2.3	Z-S	2	0.5	
1	25		A	M	2	Z-S	2	0.2	
1	25		A	B	11.6	Z-S	2	0.3	
1	25		A	M	2.6	Z-S	2	0.2	
1	25		A	M	8.7	Z-S	2	0.3	
1	25		A	M	8.7	Z-S	2	0.4	
1	25		A	M	6	Z-S	2	0.4	
1	25		A	B	17.4	Z-S	2	0.3	
1	25		A	B	8.2	Z-S	2	0.3	Tiene un nudo simple
1	25		A	M	6.5	Z-S	2	0.2	
1	25		A	M	15	Z-S	2	0.5	
1	25		A	B	9.5	Z-S-Z	4	0.5	
1	25		A	M	5.4	Z-S	2	0.4	
1	25		A	M	5.3	Z-S	2	0.3	
1	25		A	B	11	Z-S	4	0.7	
1	25		A	B	7.1	Z-S	2	0.4	
1	25		A	B	4.8	Z-S	2	0.3	

Unidad	Estrato	Nivel	Fibra	Color	Largo (cm)	Torsión	N° Cabos	Grosor (mm)	Observaciones
1	25		A	B	6.5	Z-S	2	0.4	
1	25		A	M	5.9	Z-S	2	0.4	
1	25		A	B	20.3	Z-S	2	0.3	
1	25		A	M	16.4	Z-S	2	0.3	
1	25		A	B	8.3	Z-S	3	0.5	
1	25		A	B	3.4	Z-S	2	0.5	
1	25		A	M	6.4	Z-S	2	0.3	
1	25		A	M	6	Z-S	2	0.3	
1	25		A	B	5	Z-S	2	0.4	
1	25		A	M	5.9	Z-S	2	0.3	
1	25		A	B	16	Z-S	2	0.4	
1	25		A	M	13.8	Z-S	2	0.5	
1	25		A	B	5.2	Z-S	5	0.7	
1	25		A	B	9	Z-S	2	0.2	
1	25		A	M	5.7	Z-S	2	0.6	
1	25		A	B	3.5	Z-S	2	0.3	
1	25		A	M	5	Z-S	2	0.3	
1	25		A	B	3	Z-S	2	0.4	
1	25		A	M	6	Z-S	2	0.2	
1	25		A	M	6.3	Z-S	2	0.1	
1	25		A	B	6.2	Z	1	0.1	
1	25		A	B	5.2	Z-S	3	0.6	
1	25		A	B	9.7	Z-S	3	0.3	Tiene un nudo simple
1	25		A	M	7.2	Z-S	2	0.2	
1	25		A	M	7	Z-S	2	0.3	
1	25		A	B	10	Z-S	2	0.3	
1	25		A	M	8.5	Z-S	2	0.4	
1	25		A	M	13.9	Z-S	2	0.3	
1	25		A	B	10.5	Z-S	2	0.3	
1	25		A	M	8.1	Z-S	2	0.1	
1	25		A	M	3.7	Z-S	2	0.2	
1	25		A	B	25.2	Z-S	2	0.2	Tiene un nudo simple
1	25		A	M	5.8	Z-S	2	0.4	
1	25		A	M	6.5	Z-S	2	0.7	
1	25		A	M	12.1	Z-S	2	0.2	Tiene un nudo simple
1	25		A	B	24.2	Z-S	3	0.6	
1	25		A	B	8	Z-S	2	0.3	
1	25		A	B	8.2	Z-S	2	0.3	
1	25		A	M	6.2	Z-S	2	0.2	
1	25		A	B	30	Z-S	2	0.3	
1	25		A	M	4	Z-S	2	0.1	
1	25		A	B	4	Z-S	2	0.2	
1	25		A	M	6.8	Z-S	2	0.6	
1	25		A	M	7.7	Z-S	2	0.3	

Unidad	Estrato	Nivel	Fibra	Color	Largo (cm)	Torsión	N° Cabos	Grosor (mm)	Observaciones
1	25		A	B	7.3	Z-S	2	0.1	
1	25		A	B	6	Z-S	2	0.2	
1	25		A	B	1.5	Z-S	2	0.3	
1	25		A	B	11.5	Z-S	2	0.3	
1	25		A	M	5	Z-S	2	0.3	
1	25		A	B	25.8	Z-S	2	0.3	
1	25		A	B	12	Z-S	2	0.2	
1	25		A	M	8.5	Z-S	2	0.4	
1	25		A	M	9.4	Z-S	2	0.3	
1	25		A	B	26	Z-S-S	3	0.6	
1	25		A	B	16.7	Z-S	2	0.3	
1	25		A	M	5.9	Z-S	2	0.4	
1	25		A	B	13.2	Z-S	2	0.3	
1	25		A	M	4.3	Z-S	2	0.3	
1	25		A	M	7.3	Z-S	2	0.3	
1	25		A	M	11.4	Z-S	3	0.4	
1	25		A	M	7.3	Z-S	2	0.1	
1	25		A	M	23.1	Z-S	2	0.5	
1	25		A	B	3.2	Z-S	2	0.2	
1	25		A	M	12.1	Z-S	2	0.2	
1	25		A	B	16.4	Z-S	2	0.2	
1	25		A	M	10.5	Z-S	2	0.3	
1	25		A	M	12	Z-S	2	0.4	
1	25		A	B	15.3	Z-S	2	0.3	
1	25		A	M	4	Z-S	2	0.2	
1	25		A	B	5.8	Z-S	2	0.2	
1	25		A	B	4.5	Z-S	2	0.2	
1	25		A	B	4	Z-S	2	0.4	
1	25		A	B	13	Z-S	4	0.8	
1	25		A	B	6.2	Z-S	2	0.3	
1	25		A	B	6.2	Z-S	2	0.4	
1	25		A	B	3.4	Z-S	2	0.3	
1	25		A	M	29.5	Z-S	8	0.9	
1	25		A	B	2.5	Z-S-Z	4	0.7	
1	25		A	B	18.2	Z-S-Z	8	0.7	
1	25		A	M	12.2	Z-S	2	0.3	
1	25		A	M	11	Z-S	2	0.3	
1	25		A	M	10.4	Z-S	2	0.3	
1	25		A	M	7	Z-S	2	0.4	
1	25		A	M	7.5	Z-S	2	0.3	
1	25		A	B	8.2	Z-S-Z	8	1.2	
1	25		A	M	6.5	Z-S	2	0.2	
1	25		A	B	4.3	Z-S	2	0.3	
1	25		A	M	7.8	Z-S	2	0.4	

Unidad	Estrato	Nivel	Fibra	Color	Largo (cm)	Torsión	N° Cabos	Grosor (mm)	Observaciones
1	25		A	B	16	Z-S	2	0.3	
1	25		A	B	5	Z-S	2	0.4	
1	25		A	B	8	Z-S	2	0.3	
1	25		A	M	8.2	Z-S	2	0.4	
1	25		A	M	8.3	Z-S	2	0.4	Tiene un nudo simple
1	25		A	B	6.2	Z-S	2	0.3	
1	25		A	B	7	Z-S	2	0.5	
1	25		A	B	5.2	Z-S	2	0.1	
1	25		A	M	6.2	Z-S	2	0.3	
1	25		A	M	19.2	Z-S	2	0.2	
1	25		A	B	2.6	Z-S	2	0.2	
1	25		A	M	8	Z-S	2	0.4	
1	25		A	B	2	Z-S	2	0.2	
1	25		A	B	10	Z-S	2	0.3	
1	25		A	B	5.6	Z-S	2	0.2	
1	25		A	B	3.4	Z-S	2	0.2	
1	25		A	M	13	Z-S	2	0.2	
1	25		A	B	14.6	Z-S	2	0.2	Tiene un nudo que forma una circunferencia
1	25		A	M	2	Z-S	2	0.1	
1	25		A	B	14	Z-S	3	0.5	
1	25		A	M	13.4	Z-S	2	0.5	
1	25		A	B	7.5	Z-S	2	0.3	
1	25		A	B	9.5	Z-S	2	0.2	
1	25		A	B	8.2	Z-S	2	0.2	
1	25		A	M	7.1	Z-S	2	0.4	
1	25		A	B	21.3	Z-S	2	0.3	
1	25		A	B	7.9	Z-S	2	0.2	
1	25		A	M	12.5	Z-S	2	0.5	
1	25		A	M	10.2	Z-S	2	0.4	
1	25		A	B	22	Z-S	2	0.2	
1	25		A	M	7.7	Z-S	2	0.2	
1	25		A	M	4.4	Z-S	2	0.3	
1	25		A	B	7.4	Z-S	2	0.3	
1	25		A	B	2.9	Z-S	2	0.1	
1	25		A	B	5.2	Z-S	2	0.3	
1	25		A	M	10.8	Z-S	2	0.3	
1	25		A	M	4.2	Z-S	2	0.2	
1	25		A	B	6.2	Z-S	2	0.4	
1	25		A	B	8.6	Z-S	2	0.5	
1	25		A	M	10.4	Z-S	2	0.5	
1	25		A	M	10.8	Z-S	2	0.6	
1	25		A	M	4.5	Z-S	2	0.2	

Unidad	Estrato	Nivel	Fibra	Color	Largo (cm)	Torsión	N° Cabos	Grosor (mm)	Observaciones
1	25		A	M	5.2	Z-S	2	0.3	
1	25		A	M	7.2	Z-S	2	0.3	
1	25		A	B	4	Z-S	2	0.3	
1	25		A	B	6.4	Z-S	2	0.3	
1	25		A	M	8.74	Z-S	2	0.4	
1	25		A	B	9.2	Z-S	2	0.3	
1	25		A	B	8.5	Z-S	2	0.1	
1	25		A	M	4	Z-S	3	0.3	
1	25		A	B	6.4	Z-S	2	0.4	
1	25		A	B	5.6	Z-S-Z	8	1.2	Tiene un nudo doble
1	25		A	M	8.4	Z-S	2	0.5	
1	25		A	M	2.2	Z-S	2	0.4	
1	25		A	M	3.7	Z-S	2	0.4	
1	25		A	B	9.2	Z-S	2	0.4	
1	25		A	M	1.4	Z-S-Z	4	1.1	
1	25		A	B	2.7	Z-S	2	0.4	
1	25		A	M	14	Z-S-Z	8	1.8	
1	25		A	M	9.5	Z-S	7	1.3	
1	25		A	B	5.6	Z-S	2	0.1	
1	25		A	M	4.6	Z-S	2	0.6	
1	25		A	M	5.3	Z-S	2	0.4	
1	25		A	M	2.9	Z-S	2	0.2	
1	25		A	B	31.1	Z-S-Z	18	1.7	
1	25		A	M	49	Z-S	2	0.4	
1	25		A	B	44.1	Z-S-Z	4	0.5	
1	25		A	M	55.2	Z-S	2	0.3	
1	25		A	M	37.5	Z-S	5	0.8	
1	25		A	M	53.4	Z-S	2	0.4	
1	25		A	M	30.4	Z-S	2	0.3	
1	25		A	B	31.7	Z-S	2	0.4	
1	25		V	M	5.3	Z-S	2	1.2	
1	25		A	M	4.5	Z-S-Z	8	1.1	Tiene un nudo simple y uno múltiple
1	25		A	M		Z-S	2	0.2	Ovillo
F8	25		A	B	4.4	Z-S-Z	12	1.4	Tiene un nudo simple
F8	25		A	B	30	Z-S-Z	6	1.3	
F8	25		A	M	8.7	Z-S	2	0.4	
F8	25		A	B	11.6	Z-S-Z	4	0.6	
F8	25		A	B	12.1	Z-S	2	0.3	
F8	25		A	M	5.3	Z-S	2	0.3	
F8	25		A	M	24.7	Z-S	2	0.4	
F8	25		A	M	4.5	Z-S	2	0.5	
F8	25		A	B	18.4	Z-S-Z	4	0.8	
F8	25		A	M	16.2	Z-S	3	1	

Unidad	Estrato	Nivel	Fibra	Color	Largo (cm)	Torsión	N° Cabos	Grosor (mm)	Observaciones
F8	25		A	B	13.2	Z-S	2	0.4	
F8	25		A	B	32.5	Z-S	2	0.3	
F8	25		A	B	7	Z-S	3	0.7	
F8	25		A	M	8.7	Z-S	2	0.6	
F8	25		A	M	10.5	Z-S	2	0.3	
F8	25		A	M	7.1	S-Z	2	0.6	Tiene dos nudos simples
F8	25		A	B	3.5	Z	1	0.3	
F8	25		A	M	7.3	Z-S	2	0.2	
F8	25		A	B	110.2	Z-S-Z	6	2.2	Tiene un nudo múltiple y uno simple
F8	25		A	B	3.5	Z-S	2	0.7	
F8	25		A	B	15.6	Z-S-Z	4	1	
F8	25		A	M	22.5	Z-S	2	0.6	
F8	25		A	B	12.2	Z-S	2	0.4	
F8	25		A	M	4	Z-S	2	0.5	
F8	25		A	B	4.6	Z-S	2	0.5	
F8	25		A	B	2.3	Z-S-Z	4	0.7	
F8	25		A	B	10	Z-S	6	0.8	
F8	25		A	M	7.6	Z-S	2	0.5	
F8	25		A	B	4	Z-S	2	0.5	
F8	25		A	B	10.9	Z-S	2	0.2	
F8	25		A	B	5.2	Z-S-Z	6	1.2	Tiene un nudo múltiple
F8	25		A	M	22.2	Z-S	2	0.6	
F8	25		A	B	30	Z-S	2	1.1	
F8	25		A	B	2.5	Z	1	0.3	
F8	25		A	M	8.7	Z-S	2	0.3	
F8	25		A	B	15.3	Z-S	2	0.4	Tiene 5 nudos simples
F8	25		A	B	5.7	Z-S	2	0.7	Tiene un nudo simple
F8	25		A	B	7.2	Z-S	2	0.6	
F8	25		A	M	5.6	Z-S	2	0.3	
F8	25		A	B	9.2	Z-S	2	0.2	Tiene un nudo simple
F8	25		A	M	5.7	Z-S	2	0.6	
F8	25		A	B	5.9	Z-S	2	0.2	
F8	25		A	B	15.8	Z-S	2	0.2	
F8	25		A	B	2.2	Z-S-Z	4	0.8	
F8	25		A	M	14	Z-S	2	0.3	
F8	25		A	B	15.2	Z-S	2	0.8	Tiene un nudo simple
F8	25		A	M	10.4	Z	1	0.2	
F8	25		A	M	13	Z-S	2	0.7	
F8	25		A	B	12	Z	1	0.2	
F8	25		A	B	7	Z-S	2	0.6	
F8	25		A	B	8.6	Z-S	2	0.4	
F8	25		A	B	6.7	Z-S	2	0.6	

Unidad	Estrato	Nivel	Fibra	Color	Largo (cm)	Torsión	N° Cabos	Grosor (mm)	Observaciones
F8	25		A	B	3.2	Z-S	2	0.2	
F8	25		A	M	6.3	Z-S	2	0.2	
F8	25		A	B	3.4	Z-S	2	0.4	
F8	25		A	B	2.5	Z	1	0.2	
F8	25		A	M	2.8	Z-S	2	0.3	
F8	25		A	B,M		Z-S	2		Ovillo
F8	25		A	B		Z-S	2	0.5	Ovillo
F8	25		A	B,M		Z-S	2	0.4	Ovillo
F8	25		A	B		Z-S	2	0.2	Ovillo
1	25-26		A	B	7	Z-S-Z	18	2.5	
1	25-26		A	B	6.8	Z-S-Z	6	1	
1	27		A	B	15.7	Z-S-Z	8	0.7	Tiene un nudo simple
1	27		A	B	8.8	Z-S-Z	20	1.8	
1	27		A	B	5	Z-S	2	0.6	
1	27		A	B	12.3	Z-S	14	0.8	
1	27		A	M	3	Z-S	2	0.3	
1	27		A	B	5.3	Z-S	2	0.3	Tiene un nudo simple
1	27		A	B	11.9	Z-S	14	0.9	
1	27		A	M	16	Z-S	2	0.4	
1	27		A	B	2.2	Z-S	2	0.3	
1	27		A	B	9.7	Z-S	3	0.6	
1	27		A	B	5.2	Z-S	2	0.7	Tiene un nudo simple
1	27		A	B	7.2	Z-S	2	0.3	
1	27		A	B	3.5	Z-S	2	0.2	
1	27		A	B	14.1	Z-S	4	0.7	
1	27		A	B	9.2	Z-S	4	0.7	
1	27		A	B	7.5	Z-S-Z	10	1.2	
1	27		A	M	2.7	Z-S	2	0.4	
1	27		A	M	3.3	Z-S	2	0.2	
1	27		A	B	10.6	Z-S	2	0.3	
1	27		A	M	7.3	Z-S	2	0.2	
1	27		A	B	3.9	Z-S	2	0.2	
1	27		A	M	1.9	Z-S	2	0.2	
1	27		A	B	35.3	Z-S	2	0.3	
1	27		A	B	4.6	Z-S	2	0.6	
1	27		A	B	7.5	Z-S	2	0.3	
1	27		A	B	6.2	Z-S	2	0.2	
1	27		A	M	3.2	Z-S	2	0.6	
1	27		A	M	4	Z-S	2	0.2	
1	27		A	M	10.6	Z-S	2	0.3	
1	27		A	M	4.7	Z-S	2	0.4	
1	27		A	M	6.5	Z-S	2	0.4	
1	27		A	M	3.2	Z-S	2	0.1	
1	27		A	B	5.5	Z	1	0.1	

Unidad	Estrato	Nivel	Fibra	Color	Largo (cm)	Torsión	N° Cabos	Grosor (mm)	Observaciones
1	27		A	B	8.9	Z-S	2	0.3	
1	27		A	B	4.4	Z-S	2	0.4	
1	27		A	B	5.9	Z-S-Z	8	1.3	
1	27		A	M	7.4	Z-S	2	0.4	
1	27		A	B	4.8	Z-S	2	0.6	
1	27		A	M	3.9	Z-S	2	0.4	
1	27		A	B	4.2	Z-S	2	0.2	
1	27		A	M	16.8	Z-S	2	0.2	
1	27		A	M	3.7	Z-S	2	0.4	
1	27		A	M	6.1	Z-S	2	0.4	
1	27		A	M	7.8	Z-S	2	0.2	
1	27		A	B	4.5	Z-S	4	0.8	
1	27		A	M	2.5	Z-S	2	0.2	
1	27		L	R	2.5	Z-S	2	0.5	
1	27		A	B	11.5	Z-S	5	0.8	
1	27		A	M	11	Z-S	2	0.6	
1	27		A	B	3.6	Z-S-Z	8	1	
1	27		A	B	2.4	Z-S	2	0.4	
1	27		A	M	4.6	Z-S	2	0.4	
1	27		A	B	7	Z-S	3	0.6	
1	27		A	M	7.3	Z-S-Z	7	1.5	
1	27		A	M	3.9	Z-S	2	0.3	
1	27		A	M	2.9	Z-S	2	0.2	
1	27		A	M	6.8	Z-S	2	0.3	
1	27		A	B	5.4	Z-S	2	0.2	
1	27		A	M	4.5	Z-S	2	0.3	
1	27		A	M	3.8	Z-S	2	0.3	
1	27		A	B	2.1	Z-S-Z	4	0.7	
1	27		A	B	4.4	Z-S-Z	6	0.9	
1	27		A	M	6.1	Z-S	2	0.4	
1	27		A	B	1.6	Z	1	0.2	
1	27		A	B	5.5	Z-S	2	0.3	
1	27		A	B	6.9	Z-S	4	0.6	
1	27		A	M	3.9	Z-S	2	0.3	
1	27		A	M	3.2	Z-S	2	0.4	
1	27		A	B	4.8	Z	1	0.1	
1	27		A	B	7.6	Z-S	2	0.2	
1	27		A	B	3.4	Z-S	2	0.3	
1	27		A	B	2.2	Z-S	2	0.3	
1	27		A	B	1.2	Z-S	2	0.3	
1	27		A	B	6.9	Z-S	2	0.2	
1	27		A	B	2.2	Z	1	0.1	
1	27		A	B	3.2	Z-S	2	0.2	
1	27		L	R	2.7	Z-S	2	0.7	

Unidad	Estrato	Nivel	Fibra	Color	Largo (cm)	Torsión	N° Cabos	Grosor (mm)	Observaciones
1	27		A	M	4.2	Z-S	0.3	0.2	
1	27		A	B		Z-S			Ovillo
1	27		A	B	6.2	Z-S	2	0.3	
1	27		A	B	1.5	Z-S	2	0.2	
1	27		A	M	7.2	Z-S	2	0.3	
1	28		A	B	53.5	Z-S	4	1-3	
1	28		A	B	36	Z-S-Z	12	2	
1	28		A	B	15.1	Z-S-Z	10	1.75	Tiene un nudo simple
1	28		A	M	9.4	Z	1	.5-1	
1	28		A	M	18	Z-S	2	1-1.5	
1	28		A	B	6.3	Z-S-Z	10	1.75	
1	28		A	B	8.5	Z-S-Z	4	1	
1	28		A	B	6.9	Z-S	2	1-1.5	
1	28		A	B	5.9	Z-S-Z	8	1.5	
1	28		A	B	5	Z-S	5	1.5-2	
1	28		A	B	11.5	Z-S	2	1	
1	28		A	M	4.7	Z-S-Z	6	1.5	Tiene un nudo simple
1	28		A	B	4.1	Z-S-Z	85	2	
1	28		A	B	5	Z-S-Z	14	2.5	
1	28		A	B	12.2	Z-S	2	1-1.5	
1	28		A	B	5.1	Z-S-Z	6	1.75	Tiene un nudo simple
1	28		A	B	7.2	Z-S	2	1	
1	28		A	B	5.8	Z-S-Z	4	1	
1	28		A	M	6.3	Z-S-S	2	1-1.5	
1	28		A	M	12.1	Z-S	3	1-2	
1	28		A	B	19.4	Z-S	2	1	
1	28		A	B	16.5	Z-S-Z	18	2.5	
1	28		A	B	13.6	Z-S	2	.5	
1	28		A	B	6.2	Z-S	2	1.5	
1	28		A	B	9.1	Z-S	2	1	
1	28		A	B	4.6	Z-S-Z	8	1.5	
1	28		A	B	12.5	S-Z	2	1.5-3	
1	28		A	B	11.2	Z-S	2	.5-2	
1	28		A	B	8.2	Z-S	2	1	
1	28		A	B	5.4	Z-S	2	1	
1	28		A	M	7.5	Z-S	2	1	
1	28		A	M	4.8	Z-S	2	1	
1	28		A	M	4.1	Z-S	2	.5-1	
1	28		A	B	4.9	Z-S	2	1-1.5	
1	28		A	B	4.8	Z-S	2	1	
1	28		A	M	6.9	Z-S-Z	8	1.25	Tiene un nudo simple
1	28		A	B	10.4	Z-S	3	1	Tiene un nudo simple
1	28		A	B	5.4	Z-S	2	1	
1	28		A	B	11.3	Z-S	2	1	

Unidad	Estrato	Nivel	Fibra	Color	Largo (cm)	Torsión	N° Cabos	Grosor (mm)	Observaciones
1	28		A	M	4	Z-S	2	1	
1	28		A	B	13.2	Z-S	2	1	
1	28		A	B	11.8	Z-S	2	.5	
1	28		A	B	12.8	Z-S	2	1	
1	28		A	B	12.3	Z-S	2	1-1.5	
1	28		A	B	3	Z-S	2	1	
1	28		A	B	12.7	Z-S	2	1	
1	28		A	B	9	Z-S	2	1-1.5	
1	28		A	M	7.6	Z-S	2	1	
1	28		A	B	5.4	Z-S	2	1-1.5	
1	28		A	M	2.7	Z-S	2	1	
1	28		A	B	5.2	Z-S	2	.5	
1	28		A	B	2.5	Z-S	2	2.5	
1	28		A	B	2.2	Z-S	2	1	
1	28		A	B	4.9	Z-S-Z	4	2	
1	28		A	B	4.2	Z-S-Z	8	2.25	
1	28		A	B	3.5	Z-S	5	2.5-3	
1	28		A	B	5.2	Z-S	2	1.5-2	
1	28		A	B	4.7	Z-S	10	3-4.5	
1	28		A	M	8.6	Z-S	2	1-1.5	
1	28		A	M	8	Z-S	2	1-1.5	
1	28		A	M	6.4	Z-S	2	1	
1	28		A	B	4.4	Z-S	2	.5	
1	28		A	M	4	Z-S	2	1-2	
1	28		A	B	3.6	Z-S	2	.5-1	
1	28		A	B	9.3	Z-S	2	1	
1	28		A	B	3.5	Z	1	1	
1	28		A	B	4.2	Z-S	3	1-1.5	
1	28		A	B	16.4	Z-S	2	1	Tiene un nudo simple
1	28		A	B	7.6	Z-S	2	1-1.5	
1	28		A	B	4.3	Z-S	2	1	
1	28		A	B	3.9	Z-S	2	.5	
1	28		A	B	4.8	Z-S	2	1	
1	28		A	B	11.4	Z-S	2	1	
1	28		A	B	11.6	Z-S	2	1	
1	28		A	M	8.4	Z-S	2	1-1.5	
1	28		A	B	10.8	Z-S	2	1.5	
1	28		A	B	23.6	Z-S	2	1	
1	28		A	B	3.3	Z-S	2	1	
1	28		A	M	7.1	Z-S	2	.5	
1	28		A	B	6	Z-S	2	.5	
1	28		A	M	5.1	Z-S	2	1	
1	28		A	B	7.5	Z-S	2	1	
1	28		A	M	7.9	Z-S	2	1.5	

Unidad	Estrato	Nivel	Fibra	Color	Largo (cm)	Torsión	N° Cabos	Grosor (mm)	Observaciones
1	28		A	B	4	Z-S-Z	4	1	
1	28		A	B	5.1	Z-S	2	1	
1	28		A	M	8.8	Z-S	2	1	
1	28		A	B	7.2	Z-S	2	1	
1	28		A	B	5.9	Z-S	2	1-2	
1	28		A	B	8.5	Z-S	2	.5-1	
1	28		A	B	7.4	Z-S	2	1-1.5	
1	28		A	M	4.4	Z-S	2	.5-1.5	
1	28		A	B	3.3	Z-S	2	1-1.5	
1	28		A	B	2	Z-S	2	1.5-2	
1	28		A	B	2.6	Z-S	2	1	
1	28		A	M	2.6	Z-S	2	1	
1	28		A	B	2.2	Z-S	2	.5	
1	28		A	M	3.2	Z	1	1-1.5	
1	28		A	B	5	Z	1	1.5	
1	28		A	M	2.5	Z-S	2	.5	
1	28		A	B	3.7	Z	1	.5-1.5	
1	28		A	B	3	Z-S	2	1-1.5	
1	28		A	B	4.1	Z	1	1	
1	28		A	B	2.5	Z-S	2	1	
1	28		A	B	5.3	Z	1	1-1.5	
1	28		A	B		Z-S	2	2	
1	28		A	B	20.4	Z-S	3	1	Tiene un nudo final
1	28		A	B	19.1	Z-S-S	8	2.5	Tiene un nudo simple del que salen cuatro hebras en un extremo
1	28		A	B	9.7	Z-S	2	1.5-2	Tiene un nudo simple de que salen tres hebras en un extremo
1	28		A	B	3.3	Z-S-Z	8	2.5	Tiene un nudo final en un extremo
1	28		V	M	17	Z	2	3.5	Cuerda
1	28		A	B	13.5	Z-S-Z	10	2	Tiene un nudo simple en un extremo y dos finales al centro
1	28		A	M	11.4	Z-S	2	.5	Tiene un nudo deshilachado
1	28		A	M	3.3	Z-S-S	4	1	Tiene un nudo de red
1	28		A	B	6.1	Z	4	2	
1	28		A	B	12.9	Z-S	2	.5	Tiene un pedazo de algodón marrón

1	28		A	B	16	Z-S	2	1	El hilo está cerrado por dos nudos. De esos nudos salen 4 hilos más. El hilo está cerrado en esos nudos formando un círculo.
1	28		A	B	15.4	Z-S	2	0.4	
1	28		A	M	51	Z-S	2	0.5	
1	28		A	B	21.3	Z	1	0.2	
1	28		A	B	2.7	Z-S	2	0.5	
1	28		A	B	24	Z-S	2	0.4	
1	28		A	B	3.2	Z-S	2	0.2	
1	28		A	B	16.9	Z-S	2	0.5	
1	28		A	B	9.3	Z-S	2	0.4	
1	28		A	M	15.4	Z-S	2	0.3	
1	28		A	B	1.7	Z-S-Z	4	0.8	Tiene un nudo simple
1	28		A	B	5.7	Z-S	2	0.4	
1	28		A	M	6.7	Z-S	3	0.6	
1	28		A	B	4.6	Z-S	2	0.2	
1	28		A	B	5	Z-S	2	0.2	
1	28		A	M	11.9	Z-S	2	0.2	
1	28		A	B	5.8	Z-S	4	0.5	
1	28		A	M	3.9	Z-S	2	0.3	
1	28		A	B	13.6	Z-S	4	0.6	
1	28		A	M	40	Z-S	5	0.6	
F8	28		A	M	10.2	Z-S	2	0.2	
F8	28		A	B	15.7	Z-S	2	0.2	
F8	28		A	B	15.4	Z-S-Z	8	1.1	
F8	28		A	B	19	Z-S-Z	4	0.7	
F8	28		A	M	3.5	Z-S	2	0.3	
F8	28		A	B	6.3	Z-S	2	0.2	
1	29		A	B	10.5	Z-S	2	0.2	
1	29		A	B	5.7	Z-S-Z	12	1.9	
1	29		V	M	18.4	Z	3	1.7	
1	29		A	B	13.4	Z	1	0.2	
1	29		A	B	36	Z-S-Z	8	0.8	
1	29		A	B	3.5	Z-S	2	0.6	
1	29		A	B	12.7	Z	1	0.3	
1	29		A	B	3.1	Z-S	2	0.6	
1	29		A	B	4	Z-S	2	0.4	
1	29		A	B	3	Z-S-Z	10	1	
1	29		A	B	12	Z-S	4	.6	
1	29		A	B	4.1	Z-S	2	.6	
1	29		A	B	18.8	Z-S	2	.3	
1	29		A	B	9	Z-S	2	.6	

Unidad	Estrato	Nivel	Fibra	Color	Largo (cm)	Torsión	N° Cabos	Grosor (mm)	Observaciones
1	29		A	B	9	Z-S	2	.4	
1	29		A	B	26	Z-S	2	.7	
1	29		A	B	2.1	Z	1	.2	
1	29		A	B	3.3	S-Z	2	.5	
1	29		A	B	7	Z-S	8	1.3	
1	29		A	B	5.2	Z-S	2	.3	
1	29		A	B	8.2	Z	1	.4	
1	29		A	B	3.5	Z-S	2	.3	
1	29		A	B	6	Z-S	2	.3	
1	29		A	B	6.4	Z-S	2	.4	
1	29		A	B	5.3	Z-S	2	.6	
1	29		A	B	4	Z-S	2	.4	
1	29		A	B	11.7	Z-S	2	.3	
1	29		A	B	2.3	Z-S	2	.4	
1	29		A	B	10	Z-S	2	.4	
1	29		A	B	10.1	Z-S	2	.4	
1	29		A	B	4.4	Z-S	2	.6	
1	29		A	B	2.3	Z-S	2	.3	
1	29		A	B	6.5	Z-S-Z	8	1.4	
1	29		A	B	16.2	Z-S	2	.5	
1	29		A	B	85.3	Z-S	2	.3	
1	29		A	B	9.9	Z	1	.5	
1	29		A	B	7.9	Z-S	2	.4	
1	29		A	B	5.1	Z-S	2	0.5	
1	29		A	B	12.2	Z-S	2	.4	
1	29		A	B	4.8	Z-S	2	.4	
1	29		A	B	11.1	Z-S	2	.4	
1	29		A	B	5.1	Z-S	2	.3	
1	29		A	B	7.8	Z-S	2	.2	
1	29		A	B	2.3	Z-S	2	.2	
1	29		A	B	18.7	Z-S	2	.4	
1	29		A	B	3.5	Z-S	2	.5	
1	29		A	B	10.6	Z-S	2	.3	
1	29		A	B	3.4	Z-S	2	.4	
1	29		A	B	5	Z-S	2	.3	
1	29		A	B	6.5	Z-S	2	.3	
1	29		A	B	3.7	Z-S	2	.3	
1	29		A	B	1.5	Z-S	2	.3	
1	29		A	B	9	Z	1	.3	
1	29		A	B	6.4	Z-S	2	.4	
1	29		A	B	6.4	Z-S	2	.3	
1	29		A	B	2.4	Z-S	2	.4	
1	29		A	B	3.2	Z-S	2	.2	
1	29		A	B	1.5	Z-S	2	.3	

Unidad	Estrato	Nivel	Fibra	Color	Largo (cm)	Torsión	N° Cabos	Grosor (mm)	Observaciones
1	29		A	B	47	Z-S-S	8	1.4	
1	29		A	B	41.3	Z-S-Z	4	.8	
1	29		A	B	9.2	Z-S	2	.5	
1	29		A	B	14	Z-S	2	.4	
1	29		A	B	4.8	Z-S	2	.5	
1	29		A	B	4.3	Z-S-Z	4	.8	
1	29		A	B	2.6	Z-S	2	.3	
1	29		A	B	7.7	Z-S	2	.4	
1	29		A	B	2.5	Z-S	2	.3	
1	29		A	B	7	Z-S	2	.4	
1	29		A	B	8.3	Z-S	2	.5	
1	29		A	B	22.8	Z-S	2	.7	
1	29		A	B	6.1	Z-S	2	.2	
1	29		A	B	7.3	Z-S	2	.5	
1	29		A	B	11.7	Z-S	2	.5	
1	29		A	B	1.7	Z-S	2	.3	
1	29		A	B	7.4	Z-S	2	.7	
1	29		A	B	11.2	Z-S	4	.5	
1	29		A	B	19.5	Z-S	2	.5	
1	29		A	B	4.6	Z-S	2	.4	
1	29		A	B	3.8	Z-S	2	.5	
1	29		A	B	12.2	Z-S	2	.5	
1	29		A	B	6.9	Z-S	2	.3	
1	29		A	B	29.2	Z-S	2	.6	
1	29		A	B	4.7	Z-S	2	.4	
1	29		A	B	14.1	Z-S	2	.4	
1	29		A	B	2.9	Z-S	2	.4	
1	29		A	B	3.3	Z-S	2	.2	
1	29		A	B	7.9	Z-S	2	.5	
1	29		A	B	4.5	Z-S	2	.6	
1	29		A	B	4.1	Z	1	0.2	
1	29		A	B	7.7	Z-S	2	.7	
1	29		A	B	4.5	Z-S	2	.5	
1	29		A	B	4.7	Z-S	2	.3	
1	29		A	B	11.3	Z-S	2	.3	
1	29		A	B	4.2	Z-S	2	.4	
1	29		A	B	5.3	Z-S	2	.4	
1	29		A	B	3.8	Z-S	3	.8	
1	29		A	B	5.7	Z-S	2	.3	
1	29		A	B	5.5	Z	1	.5	
1	29		A	B	24.7	Z	1	.2	
1	29		A	B	3.2	Z-S	2	0.8	
1	29		A	B	21.2	Z	1	0.1	
F8	29		A	M	7.4	Z-S	2	0.1	

Unidad	Estrato	Nivel	Fibra	Color	Largo (cm)	Torsión	N° Cabos	Grosor (mm)	Observaciones
F8	29		A	B	6.7	Z-S	2	0.2	
F8	29		A	B	4.6	Z-S	2	0.1	
F8	29		A	B	10.4	Z-S-Z	10	1.5	Tiene un nudo simple
F8	29		A	B	4.9	Z-S-Z	12	1	
F8	29		A	M	8	Z-S	2	0.4	
F8	29		A	M	11.2	Z-S	2	0.5	
F8	29		A	M	7.4	Z-S	2	0.2	
F8	29		A	B	5.2	Z-S	6	0.9	
F8	29		A	M	13.6	Z-S	2	0.3	
F8	29		A	B	1.9	Z-S	2	0.1	
F8	29		A	B	9.8	Z-S	2	0.4	
F8	29		A	M	8.4	Z-S	2	0.3	
F8	29		A	B	4.3	Z-S	2	0.4	
F8	29		A	M	21.6	Z-S	2	0.4	
F8	29		A	M	7.4	Z-S	2	0.3	
F8	29		A	B	6.3	Z-S	2	0.1	
F8	29		A	M	4.4	Z-S	2	0.2	
F8	29		A	M	4.7	Z-S	2	0.2	
F8	29		A	M	18.2	Z-S	2	0.3	
F8	29		A	B	5.5	Z-S-Z	12	1.5	
F8	29		A	M	17.2	Z-S	2	0.3	
F8	29		A	M	14.4	Z-S	2	0.2	
F8	29		A	M	11.4	Z-S	2	0.4	
F8	29		A	M	5.9	Z-S	2	0.5	
F8	29		A	B	8.7	Z-S	2	0.5	
F8	29		A	B	9.2	Z-S	2	0.4	
F8	29		A	M	7.9	Z-S	2	0.4	
F8	29		A	B	7.4	Z-S	2	0.2	
F8	29		A	M	10.9	Z-S	2	0.4	
F8	29		A	M	3.4	Z-S	2	0.2	
F8	29		A	B	8.5	Z-S	2	0.3	
F8	29		A	M	8.3	Z	1	0.9	
F8	29		A	B	6.5	Z-S	2	0.3	
F8	29		A	M	7.5	Z-S	2	0.2	
F8	29		A	B	3.6	Z-S-Z	4	0.7	
F8	29		A	B	9.9	Z-S-Z	4	0.3	
F8	29		A	B	4	Z-S	6	0.9	
F8	29		A	M	12.7	Z-S	2	0.4	
F8	29		A	M	25	Z-S	5	0.8	
F8	29		A	B	17.8	Z-S	2	0.4	Tiene dos nudos múltiples
F8	29		A	B	9.2	Z-S	2	0.6	
F8	29		A	M	6.7	Z-S	2	0.3	
F8	29		A	B	11.9	Z-S	2	0.5	

Unidad	Estrato	Nivel	Fibra	Color	Largo (cm)	Torsión	N° Cabos	Grosor (mm)	Observaciones
F8	29		A	B	7	Z-S	2	0.3	
F8	29		A	M	8	Z-S	2	0.2	
F8	29		A	M	9.6	Z-S	2	0.4	
F8	29		A	M	10.9	Z-S	2	0.6	
F8	29		A	M	6.6	Z-S	2	0.3	
F8	29		A	M	4.7	Z-S	2	0.2	
F8	29		A	M	6.6	Z-S	2	0.5	
F8	29		A	M	5.9	Z-S	2	0.3	
F8	29		A	B	6.7	Z-S	2	0.3	
F8	29		A	B	3	Z-S	2	0.2	
F8	29		A	M	3.6	Z-S	2	0.1	
F8	29		A	M	5.7	Z-S	2	0.3	
F8	29		A	B	4.9	Z-S	2	0.3	
F8	29		A	B	12.6	Z-S	2	0.3	
F8	29		A	B	3.8	Z-S	2	0.2	
1	29		A	B	9.1	Z-S-Z	13	1.6	Tiene un nudo simple
1	29		A	M	22.4	Z-S	2	0.3	
1	29		A	B	7.4	Z	1	0.1	
1	29		A	M	10.2	Z-S	2	0.3	
1	29		A	M	2.6	Z-S	2	0.2	
1	29		A	M	6.2	Z-S	2	0.3	
1	29		A	M	14.1	Z-S	2	0.6	
1	29		A	B	7.9	Z-S	2	0.2	
1	29		A	M	8.1	Z-S	2	0.3	
1	29		A	B	5.8	Z-S	2	0.6	
1	29		A	B	5.2	Z-S-Z	10	1.4	
1	29		A	M	6.3	Z-S	2	0.5	
1	29		A	B	4.4	Z-S-Z	10	1.1	Tiene un nudo simple
1	29		A	B		Z-S	2	0.1	Ovillo
1	30		A	B	20.9	Z-S-Z	8	1.2	
1	30		A	B	4.4	Z-S	2	0.4	
1	30		A	B	6.7	Z-S	2	0.3	
1	30		A	B	6.4	Z-S-Z	10	1.2	
1	30		A	B	6.2	Z-S	2	0.2	
1	30		A	B	6.2	Z-S	2	0.4	
1	30		A	B	3.7	Z-S	2	0.4	
1	30		A	B	12.7	Z-S	2	0.3	
1	30		A	B	13.4	Z-S	3	0.4	
1	30		A	B	8	Z-S	6	0.7	
1	30		A	B	8.8	Z-S	2	0.3	
1	30		A	B	5	Z-S	2	0.4	
1	30		A	B	5.3	Z-S	2	0.3	
1	30		A	B	9.5	Z-S	2	0.4	
1	30		A	B	10.5	Z-S	2	0.3	

Unidad	Estrato	Nivel	Fibra	Color	Largo (cm)	Torsión	N° Cabos	Grosor (mm)	Observaciones
1	30		A	B	7	Z-S	2	0.2	
1	30		A	B	2.7	Z-S	2	0.3	
1	30		A	B	34	Z-S	2	0.4	
1	30		A	B	9.2	Z-S-Z	4	0.7	
1	30		A	B	2.4	Z-S-Z	8	1.8	Tiene un nudo múltiple
1	30		A	B	7.9	Z-S	2	0.5	
1	30		A	B	6.6	Z-S	2	0.3	
1	30		A	B	1.5	Z-S	2	0.3	
1	30		A	B	4.2	Z-S-Z	12	1.1	
1	30		A	B	7.6	Z-S-Z	4	0.6	
1	30		A	B	13.8	Z-S	2	0.7	
1	30		A	B	2.1	Z-S	2	0.4	
1	30		A	B	5	Z-S-Z	8	1.1	
1	30		A	B	7.8	Z-S	2	0.5	
1	30		A	B	2.2	Z-S	2	0.3	
1	30		A	B	6.8	Z-S	2	0.3	
1	30		A	B	4	Z-S	2	0.4	
1	30		A	B	4.3	Z-S	2	0.4	
1	30		A	B	10	Z-S	2	0.3	
1	30		A	B	4.2	Z-S	2	0.2	
1	30		A	B	2.2	Z-S	2	0.4	
1	30		A	B	6.7	Z-S	2	0.3	
1	30		A	B	5.8	Z-S	2	0.3	
1	30		A	B	3	Z-S	2	0.2	
1	30		A	B	8.8	Z-S	2	0.2	Tiene un nudo múltiple
1	30		A	B	3.9	Z-S	4	0.3	
1	30		A	B	10.2	Z-S	2	0.3	
1	30		A	B	3	Z-S-Z	10	0.9	
1	30		A	B	4.7	Z-S	2	0.2	
1	30		A	B	6.6	Z-S	2	0.5	
1	30		A	B	20.4	Z-S	2	0.2	
1	30		A	B	15.7	Z-S	2	0.3	
1	30		A	B	7.2	Z-S-Z	12	1.5	
1	30		A	B	11.4	Z-S	2	0.4	
1	30		A	B	16	Z-S	2	0.3	
1	30		A	B	4	Z-S	2	0.3	
1	30		A	B	6.4	Z-S	2	0.4	
1	30		A	B	4.5	Z-S	2	0.4	
1	30		A	B	6.3	Z-S	2	0.2	
1	30		A	B	4.2	Z-S	2	0.5	
1	30		A	B	7	Z-S	2	0.3	
1	30		A	B	5.9	Z-S	2	0.2	
1	30		A	B	3.2	Z-S	2	0.2	
1	30		A	B	2.6	Z-S-Z	6	1.1	

Unidad	Estrato	Nivel	Fibra	Color	Largo (cm)	Torsión	N° Cabos	Grosor (mm)	Observaciones
1	30		A	B	5.8	Z-S	2	0.2	
1	30		A	B	4.5	Z-S	2	0.5	
1	30		A	B	2.8	Z-S	2	0.2	
1	30		A	B	3.5	Z-S	2	0.2	
1	30		A	B	5	Z-S	2	0.2	
1	30		A	B	4.3	Z-S	2	0.2	
1	30		A	B	6.3	Z-S	2	0.4	
1	30		A	B	3.6	Z-S	2	0.2	
1	30		A	B	6.4	Z-S	3	0.4	
1	30		A	B	4.3	Z-S	2	0.2	
1	30		A	B	5.2	Z-S	2	0.3	
1	30		A	B	5.3	Z-S	2	0.2	
1	30		A	B	5.8	Z-S	2	0.1	
1	30		A	B	1.9	Z-S	2	0.2	
1	30		A	B	2.6	Z-S	2	0.3	
1	30		A	B	2.8	Z-S	2	0.2	
1	30		A	B	2.4	Z-S	2	0.4	
1	30		A	B	3.3	Z-S	2	0.2	
1	30		A	B	1.6	Z-S	2	0.3	
1	30		A	B	4.5	Z-S	2	0.2	
1	30		A	B	2.6	Z-S	2	0.2	
1	30		A	B	3.2	Z-S	2	0.2	
1	30		A	B	2.1	Z-S	2	0.3	
1	30		A	B	2.4	Z-S	2	0.3	
1	30		A	B	4.4	Z-S	2	0.2	
1	30		F	R	3	Z-S	2	0.4	Prueba de combustión
1	30		F	R	6	Z-S	2	0.5	Prueba de combustión. Tiene un nudo simple.
1	31		A	B	4.7	Z-S-Z	6	1.5	Tiene un nudo quintuple
1	31		A	M	4.4	Z-S	2	0.5	
1	31		A	M	6.8	Z-S	2	.5-1	
1	31		A	M	10.8	Z-S	2	.5-2	
1	31		A	B	9	Z-S	2	1-2	
1	31		A	B	7.9	Z-S	2	1.5	
1	31		A	B	8.3	Z-S	4	1.5-2	
1	31		A	B	12.9	Z-S	2	1	
1	31		A	B	24.5	Z-S	2	1-1.5	Tiene dos nudos nudos simples en un extremo y uno final en otro
1	31		A	B	7	Z-S	2	.5-1	Tiene un nudo simple
1	31		A	B	10.4	Z-S	2	1	Está en dos partes
1	31		A	M	7.7	Z-S	2	1	
1	31		A	B	21	Z-S	4	1-2	

Unidad	Estrato	Nivel	Fibra	Color	Largo (cm)	Torsión	N° Cabos	Grosor (mm)	Observaciones
1	31		A	B	16.8	Z-S	2	1-1.5	
1	31		A	M	14.4	Z-S	2	1-1.5	
1	31		A	B	45.4	Z		1	Está cerrado por un nudo simple
1	31		A	B	7.6	Z-S-Z	10	2	Tiene un nudo simple en un extremo
1	31		A	B	6.9	Z-S-Z	6	1.5	
1	31		A	B	13.3	Z-S	3	2-4	
1	31		A	B	8.3	Z-S	2	1.5-2.5	
1	31		A	B	10	Z-S-Z	5	1	
1	31		A	M	4.7	Z-S	2	1-1.5	
1	31		A	M	6	Z-S	2	1	
1	31		A	B	12	Z-S	2	1	
1	31		A	M	9.8	Z-S	2		
1	31		A	M	5.4	Z-S	2	1	
1	31		A	M	6.2	Z-S	2	1-1.5	
1	31		A	M	4.9	Z-S	2	1-1.5	
1	31		A	M	11.4	Z-S	2	1	
1	31		A	B	10.7	Z-S	2	1	
1	31		A	B	4.7	Z-S	2	.5	
1	31		A	M	7.3	Z-S	2	1	
1	31		A	M	6.5	Z-S	2	1-1.5	
1	31		A	M	12.9	Z-S	2	1-1.5	
1	31		A	M	15.1	Z-S	2	.5	
1	31		A	B	12.2	Z-S	2	1	
1	31		A	M	13	Z-S	2	1-2	
1	31		A	M	18.4	Z-S	2	1-2	
1	31		V	M	22.6		1	4	Está cerrado por un nudo simple
1	32		A	B	8.9	Z-S-Z	8	1.1	Tiene dos nudos simples
1	32		A	B	21.4	Z-S	2	0.3	
1	32		A	B	7.9	Z-S-Z	8	0.8	
1	32		A	B	24.5	Z-S	2	0.4	
1	32		A	B	16.2	Z-S-Z	6	0.6	
1	32		A	B	10	Z-S	2	0.3	
1	32		A	B	25.3	Z-S	2	0.6	
1	32		A	B	2.8	Z-S	2	0.3	
1	32		A	B	7.4	Z-S	2	0.2	
1	32		A	B	16.5	Z-S	2	0.4	
1	32		A	B	4.2	Z-S	2	0.2	
1	32		A	B		Z-S	2	0.1	Ovillo
1	32		A	B	4.7	Z-S	2	0.4	
1	32		A	B	9.2	Z-S	2	0.1	

Unidad	Estrato	Nivel	Fibra	Color	Largo (cm)	Torsión	N° Cabos	Grosor (mm)	Observaciones
1	32		A	B	10.3	Z-S	12	0.6	
1	32		A	B		Z-S	4	0.2	Ovillo
1	32		A	B	8.2	Z-S	10	0.5	
1	37		A	B	12.4	Z-S	2	1	
1	37		A	B	1.9	Z-S	2	.5	
1	37		A	B	3	Z-S	2	.5	
1	38		A	B	10.3	Z-S	2	0.6	
1	39/40		A	B	4.7	S	1	0.1	
1	39/40		A	B	0.9	Z-S	2	0.3	
1	39/40		A	B	1.2	Z-S	2	0.3	
F6	sobre estéril		A	B	7.7	Z-S	2	0.2	
F6	sobre estéril		A	B	21.2	Z-S	2	0.3	
F6	sobre estéril		A	B	17.4	Z-S	2	0.3	

Hilos del sitio de Karwa:

Sector	Unidad	Estrato	Nivel	Fibra	Color	Largo (cm)	Torsión	N° Cabos	Grosor (mm)	Observaciones
P1	C1	10		A	M	2.7	Z-S-Z	10	0.92	
P1	C1	10		A	M	2.9	Z-S-Z	10	0.95	Tiene un nudo simple
P1	C1	10		A	M	5.8	Z-S-Z	16	1.53	
P1	C1	10		A	M	5.5	Z-S-Z	10	1.02	Tiene dos nudos simples
P1	C1	10		A	B	22.6	Z-S-Z	4	0.44	
P1	C1	10		A	B	12.5	Z-S-Z	8	0.91	Tiene un nudo simple
P1	C1	10		A	G	4	Z-S	2	0.31	
P1	C1	10		A	B	54	Z-S-Z	4	0.5	
P1	C1	10		A	B	6.4	Z-S	2	0.18	
P1	C1	10		A	B	1.8	Z-S	2	0.27	
P1	C1	10		A	B	49	Z-S	2	0.35	
P1	C1	10		A	M	19.6	Z-S	2	0.29	
P1	C1	10		A	M	10.8	Z-S	2	0.43	
P1	C1	10		A	M	15	Z-S	2	0.32	
P1	C1	10		A	M	9.6	S	2	0.37	
P1	C1	10		A	M	10.4	Z-S	2	0.2	
P1	C1	10		A	M	2.5	Z-S	2	0.18	
P1	C1	10		A	M	2.7	Z-S-Z	8	0.53	Tiene dos nudos simples
P1	C1	10		A	M	6.9	Z-S	5	0.56	
P1	C1	10		A	B	8.6	Z-S-Z	6	0.84	
P1	C1	10		A	M	9.5	Z-S	5	0.5	
P1	C1	10		A	M	2.5	Z-S	2	0.29	
P1	C1	10		A	M	3	Z-S-Z	10	1.01	
P1	C1	10		A	M	3	Z-S-Z	10	1.12	

Sector	Unidad	Estrato	Nivel	Fibra	Color	Largo (cm)	Torsión	N° Cabos	Grosor (mm)	Observaciones
P1	C1	10		A	B	33	Z-S	2	0.18	
P1	C1	10		A	M	8.4	Z-S-Z	6	0.86	
P1	C1	10		A	M	8.3	Z-S	2	0.25	
P1	C1	10		A	M	3	Z-S-Z	10	0.84	
P1	C1	10		A	B	6.8	Z-S-Z	10	1.18	
P1	C1	10		A	B	1.8	Z-S-Z	10	1.05	
P1	C1	10		A	B	7.2	Z-S	16	0.99	Tiene un nudo múltiple
P1	C1	10		A	B	3.2	Z-S	2	0.2	
P1	C1	10		A	B	4.3	Z-S-Z	5	0.29	
P1	C1	10		A	M	8.5	Z-S	2	0.39	
P1	C1	10		A	B	4.8	Z-S	2	0.23	
P1	C1	10		A	B	7.1	Z-S	4	0.33	
P1	C1	10		A	B	34.6	Z-S	2	0.31	Tiene un nudo simple
P1	C1	10		A	B	53	Z-S	2	0.26	
P1	C1	10		A	B	6.3	Z-S	2	0.26	
P1	C1	10		C.H.	M	9.8	Z-S	2	0.31	
P1	C1	10		A	B	8.2	Z-S	2	0.15	
P1	C1	10		A	B	13.3	Z-S	2	0.18	
P1	C1	10		A	B	3.8	Z-S	3	0.54	
P1	C1	10		A	B	4.1	Z-S	2	0.2	
P1	C1	10		A	B	19.7	Z-S	2	0.17	
P1	C1	10		A	M	10.5	Z-S	2	0.43	
P1	C1	10		A	M	9.6	Z-S	2	0.43	
P1	C1	10		A	B	1.2	Z-S-Z	8	1.07	
P1	C1	10		A	B	22.2	Z-S	2	0.21	
P1	C1	10		A	M	6	Z-S	2	0.26	
P1	C1	10		A	M	6	Z-S	2	0.16	
P1	C1	10		A	B	5	Z	1	0.18	
P1	C1	10		A	M	10.4	Z-S-Z	6	1.14	
P1	C1	10		A	M	3	Z-S	2	0.51	
P1	C1	10		A	B	7.8	Z-S	2	0.26	
P1	C1	10		A	B	15	Z-S-Z	12	0.98	
P1	C1	10		A	B	9.2	Z-S	6	0.82	
P1	C1	10		A	B	7.5	Z-S	2	0.23	
P1	C1	10		A	B	6.5	Z-S	2	0.27	
P1	C1	10		A	B	5.8	Z-S	2	0.23	
P1	C1	10		A	M	1.2	Z-S-Z	4	0.36	Tiene un nudo simple
P1	C1	10		A	B	11.2	Z-S-Z	6	0.56	
P1	C1	10		A	B	11	Z-S	2	0.22	
P1	C1	10		A	M	3.4	Z-S	6	0.47	
P1	C1	10		A	M	4	Z-S	2	0.44	
P1	C1	10		A	B	8.7	Z-S	2	0.19	
P1	C1	10		A	B	9	Z-S-Z	4	0.46	

Sector	Unidad	Estrato	Nivel	Fibra	Color	Largo (cm)	Torsión	N° Cabos	Grosor (mm)	Observaciones
P1	C1	10		A	B	15.5	Z-S-Z-Z	12	1.19	
P1	C1	10		A	B	9.3	Z-S	4	0.37	
P1	C1	10		A	M	2.9	Z-S-Z	10	0.7	Tiene un nudo simple
P1	C1	10		A	B	31.3	Z-S-Z	4	0.3	
P1	C1	10		A	M	7.7	Z-S-Z	16	1.52	
P1	C1	10		A	M	1.6	Z-S	2	0.22	
P1	C1	10		A	B	39.7	Z-S	3	0.39	
P1	C1	10		A	M	27.2	Z-S	3	0.42	
P1	C1	10		A	B	7.2	Z-S	2	0.33	
P1	C1	10		A	B	5.2	Z-S-Z	4	0.59	
P1	C1	10		A	B	2.5	Z-S	2	0.25	
P1	C1	10		A	B	21	Z-S	2	0.31	
P1	C1	10		A	M	4	Z-S-Z	10	0.99	Tiene un nudo simple
P1	C1	10		A	B	5.7	Z-S	2	0.45	
P1	C1	10		A	M	4.3	Z-S	2	0.16	
P1	C1	10		A	B	12.2	Z-S	2	0.2	
P1	C1	10		A	B	9.4	Z-S	2	0.12	
P1	C1	10		A	M	6.5	Z-S-Z	6	0.58	
P1	C1	10		A	M	2.5	Z-S	2	0.35	
P1	C1	10		A	M	5.5	Z-S	4	0.45	
P1	C1	10		A	B	5	Z-S-Z	4	0.34	
P1	C1	10		A	B	5	Z-S-Z	10	0.81	Tiene un nudo simple
P1	C1	10		A	B	10.5	Z-S	2	0.23	
P1	C1	10		A	B	10	Z-S-Z	10	0.51	
P1	C1	10		A	B	5.5	Z-S	2	0.31	
P1	C1	10		A	B	3	Z-S-Z	10	1.09	
P1	C1	10		A	B	7.7	Z-S	2	0.27	
P1	C1	10		A	M	8.7	Z-S	2	0.25	
P1	C1	10		A	B	16	Z	1	0.17	
P1	C1	10		A	B	9	Z-S-Z	8	0.72	
P1	C1	10		A	B	5.3	Z-S	2	0.24	
P1	C1	10		A	M	8.7	Z-S	2	0.24	
P1	C1	10		A	M	7.9	Z-S	2	0.31	
P1	C1	10		A	B	6.2	Z-S	2	0.23	
P1	C1	10		A	B	6.5	Z-S	2	0.38	
P1	C1	10		A	M	4.2	Z-S	2	0.21	
P1	C1	10		A	B	8.2	Z-S	2	0.18	
P1	C1	10		A	B	9.3	Z-S	2	0.24	
P1	C1	10		V	M	19	Z	2	8.84	Tiene un nudo simple
P1	C1	10		V	M	8	Z	2	7.22	
P1	C1	13		A	M	2.2	Z-S-Z	4	0.39	
P1	C1	13		A	M	5.4	Z-S-Z	4	0.52	

Sector	Unidad	Estrato	Nivel	Fibra	Color	Largo (cm)	Torsión	N° Cabos	Grosor (mm)	Observaciones
P1	C1	13		A	M	9	Z-S-Z	4	0.41	
P1	C1	13		A	B	8	Z-S-Z	20	1.29	
P1	C1	13		A	B	4.5				Algodón sin trabajar anudado
P1	C1	13		A	B	4				Algodón sin trabajar anudado
P1	C1	15		A	B	12.3	Z-S	4	0.5	
P1	C1	15		A	B	4.5	Z-S-Z	4	0.47	
P1	C1	15		A	B	4.1	Z-S-Z	4	0.5	
P1	C1	15		A	B	6.8	Z-S	2	0.24	Tiene un nudo simple
P1	C1	15		A	B	4	Z-S	2	0.18	
P1	C1	15		A	B	4	Z-S	2	0.28	
P1	C1	15		A	B	3.2	Z-S-Z	4	0.51	
P1	C1	15		A	B	7.8	Z-S-Z	6	0.64	
P1	C1	15		A	B	9	Z-S-Z	4	0.52	
P1	C1	15		A	B	8.5	Z-S	2	0.27	
P1	C1	15		A	B	4.3	Z-S-Z	4	0.47	
P1	C1	15		A	B	6.9	Z-S	2	0.23	
P1	C1	15		A	B	3.9	Z-S	2	0.28	
P1	C1	15		A	B	4.4	Z-S	2	0.39	
P1	C1	15		A	B	4.8	Z-S	2	0.19	
P1	C1	15		A	B	2.1	Z-S-Z	4	0.45	
P1	C1	15		A	B	2.1	Z-S	2	0.2	
P1	C1	15		C	A	2.5	Z-S	2	0.37	
P1	C1	17		A	B	8.5	Z-S	2	0.19	
P1	C1	17		A	B	4.7	Z-S	2	0.12	
P1	C1	17		A	B	5.2	Z-S	2	0.17	
P1	C1	17		A	B	28	Z-S	2	0.22	
P1	C1	17		A	B	8	Z-S	2	0.21	Tiene un nudo simple
P1	C1	17		A	B	15.5	Z-S-Z	4	0.27	
P1	C1	17		A	B	4	Z	1	0.23	
P1	C1	17		A	B	2.8	Z	1	0.19	
P1	C1	17		A	B	8	Z-S	2	0.21	
P1	C1	17		A	M	2.7	Z	1	0.19	
P1	C1	17		A	M	6.2	Z-S	3	0.3	
P1	C1	17		A	M	6	Z-S	2	0.27	
P1	C1	17		A	M	5	Z	1	0.27	
P1	C1	17		A	M	4.5	Z	1	0.2	
P1	C1	17		A	M	19	Z	1	0.22	
P1	C1	20		A	B	5.4	Z-S	2	0.16	
P1	C1	20		A	B	6	Z-S	2	0.25	
P1	C1	20		A	B	6.2	Z-S	2	0.3	
P1	C1	20		A	B	3.7	Z-S-Z	4	0.25	

Sector	Unidad	Estrato	Nivel	Fibra	Color	Largo (cm)	Torsión	N° Cabos	Grosor (mm)	Observaciones
P1	C1	20		A	B	2.5	Z-S-Z	10	0.81	
P1	C1	20		A	B	1.4	Z-S	2	0.14	
P1	C1	20		A	B	2.2	Z-S-Z	12	0.93	Tiene un nudo simple
P1	C1	20		C	A	7.4	Z-S	2	0.15	
P1	C1	20		C	A	3.2	Z-S	2	0.18	
P1	C1	23		A	B	7.1	Z-S	3	0.42	
P1	C1	23		A	B	7.8	Z-S	3	0.44	
P1	C1	23		A	B	5.7	Z-S	2	0.2	
P1	C1	23		A	B	4.6	Z-S	2	0.19	
P1	C1	23		A	B	4.8	Z	1	0.16	
P1	C1	23		A	B	2.5	Z-S	2	0.36	
P1	C1	23		A	B	4.8	Z-S	2	0.27	
P1	C1	23		A	B	10.4	Z-S	2	0.28	
P1	C1	23		A	B	8.3	Z-S	3	0.42	
P1	C1	23		A	B	3.1	Z-S	2	0.4	
P1	C1	23		A	B	6.9	Z-S	2	0.25	
P1	C1	23		A	B	9.3	Z-S-Z	6	0.37	
P1	C1	23		A	B	2.4	Z-S	2	0.31	
P1	C1	23		A	B	9.5	Z-S	3	0.43	
P1	C1	23		A	B	2.8	Z-S	2	0.22	
P1	C1	23		A	B	3.5	Z-S	2	0.24	
P1	C1	23		A	B	4.1	Z-S	2	0.26	
P1	C1	23		A	B	3.4	Z-S	2	0.33	
P1	C1	23		A	B	1.4	Z-S	2	0.23	
P1	C1	23		A	B	2.5	Z-S	2	0.34	
P1	C1	23		A	B	1.8	Z-S	2	0.23	
P1	C1	23		A	B	12.1	Z-S	2	0.21	
P1	C1	23		A	B	18.7	Z-S	2	0.3	
P1	C1	23		A	B	6	Z-S	2	0.23	
P1	C1	23		A	B	4.2	Z-S	2	0.24	
P1	C1	23		A	B	4.1	Z-S	2	0.17	
P1	C1	23		A	B	3.3	Z-S	2	0.23	
P1	C1	23		A	B	5.9	Z-S	2	0.26	
P1	C1	23		A	B	3	Z-S	2	0.19	
P1	C1	23		A	B	3.8	Z-S	2	0.21	
P1	C1	23		A	B	1.7	Z-S	2	0.32	
P1	C1	23		A	B	4.8	Z-S	2	0.22	
P1	C1	23		A	B	8.3	Z-S	3	0.38	
P1	C1	23		A	B	8.4	Z-S	2	0.33	
P1	C1	23		A	B	5	Z-S	2	0.19	
P1	C1	23		A	B	4.4	Z-S	4	0.31	
P1	C1	23		A	B	1.7	Z-S	2	0.37	
P1	C1	23		A	B	14.2	Z-S	2	0.23	

Sector	Unidad	Estrato	Nivel	Fibra	Color	Largo (cm)	Torsión	N° Cabos	Grosor (mm)	Observaciones
P1	C1	23		A	B	7.4	Z-S-Z-Z	12	1.02	
P1	C1	23		A	B	5.7	Z-S-Z	4	0.41	
P1	C1	23		A	B	8.3	Z-S	2	0.32	
P1	C1	23		A	B	13.4	Z-S-Z-Z	12	1.05	
P1	C1	23		A	B	5.5	Z-S-Z	4	1.18	
P1	C1	23		A	B	1.6	Z-S	2	0.32	
P1	C1	23		A	B	4	Z-S	2	0.33	
P1	C1	23		A	B	4.3	Z-S	3	0.35	
P1	C1	23		A	B	1.3	Z-S-Z	8	0.96	
P1	C1	23		A	B	4.1	Z-S	2	0.26	
P1	C1	23		A	B	4.1	Z-S	2	0.15	
P1	C1	23		A	B	2.6	Z-S	2	0.21	
P1	C1	23		A	B	2.6	Z-S	2	0.31	
P1	C1	23		A	B	1.6	Z-S	2	0.23	
P1	C1	23		A	B	2.4	Z-S	2	0.39	
P1	C1	23		A	B	1.2	Z-S	2	0.17	
P1	C1	23		A	B	6.7	Z-S	2	0.25	
P1	C1	23		A	B	2.8	Z-S	2	0.21	
P1	C1	23		A	B	2.6	Z-S	2	0.17	
P1	C1	23		A	B	5	Z-S	2	0.16	
P1	C1	23		A	B	7.2	Z-S	2	0.25	
P1	C1	23		A	M	4.1	Z-S	2	0.2	
P1	C1	23		A	M	7.5	Z-S	2	0.25	
P1	C1	23		A	M	6.1	Z-S	2	0.25	
P1	C1	23		A	M	7.2	Z-S	2	0.21	
P1	C1	23		A	M	3.6	Z-S	2	0.27	
P1	C1	23		A	M	3.9	Z-S	2	0.15	
P1	C1	23		A	M	3.5	Z-S	2	0.23	
P1	C1	23		A	M	2.2	Z-S	2	0.21	
P1	C1	23		A	M	2.4	Z-S	4	0.36	Tiene un nudo simple
P1	C1	23		A	M	3.2	Z-S	2	0.17	
P1	C1	23		A	M	5.3	Z-S	2	0.23	
P1	C1	23		A	M	4.9	Z-S	2	0.29	
P1	C1	23		A	M	4	Z-S	2	0.29	
P1	C1	23		A	M	3.5	Z-S	2	0.17	
P1	C1	23		A	M	2.2	Z-S	2	0.27	
P1	C1	23		A	M	2.3	Z-S	2	0.21	
P1	C1	23		A	M	3.5	Z-S	2	0.22	
P1	C1	23		A	M	5.3	Z-S	2	0.19	
P1	C1	23		A	M	2.5	Z-S	2	0.2	
P1	C1	Sup. De piso		A	B	4	Z-S	2	0.26	
P1	C1	Sup. De piso		A	B	12.8	Z-S-Z	4	0.31	
P1	C1	Sup. De piso		A	B	5.7	Z-S	2	0.28	

Sector	Unidad	Estrato	Nivel	Fibra	Color	Largo (cm)	Torsión	N° Cabos	Grosor (mm)	Observaciones
P1	C1	Sup. De piso		A	B	4.8	Z-S	2	0.18	
P1	C1	Sup. De piso		A	B	3	Z-S	2	0.31	
P1	C1	Sup. De piso		A	B	6.1	Z-S	2	0.33	
P1	C1	Sup. De piso		A	B	1.5	Z-S	2	0.27	
P1	C1	Sup. De piso		A	B	4	Z	1	0.21	
P1	C1	Sup. De piso		A	B	4.2	Z-S	2	0.26	
P1	C1	Sup. De piso		A	B	3.8	Z	1	0.17	
P1	C1	Sup. De piso		A	B	2.2	Z-S	6	0.9	
P1	C1	Sup. De piso		A	B	2.5	Z-S	2	0.25	
P1	C1	Sup. De piso		A	B	1.6	Z	1	0.17	
P1	C1	Sup. De piso		A	B	1.8	Z	1	0.29	
P1	C1	50		A	B	2	Z-S-Z	8	0.44	
P1	C1	50		A	B	2.8	Z-S	2	0.25	
P1	C1	50		A	B, M	5.2	Z-S-Z	4	0.55	
P1	C1	51		V	M	12	Z	2	0.75	
P1	C1	51		V	M	7	Z	2	0.52	
P1	C1	51		A	B	5.5	Z-S	4	0.26	
P1	C1	51		A	B	7.1	Z-S-Z	12	0.94	
P1	C1	51		A	B	6.2	Z-S	2	0.24	
P1	C1	53		A	M	2	Z	1	0.17	
P1	C1	53		A	M	2.2	Z	1	0.13	
P1	C1	53		A	M	2.4	Z	1	0.18	
P1	C2	0		A	B	2.5	Z-S	2	0.21	
P1	C2	0		A	B	3.4	Z-S	2	0.22	
P1	C2	0		A	B	4	Z-S	2	0.39	
P1	C2	1	1	A	B	12.7	Z-S-Z	8	1.02	
P1	C2	1	1	A	B	16	Z	1	0.12	
P1	C2	1	1	A	B	17	Z-S-Z	6	0.58	
P1	C2	1	1	A	B	16.5	Z-S	2	0.31	
P1	C2	1	1	A	B	5.2	Z-S	2	0.35	
P1	C2	1	1	A	B	3.1	Z-S	2	0.42	
P1	C2	1	1	A	B	2.1	Z-S	2	0.35	
P1	C2	1	1	A	B	7.8	Z-S	2	0.34	
P1	C2	1	1	A	B	4.3	Z-S	2	0.24	
P1	C2	1	1	A	B	6	Z-S	2	0.3	
P1	C2	1	1	A	B	10.2	Z-S	2	0.5	
P1	C2	1	1	A	B	5.7	Z-S	2	0.46	
P1	C2	1	1	A	B	18.2	Z-S	2	0.39	
P1	C2	1	1	A	B	5.5	Z-S	2	0.48	
P1	C2	1	1	A	B	2.6	Z-S	2	0.31	
P1	C2	1	1	A	B	4.7	Z-S	2	0.1	
P1	C2	1	1	A	B	3.2	Z-S	2	0.16	
P1	C2	1	1	A	B	2.3	Z-S	2	0.27	
P1	C2	1	1	A	B	2.1	Z-S	2	0.23	

Sector	Unidad	Estrato	Nivel	Fibra	Color	Largo (cm)	Torsión	N° Cabos	Grosor (mm)	Observaciones
P1	C2	1	1	A	B	4.3	Z-S	2	0.16	
P1	C2	1	1	A	B	8.1	Z-S	2	0.23	
P1	C2	1	1	A	B	23.1	Z-S	2	0.23	
P1	C2	1	1	A	B	2	Z-S	2	0.17	
P1	C2	1	1	A	B	15.7	Z	1	0.14	
P1	C2	1	1	A	B	20	Z	1	0.19	
P1	C2	1	1	A	B	8.7	Z-S	2	0.23	
P1	C2	1	1	A	B	2.9	Z-S	2	0.41	
P1	C2	1	1	A	B	2.4	Z-S	2	0.36	
P1	C2	1	1	A	B	2.5	Z	1	0.14	
P1	C2	1	1	A	B	4.7	Z	1	0.13	
P1	C2	1	2	V	M	24	Z	2	8.33	Tiene un nudo doble
P1	C2	1	2	A	B		Z-S	2	0.18	Ovillo
P1	C2	1	2	A	B	17.6	Z-S-Z	6	0.74	
P1	C2	1	2	A	B,M	8.1	Z-S-Z	6	0.57	
P1	C2	1	2	A	B	2.8	Z-S	2	0.27	
P1	C2	1	2	A	B	3.7	Z-S	2	0.4	
P1	C2	1	2	A	B	3.5	Z-S	2	0.29	
P1	C2	1	2	A	B	2.8	Z-S	2	0.33	
P1	C2	1	2	A	B	5.8	Z-S	2	0.2	
P1	C2	1	2	A	B	6	Z-S-Z	4	0.37	
P1	C2	1	2	A	B	3.4	Z-S-Z	6	1.05	
P1	C2	1	2	A	B	13.5	Z-S-Z	4	0.44	
P1	C2	1	2	V	M	25.3	Z-S	2	0.33	
P1	C2	1	2	A	B	2.2	Z-S	2	0.38	
P1	C2	1	2	A	B	9	Z-S	2	0.3	
P1	C2	1	2	A	B	3.2	Z-S-Z	10	1.12	
P1	C2	1	2	A	B	9	Z-S	2	0.4	
P1	C2	1	2	A	B	5.5	Z-S	2	0.22	
P1	C2	1	2	A	B	3.7	Z-S	2	0.21	
P1	C2	1	2	A	B	4.8	Z-S	2	0.19	
P1	C2	1	2	A	B	2	Z-S	2	0.32	
P1	C2	1	2	A	B	1.3	Z-S-Z	12	1.04	Tiene un nudo simple
P1	C2	1	2	A	B	2.5	Z-S	2	0.21	
P1	C2	1	2	A	B	2.3	Z-S	2	0.28	
P1	C2	1	2	A	B	2	Z-S	2	0.37	
P1	C2	1	2	A	B	12.5	Z-S	2	0.25	
P1	C2	1	2	A	B	5.7	Z-S	2	0.27	
P1	C2	1	2	A	B	8.8	Z-S	2	0.22	
P1	C2	1	2	A	B	12.9	Z-S	2	0.38	
P1	C2	1	2	A	B	4.7	Z-S	2	0.33	
P1	C2	1	2	A	B	9.5	Z-S	2	0.29	
P1	C2	1	2	A	B	9.1	Z-S	2	0.33	

Sector	Unidad	Estrato	Nivel	Fibra	Color	Largo (cm)	Torsión	N° Cabos	Grosor (mm)	Observaciones
P1	C2	1	2	A	B	5.6	Z-S	2	0.38	
P1	C2	1	2	A	B	2.2	Z-S	2	0.18	
P1	C2	1	2	A	B	1.3	Z-S	2	0.27	
P1	C2	1	2	A	B	2.3	Z-S	2	0.34	
P1	C2	1	2	A	B	3	Z-S	2	0.27	
P1	C2	1	2	A	B	2.2	Z-S	2	0.16	
P1	C2	1	2	A	B	3	Z-S	2	0.31	
P1	C2	1	2	A	B	4.4	Z-S	8	0.81	
P1	C2	1	2	A	B	14.7	Z-S	2	0.27	
P1	C2	1	2	A	B	8.6	Z-S	2	0.31	
P1	C2	1	2	A	B	5.6	Z-S	2	0.29	
P1	C2	1	2	A	B	4.7	Z-S	2	0.24	
P1	C2	1	2	A	B	4.7	Z-S	2	0.2	
P1	C2	1	2	A	B	5	Z-S	2	0.22	
P1	C2	1	2	A	B	1.6	Z-S	2	0.37	
P1	C2	1	2	A	B	2.4	Z-S	2	0.2	
P1	C2	1	2	A	B	1.5	Z-S	2	0.28	
P1	C2	1	2	A	B	37	Z-S	3	0.52	Tiene un nudo múltiple
P1	C2	1	2	A	B	58	Z-S	3	0.26	
P1	C2	1	2	A	B	4.3	Z-S	2	0.25	
P1	C2	1	2	A	B	13.5	Z-S	2	0.34	
P1	C2	1	2	A	B	4.5	Z-S	2	0.23	
P1	C2	1	2	A	B	14.4	Z-S	2	0.38	
P1	C2	1	2	A	B	10.8	Z-S	2	0.19	
P1	C2	1	2	A	B	9.7	Z-S	2	0.3	
P1	C2	1	2	A	B	4.8	Z-S	2	0.17	
P1	C2	1	2	A	B	8.6	Z-S	2	0.22	
P1	C2	1	2	A	B	5.5	Z-S	2	0.25	
P1	C2	1	2	A	B	13.6	Z-S	2	0.34	
P1	C2	1	2	A	B	23.8	Z-S-Z-Z	6	0.42	
P1	C2	1	2	A	B	8.1	Z-S	2	0.48	
P1	C2	1	2	A	B	8.3	Z-S	2	0.36	
P1	C2	1	2	A	B	9.8	Z-S	2	0.16	
P1	C2	1	2	A	B	27.8	Z	1	0.13	
P1	C2	1	2	A	B	5.5	Z-S	2	0.28	
P1	C2	1	2	A	B	7.4	Z-S	2	0.4	
P1	C2	1	2	A	B	7.2	Z-S	2	0.3	
P1	C2	1	2	A	B	11.1	Z-S	2	0.23	
P1	C2	1	2	A	B	3.6	Z-S-Z	6	0.64	
P1	C2	1	2	A	B	5.1	Z-S	2	0.22	
P1	C2	1	2	A	B	3	Z-S-Z	4	0.27	
P1	C2	1	2	A	B	4.8	Z-S	2	0.29	
P1	C2	1	2	A	B	1.3	Z-S	2	0.23	

Sector	Unidad	Estrato	Nivel	Fibra	Color	Largo (cm)	Torsión	N° Cabos	Grosor (mm)	Observaciones
P1	C2	1	2	A	B	3.6	Z-S	2	0.27	
P1	C2	1	2	A	B	1.9	Z-S	2	0.34	
P1	C2	3A		A	A	6	Z-S	2	0.3	
P1	C2	3A		A	A	6.2	Z-S	2	0.24	
P1	C2	3A		A	A	3.2	Z-S	2	0.22	
P1	C2	3A		A	A	5	Z-S	2	0.24	
P1	C2	3A		A	B	2.1	Z-S	2	0.25	
P1	C2	3B		A	B	5.1	Z-S	2	0.28	
P1	C2	3B		A	B	5.3	Z-S	5	0.42	
P1	C2	3B		A	B	3.8	Z-S	2	0.27	
P1	C2	3B		A	B	3.1	Z-S	2	0.29	
P1	C2	4	2	A	B	6.2	Z-S-Z	11	0.95	Tiene un nudo simple
P1	C2	4	2	A	B	1.6	Z-S-Z	10	0.88	Tiene un nudo simple
P1	C2	4	2	A	B	3.7	Z-S	2	0.26	
P1	C2	4	2	A	B	4.8	Z-S	2	0.29	
P1	C2	4	2	A	B	3	Z-S-Z	6	0.9	Tiene un nudo simple
P1	C2	4	2	A	B	8.5	Z-S	3	0.29	
P1	C2	4	2	A	B	7.3	Z-S	2	0.3	
P1	C2	4	2	A	B	7.5	Z-S	2	0.26	
P1	C2	4	2	A	B	4.7	Z-S	2	0.34	
P1	C2	4	2	A	B	3.3	Z-S	2	0.22	
P1	C2	4	2	A	B	2.7	Z-S	2	0.43	
P1	C2	4	2	A	B	1.6	Z-S-Z	12	1.04	Tiene un nudo simple
P1	C2	4	2	A	B	3.6	Z-S-Z	12	0.93	Tiene un nudo simple
P1	C2	4	2	A	B	2.7	Z-S-Z	12	0.96	Tiene un nudo simple
P1	C2	4	2	A	B	2.3	Z-S	2	0.28	
P1	C2	4	2	A	B	3	Z-S-Z	8	0.83	Tiene un nudo simple
P1	C2	7		A	B	6.1	Z-S-Z	6	0.53	
P1	C2	7		A	B	4.4	Z-S	2	0.27	
P1	C2	7		A	B	17.4	Z-S-Z	6	0.44	
P1	C2	7		A	B	4.9	Z-S	2	0.5	
P1	C2	7		A	B	5	Z-S	2	0.24	
P1	C2	7		A	B	4.7	Z-S	2	0.48	
P1	C2	7		A	B	2.8	Z-S	2	0.22	
P1	C2	7		A	B	5.9	Z-S	2	0.28	
P1	C2	7		A	B	2.2	Z-S	2	0.35	
P1	C2	7		A	B	3.2	Z-S	2	0.25	
P1	C2	7		A	B	4.2	Z	1	0.12	
P1	C2	7		A	B	2.5	Z-S	2	0.55	
P1	C2	7		A	B	3.2	Z	1	0.11	
P1	C2	8		A	B	7.4	Z-S	2	0.25	

Sector	Unidad	Estrato	Nivel	Fibra	Color	Largo (cm)	Torsión	N° Cabos	Grosor (mm)	Observaciones
P1	C2	8		A	B	5.7	Z-S	2	0.13	
P1	C2	8		A	B	5.4	Z-S	2	0.26	
P1	C2	8		A	B	3.2	Z-S	2	0.16	
P1	C2	8		A	B	4.6	Z-S	2	0.18	
P1	C2	8		A	B	3.1	Z-S	2	0.16	
P1	C2	8		A	B	2.5	Z-S	2	0.18	
P1	C2	8		A	B	5.5	Z-S	2	0.29	
P1	C2	8		A	B	3	Z-S-Z	16	0.73	Tiene un nudo doble
P1	C2	8		A	B	2	Z-S	2	0.11	
P1	C2	8		A	B	1.7	Z-S	2	0.14	
P1	C2	8		A	B	2	Z-S-Z	12	1.26	Tiene un nudo simple
P1	C2	8	2	A	M	59	Z-S-Z	12	0.98	Tiene un nudo múltiple
P1	C2	8	2	A	B	4.6	Z-S-Z	12	1.14	
P1	C2	8	2	A	M	5.7	Z-S	2	0.27	
P1	C2	8	2	A	M	7.1	Z-S	2	0.44	
P1	C2	8	2	A	B	5	Z-S	2	0.26	
P1	C2	8	2	A	B	4.6	Z-S	2	0.4	
P1	C2	8	2	A	B	6.2	Z-S	2	0.32	
P1	C2	8	2	A	M	2.3	Z-S	2	0.32	
P1	C2	8	2	A	M	3	Z-S	2	0.28	
P1	C2	8	2	A	B	5.8	Z-S	2	0.36	
P1	C2	8	2	A	B	4.3	Z-S	2	0.25	
P1	C2	8	2	A	B	4.5	Z-S	2	0.11	
P1	C2	8	2	A	M	7.2	Z-S	2	0.23	
P1	C2	8	2	A	B	7.3	Z-S-Z	4	0.51	
P1	C2	8	2	A	B	6.2	Z-S	2	0.26	
P1	C2	8	2	A	M	3.5	Z-S	2	0.21	
P1	C2	8	2	A	M	7.6	Z-S	2	0.11	
P1	C2	8	2	A	B	6.2	Z-S	2	0.23	
P1	C2	8	2	A	B	2.7	Z-S	2	0.34	
P1	C2	8	2	A	B	4.7	Z-S	4	0.32	
P1	C2	8	2	A	B	2.8	Z-S	2	0.28	
P1	C2	8	2	A	B	9.5	Z-S-Z	4	0.37	
P1	C2	8	3	A	B	5.1	Z-S	2	0.21	
P1	C2	8	3	A	B	12	Z-S	2	0.34	
P1	C2	8	3	A	B	6.8	Z-S	2	0.34	
P1	C2	8	3	A	B	8	Z-S	2	0.44	
P1	C2	8	3	A	B	3	Z-S	2	0.27	
P1	C2	8	3	A	B	14.5	Z-S	2	0.3	
P1	C2	8	3	A	B	9.8	Z-S	2	0.34	
P1	C2	8	3	A	B	4	Z-S	2	0.27	
P1	C2	8	3	A	B	3.6	Z-S	3	0.27	
P1	C2	8	3	A	B	3.7	Z-S-Z	6	0.61	

Sector	Unidad	Estrato	Nivel	Fibra	Color	Largo (cm)	Torsión	N° Cabos	Grosor (mm)	Observaciones
P1	C2	8	3	A	B	4	Z-S	2	0.34	
P1	C2	8	3	A	B	4.8	Z-S	2	0.32	
P1	C2	8	3	A	B	6.6	Z-S	2	0.23	
P1	C2	8	3	A	B	3.1	Z-S	2	0.36	
P1	C2	8	3	A	B	6.7	Z-S	2	0.22	
P1	C2	8	3	A	B	3.5	Z-S	2	0.28	
P1	C2	8	3	A	B	4.3	Z-S	2	0.22	
P1	C2	8	3	A	B	3.2	Z-S	2	0.15	
P1	C2	8	3	A	B	3.7	Z-S	2	0.19	
P1	C2	8	3	A	B	2	Z-S	2	0.3	
P1	C2	8	3	A	B	2.7	Z-S	2	0.17	
P1	C2	8	3	A	B		Z-S	2	0.41	Ovillo
P1	C2	8	3	V	M	29	Z	2	8.04	Tiene un nudo múltiple
P1	C2	8	3	V	M	30	Z	2	7.83	
P1	C2	8	3	V	M	17	Z	2	6.5	
P1	C2	9		V	M	14.8	Z	2	4.26	
P1	C2	9		A	B		Z	1	0.12	Ovillo
P1	C2	9		A	B	10.7	Z-S	2	0.27	
P1	C2	9		A	B	5	Z-S	2	0.39	
P1	C2	9		A	B	4.8	Z-S	2	0.17	
P1	C2	9		A	B	4.7	Z-S	2	0.25	
P1	C2	9		A	B	3.7	Z-S	2	0.28	
P1	C2	9		A	B	3	Z-S	2	0.21	
P1	C2	9		A	B	2	Z-S	2	0.22	
P1	C2	9		A	B	4	Z-S	2	0.17	
P1	C2	9		A	B	2.6	Z	1	0.12	
P1	C2	9		A	B	4.3	Z-S	2	0.17	Tiene un nudo simple
P1	C2	9		A	B, R	41.4	Z-S	2	0.19	
P1	C2	9	2	A	B	14.2	Z	1	0.16	
P1	C2	9	2	A	B	14.5	Z	1	0.19	
P1	C2	9	2	A	B	6.8	Z-S	2	0.22	
P1	C2	9	2	A	B	33.7	Z-S	2	0.2	
P1	C2	52		A	B	4.1	Z-S	2	0.29	
P1	C2	52		A	B	15.3	Z-S	2	0.27	
P1	C2	52		A	B	3.1	Z-S	2	0.28	
P1	C2	52		A	B	16.7	Z-S	2	0.33	
P1	C2	52		A	B	4	Z-S	2	0.33	
P1	C2	52		V	M	5	Z	2	5.64	
P1	C2	52		V	M	8	Z	2	9.3	
P3	C1	2		A	B	4.9	Z-S	2	0.44	
P3	C1	2		A	B	9.2	Z-S-S	4	0.36	
P3	C1	2		A	B	4.2	Z-S	2	0.26	
P3	C1	2		A	B	3.3	Z-S	2	0.23	

Sector	Unidad	Estrato	Nivel	Fibra	Color	Largo (cm)	Torsión	N° Cabos	Grosor (mm)	Observaciones
P3	C1	2		A	B	3.5	Z-S	2	0.17	
P3	C1	2		A	B	3.4	Z-S	2	0.44	
P3	C1	2		A	B	3.9	Z-S	2	0.19	
P3	C1	2		A	B	4.8	Z-S	2	0.49	
P3	C1	2		A	B	3.6	Z-S	2	0.5	
P3	C1	2		A	B	11.3	Z-S	2	0.36	
P3	C1	2		A	B	4	Z-S	2	0.32	
P3	C1	2		A	B	3.7	Z-S	2	0.29	
P3	C1	2		A	B	3.8	Z-S	2	0.51	
P3	C1	2		A	B	6.4	Z-S	2	0.31	
P3	C1	2		A	B	2.8	Z-S	2	0.36	
P3	C1	2		A	B	4.2	Z-S	2	0.39	
P3	C1	2		A	B	3	Z-S	2	0.27	
P3	C1	2		A	B	2	Z-S	2	0.46	
P3	C1	2		A	B	4.4	Z-S	2	0.33	
P3	C1	5		A	B	5.6	Z-S-Z	12	0.89	
P3	C1	5		A	B	8	Z-S	2	0.27	
P3	C1	5		A	B	8.6	Z-S	2	0.32	
P3	C1	5		A	B	2.2	Z-S-Z	12	1.97	
P3	C1	5		A	B	2.1	Z-S	2	0.16	
P3	C1	5		A	B	1.2	Z-S	2	0.31	
P3	C1	5		A	B	1.5	Z-S	5	0.6	
P3	C1	5		A	B	1.1	Z-S	2	0.6	
P3	C1	5		A	B	1.4	Z-S	2	0.22	
P3	C1	5		A	B	2.8	Z-S	2	0.13	
P3	C1	6		A	B	11.4	Z-S-Z	4	0.48	
P3	C1	6		A	B	3.5	Z-S	2	0.28	
P3	C1	6		A	B	1.5	Z-S-Z	18	1.7	
P3	C1	6		A	B	1.7	Z-S-Z	18	1.7	
P3	C1	6		A	B	14.3	Z-S-Z	4	0.59	
P3	C1	6		A	B	5.3	Z-S	2	0.21	
P3	C1	6		A	B	2.1	Z-S	2	0.14	
P3	C1	6		A	B	5.2	Z-S	2	0.18	
P3	C1	6		A	B	4	Z-S-Z	12	1.12	Tiene un nudo simple
P3	C1	6		A	B	9	Z-S-Z	9	1.03	Tiene un nudo simple
P3	C1	6		A	B	34.3	Z-S	6	0.45	
P3	C1	6		A	B	2.5	Z-S	2	0.18	
P3	C1	6		A	B	4.6	Z-S	2	0.36	
P3	C1	6		A	B	5.3	Z-S-Z	4	0.41	
P3	C1	6		A	B	4.2	Z-S-Z	6	0.86	
P3	C1	6		A	B	5.3	Z-S	2	0.3	
P3	C1	6		A	B	3.5	Z-S	2	0.19	
P3	C1	6		A	B	2.2	Z-S	2	0.12	

Sector	Unidad	Estrato	Nivel	Fibra	Color	Largo (cm)	Torsión	N° Cabos	Grosor (mm)	Observaciones
P3	C1	6		A	B	1	Z-S	2	0.23	
P3	C1	6		A	B	2.4	Z-S	2	0.17	
P3	C1	6		A	B	2.8	Z-S-Z	16	1.07	Tiene un nudo simple
P3	C1	6		A	B	1.4	Z-S	2	0.26	
P3	C1	6		A	B	2.8	Z-S	2	0.24	
P3	C1	6		A	B	2.6	Z-S	2	0.23	
P3	C1	6		A	B	2.3	Z-S	2	0.16	
P3	C1	6		A	B	2	Z-S	2	0.17	
P3	C1	6		A	B	4.4	Z-S	2	0.38	
P3	C1	6		A	B	2.2	Z-S	2	0.22	
P3	C1	6		A	B	4.3	Z-S	2	0.34	
P3	C1	6		A	B	3.7	Z-S	2	0.23	
P3	C1	6		A	B	2.8	Z-S	2	0.25	
P3	C1	6		A	B	3.7	Z-S	2	0.38	
P3	C1	6		A	B	1.6	Z-S	2	0.33	
P3	C1	6		A	B	3	Z-S	2	0.1	
P3	C1	6		A	B	2	Z-S	2	0.37	
P3	C1	6		A	B	2.8	Z-S	2	0.46	
P3	C1	6		A	B	1.4	Z-S-Z	12	0.89	Tiene un nudo simple
P3	C1	6		A	B	2	Z-S-Z	16	1.63	Tiene dos nudos dobles
P3	C1	6		A, CH	B, N	20	Z-S	2	0.34	Tiene un nudo múltiple
P3	C1	9		A	B	3.2	Z-S-Z	6	0.69	
P3	C1	9		A	B	9.5	Z	1	0.18	
P3	C1	9		A	B	3.4	Z-S	2	0.35	
P3	C1	9		A	B	4.2	Z-S	2	0.25	
P3	C1	9		A	B	2	Z-S-Z	6	0.28	
P3	C1	9		A	B	2.6	Z-S	2	0.36	
P3	C1	9		A	B	2.1	Z-S	2	0.19	
P3	C1	9		A	B	1.4	Z-S	2	0.31	
P3	C1	9		A	B	4	Z-S	2	0.3	
P3	C1	9		A	B	1.8	Z-S	2	0.1	
P3	C1	10		A	B	6.4	Z-S	2	0.33	
P3	C1	10		A	B	2.2	Z-S	2	0.24	
P3	C1	10		A	B	3.7	Z-S	2	0.22	
P3	C1	10		A	B	9.4	Z-S	2	0.26	
P3	C1	10		A	B	3.6	Z-S	3	0.29	
P3	C1	10		A	B	1.7	Z-S	2	0.16	
P3	C1	10		A	B	3.2	Z-S	2	0.32	
P3	C1	10		A	B	2.8	Z-S	2	0.22	
P3	C1	10		A	B	1.8	Z-S	2	0.19	
P3	C1	10		A	B	1.6	Z-S	2	0.18	
P3	C1	11		A	B	3.9	Z-S-Z	12	0.94	

Sector	Unidad	Estrato	Nivel	Fibra	Color	Largo (cm)	Torsión	N° Cabos	Grosor (mm)	Observaciones
P3	C1	11		A	B	4.3	Z-S	2	0.26	
P3	C1	11		A	B	4.3	Z-S	2	0.34	
P3	C1	11		A	B	4.8	Z-S	2	0.26	
P3	C1	11		A	B	1.5	Z-S	2	0.23	
P3	C1	11		A	B	7.4	Z-S	2	0.22	
P3	C1	11		A	B	2.5	Z-S	2	0.21	
P3	C1	11		A	B	2	Z-S	2	0.3	
P3	C1	11		A	B	1.5	Z-S	2	0.29	
P3	C1	12		A	B	4.2	Z-S-Z	6	0.64	
P3	C1	12		A	B	3.2	Z-S	2	0.15	
P3	C1	12		A	B	4.8	Z-S	2	0.15	
P3	C1	12		A	B	4.4	Z-S	2	0.37	
P3	C1	12		A	B	4.8	Z-S-Z	6	0.7	
P3	C1	12		A	B	9.7	Z-S	3	0.37	
P3	C1	12		A	B	4.4	Z-S	2	0.15	
P3	C1	12		A	B	2	Z-S-Z	6	0.65	Tiene un nudo simple
P3	C1	12		A	B	1.2	Z-S-Z	6	0.66	
P3	C1	12		A	B	1.4	Z-S-Z	6	0.63	
P3	C1	12		A	B	1.7	Z-S	2	0.35	
P3	C1	12		A	B	2.3	Z-S-Z	6	0.72	Tiene un nudo simple
P3	C1	12		A	B	1.7	Z-S-Z	6	0.75	Tiene un nudo simple
P3	C1	12		A	B	1.2	Z-S-Z	6	0.69	Tiene un nudo simple
P3	C1	12		A	B	1.6	Z-S-Z	6	0.59	Tiene dos nudos simples
P3	C1	12		A	B	1	Z-S-Z	6	0.54	Tiene un nudo simple
P3	C1	14		A	B	2.8	Z-S-Z	10	0.95	Tiene un nudo simple
P3	C1	14		A	B	7.2	Z-S	2	0.56	
P3	C1	14		A	B	4.5	Z-S	2	0.4	
P3	C1	14		A	B	4.2	Z-S	3	0.35	
P3	C1	14		A	B	3.1	Z-S	2	0.28	
P3	C1	14		A	B	4.4	Z-S	2	0.21	
P3	C1	14		A	B	3.8	Z-S	2	0.2	
P3	C1	14		A	B	3.3	Z-S	2	0.26	
P3	C1	14		A	B	1.4	Z-S	2	0.32	
P3	C1	14		A	B	1.4	Z-S	2	0.15	
P3	C1	14		A	B	1	Z-S	2	0.36	
P3	C1	14		A	B	1.6	Z-S	2	0.22	
P3	C1	15		A	B	27.2	Z-S	2	0.28	
P3	C1	15		A	B	4.4	Z-S	2	0.22	
P3	C1	15		A	B	1.5	Z-S	2	0.27	
P3	C1	15		A	B	3.4	Z-S	2	0.2	
P3	C1	15		A	B	4	Z-S	4	0.39	

Sector	Unidad	Estrato	Nivel	Fibra	Color	Largo (cm)	Torsión	N° Cabos	Grosor (mm)	Observaciones
P3	C1	15		A	B	2.9	Z-S	2	0.3	
P3	C1	15		A	B	3.4	Z-S	2	0.25	
P3	C1	15		A	B	2	Z-S-Z	6	0.81	
P3	C1	15		A	B	1.9	Z-S	2	0.29	
P3	C1	15		A	B	4.7	Z-S	2	0.13	
P3	C1	15		A	B	4.4	Z-S	2	0.29	
P3	C1	15		A	B	3.7	Z-S	2	0.42	
P3	C1	15		A	B	3.7	Z-S	2	0.33	
P3	C1	15		A	B	2.8	Z-S	2	0.36	
P3	C1	15		A	B	3.7	Z-S	2	0.27	
P3	C1	15		A	B	5.8	Z-S	2	0.22	
P3	C1	15		A	B	4	Z-S	2	0.18	
P3	C1	15		A	B	2	Z-S	2	0.17	
P3	C1	15		A	M	2.7	Z-S	2	0.23	
P3	C1	16	1	A	B	6.5	Z-S	2	0.32	
P3	C1	16	1	A	B	4.5	Z-S	2	0.16	
P3	C1	16	1	A	B	5.6	Z-S	2	0.23	
P3	C1	16	1	A	B	4	Z-S	2	0.25	
P3	C1	16	1	A	B	3.3	Z-S	2	0.25	
P3	C1	16	1	A	B	2.5	Z-S	2	0.27	
P3	C1	16	1	A	B	2.7	Z-S	2	0.31	
P3	C1	16	1	A	B	3.3	Z-S	2	0.31	
P3	C1	16	1	A	B	3.2	Z-S	2	0.19	
P3	C1	16	1	A	B	2.8	Z-S	2	0.14	
P3	C1	16	1	A	B	2.5	Z-S	2	0.22	
P3	C1	16	1	A	B	1.8	Z-S	2	0.21	
P3	C1	16	1	A	B	2.1	Z-S	2	0.32	
P3	C1	16	1	A	B	2.4	Z-S	2	0.22	
P3	C1	16	1	A	B	2.7	Z-S	3	0.22	
P3	C1	16	1	A	B	2.2	Z-S	2	0.34	
P3	C1	16	1	V	M	9	S	1	6.42	
P3	C1	16	2	A	B	14.8	Z-S-Z	8	0.51	
P3	C1	16	2	A	B	13.5	Z-S-Z	6	0.72	
P3	C1	16	2	A	B	11	Z-S	2	0.39	
P3	C1	16	2	A	B	9.8	Z-S-Z	4	0.47	
P3	C1	16	2	A	B	6.6	Z-S	2	0.3	
P3	C1	16	2	A	B	3.4	Z-S	2	0.43	
P3	C1	16	2	A	B	2.8	Z-S	2	0.23	
P3	C1	16	2	A	B	2	Z-S-Z	4	0.36	
P3	C1	16	2	A	B	4.5	Z-S	2	0.46	
P3	C1	16	2	A	B	3.1	Z-S	2	0.37	
P3	C1	16	2	A	B	2	Z-S	2	0.15	
P3	C1	16	2	A	B	1.5	Z-S-Z	4	0.74	Tiene un nudo múltiple

Sector	Unidad	Estrato	Nivel	Fibra	Color	Largo (cm)	Torsión	N° Cabos	Grosor (mm)	Observaciones
P3	C1	16	2	A	B	3.2	Z-S-Z	10	0.9	Tiene un nudo múltiple
P3	C1	16	2	A	B	2.5	Z-S	2	0.14	
P3	C1	16	2	A	B	5.3	Z-S-Z	8	0.98	Tiene un nudo simple
P3	C1	17		A	B	6.3	Z-S	2	0.31	
P3	C1	17		A	B	4.4	Z-S	2	0.41	
P3	C1	17		A	B	4.4	Z-S-Z	4	0.56	
P3	C1	17		A	M	3.6	Z-S	2	0.18	
P3	C1	17		A	B	1.2	Z-S	2	0.27	
P3	C1	17		A	B	4.5	Z-S	2	0.2	
P3	C1	17		A	B	3.5	Z-S	2	0.37	
P3	C1	17		A	B	6.6	Z-S	2	0.22	
P3	C1	17		A	B	4.2	Z-S	2	0.34	
P3	C1	17		A	M	5.6	Z-S	2	0.51	
P3	C1	17		A	B	3.8	Z-S	2	0.12	
P3	C1	17		A	B	2.4	Z-S-Z	6	0.9	Tiene un nudo múltiple
P3	C1	17		A	M	5.9	Z-S	2	0.19	
P3	C1	17		A	B	3.5	Z-S	2	0.12	
P3	C1	17		A	M	1.8	Z-S	2	0.19	
P3	C1	17		A	M	1.6	Z-S	2	0.3	
P3	C1	18		A	B	4.3	Z-S	2	0.3	
P3	C1	18		A	B	3.4	Z-S	2	0.24	
P3	C1	18		A	B	4.1	Z-S	2	0.15	
P3	C1	18		A	B	2.1	Z-S	2	0.25	
P3	C1	18		A	B	2.5	Z-S-Z	8	0.73	
P3	C1	18		A	B	3	Z-S	2	0.26	
P3	C1	18		A	B	2.3	Z-S	2	0.14	
P3	C1	18		A	B	1.6	Z-S	2	0.23	
P3	C1	18		A	B	2.2	Z-S	2	0.26	
P3	C1	18		A	B	2	Z-S	2	0.17	
P3	C1	18		A	B	1.7	Z-S	3	0.37	
P3	C1	18		A	B	2.6	Z-S	2	0.26	
P3	C1	18		A	B	2.8	Z-S	2	0.18	
P3	C1	18		A	B	2.6	Z-S	2	0.11	
P3	C1	18		A	B	1.4	Z-S	2	0.27	
P3	C1	18		A	B	2.8	Z-S	2	0.15	
P3	C1	18		A	B	1.8	Z-S	2	0.12	
P3	C1	18		A	B	1.8	Z-S-Z	6	0.79	Tiene dos nudos simples
P3	C2	1		A	B	3.8	S-Z-S	4	0.94	
P3	C2	1		A	B	7.4	Z-S	2	0.38	
P3	C2	2		A	B	5	Z-S	2	0.21	
P3	C2	2		A	G	2.9	Z-S	2	0.38	
P3	C2	2		A	G	2.6	Z-S	2	0.25	

Sector	Unidad	Estrato	Nivel	Fibra	Color	Largo (cm)	Torsión	N° Cabos	Grosor (mm)	Observaciones
P3	C2	2		A	G	3.1	Z-S	2	0.29	
P3	C2	2		A	B	2.2	Z-S	2	0.72	
P3	C2	2		A	B	3.1	Z-S	2	0.42	
P3	C2	2		A	B	1.2	Z-S	2	0.27	
P3	C2	2		A	B	2.8	Z-S	2	0.3	
P3	C2	2		A	B	2.6	Z-S	2	0.23	
P3	C2	2		A	M	3.2	Z-S	2	0.49	
P3	C2	2		A	B	3.1	Z-S	2	0.16	
P3	C2	3		A	B	3.7	Z-S-Z	9	0.84	Tiene un nudo simple
P3	C2	3		A	B	2.5	Z-S-Z	12	1.17	
P3	C2	3		A	G	6.3	Z-S	2	0.14	
P3	C2	3		A	B	9	Z-S	2	0.16	
P3	C2	3		A	G	5.6	Z-S	2	0.41	
P3	C2	3		A	G	3.4	Z-S	2	0.17	
P3	C2	3		A	B	4.5	Z-S	2	0.35	
P3	C2	3		A	G	3.9	Z-S	2	0.25	
P3	C2	3		A	B	3	Z-S	2	0.54	
P3	C2	3		A	B	2.6	Z-S	2	0.18	
P3	C2	3		A	M	1.8	Z-S-Z	9	0.82	
P3	C2	3		A	M	1.6	Z-S-Z	6	0.61	
P3	C2	3		A	G	2.5	Z-S	2	0.38	
P3	C2	4		A	B	7	Z-S	2	0.25	
P3	C2	4		A	B	2.7	Z-S	2	0.17	
P3	C2	4		A	B	2.3	Z-S	2	0.19	
P3	C2	4		A	M	2.6	Z-S	2	0.23	
P3	C2	4		A	B	4.7	Z-S	2	0.29	
P3	C2	4		A	B	2.8	Z-S	2	0.2	
P3	C2	4		A	M	2.2	Z-S	2	0.3	
P3	C2	4		A	B	3.5	Z-S	2	0.13	
P3	C2	4		A	B	3.7	Z-S	2	0.17	
P3	C2	4		A	B	2	Z-S	2	0.19	
P3	C2	4		A	B	2.5	Z-S	2	0.13	
P3	C2	4		A	B	2.5	Z-S-Z	4	0.24	
P3	C2	4		A	B	8.7	Z-S	2	0.19	Tiene un nudo simple
P3	C2	4		A	B	4.2	Z-S	2	0.15	
P3	C2	4		A	B	2.9	Z-S	2	0.17	
P3	C2	4		A	B	5	Z-S	2	0.06	
P3	C2	4		A	B	1.8	Z-S	2	0.2	
P3	C2	4		A	B	2.5	Z-S	2	0.34	
P3	C2	4		A	B	2.3	Z-S	2	0.38	
P3	C2	4		A	B	2.2	Z-S-Z	6	0.68	
P3	C2	4		A	B	2.1	Z-S	3	0.43	
P3	C2	4		A	B, R	1.7	Z-S-Z	8	0.54	Tiene un nudo simple

Sector	Unidad	Estrato	Nivel	Fibra	Color	Largo (cm)	Torsión	N° Cabos	Grosor (mm)	Observaciones
P3	C2	4		A	B	1.5	Z-S	2	0.23	
P3	C2	4		A	B	2.5	Z-S	2	0.13	
P3	C2	4		A	B	2.2	Z-S-Z	8	1.07	Tiene un nudo simple
P3	C2	5		A	B	5	Z-S	2	0.33	
P3	C2	5		A	B	2	Z-S	2	0.33	
P3	C2	5		A	B	3.8	Z-S	2	0.14	
P3	C2	5		A	B	3.5	Z-S	2	0.29	
P3	C2	5		A	B	3.3	Z-S	2	0.22	
P3	C2	5		A	B	2.1	Z-S	2	0.12	
P3	C2	5		A	B	2.5	Z-S	2	0.14	
P3	C2	5		A	B	1.2	Z-S	2	0.24	
P3	C2	5		A	B	1.4	Z-S	2	0.1	
P3	C2	6		A	B	6.5	Z-S	2	0.37	
P3	C2	6		A	B	4.7	Z-S	2	0.36	
P3	C2	6		A	B	3.5	Z-S-Z	8	1.06	
P3	C2	6		A	B	8.7	Z-S	2	0.32	
P3	C2	6		A	B	4.9	Z-S	2	0.16	
P3	C2	6		A	B	2.2	Z-S	2	0.29	
P3	C2	6		A	B	2.1	Z-S-Z	8	0.92	
P3	C2	6		A	B	4.7	Z-S	2	0.14	
P3	C2	6		A	B	4.3	Z-S	2	0.28	
P3	C2	6		A	B	3.1	Z-S	2	0.08	
P3	C2	6		A	B	5.3	Z-S	2	0.16	
P3	C2	6		A	B	2.6	Z-S	2	0.11	
P3	C2	6		A	B	9.3	Z-S	2	0.41	
P3	C2	6		A	B	4.5	Z-S	2	0.38	
P3	C2	6		A	B	4.6	Z-S	2	0.25	
P3	C2	6		A	B	3.6	Z-S	2	0.27	
P3	C2	6		A	B	3	Z-S	2	0.3	
P3	C2	6		A	B	3.5	Z-S	2	0.11	
P3	C2	6		A	B	2.2	Z-S	2	0.13	
P3	C2	6		A	B	5.3	Z-S	2	0.28	
P3	C2	6		A	B	3.3	Z-S	2	0.21	
P3	C2	6		A	B	2	Z-S	2	0.15	
P3	C2	6		A	B	1.8	Z-S	2	0.28	
P3	C2	6		A	B	2.2	Z-S	2	0.24	
P3	C2	6		A	B	3.3	Z-S	2	0.12	
P3	C2	6		A	B	3.8	Z-S	2	0.19	
P3	C2	6		A	B	2.6	Z-S	2	0.33	
P3	C2	6		A	B	2.2	Z	1	0.07	
P3	C2	6		A	B	3.1	Z-S	2	0.16	
P3	C2	6		A	B	13.2	Z-S	2	0.34	
P3	C2	6		A	B	10.7	Z-S-Z	6	0.45	

Sector	Unidad	Estrato	Nivel	Fibra	Color	Largo (cm)	Torsión	N° Cabos	Grosor (mm)	Observaciones
P3	C2	6		A	B	4.5	Z-S	2	0.27	
P3	C2	6		A	B	2.5	Z-S	2	0.26	
P3	C2	6		A	B, M	5.2	Z-S	2	0.22	
P3	C2	6		A	B, M	5.3	Z-S	2	0.32	
P3	C2	6		A	B	5	Z-S	2	0.25	
P3	C2	6		A	B	4.1	Z-S	2	0.25	
P3	C2	6		A	B	2.4	Z-S	2	0.53	
P3	C2	6		A	B	3.3	Z-S	2	0.15	
P3	C2	6		A	B	3	Z-S	2	0.36	
P3	C2	6		A	B	2	Z	1	0.13	
P3	C2	6		A	B	2.7	Z-S	2	0.25	
P3	C2	6		A	B	2.5	Z-S	2	0.29	
P3	C2	6		A	B	9.5	Z-S	2	0.39	
P3	C2	6		A	B	3.5	Z-S	2	0.35	
P3	C2	6		A	B	5	Z-S	2	0.28	
P3	C2	6		A	B	7.8	Z-S	4	0.46	
P3	C2	6		A	B, M	6.2	Z-S	2	0.25	
P3	C2	6		A	B	4.9	Z-S	2	0.2	
P3	C2	6		A	B	5.3	Z-S-Z	4	0.27	
P3	C2	6		A	B	5.2	Z-S	2	0.38	
P3	C2	6		A	B	7.8	Z-S	2	0.28	
P3	C2	6		A	B	6.2	Z-S	2	0.5	
P3	C2	6		A	B	5.1	Z-S	2	0.16	
P3	C2	6		A	B	3.3	Z-S-Z	6	0.54	Tiene un nudo simple
P3	C2	6		A	B	6.2	Z-S	2	0.29	
P3	C2	6		A	B	9.7	Z-S	2	0.24	
P3	C2	6		A	B	5.3	Z-S-Z	4	0.7	
P3	C2	6		A	B	7.4	Z-S-Z	4	0.47	
P3	C2	6		A	B	5.8	Z-S	2	0.32	
P3	C2	6		A	B	7.2	Z-S	2	0.37	
P3	C2	6		A	B	5.3	Z	1	0.2	
P3	C2	6		A	B	1.8	Z-S	2	0.27	
P3	C2	6		A	B, M	8	Z-S	2	0.34	
P3	C2	6		A	B	5.2	Z-S	2	0.42	
P3	C2	6		A	B	4	Z-S	2	0.19	
P3	C2	6		A	B	5.3	Z-S	2	0.23	
P3	C2	6		A	B	2.6	Z-S	2	0.23	
P3	C2	6		A	B	2.7	Z-S	2	0.15	
P3	C2	6		A	B	2.2	Z-S	2	0.2	
P3	C2	6		A	B	0.9	Z-S-Z	6	0.69	Tiene un nudo simple
P3	C2	6		A	B	3.3	Z-S-Z	10	0.69	Tiene un nudo simple
P3	C2	6		C	A	4.4	Z-S	2	0.57	
P3	C2	6		C	A	1.8	Z-S	2	0.99	Tiene un nudo

										simple
P3	C2	7		V	M	28.7	Z	2	14.69	
P3	C2	7		A	B	3.5	Z-S	2	0.21	
P3	C2	7		A	B	5.2	Z-S	2	0.23	
P3	C2	7		A	B	4.7	Z-S	2	0.25	
P3	C2	7		A	B	3.7	Z-S-Z	8	0.67	
P3	C2	7		A	B	3.7	Z-S	2	0.5	
P3	C2	7		A	B	2.8	Z-S	2	0.32	
P3	C2	7		A	B	3.2	Z-S	2	0.32	
P3	C2	7		A	B	3.7	Z-S	2	0.19	
P3	C2	7		A	B	3.5	Z-S	2	0.36	
P3	C2	7		A	B	4	Z-S-Z	8	1.17	Tiene un nudo simple
P3	C2	7		A	B	8.2	Z-S	2	0.3	
P3	C2	7		A	B	2.8	Z-S	3	0.32	
P3	C2	7		A	B	1.9	Z-S-Z	4	0.38	
P3	C2	7		A	B	8.2	Z-S	2	0.32	
P3	C2	7		A	B	10.4	Z-S	2	0.31	
P3	C2	7		A	B	6.3	Z-S-Z	4	0.49	
P3	C2	7		A	B	3.1	Z-S	2	0.32	
P3	C2	7		A	B	6.2	Z-S	2	0.25	
P3	C2	7		A	B	2.2	Z-S	2	0.17	
P3	C2	7		A	B	7.4	Z-S	2	0.29	
P3	C2	7		A	B	4.8	Z-S-Z	10	1.28	
P3	C2	7		A	B	6.2	Z-S	2	0.31	
P3	C2	7		A	B	13	Z-S-Z	6	0.5	
P3	C2	7		A	B	7.7	Z-S	2	0.33	
P3	C2	7		A	B	12.5	Z-S-Z	6	0.81	
P3	C2	7		A	B	3.2	Z-S	2	0.24	
P3	C2	7		A	B	7.4	Z-S	2	0.28	
P3	C2	7		A	B	24	Z-S	6	0.66	
P3	C2	7		A	B	21.5	Z-S	2	0.39	
P3	C2	7		A	B	8.2	Z-S	2	0.36	
P3	C2	7		A	B	9.7	Z-S	2	0.37	
P3	C2	7		A	B	5.6	Z-S	6	0.43	
P3	C2	7		A	B	4.1	Z-S	2	0.34	
P3	C2	7		A	B	4.4	Z	1	0.13	
P3	C2	7		A	B	7	Z-S	2	0.36	
P3	C2	7		A	B	5.3	Z-S	2	0.4	
P3	C2	7		A	B	5.2	Z-S	2	0.19	
P3	C2	7		A	B	3.8	Z-S	2	0.24	
P3	C2	7		A	B	9.7	Z	1	0.13	
P3	C2	7		A	B	9.1	Z-S	2	0.32	
P3	C2	7		A	B	3.6	Z-S	6	0.64	
P3	C2	7		A	B	1.8	Z-S	2	0.29	

Sector	Unidad	Estrato	Nivel	Fibra	Color	Largo (cm)	Torsión	N° Cabos	Grosor (mm)	Observaciones
P3	C2	7		A	B	9.7	Z-S	2	0.31	
P3	C2	7		A	B	17.3	Z-S	2	0.22	
P3	C2	7		A	B	7	Z-S	2	0.21	
P3	C2	7		A	B	3.7	Z-S	3	0.39	
P3	C2	7		A	B	4	Z-S	2	0.16	
P3	C2	7		A	B	5.3	Z-S	2	0.31	
P3	C2	7		A	B	3.4	Z-S	2	0.3	
P3	C2	7		A	B	3	Z-S	2	0.34	
P3	C2	7		A	B	4.1	Z-S-Z	8	0.71	
P3	C2	7		A	B	5.7	Z-S	2	0.42	
P3	C2	7		A	B	8.7	Z-S	2	0.26	
P3	C2	7		A	B	6.7	Z-S	3	0.28	
P3	C2	7		A	B	3.3	Z-S	6	0.59	
P3	C2	7		A	B	8	Z-S	2	0.33	
P3	C2	7		A	B	7	Z-S	2	0.27	
P3	C2	7		A	B	2.1	Z-S	3	0.39	
P3	C2	7		A	B	10	Z-S	2	0.19	
P3	C2	7		A	B	4.7	Z	1	0.1	
P3	C2	7		A	B	14.3	Z-S	3	0.24	
P3	C2	7		A	B	10.1	Z-S-Z	4	0.45	
P3	C2	7		A	B	4.8	Z-S	2	0.23	
P3	C2	7		A	B	10.3	Z-S	2	0.24	
P3	C2	7		A	B	4	Z-S	2	0.3	
P3	C2	7		A	B	3	Z-S	2	0.14	
P3	C2	7		A	B	2.8	Z-S	2	0.39	
P3	C2	7		A	B	3.6	Z-S	2	0.33	
P3	C2	7		A	B	26.8	Z-S	2	0.29	Tiene un nudo múltiple
P3	C2	7		A	B	5.2	Z-S	2	0.2	
P3	C2	7		A	A	4.8	Z-S-Z	4	0.53	
P3	C2	7		A	B	3.8	Z-S	2	0.23	
P3	C2	7		A	B	3.3	Z-S	2	0.19	
P3	C2	7		A	B	4.8	Z-S	2	0.35	
P3	C2	7		A	B	4.6	Z-S	2	0.29	
P3	C2	7		A	B	4.2	Z-S	2	0.35	
P3	C2	7		A	B	4	Z-S	3	0.49	
P3	C2	7		A	M	19.7	Z-S-Z	4	0.4	
P3	C2	7		A	M	12.2	Z-S	2	0.39	
P3	C2	7		A	B	7.2	Z-S	2	0.25	
P3	C2	7		A	M	8.5	Z-S	2	0.21	
P3	C2	7		A	B	4.5	Z-S	2	0.36	
P3	C2	7		CH	M	2	Z-S	2	0.31	
P3	C2	07-08		V	M	78	Z	2	10.3	Tiene un nudo en un extremo

Sector	Unidad	Estrato	Nivel	Fibra	Color	Largo (cm)	Torsión	N° Cabos	Grosor (mm)	Observaciones
P3	C2	07-08		V	M	67	Z	2	8.56	Tiene un fragmento de estera en un extremo
P3	C2	07-08		A	M	17.4	Z-S	2	0.44	
P3	C2	07-08		A	B	4.1	Z-S	4	0.44	
P3	C2	07-08		A	B	62	Z-S	2	0.32	
P3	C2	07-08		A	B	2.5	Z-S	2	0.36	
P3	C2	07-08		A	B	3	Z-S-Z	6	1.21	
P3	C2	07-08		A	B	3.5	Z-S	2	0.36	
P3	C2	07-08		A	B	12.5	Z-S	2	0.23	
P3	C2	07-08		A	B	4	Z-S	2	0.17	
P3	C2	07-08		A	B	9.4	Z-S-Z	4	0.4	Tiene un nudo simple
P3	C2	07-08		A	B	18.5	Z-S	2	0.29	
P3	C2	07-08		A	B	9.9	Z-S	3	0.62	
P3	C2	07-08		A	M	3.7	Z-S	2	0.28	
P3	C2	07-08		A	B	8.2	Z-S	2	0.15	
P3	C2	07-08		A	B	3.4	Z-S	2	0.25	
P3	C2	07-08		A	B	3.7	Z-S	3	0.16	
P3	C2	07-08		A	M	17	Z-S-Z	16	1.26	Tiene dos nudos múltiples
P3	C2	10		A	B	4.5	Z-S-Z	8	0.86	
P3	C2	10		A	B	6.8	Z-S-Z	6	0.69	
P3	C2	10		A	B	3.1	Z-S	2	0.18	
P3	C2	10		A	B	12	Z-S	2	0.32	
P3	C2	10		A	B	3.1	Z-S-Z	8	0.99	
P3	C2	10		A	M	2.8	Z-S	3	0.39	
P3	C2	10		A	M	21	Z-S	2	0.28	
P3	C2	10		A	M	4	Z-S	2	0.2	
P3	C2	10		A	M	4.9	Z-S	2	0.18	
P3	C2	10		A	M	9.3	Z-S	5	0.49	
P3	C2	10		A	B	1.8	Z-S-Z	4	0.53	
P3	C2	10		A	B	5	Z-S	2	0.23	
P3	C2	10		A	G	3.5	Z-S	2	0.28	
P3	C2	10		A	M	1.5	Z-S-Z	6	0.6	
P3	C2	10		A	B	5	Z-S	2	0.18	
P3	C2	10		A	B	4.8	Z-S	2	0.15	
P3	C2	10		A	B	5.3	Z-S	2	0.15	
P3	C2	10		A	B	3	Z-S	2	0.21	
P3	C2	10		A	B	0.9	Z-S-Z	8	1.02	Tiene un nudo simple
P3	C2	10		A	B	1.8	Z-S	2	0.25	
P3	C2	10		A	B	4.7	Z-S	2	0.17	
P3	C2	10		A	B	2.2	Z-S	2	0.17	
P3	C2	10		A	B	2	Z-S	2	0.14	
P3	C2	10		A	B	3	Z-S	2	0.3	

Sector	Unidad	Estrato	Nivel	Fibra	Color	Largo (cm)	Torsión	N° Cabos	Grosor (mm)	Observaciones
P3	C2	10		A	B	2.5	Z-S	2	0.21	
P3	C2	10		A	B	6.6	Z-S	2	0.24	
P3	C2	10		A	M	1.8	Z-S	2	0.16	
P3	C2	10		A	B	1.6	Z-S	2	0.25	
P3	C2	10		A	B	3.5	Z-S	2	0.31	
P3	C2	10		A	B	5.2	Z-S	2	0.19	
P3	C2	10		A	B	1.5	Z-S	2	0.12	
P3	C2	10		V	M	14	Z	2	9.25	Cuerda vegetal
P3	C2	11		A	M	4.8	Z-S-Z	8	1.13	
P3	C2	11		A	M	8.3	Z-S	4	0.59	
P3	C2	11		A	B	5.5	Z-S	2	0.34	
P3	C2	11		A	B	8	Z-S	2	0.31	
P3	C2	11		A	M	6.4	Z-S-Z	14	1.64	
P3	C2	11		A	B	4.7	Z-S	2	0.26	
P3	C2	11		A	M	2	Z-S-Z	12	1.53	
P3	C2	11		A	B	5.5	Z-S	2	0.29	
P3	C2	11		A	B	9.1	Z-S	2	0.31	
P3	C2	11		A	B	3	Z-S	3	0.31	
P3	C2	11		A	B	3.8	Z-S-Z	4	0.29	
P3	C2	11		A	M	26.4	Z-S	2	0.41	
P3	C2	11		A	M	4.8	Z-S-Z	12	1.42	
P3	C2	11		A	B	3.7	Z-S	2	0.16	
P3	C2	11		A	B	3.5	Z-S	2	0.25	
P3	C2	11		A	M	2.5	Z-S	2	0.33	
P3	C2	11		A	M	2.4	Z-S-Z	12	1.31	
P3	C2	11		A	B	4.8	Z-S	5	0.51	
P3	C2	11		A	B	22.6	Z-S	2	0.24	
P3	C2	11		A	B	10.5	Z-S	2	0.31	
P3	C2	11		A	B	7.2	Z-S-Z	4	0.48	
P3	C2	11		A	B	1.7	Z-S	2	0.4	
P3	C2	11		A	B	4.7	Z-S	2	0.33	
P3	C2	11		A	B	3.5	Z-S-Z	4	0.35	
P3	C2	11		A	M	12.5	Z-S	5	0.94	
P3	C2	11		A	M	8.5	Z-S	2	0.26	
P3	C2	11		A	B	2	Z-S	2	0.23	
P3	C2	11		A	B	4.4	Z-S	6	0.69	
P3	C2	11		A	B	8.4	Z-S	2	0.25	
P3	C2	11		A	B	4	Z-S	4	0.5	
P3	C2	11		A	B	3.5	Z-S	2	0.32	
P3	C2	11		A	B	6.5	Z-S	2	0.33	
P3	C2	11		A	B	3.1	Z-S	2	0.19	
P3	C2	11		A	B	3.5	Z-S	2	0.35	
P3	C2	11		A	B	4	Z-S	2	0.31	
P3	C2	11		A	B	2.9	Z-S	2	0.39	

Sector	Unidad	Estrato	Nivel	Fibra	Color	Largo (cm)	Torsión	N° Cabos	Grosor (mm)	Observaciones
P3	C2	11		A	B	4	Z-S	2	0.12	
P3	C2	11		A	M	1.1	Z	1	0.09	
P3	C2	11		A	M	3.8	Z-S	2	0.4	
P3	C2	11		A	B	1.7	Z-S	2	0.28	
P3	C2	11	2	A	B	5.1	Z-S	2	0.23	
P3	C2	11	2	A	B	3.2	Z-S	2	0.28	
P3	C2	11	2	A	B	5.1	Z-S	2	0.24	
P3	C2	11	2	A	B	14.9	Z-S	2	0.3	
P3	C2	11	2	A	B	13.8	Z-S-Z	10	1.03	
P3	C2	11	2	A	B	11.2	Z-S	2	0.4	
P3	C2	11	2	A	B	7	Z-S	2	0.38	
P3	C2	11	2	A	B	4.7	Z-S	2	0.4	
P3	C2	11	2	A	B	4.1	Z-S	2	0.26	
P3	C2	11	2	A	B	3.1	Z-S	2	0.3	
P3	C2	11	2	A	B	1	Z-S-Z	4	0.43	Tiene un nudo simple
P3	C2	11	2	A	B	4.5	Z-S-Z	6	0.53	
P3	C2	11	2	A	B	2.5	Z-S	2	0.16	
P3	C2	11	2	A	B	1.2	Z-S	2	0.26	
P3	C2	11	2	A	B	4.3	Z-S	2	0.41	
P3	C2	11	2	A	B	5.1	Z-S	2	0.27	
P3	C2	11	2	A	B	3.8	Z-S	2	0.38	
P3	C2	11	2	A	B	7.2	Z-S	2	0.28	
P3	C2	11	2	A	B	4.8	Z-S	2	0.26	
P3	C2	11	2	A	B	7.5	Z-S	2	0.29	
P3	C2	11	2	A	B	3.1	Z-S	2	0.35	
P3	C2	11	2	A	B	2.1	Z-S	2	0.34	
P3	C2	11	2	A	B	7.8	Z-S	2	0.46	
P3	C2	11	2	A	B	3.5	Z-S	2	0.27	
P3	C2	11	2	A	B	3.5	Z	1	0.18	
P3	C2	11	2	A	B	4	Z-S	2	0.26	
P3	C2	11	2	A	B	13.5	Z-S	2	0.38	Tiene un nudo múltiple
P3	C2	11	2	A	B	1.5	Z-S	2	0.44	
P3	C2	11	2	A	B	5.5	Z-S	2	0.35	
P3	C2	11	2	A	B	3.3	Z-S	2	0.29	
P3	C2	11	2	A	B	3.9	Z-S	2	0.23	
P3	C2	11	2	A	B	2.8	Z-S	2	0.34	
P3	C2	11	2	A	B	2.2	Z-S	2	0.4	
P3	C2	11	2	A	B	1.6	Z-S	2	0.16	
P3	C2	11	2	A	B	2.8	Z-S	2	0.21	
P3	C2	11	2	A	B	1.5	Z-S	2	0.16	
P3	C2	11	2	A	B	3.1	Z-S	2	0.37	
P3	C2	11	2	A	B	4.3	Z-S	2	0.2	
P3	C2	11	2	A	B	9.1	Z-S	2	0.22	

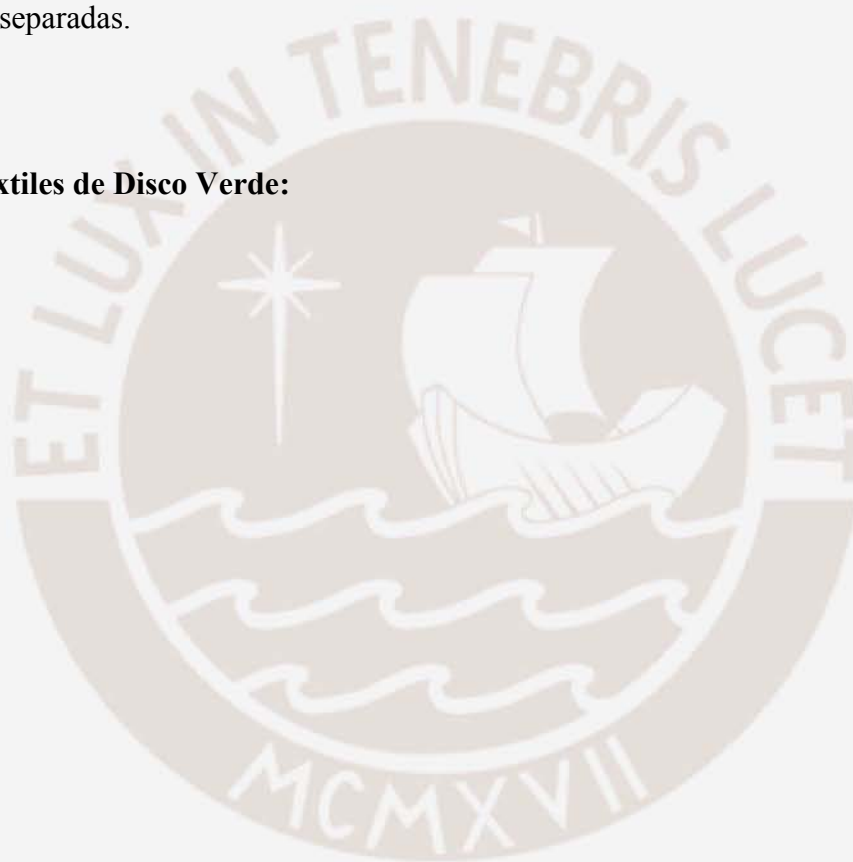
Sector	Unidad	Estrato	Nivel	Fibra	Color	Largo (cm)	Torsión	N° Cabos	Grosor (mm)	Observaciones
P3	C2	11	2	A	B	2.3	Z-S	2	0.29	
P3	C2	11	2	A	B	4.1	Z-S	2	0.42	
P3	C2	11	2	A	B	7.3	Z-S	2	0.23	
P3	C2	11	2	A	B	5.2	Z-S	2	0.31	
P3	C2	11	2	A	B	2.8	Z-S	2	0.22	
P3	C2	11	2	A	B	7.2	Z-S	2	0.2	
P3	C2	11	2	A	B	4.9	Z-S	2	0.22	
P3	C2	11	2	A	B	3	Z-S	2	0.27	
P3	C2	11	2	A	B	3.6	Z-S	2	0.29	
P3	C2	11	2	A	B	1.7	Z-S	2	0.27	
P3	C2	11	2	A	B	4.8	Z-S	2	0.17	
P3	C2	11	2	A	B	5.5	Z-S	2	0.26	
P3	C2	11	2	A	B	1.8	Z-S	2	0.25	
P3	C2	11	2	A	B	2	Z-S	2	0.33	
P3	C2	11	2	A	B	2.2	Z-S	2	0.15	
P3	C2	11	2	A	B	4.5	Z-S	2	0.15	
P3	C2	11	2	A	B	1.3	Z-S-Z	6	0.58	Tiene un nudo simple
P3	C2	11	2	A	B	2.4	Z-S	2	0.27	
P3	C2	11	2	A	B	2.2	Z-S	2	0.18	
P3	C2	11	2	A	B	2.6	Z-S	2	0.19	
P3	C2	11	2	A	B	7	Z-S	2	0.26	
P3	C2	11	2	A	B	9.1	Z-S	2	0.26	
P3	C2	11	2	A	B	7.8	Z-S	2	0.29	
P3	C2	11	2	A	B	2.5	Z-S	3	0.4	
P3	C2	11	2	A	B	3.4	Z-S	2	0.25	
P3	C2	11	2	A	B	3	Z-S	2	0.19	
P3	C2	11	2	A	B	3.1	Z-S	2	0.4	
P3	C2	11	2	A	B	3.6	Z-S	2	0.31	
P3	C2	11	2	A	B	2.6	Z-S-Z	10	0.8	
P3	C2	11	2	A	B	4.1	Z-S	2	0.26	
P3	C2	11	2	A	B	4.8	Z-S	2	0.17	
P3	C2	11	2	A	B	3.6	Z-S	2	0.19	
P3	C2	11	2	A	B	1.9	Z-S	2	0.28	
P3	C2	11	2	A	B	2.4	Z-S	2	0.17	
P3	C2	11	2	A	B	3.2	Z-S	2	0.28	
P3	C2	11	2	A	B	6.2	Z-S	2	0.19	
P3	C2	11	2	A	B	3.3	Z-S	2	0.16	
P3	C2	11	2	A	B	2.5	Z-S	2	0.27	
P3	C2	11	2	A	B	2.3	Z-S	2	0.23	
P3	C2	11	2	A	B	2.5	Z-S	6	0.87	Tiene un nudo múltiple
P3	C2	11	2	A	B	2.6	Z-S	2	0.3	
P3	C2	11	2	A	B	1.8	Z-S	2	0.26	
P3	C2	11	2	A	B	1.6	Z-S	2	0.25	

Sector	Unidad	Estrato	Nivel	Fibra	Color	Largo (cm)	Torsión	N° Cabos	Grosor (mm)	Observaciones
P3	C2	11	2	A	B	5	Z-S	2	0.33	
P3	C2	11	2	A	B	10.6	Z-S	2	0.25	
P3	C2	11	2	A	B	8.8	Z-S-Z	4	0.33	Tiene un nudo múltiple
P3	C2	11	2	A	B	5.1	Z-S	2	0.3	
P3	C2	11	2	A	B	2.5	Z-S	2	0.22	
P3	C2	11	2	A	B	1.6	Z-S	2	0.24	
P3	C2	11	2	A	B	9.3	Z-S	2	0.22	
P3	C2	11	2	A	B	5	Z-S	2	0.17	
P3	C2	11	2	A	B	3.5	Z-S	2	0.32	
P3	C2	11	2	A	B	6.2	Z-S	2	0.3	
P3	C2	11	2	A	B	6.3	Z-S	2	0.29	
P3	C2	11	2	A	B	9.8	Z-S	2	0.23	
P3	C2	11	2	A	B	2.3	Z-S	2	0.18	
P3	C2	11	2	A	B	3.2	Z-S	2	0.2	
P3	C2	11	2	A	B	4	Z-S	2	0.18	
P3	C2	11	2	A	B	3.8	Z-S	2	0.2	
P3	C2	11	2	A	B	8.4	Z-S	2	0.46	
P3	C2	11	2	A	B	3.3	Z-S	2	0.35	
P3	C2	11	2	A	B	5	Z-S	3	0.46	Tiene un nudo simple
P3	C2	11	2	A	B	6.5	Z-S	2	0.37	
P3	C2	11	2	A	B	8	Z-S	2	0.34	
P3	C2	11	2	A	B	5.8	Z-S	2	0.26	
P3	C2	11	2	A	B	5	Z-S	2	0.38	
P3	C2	11	2	A	B	4.8	Z-S	2	0.27	
P3	C2	11	2	A	B	2.7	Z-S	2	0.33	
P3	C2	11	2	A	B	5.7	Z-S-Z	6	0.73	
P3	C2	11	2	A	B	7.5	Z-S-Z	8	0.95	
P3	C2	11	2	A	B	2.3	Z-S	2	0.33	
P3	C2	11	2	A	B	2.2	Z-S	2	0.29	
P3	C2	11	2	A	B	1.2	Z-S-Z	4	0.56	
P3	C2	11	2	A	B	3	Z-S	2	0.29	
P3	C2	11	2	A	B	2.8	Z-S	2	0.31	
P3	C2	11	2	A	B	4	Z-S	2	0.23	
P3	C2	11	2	A	B	3.2	Z-S	2	0.23	
P3	C2	11	2	A	B	2.6	Z-S	2	0.36	
P3	C2	11	2	A	B	7.2	Z-S	2	0.25	
P3	C2	11	2	A	B	10.5	Z-S	3	0.17	
P3	C2	11	2	A	B	4.9	Z-S	2	0.33	
P3	C2	11	2	A	B	5.2	Z-S	2	0.26	
P3	C2	11	2	A	B	2.2	Z-S	2	0.25	
P3	C2	11	2	A	B	5.3	Z-S	2	0.18	
P3	C2	11	2	A	B	3.8	Z-S	2	0.26	
P3	C2	11	2	A	B	5.6	Z-S-Z	4	0.4	

Sector	Unidad	Estrato	Nivel	Fibra	Color	Largo (cm)	Torsión	N° Cabos	Grosor (mm)	Observaciones
P3	C2	11	2	A	B	5.8	Z-S	2	0.27	
P3	C2	11	2	A	B	4.2	Z-S	2	0.24	
P3	C2	11	2	A	B	3.2	Z-S	2	0.23	
P3	C2	11	2	A	B	5.3	Z-S	2	0.22	
P3	C2	11	2	A	B	7.5	Z-S	2	0.19	
P3	C2	11	2	A	B	1.2	Z-S	2	0.19	
P3	C2	11	2	A	B	3.2	Z-S	2	0.2	
P3	C2	11	2	A	B	2.3	Z-S	3	0.48	Tiene un nudo múltiple

Por razones de espacio, las tablas de los textiles han sido divididas cada una en dos tablas separadas.

Textiles de Disco Verde:



Datos generales					Dimensiones						Hilos										Tipos de costuras										
Unidad	Estrato	Nivel	Código	Tipo de Tejido	Largo	Ancho	Largo Urdimbre	Largo Trama	Orillos Urdimbre	Orillos Trama	Urdimbre	Trama	Adicionales	Fibra	# por cm ²	Torsión	Retorsión	N° de cabos	Color	Grosor (mm)	Tupido	Otros	Surgete	Dentado	Hilvado Corrido	Encandelillado	A la aguja	Otro			
F9	0		DV-F9-UEA0-001	Fragmento de paño	11	7.2					X			A	13	Z	S	2	R	0.22											
F9	0												X			A	9	Z	S	2	R	0.24									
1	0		DV-U1-UEA0-001	Fragmento de paño	15	9					X			A	7	Z	S	2	M	0.23											
1	0												X			A	10	Z	S	2	M	0.14									
1	0		DV-U1-UEA0-002	Fragmento de paño	4.4	3	3	4.4	1		X			A	16	Z	S	2	B	0.18											
1	0												X			A	11	Z	S	2	B	0.12									
1	0		DV-U1-UEA0-003	Fragmento de paño	3	2					X			A	14	Z	S	2	M	0.29											
1	0												X			A	20	Z	S	2	M	0.16									
1	0		DV-U1-UEA0-004	Fragmento de paño	6	1.8	6	1.8		1	X			A	12	Z	S	2	B	0.17											
1	0												X			A	8	Z	S	2	B	0.34									
1	0														Hilo de refuerzo	A		Z	S	2	B	0.38									

1	0		DV-U1-UEA0-005	Fragmento de paño	2.5	1.2							X			A	14	Z	S	2	B	0.2															
1	0												X			A	14	Z	S	2	B	0.2															
1	0		DV-U1-UEA0-006	Fragmento de paño	7.9	1.2	7.9	1.2		1	X					A	16	Z	S	2	M	0.57															
1	0												X			A	14	Z		1	M	0.12															
F9	5,6,7		DV-F9-UEA5,6,7-001	Fragmento de paño	5.2	5.6	5.2	5.6				X				A		Z	S	2	B	1-1.5															
F9	5,6,7												X				A		Z	S	2	M	1														
F9	5,6,7												X				A		Z	S	2	B	1														
F9	12		DV-F9-UEA12-001	Fragmento de paño	16.2	9.4	16.2	9.4				X				A	11	Z	S	2	B	1															
F9	12												X				A	7	Z	S	2	B	1														
F9	12														Hilo de costura		A		Z	S	3	B	1										X				
F9	13		DV-F9-UEA13-001	Fragmento de paño	5	3.5						X				A	12	Z	S	2	B	0.22															
F9	13												X				A	20	Z		1	B	0.07														
F9	13		DV-F9-UEA13-002	Fragmento de paño	4	3						X				A	8	Z	S	2	B	0.3															
F9	13												X				A	16	Z		1	B	0.08														

F9	13		DV-F9-UEA13-003	Fragmento de paño	10	2				1	X		A	15	Z	S	2	B	0.1								
F9	13											X		A	10	Z	S	2	B	0.18							
F1-2	14		DV-F1-2-UEA14-001	Fragmento de paño	14	3					X		A	20	Z	S	2	B	0.14	X							
F1-2	14											X		A	9	Z	S	2	B	0.12							
F1-2	14												Hilo verde	A	2	Z	S	2	V	0.13							
F2	14		DV-F2-UEA14-001	Fragmento de cinta	19.3	1.2	19.3	1.2		2	X		A	15	Z	S	2	B	0.27								
F2	14											X		A	6	Z	S	2	B	0.5							
F2	14		DV-F2-UEA14-002	Fragmento de paño	4	3					X		A	18	Z	S	2	B	0.3								
F2	14											x		A	10	Z		1	B	0.1							
F2	14		DV-F2-UEA14-003	Fragmento de paño	2.7	2.5					X		A	16	Z	S	2	B	0.3								
F2	14											X		A	12	Z		1	B	0.1							
F2	14		DV-F2-UEA14-004	Fragmento de paño	4.9	3.3					X		A	14	Z	S	2	B	0.1								
F2	14											X		A	13	S		1	B	0.1							

F3	14		DV-F3-UEA14-001	Fragmento de paño	5.5	2.5							X						A	10	Z	S	2	B	0.25																			
F3	14														X						A	8	Z	S	2	B	0.31																	
F9	14-16	1	DV-F9-UEA14-16-N1-001	Fragmento de paño	13	12								X						A	12	Z	S	2	B	.5-1	X																	
F9	14-16	1													X						A	10	Z	S	2	B	.5-1	X																
F9	14-16	1	DV-F9-UEA14-16-N1-002	Fragmento de paño	6.6	7.5	6.6	7.5						X							A	13	Z	S	2	B	1-1.5	X																
F9	14-16	1													X							A	7	Z		1	B	0.5	X															
F9	14-16	1														Hilo de costura						A		Z	S	2	B	1.5		2 hilos lo conforma												Punto de costura		
F9	14-16	1	DV-F9-UEA14-16-N1-003	Fragmento de paño	16	4.3	16	4.3						X							A	12	Z	S	2	B	.4-1	Semi																
F9	14-16	1													X							A	8	Z		1	B	0.3	Semi															

F9	14-16	1	DV-F9- UEA14- 16-N1- 004	Fragment o de tejido spiral interlinkin g	12.5	1.6						1 elemento	V	Z	S	2	M	1											
F9	14-16	1	DV-F9- UEA14- 16-N1- 005	Fragment o de paño	6.5	5	6.5	5			X		A	8	Z	S	2	M	0.5										
F9	14-16	1										X		A	9	Z	S	2	M	0.5									
F9	14-16	2	DV-F9- UEA14- 16-N2- 001	Fragment o de paño	8	2					X		A	10	Z	S	2	B	0.19										
F9	14-16	2										X		A	10	Z	S	2	B	0.13									
F9	14-16	2	DV-F9- UEA14- 16-N2- 002	Fragment o de paño							X		A	20	Z	S	2	M	0.23										
F9	14-16	2										X		A	8	Z	S	2	M	0.08									
F9	14-16	2												Hilo de costura	A	Z	S	2	B	1.05									Horizont al
F9	14-16	2												Segunda tela	A	Z	S	2	B	0.19									

F2	15	DV-F2-UEA15-001	Fragmento de paño	39	2.5					X		A	13	Z	S	2	B	0.24																									
F2	15										X		A	18	Z		1	B	0.1																								
F2	15											Hilo verde	A	2	Z	S	2	V	0.26																								
F2	15	DV-F2-UEA15-002	Fragmento de paño	4.2	1.2					X		A		Z	S	2	B	0.11																									
F2	15										X		A		Z	S	2	B	0.15																								
F2	15	DV-F2-UEA15-003	Fragmento de paño	17	11					X		A	12	Z	S	2	B	0.33																									
F2	15										X		A	14	Z	S	2	B	0.25																								
F3	15	DV-F3-UEA15-001	Fragmento de paño	7.7	3.3					X		A	6	Z	S	2	B	0.4																									
F3	15										X		A	9	Z	S	2	B	0.6																								
F3	15	DV-F3-UEA15-002	Fragmento de paño	12	7.6	12	7.6		1	X		A	21	Z	S	2	B	0.1																						X			
F3	15										X		A	11	Z		1	B	0.1																								
F3	15											Hilo de costura	A		Z	S	4	B	0.3																								
F3	15											Hilo de refuerzo	A		Z		1	B	0.3																								

F3	15		DV-F3-UEA15-003	Fragmento de paño	21	15						X			A	16	Z	S	2	B	0.15															
F3	15													X		A	9	Z	S	2	B	0.32														
F1	16	2	DV-F1-UEA16-N2-001	Fragmento de paño	59	3.4	59	3.4		1	X			A	15	Z	S	2	B	0.3	X															
F1	16	2											X		A	11	Z			1	B	0.1	X													
F1	16	2	DV-F1-UEA16-N2-002	Fragmento de paño	4.1	3.5					X			A	15	Z	S	2	B	0.2																
F1	16	2											X		A	12	Z			1	B	0.1														
F1	16	2	DV-F1-UEA16-N2-003	Fragmento de paño	7	4.5					X			A	13	Z	S	2	B	0.3																
F1	16	2											X		A	10	Z	S	2	B	0.4															
F1	16	3	DV-F1-UEA16-N3-001	Fragmento de paño	3.5	2.8	3.5	2.8		1	X			A	12	Z	S	2	B	0.2																
F1	16	3											X		A	10	Z	S	2	B	0.2															
F1	16	3	DV-F1-UEA16-N3-002	Fragmento de paño	15.2	3.5					X			A	12	Z	S	2	B	0.5																
F1	16	3											X		A	7	Z			1	B	0.1														
F1	16	3												Hilo																						
F1	16	3												Hilo																						

F1	16	3	DV-F1-UEA16-N3-003	Fragmento de paño	12	3.3					X		A	11	Z	S	2	B	0.5																							
F1	16	3											X		A	10	Z		1	B	0.1																					
F1	16	3	DV-F1-UEA16-N3-004	Fragmento de paño	15.2	3.5	15.2	3.5		1	X		A	12	Z	S	2	B	0.5																							
F1	16	3											X		A	7	Z		1	B	0.1																					
F1	16	3												Hilo de costura	A		Z	S	3	B	0.4																				X	
F1	16	3												Hilo adicional	A		Z	S	2	A	0.1																					
F1	16	4	DV-F1-UEA16-N4-001	Fragmento de paño	10.5	3.5					X		A	11	Z	S	2	B	0.09																							
F1	16	4											X		A	20	Z	S	2	B	0.06																					
F1	16	4												Hilo verde	A	2	Z	S	2	V	0.15																					
F4	16		DV-F4-UEA16-001	Fragmento de paño	6.4	3					X		A	11	Z	S	2	B	0.22																							
F4	16												X		A	15	Z	S	2	B	0.15																					
1	16	3	DV-U1-UEA16-N3-001	Fragmento de paño	37	5				1	X		A	7	Z	S	2	B	0.42																							
1	16	3											X		A	11	Z	S	2	B	0.27																					
1	16	3											X		A	2	Z	S	2	M	0.43																					

1	16	3	DV-U1-UEA16-N3-008	Fragmento de paño	13.6	12.5						X			A	9	Z	S	2	B	0.28													
1	16	3												X		A	9	Z	S	2	B	0.16												
1	16	3													Hilo de costura	A		Z	S			B	0.16								X			
1	16	3	DV-U1-UEA16-N3-009	Fragmento de paño	27.3	4.8						X			A	10	Z	S	2	B	0.26													
1	16	3											X		A	8	Z	S	2	B	0.25													
1	16	3											X		A	2	Z	S	2	M	0.22													
1	16	3	DV-U1-UEA16-N3-010	Fragmento de paño	11	5						X			A	16	Z	S	2	B	0.12													
1	16	3											X		A	15	Z	S	2	B	0.12													
1	16	3													Hilo de costura	A		Z	S	2	B	0.57									X			
1	16	3													Hilo de costura	A		Z	S	2	B	0.35									X			
1	16	3											X		A	1	Z	S	2	M	0.16													
1	18		DV-U1-UEA18-001	Fragmento de paño	6	3.5						X			A	8	Z	S	2	B	0.5													
1	18												X		A	8	Z	S	2	B	0.3													
F8	18		DV-F8-UEA18-001	Fragmento de paño	10	4						X			A	14	Z	S	2	B	0.27													

F8	21A		DV-F8-UEA21A-002	Fragmento de paño	3.5	2.5					X			A	10	Z	S	2	B	0.16																						
F8	21A										X			A	12	Z	S	2	B	0.19																						
F8	21C		DV-F8-UEA21C-001	Fragmento de paño	12	8					X			A	8	Z	S	2	B	0.44																						
F8	21C										X			A	12	Z	S	2	B	0.31																						
F8	21C		DV-F8-UEA21C-002	Fragmento de paño	3.8	1.5					X			A	20	Z	S	2	B	0.23																						
F8	21C										X			A	8	Z	S	2	B	0.34																						
F8	21D				17	7					X			A	9	Z	S	2	B	0.21																						
F8	21D		DV-F8-UEA21D-001	Fragmento de paño							X			A	8	Z	S	2	B	0.33																						
F8	21D										X			A	5	Z	S	2	M	0.31																						
F8	21D											Hilo de costura		A		Z	S	2	B	0.32																						
F8	21D		DV-F8-UEA21D-002	Fragmento de paño	21	10.8					X			A	12	Z	S	2	B	0.25																						
F8	21D										X			A	7	Z	S	2	B	0.32																						
F8	21D		DV-F8-UEA21D-003	Fragmento de paño	10	4					X			A	10	Z	S	2	B	0.2																						
F8	21D										X			A	9	Z	S	2	B	0.19																						

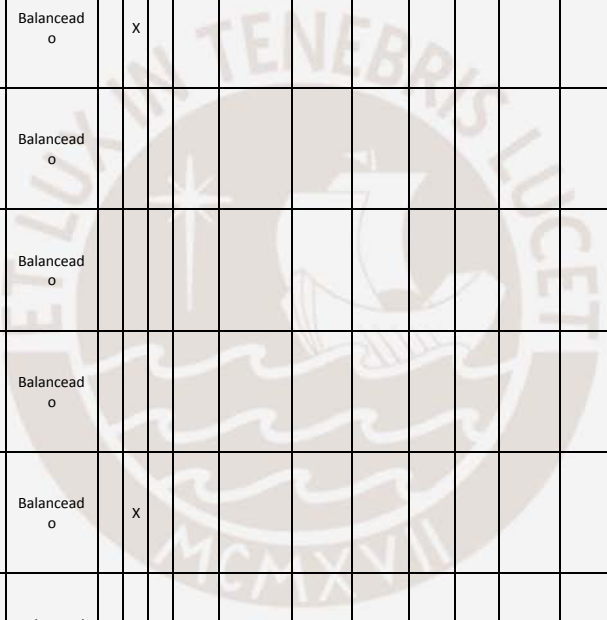
F8	21D		DV-F8-UEA21D-004	Fragmento de paño	5	4								X			A	14	Z	S	2	B	0.24																			
F8	21D															X			A	8	Z	S	2	B	0.34																	
F8	21D		DV-F8-UEA21D-005	Fragmento de paño	7	6								X			A	17	Z	S	2	B	0.14																			
F8	21D															X			A	6	Z	S	2	B	0.34																	
F8	21D		DV-F8-UEA21D-006	Fragmento de paño	12	11								X			A	10	Z	S	2	B	0.15																			
F8	21D															X			A	8	1	S	2	B	0.14																	
F8	21D		DV-F8-UEA21D-007	Fragmento de paño	5.7	4								X			A	8	Z	S	2	B	0.19																			
F8	21D															X			A	11	Z	S	2	B	0.2																	
F8	22B		DV-F8-UEA22B-001	Fragmento de paño	13.5	4								X			A	13	Z	S	2	B	0.2															X				
F8	22B															X			A	16	Z	S	2	B	0.2																	
F8	22B																		A		Z	S	2	B	0.2																	
F8	22B																		A		Z	S	2	B	0.2																	
F8	22C		DV-F8-UEA22C-001	Fragmento de paño	11	1.5								X			A		Z	S	2	B	0.3																			

F8	22D													Hilo de costura	A	Z	S	2	B	0.7						X		
F8	22D													Hilo de costura	A	Z	S	2	B	0.8								Punto de costura
F8	22D	DV-F8-UEA22D-004	Estera												V	Z		2		6.55								
F8	23-24	DV-F8-UEA23/2-4-001	Fragmento de paño	21.4	7.4	7.4	21.4	2	1	X					A	12	Z	S	2	B	0.5	X						
F8	23-24										X			A	10	Z	S	2	B	0.3	X							
F8	23-24	DV-F8-UEA23/2-4-002	Fragmento de paño	7.4	6						X			A	8	Z	S	2	B	0.3								
F8	23-24										X			A	8	Z	S	2	B	0.4								
F8	23-24	DV-F8-UEA23/2-4-003	Fragmento de paño	12	6	12	6		1	X				A	11	Z	S	2	B	0.3	X							
F8	23-24										X			A	8	Z	S	2	B	0.3	X							
F8	23-24													Hilo de costura	A	Z	S	3	M	0.6						X		
F8	23-24	DV-F8-UEA23/2-4-004	Fragmento de paño	7	4						X			A	2	Z	S	2	M	0.3								
F8	23-24										X			A	9	Z	S	2	B	0.4								
F8	23-24													Hilo de costura	A	Z	S	4	B	0.8								Punto de costura

F8	23-24										X			A	12	Z	S	2	B	0.3																					
1	28		DV-F8-UEA28-001	Fragmento de paño	6.5	4	6.5	4			1	X		A	7	Z	S	2	B	0.7																					
1	28		DV-F8-UEA28-001	Fragmento de paño								X		A	8	Z	S	2	B	0.5																					
1	28													Hilo de costura	A		Z	S	3	B	0.8																	X			
1	28														Hilo de costura	A		Z	S	3	B	0.5																		X	
1	29				DV-F8-UEA29-001	Fragmento de paño	5	4.4						X		A	14	Z	S	2	B	0.4	X																		
1	29		DV-F8-UEA29-002	Fragmento de paño								X		A	12	Z	S	2	B	0.3	X																				
1	29													X		A	10	Z	S	2	B	0.3																			
1	29		DV-F8-UEA39/40-001	Fragmento de paño								X		A	8	Z	S	2	B	0.1																					
1	39/40						1	1						X		A					B																				
1	39/40											X		A					B																						

Datos generales				Estructura								Cordón de telar			Evidencia de uso				Construcción					Decoración						Observaciones				
Unidad	Estrato	Nivel	Código	Llanos	Tapiz	Urdim. Comp.	Urdim. Supl.	Trama Comp.	Trama Supl.	1 Elemento	Superestr.	Otros	1	2	3	Otros	Remiendos	Zurcidos	Parches	Otros	N° Telas	Costuras	Dobles	Adicional	Detalles de Dobles	Estructural	Lista da	Brocado	Bordado		Pintado	Estilo	Diseño	
F9	0		DV-F9-UEA0-001	1x1								Cara de urdimbre																						
1	0		DV-U1-UEA0-001	2x1								Balanceado																						
1	0		DV-U1-UEA0-002	1x1								Predominancia de urdimbre																						
1	0		DV-U1-UEA0-003	1x1								Balanceado																						
1	0		DV-U1-UEA0-004	1x1								Balanceado																						
1	0		DV-U1-UEA0-005	1x1								Balanceado																						
1	0		DV-U1-UEA0-006	2x1								Balanceado																						

1	16	3	DV-U1-UEA16-N3-001	1x1								Balancead																										
												o																										
1	16	3	DV-U1-UEA16-N3-002	1x1								Balancead	X																									
												o																										
1	16	3	DV-U1-UEA16-N3-003	1x1								Balancead	X																									
												o																										
1	16	3	DV-U1-UEA16-N3-004	1x1								Balancead																										
												o																										
1	16	3	DV-U1-UEA16-N3-005	1x1								Balancead																										
												o																										
1	16	3	DV-U1-UEA16-N3-006	1x1								Balancead																										
												o																										
1	16	3	DV-U1-UEA16-N3-007	1x1								Balancead	X																									
												o																										
1	16	3	DV-U1-UEA16-N3-008	1x1								Balancead									X																	
												o																										
1	16	3	DV-U1-UEA16-N3-009	1x1								Balancead																										
												o																										



Datos generales						Dimensiones						Hilos										Tipos de costuras								
Sector	Unidad	Estrato	Nivel	Código del tejido	Tipo de Tejido	Largo	Ancho	Largo Urdimbre	Largo Trama	Orillos Urdimbre	Orillos Trama	Largo/Urdimbre	Ancho/Trama	Adicionales	Fibra	# por cm ²	Torsión	Retorsión	N° de cabos	Color	Grosor (mm)	Tupido	Otros	Surgete	Dentado	Hilvado Corrido	Encandelilla	A la aguja	Otro	
P1	C1	10		K-P1-C1-UEA10-001	Fragmento de paño	8	6.5	6.5	8		1	X			A	11	Z	S	2	M	0.17									
P1	C1	10											X		A	9	Z	S	2	M	0.22									
P1	C1	10		K-P1-C1-UEA10-002	Fragmento de paño	7	6					X			A	10	Z	S	2	M	0.21									
P1	C1	10											X		A	9	Z	S	2	M	0.15									
P1	C1	10		K-P1-C1-UEA10-003	Fragmento de paño	7.5	5					X			A	14	Z	S	2	M	0.17									
P1	C1	10											X		A	7	Z	S	2	M	0.4									
P1	C1	10		K-P1-C1-UEA10-004	Fragmento de paño	8	4					X			A	12	Z	S	2	B	0.23									
P1	C1	10											X		A	7	Z	S	2	B	0.25									
P1	C1	10		K-P1-C1-UEA10-005	Fragmento de paño	2.8	2.5					X			A	12	Z	S	2	M	0.33									
P1	C1	10											X		A	7	Z	S	2	M	0.25									
P1	C1	10		K-P1-C1-UEA10-006	Fragmento de paño	4	2.5					X			A	10	Z	S	2	B	0.19									
P1	C1	10											X		A	9	Z	S	2	B	0.19									
P1	C1	10		K-P1-C1-UEA10-007	Fragmento de paño	4.2	2.5	2.5	4.2			X			A	13	Z	S	2	M	0.19	X								
P1	C1	10											X		A	10	Z	S	2	M	0.18	X								
P1	C1	10		K-P1-C1-UEA10-008	Fragmento de paño	2	1.5					X			A	8	Z	S	2	M	0.26									
P1	C1	10											X		A	8	Z	S	2	M	0.26									
P1	C1	10		K-P1-C1-UEA10-009	Fragmento de paño	3.3	1.6					X			A	10	Z	S	2	M	0.21									
P1	C1	10											X		A	8	Z	S	2	M	0.38									
P1	C1	15		K-P1-C1-UEA15-001	Fragmento de paño	13.4	2.5					X			A	8	Z	S	2	B	0.4									
P1	C1	15											X		A	9	Z	S	2	B	0.33									
P1	C1	15		K-P1-C1-UEA15-002	Fragmento de paño	18	6					X			A	12	Z	S	2	M	0.16									
P1	C1	15											X		A	11	Z	S	2	M	0.13									

P1	C1	15		K-P1-C1-UEA15-003	Fragmen to de paño	Muy deteriorado								X					A	-	Z	S	2	M	0.16																	
P1	C1	15		K-P1-C1-UEA17-001	Fragmen to de paño	3	1.1							X					A	10	Z	S	2	B	0.22																	
P1	C1	17		K-P1-C1-UEA23-001	Fragmen to de paño									X					A	8	Z	S	2	B	0.2																	
P1	C1	23		K-P1-C1-UEA23-002	Fragmen to de paño									X					A	11	Z	S	2	M	0.17																	
P1	C1	23		K-P1-C1-UEA23-003	Fragmen to de paño	10	4.5							X					A	9	Z	S	2	M	0.16																	
P1	C1	23		K-P1-C1-UEA23-004	Fragmen to de paño	4	2.1							X					A		Z	S	2	M	0.13																	
P1	C1	23		K-P1-C1-UEA23-005	Fragmen to de paño									X					A		Z	S	2	M	0.11																	
P1	C1	23		K-P1-C1-UEA23-006	Fragmen to de paño	15	14	14	15	1				X					A	9	Z	S	2	M	0.18																	
P1	C1	23		K-P1-C1-UEA23-007	Fragmen to de paño									X					A	7	Z	S	2	M	0.2																	
P1	C1	23		K-P1-C1-UEA23-008	Fragmen to de paño	2.5	1.1							X					A	10	Z	S	2	B	0.21																	
P1	C1	23		K-P1-C1-UEA23-009	Fragmen to de paño									X					A	11	Z	S	2	B	0.16																	
P1	C1	23		K-P1-C1-UEA23-010	Fragmen to de paño	10.7	3							X					A	14	Z	S	2	M	0.23																	
P1	C1	23		K-P1-C1-UEA23-011	Fragmen to de paño									X					A	11	Z	S	2	M	0.18																	
P1	C1	23		K-P1-C1-UEA23-012	Fragmen to de paño	7.5	1.8	7.5	1.8		2			X					A	10	Z	S	2	M	0.24																	
P1	C1	23		K-P1-C1-UEA23-013	Fragmen to de paño									X					A	12	Z	S	2	M	0.27																	
P1	C1	23		K-P1-C1-UEA23-014	Fragmen to de paño	12	2.8							X					A		Z	S	2	M	0.19																	
P1	C1	23		K-P1-C1-UEA23-015	Fragmen to de paño									X					A		Z	S	2	M	0.21																	
P1	C1	23		K-P1-C1-UEA23-016	Fragmen to de paño	6.8	1.1							X					A		Z	S	2	M	0.17																	
P1	C1	23		K-P1-C1-UEA23-017	Fragmen to de paño									X					A		Z	S	2	M	0.29																	
P1	C1	23		K-P1-C1-UEA23-018	Fragmen to de paño	5	3.4							X					A		Z	S	2	M	0.19																	
P1	C1	23		K-P1-C1-UEA23-019	Fragmen to de paño									X					A		Z	S	2	M	0.32																	
P1	C1	23		K-P1-C1-UEA23-020	Fragmen to de paño	4	3							X					A	6	Z	S	2	M	0.32																	
P1	C1	23		K-P1-C1-UEA23-021	Fragmen to de paño									X					A	7	Z	S	2	M	0.25																	
P1	C1	23		K-P1-C1-UEA23-022	Fragmen to de paño	5.8	1.1							X					A		Z	S	2	M	0.21																	
P1	C1	23		K-P1-C1-UEA23-023	Fragmen to de paño									X					A		Z	S	2	M	0.21																	
P1	C1	23		K-P1-C1-UEA23-024	Fragmen to de paño	2.8	1.3							X					A		Z	S	2	B	0.23																	
P1	C1	23		K-P1-C1-UEA23-025	Fragmen to de paño									X					A		Z	S	2	B	0.16																	

P1	C1	23		K-P1-C1-UEA23-013	Fragmen to de paño	4.5	3							X						A	14	Z	S	2	M	0.25																
P1	C1	23		K-P1-C1-UEA23-013	Fragmen to de paño									X							A	10	Z	S	2	M	0.26															
P1	C1	23		K-P1-C1-UEA23-014	Fragmen to de paño	4.1	2.2							X							A	14	Z	S	2	M	0.16															
P1	C1	23		K-P1-C1-UEA23-014	Fragmen to de paño									X							A	10	Z	S	2	M	0.19															
P1	C1	23		K-P1-C1-UEA23-015	Fragmen to de paño	8.5	2							X							A		Z	S	2	M	0.25															
P1	C1	23		K-P1-C1-UEA23-015	Fragmen to de paño									X							A		Z	S	2	M	0.22															
P1	C1	23		K-P1-C1-UEA23-016	Fragmen to de paño	8	1							X							A		Z	S	2	M	0.29															
P1	C1	23		K-P1-C1-UEA23-016	Fragmen to de paño									X							A		Z	S	2	M	0.23															
P1	C1	Sup. De piso		K-P1-C1-UEASu p.-001	Fragmen to de paño	10	7							X							A	11	Z	S	2	B	0.22															
P1	C1	Sup. De piso				Fragmen to de paño										X							A	7	Z	S	2	B	0.14													
P1	C1	Sup. De piso																		Costura	A		Z	S	7	B	0.55														Punto de costura	
P1	C1	Sup. De piso		K-P1-C1-UEASu p.-002	Fragmen to de paño	5	3.5							X							A	9	Z	S	2	B	0.31															
P1	C1	Sup. De piso		K-P1-C1-UEASu p.-002	Fragmen to de paño									X							A	8	Z	S	2	B	0.21															
P1	C1	Sup. De piso		K-P1-C1-UEASu p.-003	Fragmen to de paño	3.9	1.4							X							A	10	Z	S	2	B	0.17															
P1	C1	Sup. De piso		K-P1-C1-UEASu p.-003	Fragmen to de paño									X							A	8	Z	S	2	B	0.14															
P1	C1	Sup. De piso		K-P1-C1-UEASu p.-004	Fragmen to de paño	2.5	1							X							A	12	Z	S	2	B	0.29															
P1	C1	Sup. De piso		K-P1-C1-UEASu p.-004	Fragmen to de paño									X							A	10	Z	S	2	B	0.26															
P1	C1	Sup. De piso		K-P1-C1-UEASu p.-005	Fragmen to de paño	1.4	0.5							X							A		Z	S	2	B	0.24															
P1	C1	Sup. De piso		K-P1-C1-UEASu p.-005	Fragmen to de paño									X							A		Z	S	2	B	0.21															
P1	C1	Sup. De piso		K-P1-C1-UEASu p.-006	Fragmen to de paño	2	1.8							X							A	18	Z	S	2	B	0.12															
P1	C1	Sup. De piso		K-P1-C1-UEASu p.-006	Fragmen to de paño									X							A	7	Z	S	2	B	0.27															

P1	C1	Sup. De piso		K-P1-C1-UEASu p.-007	Fragmen to de paño	4	3.5					X			A	18	Z	S	2	B	0.26																	
P1	C1	Sup. De piso		K-P1-C1-UEASu p.-007	Fragmen to de paño								X		A	7	Z		1	B	0.11																	
P1	C1	Sup. De piso		K-P1-C1-UEASu p.-008	Fragmen to de paño	3	2					X			A	12	Z	S	2	B	0.23																	
P1	C1	Sup. De piso		K-P1-C1-UEASu p.-008	Fragmen to de paño								X		A	10	Z	S	2	B	0.23																	
P1	C1	Sup. De piso		K-P1-C1-UEASu p.-009	Fragmen to de paño	1.5	1					X			A	10	Z	S	2	B	0.12																	
P1	C1	Sup. De piso		K-P1-C1-UEASu p.-009	Fragmen to de paño								X		A	10	Z	S	2	B	0.12																	
P1	C1	Sup. De piso		K-P1-C1-UEASu p.-010	Fragmen to de paño	1.8	1.6					X			A		Z	S	2	B	0.16																	
P1	C1	Sup. De piso		K-P1-C1-UEASu p.-010	Fragmen to de paño								X		A		Z	S	2	B	0.18																	
P1	C1	Sup. De piso		K-P1-C1-UEASu p.-011	Fragmen to de paño	9.8	5.8					X			A	6	Z	S	2	B	0.32																	
P1	C1	Sup. De piso		K-P1-C1-UEASu p.-011	Fragmen to de paño								X		A	12	Z		1	B	0.17																	
P1	C1	51		K-P1-C1-UEA51-001	Fragmen to de paño	2.7	2.4					X			A	15	Z	S	2	M	0.1	X																
P1	C1	51		K-P1-C1-UEA51-001	Fragmen to de paño								X		A	10	Z	S	2	M	0.17	X																
P1	C1	51		K-P1-C1-UEA51-002	Fragmen to de paño	16.7	14.5					X			A	14	Z	S	2	M	0.18	X																
P1	C1	51		K-P1-C1-UEA51-002	Fragmen to de paño								X		A	12	Z		1	M	0.15	X																
P1	C1	51		K-P1-C1-UEA51-003	Fragmen to de paño	7.3	3.5					X			A	17	Z	S	2	B	0.12																	
P1	C1	51		K-P1-C1-UEA51-003	Fragmen to de paño								X		A	10	Z	S	2	B	0.23																	
P1	C1	51		K-P1-C1-UEA51-004	Fragmen to de paño	2.8	1.7					X			A	17	Z	S	2	M	0.23	X																
P1	C1	51		K-P1-C1-UEA51-004	Fragmen to de paño								X		A	12	Z	S	2	M	0.29	X																
P1	C1	51		K-P1-C1-UEA51-005	Fragmen to de paño	3.7	3.2					X			A	16	Z	S	2	M	0.17	X																
P1	C1	51		K-P1-C1-UEA51-005	Fragmen to de paño								X		A	8	Z	S	2	M	0.25	X																
P1	C1	51		K-P1-C1-UEA51-006	Fragmen to de paño	5.5	3					X			A	10	Z	S	2	B	0.15																	
P1	C1	51		K-P1-C1-UEA51-006	Fragmen to de paño								X		A	12	Z		1	B	0.12																	
P1	C1	51		K-P1-	Fragmen	5.2	4					X			A	12	Z	S	2	B	0.22																	

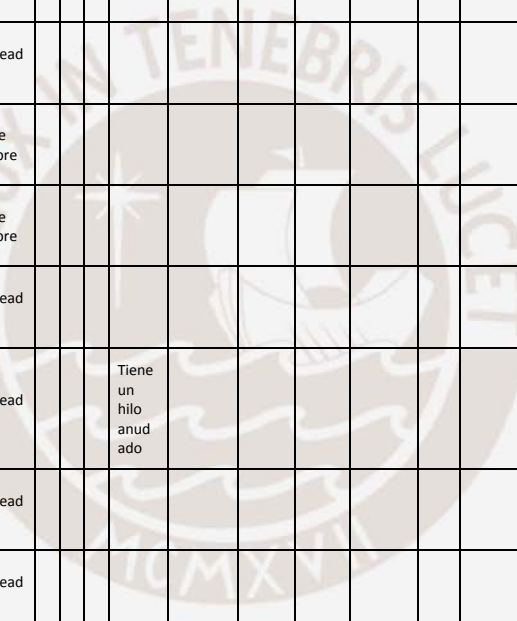
P1	C2	1	2	C2-UEA01-N2-009	to de paño								X		A	8	Z	S	2	B	0.23															
P1	C2	4		K-P1-C2-UEA04-001	Fragmen to de paño	3	2.5					X			A	10	Z	S	2	B	0.19															
P1	C2	4		K-P1-C2-UEA04-001	Fragmen to de paño								X		A	9	Z	S	2	B	0.27															
P1	C2	4		K-P1-C2-UEA04-002	Fragmen to de paño	2.5	2					X			A	10	Z	S	2	B	0.28															
P1	C2	4		K-P1-C2-UEA04-002	Fragmen to de paño								X		A	10	Z	S	2	B	0.29															
P1	C2	7		K-P1-C2-UEA07-001	Fragmen to de paño	5	3.5					X			A	12	Z	S	2	M	0.32	X														
P1	C2	7		K-P1-C2-UEA07-001	Fragmen to de paño								X		A	10	Z	S	2	M	0.34	X														
P1	C2	7		K-P1-C2-UEA07-002	Fragmen to de paño	2.5	1.5					X			A	12	Z	S	2	M	0.22	X														
P1	C2	7		K-P1-C2-UEA07-002	Fragmen to de paño								X		A	12	Z	S	2	M	0.28	X														
P1	C2	7		K-P1-C2-UEA07-003	Fragmen to de paño	2.2	1.3					X			A	12	Z	S	2	M	0.25															
P1	C2	7		K-P1-C2-UEA07-003	Fragmen to de paño								X		A	10	Z	S	2	M	0.25															
P1	C2	8	1	K-P1-C2-UEA08-N1-001	Fragmen to de paño	4.2	2					X			A	9	Z	S	2	B	0.24															
P1	C2	8	1	K-P1-C2-UEA08-N1-001	Fragmen to de paño								X		A	12	Z	S	2	B	0.2															
P1	C2	8	2	K-P1-C2-UEA08-N2-001	Fragmen to de paño	17	11	11	17	1	1	X			A	9	Z	S	2	B	0.35															
P1	C2	8	2	K-P1-C2-UEA08-N2-001	Fragmen to de paño								X		A	8	Z	S	2	B	0.31															
P1	C2	8	2	K-P1-C2-UEA08-N2-001	Fragmen to de paño									Cordón de telar	A		Z	S	2	B	0.28															
P1	C2	8	2	K-P1-C2-UEA08-N2-002	Fragmen to de paño	3.5	2	2	3.5		1	X			A	16	Z	S	2	B	0.21	X														
P1	C2	8	2	K-P1-C2-UEA08-N2-002	Fragmen to de paño								X		A	7	Z	S	2	B	0.34	X														
P1	C2	8	2	K-P1-C2-UEA08-N2-003	Fragmen to de paño	7	4					X			A	9	Z	S	2	B	0.32															
P1	C2	8	2	K-P1-C2-UEA08-N2-003	Fragmen to de paño								X		A	10	Z	S	2	B	0.37															
P1	C2	8	2	K-P1-C2-UEA08-N2-004	Fragmen to de paño	4.9	2.1					X			A	10	Z	S	2	B	0.34															
P1	C2	8	2	K-P1-C2-UEA08-N2-004	Fragmen to de paño								X		A	8	Z	S	2	B	0.37															
P1	C2	8	2	K-P1-C2-UEA08-N2-005	Fragmen to de paño	2.4	1.3					X			A	10	Z	S	2	M	0.32															
P1	C2	8	2	K-P1-C2-UEA08-N2-005	Fragmen to de paño								X		A	10	Z	S	2	M	0.28															
P1	C2	8	2	K-P1-C2-UEA08-N2-006	Fragmen to de paño	3.1	1.1					X			A	10	Z	S	2	M	0.32															
P1	C2	8	2	K-P1-C2-UEA08-N2-006	Fragmen to de paño								X		A	10	Z	S	2	M	0.28															
P1	C2	8	2	K-P1-C2-UEA08-N2-007	Fragmen to de paño	2	1.2					X			A	10	Z	S	2	M	0.23															
P1	C2	8	2	K-P1-C2-UEA08-N2-007	Fragmen to de paño								X		A	8	Z	S	2	M	0.23															

P3	C1	6		K-P3-C1-UEA06-007	Fragmen to de paño	11	10						X				A	12	Z	S	2	M	0.34							
P3	C1	6											X				A	10	Z	S	2	M	0.23							
P3	C1	6													Costura		A		Z	S	2	M	0.55							
P3	C1	6	3	K-P3-C1-UEA06-N3-001	Fragmen to de paño	2.3	2.1						X				A	10	Z	S	2	M	0.48							
P3	C1	6	3										X				A	8	Z	S	2	M	0.37							
P3	C1	6	3	K-P3-C1-UEA06-N3-002	Fragmen to de paño	1	1						X				A	12	Z	S	2	B	0.42							
P3	C1	6	3										X				A	16	Z	S	2	B	0.59							
P3	C1	07-08		K-P3-C1-UEA07-08-001	Fragmen to de paño	7	1.5						X				A	9	Z	S	2	M	0.35							
P3	C1	07-08											X				A	8	Z	S	2	M	0.17							
P3	C1	07-08		K-P3-C1-UEA07-08-002	Fragmen to de paño	2.7	2.3						X				A	13	Z	S	2	B	0.13							
P3	C1	07-08											X				A	12	Z	S	2	B	0.11							
P3	C1	07-08		K-P3-C1-UEA07-08-003	Fragmen to de paño	3	2.7						X				A	9	Z	S	2	B	0.2							
P3	C1	07-08											X				A	10	Z	S	2	B	0.22							
P3	C1	10		K-P3-C1-UEA10-001	Fragmen to de paño	5.5	1.1						X				A	26	Z	S	2	M	0.15							
P3	C1	10											X				A	9	Z	S	2	M	0.29							
P3	C1	10		K-P3-C1-UEA10-002	Fragmen to de paño	2.1	1	2.1	1				X				A	22	Z	S	2	M	0.19							
P3	C1	10											X				A	8	Z	S	2	M	0.37							
P3	C1	10													Cordón de telar		A		Z	S	2	M	0.19							
P3	C1	10		K-P3-C1-UEA10-003	Fragmen to de paño	2.5	1.4						X				A	12	Z	S	2	M	0.19							
P3	C1	10											X				A	8	Z	S	2	M	0.31							
P3	C1	10		K-P3-C1-UEA10-004	Fragmen to de paño	3.5	1.9						X				A	15	Z	S	2	M	0.16							
P3	C1	10											X				A	12	Z	S	2	M	0.22							
P3	C1	10		K-P3-C1-UEA10-005	Fragmen to de paño	4.3	3.3						X				A	12	Z	S	2	B	0.14							
P3	C1	10											X				A	14	Z	S	2	B	0.17							
P3	C1	11		K-P3-C1-UEA11-001	Fragmen to de paño	4	1.6						X				A	12	Z	S	2	M	0.17							
P3	C1	11											X				A	8	Z	S	2	M	0.25							
P3	C1	14		K-P3-C1-UEA14-	Fragmen to de paño	3.7	2.8						X				A	13	Z	S	2	B	0.19							
P3	C1	14											X				A	9	Z	S	2	B	0.13							

P3	C2	11	2	C2-UEA11-N2-001	to de paño							X		A	8	Z	S	2	B	0.25									
P3	C2	11	2	K-P3-C2-UEA11-N2-001	Fragmen to de paño	9	3.6				X			A	8	Z	S	2	B	0.29									
P3	C2	11	2	K-P3-C2-UEA11-N2-001	Fragmen to de paño						X			A	7	Z	S	2	B	0.29									
P3	C2	11	2	K-P3-C2-UEA11-N2-001	Fragmen to de paño	9.2	6.4				X			A	8	Z	S	2	B	0.17									
P3	C2	11	2	K-P3-C2-UEA11-N2-001	Fragmen to de paño						X			A	7	Z	S	2	B	0.16									
P3	C2	11	2	K-P3-C2-UEA11-N2-001	Fragmen to de paño	8.7	7.2				X			A	7	Z	S	2	B	0.15									
P3	C2	11	2	K-P3-C2-UEA11-N2-001	Fragmen to de paño						X			A	7	Z	S	2	B	0.22									
P3	C2	11	2	K-P3-C2-UEA11-N2-001	Fragmen to de paño	14	8.5				X			A	7	Z	S	2	B	0.26									
P3	C2	11	2	K-P3-C2-UEA11-N2-001	Fragmen to de paño						X			A	8	Z	S	2	B	0.23									
P3	C2	11	2	K-P3-C2-UEA11-N2-001	Fragmen to de paño	13.5	8.2				X			A	9	Z	S	2	B	0.2									
P3	C2	11	2	K-P3-C2-UEA11-N2-001	Fragmen to de paño						X			A	12	Z	S	2	B	0.24									
P3	C2	11	2	K-P3-C2-UEA11-N2-001	Fragmen to de paño								Costura	A		Z	S	2	B	0.58						X			
P3	C2	11	2	K-P3-C2-UEA11-N2-001	Fragmen to de paño	10	6				X			A	6	Z	S	2	B	0.28									
P3	C2	11	2	K-P3-C2-UEA11-N2-001	Fragmen to de paño						X			A	6	Z	S	2	B	0.26									
P3	C2	11	2	K-P3-C2-UEA11-N2-001	Fragmen to de paño	13	10				X			A	8	Z	S	2	B	0.33									
P3	C2	11	2	K-P3-C2-UEA11-N2-001	Fragmen to de paño						X			A	8	Z	S	2	B	0.28									
P3	C2	11	2	K-P3-C2-UEA11-N2-001	Fragmen to de paño	10	3.3				X			A	8	Z	S	2	B	0.24									
P3	C2	11	2	K-P3-C2-UEA11-N2-001	Fragmen to de paño						X			A	8	Z	S	2	B	0.22									
P3	C2	11	2	K-P3-C2-UEA11-N2-001	Fragmen to de paño	36	15				X			A	8	Z	S	2	B	0.28									
P3	C2	11	2	K-P3-C2-UEA11-N2-001	Fragmen to de paño						X			A	7	Z	S	2	B	0.25									
P3	C2	11	2	K-P3-C2-UEA11-N2-001	Fragmen to de paño								Nudo	A		Z	S	4	B	0.47									
P3	C2	11	2	K-P3-C2-UEA11-N2-001	Fragmen to de paño	1.4	1.1				X			A	12	Z	S	2	B	0.26									
P3	C2	11	2	K-P3-C2-UEA11-N2-001	Fragmen to de paño						X			A	14	Z	S	2	B	0.33									

Datos generales					Estructura								Cordón de telar				Evidencia de uso				Construcción					Decoración						Observaciones					
Sector	Unidad	Estrato	Nivel	Código del tejido	Llanos	Tapiz	Urdim. Comp.	Urdim. Supl.	Trama Comp.	Trama Supl.	1 Elemento	Superestr.	Otros	1	2	3	Otros	Remiendos	Zurcidos	Parques	Otros	N° Telas	Costuras	Dobles	Adicional	Detalles de Dobles	Estructural	Lista	Brocado	Bordado	Pintado		Estilo	Diseño			
P1	C1	10		K-P1-C1-UEA10-001	1X1								Balanceado																								
P1	C1	10		K-P1-C1-UEA10-002	1X1								Balanceado																								
P1	C1	10		K-P1-C1-UEA10-003	2X1								Balanceado																								
P1	C1	10		K-P1-C1-UEA10-004	1X1								Balanceado																								
P1	C1	10		K-P1-C1-UEA10-005	1X1								Balanceado																								
P1	C1	10		K-P1-C1-UEA10-006	1x1								Balanceado																								
P1	C1	10		K-P1-C1-UEA10-007	1X1								Balanceado																								
P1	C1	10		K-P1-C1-UEA10-008	1X1								Balanceado																								
P1	C1	10		K-P1-C1-UEA10-009	1X1								Balanceado																								
P1	C1	15		K-P1-C1-UEA15-001	1X1								Balanceado																								
P1	C1	15		K-P1-C1-UEA15-002	1X1								Balanceado																								
P1	C1	15		K-P1-C1-UEA15-003	1X1								Balanceado																								

P1	C1	52		K-P1-C1-UEA5 2-001a	1X1																Predominancia de urdimbre							X												2							
P1	C1	52		K-P1-C1-UEA5 2-001b	1X1																																										
P1	C1	52		K-P1-C1-UEA5 2-002	1X1																																										
P1	C1	52		K-P1-C1-UEA5 2-003	1X1																																										
P1	C1	52		K-P1-C1-UEA5 2-004	1X1																																										
P1	C1	52		K-P1-C1-UEA5 2-005	1X1																																										
P1	C1	52		K-P1-C1-UEA5 2-006	1X1																																										
P1	C1	52		K-P1-C1-UEA5 2-007	1X1																																										
P1	C1	52		K-P1-C1-UEA5 2-008	1X1																																										
P1	C1	52		K-P1-C1-UEA5 2-009	1X1																																										
P1	C1	52		K-P1-C1-UEA5 2-010	1X1																																										
P1	C1	52		K-P1-C1-UEA5 2-011	1X1																																										



P3	C2	9	2	K-P3-C2-UEA0 9-N2-008						X																										
P3	C2	9	2	K-P3-C2-UEA0 9-N2-009	1X1						Balanceado																									
P3	C2	9	2	K-P3-C2-UEA0 9-N2-010							X																									
P3	C2	9	2	K-P3-C2-UEA0 9-N2-011							X																									
P3	C2	9	2	K-P3-C2-UEA0 9-N2-012	1X1						Balanceado																									
P3	C2	9	2	K-P3-C2-UEA0 9-N2-013							X																									
P3	C2	9	2	K-P3-C2-UEA0 9-N2-014	1X1						Balanceado																									
P3	C2	10		K-P3-C2-UEA1 0-001	1x1						Balanceado				X							2														
P3	C2	10		K-P3-C2-UEA1 0-002	1X1						Balanceado																									
P3	C2	10		K-P3-C2-UEA1 0-003	1X1						Balanceado																								Está anudado	

Redes de Disco Verde:

Datos Generales				Dimensiones (cm)					Hilos						
Unidad	Estrato	Nivel	Código	Largo Total	Ancho Total	Perímetro	Diagonal	Diámetro	Tipo	Fibra	Color	Torsión	Retorsión	N° Cabos	Grosor (mm)
1	0		DV-U1-UEA0-001	7	5.5	2.5	1.1		Fragmento 1	A	B	Z-S	Z	8	0.95
1	0		DV-U1-UEA0-002	10.2	8	4	1.9		Fragmento 1	A	B	Z-S	Z	6	0.86
1	0		DV-U1-UEA0-003	21.5	12	4	1.8		Fragmento 1	A	B	Z-S	Z	6	0.55
1	0		DV-U1-UEA0-004	12	9.5	5.9	2.7		Fragmento 1	A	B	Z-S	Z	6	0.74
1	0		DV-U1-UEA0-005	24.5	23	9.2	4.5		Fragmento 1	A	B	Z-S	Z	6	0.96
1	0		DV-U1-UEA0-006	21.5	13.5	4.9	2.3		Fragmento 1	A	B	Z-S	Z	6	0.52
1	0		DV-U1-UEA0-007	24	19	5.4	3.6		Fragmento 1	A	B	Z-S	Z	8	1.17
1	0		DV-U1-UEA0-008	10.1	7	4.6	2.2		Fragmento 1	A	B	Z-S	Z	6	0.68
1	0		DV-U1-UEA0-009	17	11	4	1.8		Fragmento 1	A	B	Z-S	Z	6	1
1	0		DV-U1-UEA0-010	12	10	4.7	2.5		Fragmento 1	A	B	Z-S	Z	8	0.82
1	0								Hilo adicional 1	A	B	Z	S	2	0.34
1	0		DV-U1-UEA0-011	11	10	2.8	1.3		Fragmento 1	A	B	Z-S	Z	4	1.13
1	0								Hilo adicional 1	A	B	Z	S	2	0.41
1	0		DV-U1-UEA0-012	18	16	4.1	2		Fragmento 1	A	B	Z-S	Z	4	0.8
1	0		DV-U1-UEA0-013	11	10	2.2	1		Fragmento 1	A	B	Z-S	Z	6	0.88
1	0		DV-U1-UEA0-014	6.4	5	4.8	2.3		Fragmento 1	A	B	Z-S	Z	6	0.93
1	0		DV-U1-UEA0-015	7.9	6.5	6	3		Fragmento 1	A	B	Z-S	Z	6	0.83
1	0		DV-U1-UEA0-016	17	15	6	2.8		Fragmento 1	A	B	Z-S	Z	6	0.76
1	0		DV-U1-UEA0-017	16	12	4.3	1.9		Fragmento 1	A	B	Z-S	Z	6	0.89
1	0		DV-U1-UEA0-018	18	14	7.4	4.8		Fragmento 1	A	B	Z-S	Z	6	
1	0		DV-U1-UEA0-019	19	18	5.4	2.7		Fragmento 1	A	B	Z-S	Z	8	1.03
1	0		DV-U1-UEA0-020	9.5	8	6	2.7		Fragmento 1	A	B	Z-S	Z	6	0.76
1	0		DV-U1-UEA0-021	8.3	5	2.4	1.2		Fragmento 1	A	B	Z-S	Z	6	0.7
1	0		DV-U1-UEA0-022	9.5	7	4.2	1.8		Fragmento 1	A	B	Z-S	Z	8	0.72
1	0		DV-U1-UEA0-023	8.4	5.3	4	1.7		Fragmento 1	A	B	Z-S	Z	6	0.62
1	0		DV-U1-UEA0-024	5	1.5				Fragmento 1	A	B	Z-S	Z	15	1.45
1	0		DV-U1-UEA0-025	8	6				Fragmento 1	A	B	Z-S	Z	12	0.99
1	0		DV-U1-UEA0-026	9	8	2.8	1.3		Fragmento 1	A	B	Z-S	Z	4	0.32
1	0		DV-U1-UEA0-027	4.6	4.4				Fragmento 1	A	B	Z-S	Z	6	1.03
1	0		DV-U1-UEA0-028	10.5	9	5.1	2.6		Fragmento 1	A	B	Z-S	Z	4	0.32
1	0		DV-U1-UEA0-029	7	5	3.5	1.6		Fragmento 1	A	B	Z-S	Z	6	0.7
1	0		DV-U1-UEA0-030	8.3	5.9	4.2	1.9		Fragmento 1	A	B	Z-S	Z	6	
1	0		DV-U1-UEA0-031	2.7	2.5				Fragmento 1	A	B	Z-S	Z	6	0.85
1	0		DV-U1-UEA0-032	7.5	6.2	4.6	2.5		Fragmento 1	A	B	Z-S	Z	4	0.63
1	0		DV-U1-UEA0-033	6.5	5	3.4	1.6		Fragmento 1	A	B	Z-S	Z	6	0.52
1	0		DV-U1-UEA0-034						Fragmento 1	A	B	Z-S	Z	4	
1	0		DV-U1-UEA0-035	4	3.5				Fragmento 1	A	B	Z-S	Z	6	
1	0		DV-U1-UEA0-036	4.4	2.4				Fragmento 1	A	B	Z-S	Z	8	0.58
1	0		DV-U1-UEA0-037	17	12	5.6	2.6		Fragmento 1	A	B	Z-S	Z		0.23
1	0			13	12	5.7	2.7		Fragmento 2	A	B	Z-S	Z		0.3
1	0		DV-U1-UEA0-038	13	11.2	2.8	1.3		Fragmento 1	A	B	Z-S	Z	8	0.77
1	0		DV-U1-UEA0-039	3	1.5				Fragmento 1	A	B	Z-S	Z	4	0.27
1	0		DV-U1-UEA0-040	10	9.5	4	1.9		Fragmento 1	A	B	Z-S	Z	4	0.39

F9	0		DV-F9-UEAO-001	8	4				Fragmento 1	A	M	Z-S	Z	6	1
F9	0		DV-F9-UEAO-002	4.5	4	3.6	1.7		Fragmento 1	A	B	Z-S	Z	8	0.67
F9	0		DV-F9-UEAO-003	7	4.3	2.8	1.3		Fragmento 1	A	M	Z-S	Z	8	0.88
F9	0		DV-F9-UEAO-004	7	4	2.8	1.2		Fragmento 1	A	B	Z-S	Z	6	0.57
F9	0		DV-F9-UEAO-005	4.5	4	3	1.4		Fragmento 1	A	B	Z-S	Z	8	0.68
F9	0		DV-F9-UEAO-006	4	2	2.7	1.2		Fragmento 1	A	M	Z-S	Z	6	0.7
F9	0		DV-F9-UEAO-007	12	9	7.4	3.6		Fragmento 1	A	B	Z-S	Z	8	0.56
F9	0		DV-F9-UEAO-008	6	5	4	1.8		Fragmento 1	A	M	Z-S	Z	4	0.68
F9	0		DV-F9-UEAO-009	3.5	2	2.8	1.3		Fragmento 1	A	B	Z-S	Z	6	0.61
F9	0		DV-F9-UEAO-010	5.2	4	2.8	1.4		Fragmento 1	A	M	Z-S	Z	8	0.87
F9	0		DV-F9-UEAO-011	5.5	4.5	4	1.8		Fragmento 1	A	M	Z-S	Z	6	0.41
F9	0		DV-F9-UEAO-012	9	8	2.8	1.4		Fragmento 1	A	M	Z-S	Z	6	
F9	0		DV-F9-UEAO-013	18.4	10.5				Fragmento 1	A	B	Z-S	Z	12	0.65
F9	0		DV-F9-UEAO-014	11	7.5	4.3	2.4		Fragmento 1	A	M	Z-S	Z	9	0.76
F9	0		DV-F9-UEAO-015	17	4	2.4	1.2		Fragmento 1	A	B	Z-S	Z	6	0.48
F9	0		DV-F9-UEAO-016	13	12	5.6	2.7		Fragmento 1	A	B	Z-S	Z	6	0.58
F9	0		DV-F9-UEAO-017	9	8	8.4	4.2		Fragmento 1	A	B	Z-S	Z	6	
F9	0		DV-F9-UEAO-018	5.5	4.5	2.7	1.3		Fragmento 1	A	B	Z-S	Z	4	0.44
F9	0		DV-F9-UEAO-019	7.5	5.5	3.2	1.6		Fragmento 1	A	B	Z-S	Z	4	0.71
F9	0		DV-F9-UEAO-020	6	5.4	3.4	1.7		Fragmento 1	A	M	Z-S	Z	8	0.62
F9	0		DV-F9-UEAO-021	8	7	4	2		Fragmento 1	A	B	Z-S	Z	4	0.84
F9	0		DV-F9-UEAO-022	7	6	2.8	1.2		Fragmento 1	A	B	Z-S	Z	6	0.72
F9	0		DV-F9-UEAO-023	10.5	10	3	1.3		Fragmento 1	A	B	Z-S	Z	6	0.53
F9	0		DV-F9-UEAO-024	9	8	8	3.8		Fragmento 1	A	B	Z-S	Z	8	0.9
F9	0		DV-F9-UEAO-025	12.5	9.5	7.6	3.4		Fragmento 1	A	B	Z-S	Z	6	0.83
F9	0		DV-F9-UEAO-026	10.5	10	5.4	2.3		Fragmento 1	A	B	Z-S	Z	6	0.62
F9	0		DV-F9-UEAO-027	14	11	3.9	1.7		Fragmento 1	A	M	Z-S	Z	6	0.53
F9	0		DV-F9-UEAO-028	7	6.5	4.2	2.1		Fragmento 1	A	B	Z-S	Z	10	0.64
F9	0		DV-F9-UEAO-029	10	6	6.8	3.3		Fragmento 1	A	B	Z-S	Z	8	0.82
F9	0		DV-F9-UEAO-030	3.4	2.5				Fragmento 1	A	M	Z-S	Z	8	1.09
F9	0		DV-F9-UEAO-031	2.3	0.8				Fragmento 1	A	M	Z-S	Z	6	0.42
F9	0		DV-F9-UEAO-032	3.5	3				Fragmento 1	A	B	Z-S	Z	6	0.59
F9	0		DV-F9-UEAO-033	12	6.5	4.4	2		Fragmento 1	A	B	Z-S	Z	8	0.75
F9	0		DV-F9-UEAO-034	8.2	8	3.6	1.8		Fragmento 1	A	B	Z-S	Z	4	0.65
F9	0		DV-F9-UEAO-035	10.5	5	5.5	3		Hilo adicional 1	A	B	Z	S	2	0.22
F9	0		DV-F9-UEAO-036	10	9.5	3.4	1.5		Fragmento 1	A	B	Z-S	Z	6	0.51
F9	0		DV-F9-UEAO-037	8.8	5	3.8	1.6		Fragmento 1	A	B	Z-S	Z	6	0.52
F9	0		DV-F9-UEAO-038	7.2	6.6	4.2	1.9		Fragmento 1	A	M	Z-S	Z	6	0.53
F9	0		DV-F9-UEAO-039	6	5	2.7	1.3		Fragmento 1	A	B	Z-S	Z	6	0.62
F9	0		DV-F9-UEAO-040	1.9	1				Fragmento 1	A	B	Z-S	Z	6	0.53
F9	0		DV-F9-UEAO-041	5.6	3.4	2.4	1.2		Fragmento 1	A	B	Z-S	Z	8	0.69
F9	0		DV-F9-UEAO-042	6	5	6.2	2.6		Fragmento 1	A	B	Z-S	Z	6	0.62
F9	0		DV-F9-UEAO-043	8.5	8	3.2	1.6		Fragmento 1	A	B	Z-S	Z	6	0.53
F9	0		DV-F9-UEAO-044	12.5	7	10.8	5.1		Fragmento 1	A	B	Z-S	Z	6	0.68
F9	0		DV-F9-UEAO-045	8.5	7.5	4	1.9		Fragmento 1	A	B	Z-S	Z	6	0.55
F9	0		DV-F9-UEAO-046	23	15	9.7	4.2		Fragmento 1	A	B				4.01
F9	0								Fragmento 1 - Hilo 1	A	B	Z	S	8	0.87

F9	0									Fragmento 1 - Hilo 2	A	B	Z	S	14	2.48	
F9	0									Fragmento 1 - Hilo 3	A	B	Z	S	10	2.28	
F9	2		DV-F9-UEA2-001	18.2	13.8	8.5	4			Fragmento 1	A	B	Z-Z-S	Z	8	0.88	
F9	2		DV-F9-UEA2-002	9	8.8					Fragmento 1	A	B	Z-S	Z	9	0.98	
F9	2,3,4		DV-F9-UEA2,3,4-001	7.5	6.2	3.8	1.7			Fragmento 1	A	B	Z-S	Z	6	0.47	
F9	2,3,4		DV-F9-UEA2,3,4-002	6.2	5.7	3.7	1.5			Fragmento 1	A	B	Z-S	Z	6	1.15	
F9	2,3,4		DV-F9-UEA2,3,4-003	8.3	7.6	2.6	1.5			Fragmento 1	A	B	Z-S	Z	8	0.63	
F9	3		DV-F9-UEA3-001	6.8	1.2	2.5	1.2			Fragmento 1	A	B	Z-S	Z	8	0.77	
F9	3		DV-F9-UEA3-002	11.2	10	7.8	3.6			Fragmento 1	A	M	Z-S	Z	4	0.99	
F9	4		DV-F9-UEA4-001	5.5	4.5	3.2	1.3			Fragmento 1	A	B	Z-S	Z	8	0.88	
F9	4		DV-F9-UEA4-002	11	8	6.2	4			Fragmento 1	A	B	Z-S	Z	8	0.72	
F9	4			Hilo adicional 1							A	B	Z-S	Z	6	0.57	
F9	4		DV-F9-UEA4-003	6	5	3.5	1.5			Fragmento 1	A	B	Z-S	Z	8	0.78	
F9	4			7	5	2.8	1.2				Fragmento 2	A	B	Z-S	Z	4	0.48
F9	4			Hilo adicional 1							A	B	Z-S	Z	8	0.62	
F9	4			Hilo adicional 2							A	B	Z	S	4	0.51	
F9	4			Hilo adicional 3							A	B	Z-S	Z	6	0.57	
F9	4		DV-F9-UEA4-004	5.9	5	3.3	1.3			Fragmento 1	A	B	Z-S	Z	8	0.78	
F9	4			Hilo adicional 1							A	B	Z-S	Z	8	0.58	
F9	4		DV-F9-UEA4-005	3	2					Fragmento 1	A	B	Z-S	Z	6	0.63	
F9	4		DV-F9-UEA4-006	8	6.9	3.5	1.6			Fragmento 1	A	B	Z-S	Z	8	0.93	
F9	L1-5		DV-F9-UEAL1/5-001	5.5	4	2	0.9			Fragmento 1	A	B	Z-S	Z	8	0.93	
F9	L1-5		DV-F9-UEAL1/5-002	7.2	5.4	2.7	1.2			Fragmento 1	A	B	Z-S	Z	6	0.53	
F9	L1-5		DV-F9-UEAL1/5-003	7.9	6.5	3.9	1.8			Fragmento 1	A	B	Z-S	Z	8	0.65	
F9	5,6,7		DV-F9-UEA5,6,7-001	10	9.8	4	1.9			Fragmento 1	A	B	Z-S	Z	8	1	
F9	5,6,7		DV-F9-UEA5,6,7-002	4	3.6	2.8	1.4			Fragmento 1	A	B	Z-S	Z	8	0.75	
F9	5,6,7		DV-F9-UEA5,6,7-003	4.4	3.3					Fragmento 1	A	B	Z-S	Z	10	0.86	
F9	5,6,7		DV-F9-UEA5,6,7-004	5.9	4.4	3.3	1.6			Fragmento 1	A		Z-S	Z	4	0.68	
F9	5,6,7		DV-F9-UEA5,6,7-005	10.2	7.3	6.9	3.6			Fragmento 1	A	B	Z-S	Z	8	0.78	
F9	5,6,7		DV-F9-UEA5,6,7-006	9.3	6.4	3.3	2			Fragmento 1	A	B	Z-S	Z	8	0.79	
F9	8, 9, 10, 11		DV-F9-UEA8,9,10,11-001	4.5	3.2	2.7	1.3			Fragmento 1	A	B	Z-S	Z	6	0.96	
F9	8, 9, 10, 11		DV-F9-UEA8,9,10,11-002	7	5	3.3	1.5			Fragmento 1	A	B	Z-S	Z	6	0.59	
F9	8, 9, 10, 11		DV-F9-UEA8,9,10,11-003	9.5	7.5	3.2	1.4			Fragmento 1	A	B	Z-S	Z	6	0.58	
1	9		DV-F9-UEA9-001	3.4	0.6					Fragmento 1	A	B	Z-S	Z	4	0.7	
1	9			4	0.2						Fragmento 2	A	B	Z-S	Z	4	0.7
1	9		DV-F9-UEA9-002	6.4	5.4	3.7	1.1			Fragmento 1	A	B	Z-S	Z	6	0.6	
F3	9		DV-F3-UEA9-001	8	7.7	2.8	1.3			Fragmento 1	A	B	Z-S	Z	8	0.9	
F2	10		DV-F2-UEA10-001	6	4	3.7	1.5			Fragmento 1	A	B	Z-S	Z	8	1	
F2	10		DV-F2-UEA10-002	4.4	0.9	3.3	1.5			Fragmento 1	A	B	Z-S	Z	4	0.35	
F2	10		DV-F2-UEA10-003	4	2.5	3.2	1.7			Fragmento 1	A	B	Z-S	Z	4	0.51	
F2	11		DV-F2-UEA11-001	2.5	1.1					Fragmento 1	A	B	Z-S	Z	8	0.8	
F2	11		DV-F2-UEA11-002	14.3	4.1					Fragmento 1/Hilo 1	A	B	Z	S	2	0.4	
F2	11			Fragmento 1/Hilo 2							A	B	Z-S	Z	4	0.6	
F9	12		DV-F9-UEA12-001	5.5	5	3.6	1.6			Fragmento 1	A	B	Z-S	Z	10	1	
F9	12		DV-F9-UEA12-002	1.2	.7					Fragmento 1	A	B	Z-S	Z	8	1	
F9	12		DV-F9-UEA12-003	7.3	7	3.2	1.4			Fragmento 1	A	B	Z-S	Z	4	1	

F9	12		DV-F9-UEA12-004	5	3.1			Hilo 1	A	B	Z-S	Z	10	0.97
F9	12		DV-F9-UEA12-005					Hilo 2	A	B	Z-S	S	12	0.8
F1	12		DV-F1-UEA12-001	3.5	1.9			Fragmento 1	A	B	Z-S	Z	6	0.86
F2	13		DV-F2-UEA13-001	1.5	.5			Fragmento 1	A	B	Z-S	Z	4	0.67
F1	13		DV-F1-UEA13-001	6.7	2			Fragmento 1	A	B	Z-S	Z	8	1.1
F1	13							Hilo adicional 1	A	B	Z-S	Z	6	0.7
F1	13							Hilo adicional 2	A	B	Z-S	Z	8	1
F1	13		DV-F1-UEA13-002	5.4	4.7	3	1.5	Fragmento 1	A	B	Z-S	Z	6	0.9
F1	13		DV-F1-UEA13-003	3	1.8			Fragmento 1	A	B	Z-S	Z	7	1
F2	13		DV-F2-UEA13-002	12	9	6.1	2.8	Fragmento 1	A	B	Z-S	Z	4	0.61
F9	13		DV-F9-UEA13-001	19	18	8.3	4.1	Fragmento 1	A	B	Z-S	Z	10	1.3
F9	13		DV-F9-UEA13-002	5	4.4	2.8	1.7	Fragmento 1	A	B	Z-S	Z	4	0.58
F9	13							Hilo adicional 1	A	B	Z-S	Z	4	0.38
F9	13				5.8	4	2.8	1.1	Fragmento 1	A	B	Z-S	Z	8
F9	13		DV-F9-UEA13-004	17.3	14	3.7	1.6	Fragmento 1	A	B	Z-S	Z	6	0.66
F9	13							Hilo adicional 1	A	B	Z	S	3	0.45
F9	13							Hilo adicional 2	A	B	Z	S	3	0.52
F9	13		DV-F9-UEA13-005	3.2	2.5	2.8	1.4	Fragmento 1	A	B	Z-S	Z	4	0.97
F9	13		DV-F9-UEA13-006	9	6.5	3.8	1.5	Fragmento 1	A	B	Z-S	Z	10	0.68
F9	13							Hilo adicional 1a	A	B	Z-S	Z	6	0.69
F9	13							Hilo adicional 1b	A	B	Z-S	Z	8	0.67
F9	13		DV-F9-UEA13-007	13	8	4.8	2.2	Fragmento 1	A	B	Z-S	Z	6	0.76
F9	13		DV-F9-UEA13-008	16	14	4	2	Fragmento 1	A	B	Z-S	Z	8	0.89
F9	13							Hilo adicional 1	A	B	Z	S	2	0.23
F9	13		DV-F9-UEA13-009	8.4	6.3	2.4	1.2	Fragmento 1	A	B	Z-S	Z	6	0.72
F1	14		DV-UEA14-001	6.7	4.4	3.5	1.6	Fragmento 1	A	B	Z-S	Z	6	0.8
F1	14		DV-UEA14-002	7.4	4.4	3.6	1.5	Fragmento 1	A	B	Z-S	Z	6	0.9
F1	14		DV-UEA14-003	3.4	2.5			Fragmento 1	A	B	Z-S	Z	6	0.8
F1	14		DV-UEA14-004	2.2	1.4			Fragmento 1	A	B	Z-S	Z	8	0.9
F1	14		DV-UEA14-005	4.9	3			Fragmento 1	A	B	Z-S	Z	8	0.9
F2	14		DV-UEA14-006	7.5	3.9			Fragmento 1	A	B	Z-S	Z	10	1.1
F2	14		DV-UEA14-007	4.8	2.3	3.8	1.6	Fragmento 1	A	B	Z-S	Z	6	0.8
F2	14		DV-UEA14-008	2.9	1.2			Fragmento 1	A	A y B	Z-S	Z	4	0.9
F2	14		DV-UEA14-009	4	3.7	3.5	1.7	Fragmento 1	A	B	Z-S	Z	6	0.8
F2	14		DV-UEA14-010	5.6	4	3.7	1.9	Fragmento 1	A	B	Z-S	Z	6	1
F3	14		DV-UEA14-011	7.3	6	2.8	1.3	Fragmento 1	A	B	Z-S	Z	6	0.7
F3	14		DV-UEA14-012	9.7	8.8	3.6	1.6	Fragmento 1	A	B	Z-S	Z	8	1.1
F3	14		DV-UEA14-013	4.5	4.1	3	1.4	Fragmento 1	A	B	Z-S	Z	6	0.8
F1	14		DV-UEA14-014	19.4	16.3	8.3	3.9	Fragmento 1	A	B	Z-S	Z	10	1
F1	14		DV-UEA14-015	8.5	7.9	4.4	2.1	Fragmento 1	A	B	Z-S	Z	6	0.8
F1	14		DV-UEA14-016	10.8	6.5	4.5	2	Fragmento 1	A	B	Z-S	Z	6	0.8
F1	14					3.9	1.7		Cocada 2					
F1-2	14		DV-UEA14-017	12	4.6			Fragmento 1	A	M	Z-S	Z	8	0.79
F1-2	14		DV-UEA14-018	38	10.2			Fragmento 1	A	B	Z-S	Z	12	0.86
F1-2	14		DV-UEA14-019	10	9.5	3.2	1.5	Fragmento 1	A	B	Z-S	Z	6	0.67
F1-2	14		DV-UEA14-020	9	5	3.8	1.7	Fragmento 1	A	B	Z-S	Z	6	0.67
F1-2	14		DV-UEA14-021	5.5	5	3.2	1.4	Fragmento 1	A	B	Z-S	Z	4	0.81
F1-2	14		DV-UEA14-022	6.1	4.5	2.8	1.3	Fragmento 1	A	B	Z-S	Z	4	0.61

F1-2	14		DV-UEA14-023	10	6.5	5.4	2.5		Fragmento 1	A	B	Z-S	Z	4	0.9
F1-2	14		DV-UEA14-024	7.2	7	2.8	1.2		Fragmento 1	A	B	Z-S	Z	8	0.66
F1-2	14		DV-UEA14-025	17	14	3.8	1.8		Fragmento 1	A	B	Z-S	Z	8	0.75
F1-2	14		DV-UEA14-026	16	13	3.8	1.8		Fragmento 1	A	B	Z-S	Z	4	0.73
F1-2	14			Hilo adicional 1					A	B,R	Z-S	Z	6	0.67	
F1-2	14		DV-UEA14-027	24	22	12.9	5.96		Fragmento 1	A	B	Z-S	Z	12	1.17
F1-2	14			Fragmento 2	24	16	12.7	6		A	B	Z-S	Z	12	1.17
F1-2	14			Fragmento 3	23	15	11.4	5.5		A	B	Z-S	Z	12	1.05
F1-2	14		DV-UEA14-028	14	12	8.8	4.2		Fragmento 1a	A	B	Z-S	Z	10	1.03
F1-2	14		DV-UEA14-029	10.5	8	8.8	4.5		Fragmento 1b	A	M	Z-S	Z	10	0.93
F1-2	14		DV-UEA14-030	5	3	3.7	1.7		Fragmento 1	A	B	Z-S	Z	6	0.66
F1-2	14		DV-UEA14-031	14	9	8.6	4		Fragmento 1	A	B	Z-S	Z	8	1.15
F1-2	14		DV-UEA14-032	12	10	3.6	1.6		Fragmento 1	A	B	Z-S	Z	6	0.65
F1-2	14		DV-UEA14-033	4.7	4.1				Fragmento 1	A	B	Z-S	Z	8	0.93
F1-2	14		DV-UEA14-034	21	13	3.3	1.7		Fragmento 1	A	B	Z-S	Z	6	0.54
F1	14		DV-UEA14-035	3	2				Fragmento 1	A	B	Z-S	Z	4	0.66
F3	14		DV-UEA14-036	5	4.5				Fragmento 1	A	B	Z-S	Z	12	1.52
F3	14		DV-UEA14-037	1.5	1	2.7	1.3		Fragmento 1	A	B	Z-S	Z	4	0.64
F3	14		DV-UEA14-038	5.2	2.3	3.2	1.5		Fragmento 1	A	B	Z-S	Z	4	0.72
F3	14		DV-UEA14-039	6	5	2.8	1.3		Fragmento 1	A	B	Z-S	Z	4	0.82
F3	14		DV-UEA14-040	12.5	2.8				Fragmento 1	A	B	Z-S	Z	4	0.71
F3	14		DV-UEA14-041	4	2.8				Fragmento 1	A	B	Z-S	Z	4	0.48
F3	14		DV-UEA14-042	3.1	1.3				Fragmento 1	A	B	Z-S	Z		0.69
F9	14-16	1	DV-UEA14-16-N2-001	9.5	7.3	5.4	2.5		Fragmento 1	A	M	S	Z	2	0.68
F9	14-16	1		Diagonal 1						A	M	S	Z	2	0.58
F9	14-16	1		Diagonal 2						A	M	S	Z	2	0.56
F9	14-16	1	DV-UEA14-16-N2-002	7.5	7	6	3		Fragmento 1	A	M	Z-S	Z	8	0.85
F9	14-16	1	DV-UEA14-16-N2-003	3	1				Fragmento 1	A	B	Z-S	Z	10	0.86
F9	14-16	1		Fragmento 2	2.5	1				A	B	Z-S	Z	10	0.96
F9	14-16	1	DV-UEA14-16-N2-004	3.7	3.5				Fragmento 1	A	B	Z-S	Z	8	0.75
F9	14-16	1	DV-UEA14-16-N2-005	13.4	8.5	10	4.5		Fragmento 1	A	B	Z-S	Z	6	0.95
F9	14-16	1		Fragmento 1	6	4.3	4.4	1.8		A	B	Z-S	Z	6	0.72
F9	14-16	1	DV-UEA14-16-N2-006	7	4.7				Fragmento 2	A	B	Z-S	Z	6	0.74
F9	14-16	1		Fragmento 3	3	.3				A	B	Z-S	Z	6	0.73
F9	14-16	1		Fragmento 1	14.3	12.8	3.2	1.5		A	B	Z-S	Z	6	0.81
F9	14-16	1	DV-UEA14-16-N2-007			4	1.9		Fragmento 2	A	B	Z-S	Z	6	0.68
F9	14-16	1		Fragmento 3						A	B	Z-S	Z	6	0.74
F9	14-16	1	DV-UEA14-16-N2-008	10.4	6.8	6.8	3.1		Fragmento 1	A	B	Z-S	Z	8	0.73
F9	14-16	1	DV-UEA14-16-N2-009	9.3	7.8	7.9	3.6		Fragmento 1	A	B	Z-S	Z	12	0.94
F9	14-16	1	DV-UEA14-16-N2-010	7.9	7.8	7.6	3.6		Fragmento 1	A	B	Z-S	Z	8	0.67
F9	14-16	1	DV-UEA14-16-N2-011	10.2	9.7	6.7	3.2		Fragmento 1	A	B	Z-S	Z	6	0.69
F9	14-16	1			2.5	.6									
F9	14-16	1	DV-UEA14-16-N2-012	4.9	2.7				Fragmento 1	A	B	Z-S	Z	6	0.70

F9	14-16	1	DV-UEA14-16-N2-013	2.3	2				Fragmento 1	A	M	Z-S	Z	8	0.61
F9	14-16	1	DV-UEA14-16-N2-014	1.5	1.5				Fragmento 1	A	B	Z-S	Z	10	0.88
F9	14-16	1		3	2.7				Fragmento 2	A	B	Z-S	Z	10	0.89
F9	14-16	1		6	4.5				Fragmento 3	A	B	Z-S	Z	10	0.94
F2	15		DV-UEA15-001	6.5	6	2.4	1.2		Fragmento 1	A	M	Z-S	Z	4	0.83
F4	16		DV-UEA16-001	5.7	4.5	3.8	1.6		Fragmento 1	A	B	Z-S	Z	8	0.66
F4	16		DV-UEA16-002	7.4	4	3.8	1.6		Fragmento 1	A	B	Z-S	Z	6	0.67
1	16	1	DV-UEA16-N1-001	4.4	3.2				Fragmento 1	A	B	Z-S	Z	10	0.79
F1	16	3	DV-UEA16-N3-001	18.2	15	3.6	1.6		Fragmento 1	A	B	Z-S	Z	8	0.7
F1	16	3	DV-UEA16-N3-002	8.2	7.4	3.6	1.6		Fragmento 1	A	B	Z-S	Z	8	1
1	16	3	DV-UEA16-N3-003	11	3				Fragmento 1	A	B	Z	S	2	0.4
1	16	3	DV-UEA16-N3-004	4	3	2.6	1.3		Fragmento 1	A	B	Z-S	Z	4	0.65
1	16	3	DV-UEA16-N3-005	2.8	2.3				Fragmento 1	A	M	Z-S	Z	4	1.03
1	16	3	DV-UEA16-N3-006	4.5	3.5	4.2	1.9		Fragmento 1	A	B	Z-S	Z	4	0.62
1	16	3	DV-UEA16-N3-007	5.7	5.3	3.9	1.7		Fragmento 1	A	B	Z-S	Z	4	0.57
1	16	3		Hilo adicional 1						A	B	Z-S	Z	4	0.61
1	16	3	DV-UEA16-N3-008	4.8	4	3	1.5		Fragmento 1	A	B	Z-S	Z	5	0.76
1	16	3		Hilo adicional 1						A	B	Z-S	Z	4	0.59
1	16	3	DV-UEA16-N3-009	9.89	0.7				Fragmento 1	A	B	Z	S	2	0.4
1	16	3	DV-UEA16-N3-010	8	6	4.7	2.2		Fragmento 1	A	B	Z-S	Z	8	0.98
1	16	3		Hilo adicional 1						A	B	Z-S	Z	6	0.84
1	16	3	DV-UEA16-N3-011	8.8	6.5	5.3	2.5		Fragmento 1	A	B	Z-S	Z	4	0.33
1	16	3	DV-UEA16-N3-012	2.8	2.4	2.6	1.2		Fragmento 1	A	B	Z-S	Z	4	0.6
1	16	3	DV-UEA16-N3-013	28	20	12.6	6.2		Fragmento 1	A	B	Z-S	Z	6	0.82
1	16	3		Hilo adicional 1						A	B	Z-S	Z	6	1.06
1	16	3	DV-UEA16-N3-014	4.8	3.8				Fragmento 1	A	B	Z	S	2	0.47
1	16	3	DV-UEA16-N3-015	11.3	10	4.2	2		Fragmento 1	A	B	Z-S	Z	8	0.9
F8	17		DV-UEA17-001	6	3.5	2.6	1.2		Fragmento 1	A	B	Z-S	Z	6	0.7
F4	18		DV-UEA18-001	4.5	3.8	3.7	1.5		Fragmento 1	A	B	Z-S	Z	6	0.6
F4	18		DV-UEA18-002	2.5	2				Fragmento 1	A	B	Z-S	Z	6	1.1
F4	18		DV-UEA18-003	4.4	2.2				Fragmento 1	A	B	Z-S	Z	8	1
F4	18		DV-UEA18-004	7.8	7.5	3	2		Fragmento 1	A	B	Z-S	Z	6	0.6
F4	18		DV-UEA18-005	6.1	4.9	3.7	2		Fragmento 1	A	B	Z-S	Z	6	1
F4	18		DV-UEA18-006	4.3	2.2	4.6	2.3		Fragmento 1	A	B	Z-S	Z	6	0.9
F4	18		DV-UEA18-007	19.2	7.3	2.9	1.4		Fragmento 1	A	B	Z-S	Z	6	0.97
F8	18		DV-UEA18-008	4	3.6	2.8	1.3		Fragmento 1	A	B	Z-S	Z	2	0.59
F8	18		DV-UEA18-009	5	4.4	3.5	1.7		Fragmento 1	A	B	Z-S	Z	6	0.93
F8	18			Hilo adicional 1a						A	B	Z-S	Z	6	0.75
F8	18			Hilo adicional 1b						A	B	Z-S	Z	6	0.82
F4	19		DV-UEA19-001	4.1	3.9				Fragmento 1	A	B	Z-S	Z	6	1.4
F4	19		DV-UEA19-002	11.2	4.9				Fragmento 1	A	B	S	Z	2	1
F8	19		DV-UEA19-003	25.4	3.6				Fragmento 1	A	B	Z-S	Z	12	1.34
F8	19		DV-UEA19-004	18	7.4	5.8	2.8		Fragmento 1	A	B	Z-S	Z	4	0.67
F8	19		DV-UEA19-005	4.5	4	2.8	1.4		Fragmento 1	A	B	Z-S	Z	4	0.57
F8	19		DV-UEA19-006	7.2	4				Fragmento 1	A	B	Z-S	Z	8	0.93
F8	19		DV-UEA19-007	4	2.5	3.7	2		Fragmento 1	A	B	Z-S	Z	6	0.84
F8	19		DV-UEA19-008	7.2	6.5	2.4	1.2		Fragmento 1	A	B	Z-S	Z	4	0.57

F8	19								Hilo adicional 1	A	B	Z-S	Z	4	0.48
1	20		DV-UEA20-001	4.8	4				Fragmento 1	A	B	Z	Z	2	0.45
1	20								Hilo adicional	A	B	S	S	2	0.44
1	20		DV-UEA20-002	6.7	3				Fragmento 1	A	B	Z-S	Z	4	1
1	20							Incompleto	Bolsa	A	B	Z	S	2	1
1	20		DV-UEA20-003	13.6	2.7				Hilo de la boca	A	B	Z	S	2	.5-1
1	21		DV-UEA21-001	20	12	5.8	3.2		Fragmento 1	A	B	Z-S	Z	8	1.07
1	21		DV-UEA21-002	14.5	5	2.5	1.2		Fragmento 1	A	B	Z-S	Z	4	0.87
1	21			10.3	8.2	5.9	2.96		Fragmento 1	A	B	Z-S	Z	6	0.91
1	21								Hilo adicional 1a	A	B	Z-S	Z	6	0.67
1	21		DV-UEA21-003						Hilo adicional 1b	A	B	Z-S	Z	4	0.81
1	21								Hilo adicional 2a	A	B	Z-S	Z	6	0.8
1	21								Hilo adicional 2b	A	B	Z-S	Z	6	0.84
1	21		DV-UEA21-004	11.3	8.8	4.3	2		Fragmento 1	A	M	Z-S	Z	4	0.84
1	21		DV-UEA21-005	12.6	7.6	6	2.8		Fragmento 1	A	B	Z-S	Z	6	0.92
1	21		DV-UEA21-006	4.2	1.9				Fragmento 1	A	B	Z	S	2	0.47
1	21		DV-UEA21-007	7.4	6	5.2	2.5		Fragmento 1	A	B	Z-S	Z	4	0.68
1	21		DV-UEA21-008	5	4.8	2.8	1.3		Fragmento 1	A	B	Z-S	Z	4	0.96
1	21		DV-UEA21-009	18.3	12	3.2	1.6		Fragmento 1	A	B	Z-S	Z	4	0.77
1	21								Hilo adicional 1	A	B	Z-S	Z	4	0.71
1	21			12.9	11	2.8	1.3		Fragmento 1	A	B	Z-S	Z	4	0.93
1	21								Hilo adicional 1a	A	B	Z	S	2	0.37
1	21		DV-UEA21-010						Hilo adicional 1b	A	B	Z-S	Z	6	0.74
1	21								Hilo adicional 1C	A	B	Z-S	Z	4	0.73
1	21		DV-UEA21-011	6.8	5.9	3.9	1.9		Fragmento 1	A	B	Z-S	Z	6	1.13
1	21			13.5	11.8	7.8	3.7		Fragmento 1	A	B	Z-S	Z	6	1.05
1	21		DV-UEA21-012						Hilo adicional 1	A	B	Z	S	2	0.48
1	21								Fragmento 2	A	B	Z-S	Z	6	1.07
1	21								Hilo adicional 1	A	B	Z-S	Z	6	0.83
1	21		DV-UEA21-013	7.5	5				Fragmento 1	A	B	Z-S	Z	6	0.94
1	21			3.7	3.5	2.6	1.4		Fragmento 1	A	B	Z-S	Z	4	0.71
1	21		DV-UEA21-014						Hilo adicional 1	A	B	Z-S	Z	4	0.89
1	21			4.7	4.5	3.3	1.4		Fragmento 1	A	B	Z-S	Z	4	0.94
1	21		DV-UEA21-015						Hilo adicional 1	A	B	Z-S	Z	4	0.92
1	21		DV-UEA21-016	13.6	9.4	5.9	2.2		Fragmento 1	A	B	Z-S	Z	4	0.55
1	21		DV-UEA21-017	16	15	5.4	2.5		Fragmento 1	A	B	Z-S	Z	4	0.87
1	21		DV-UEA21-018	14	11	5.7	2.8		Fragmento 1	A	B	Z-S	Z	4	1.11
1	21		DV-UEA21-019	6.4	6.2	3.7	1.7		Fragmento 1	A	B	Z-S	Z	4	0.76
1	21		DV-UEA21-020	13	11.4	6.6	3.3		Fragmento 1	A	B	Z-S	Z	4	0.69
1	21		DV-UEA21-021	15.3	7.2				Fragmento 1	A	B	Z-S	Z	10	1.51
1	21		DV-UEA21-022	13.2	11	5.9	3.1		Fragmento 1	A	B	Z-S	Z	8	0.94
1	21		DV-UEA21-023	10	9.3	6.5	3.1		Fragmento 1	A	B	Z-S	Z	4	0.74
1	21		DV-UEA21-024	4.4	3	4.4	2		Fragmento 1	A	B	Z-S	Z	6	1.14
1	21		DV-UEA21-025	12.7	6.5	6.8	4.5		Fragmento 1	A	B	Z-S	Z	4	0.7
F8	21A		DV-UEA21A-001	5.8	1.8				Fragmento 1	A	M	Z-S	Z	4	0.66
F8	21B		DV-UEA21B-001	11	9.9	5.3	2.4		Fragmento 1	A	B	Z-S	Z	8	0.82
F8	21B		DV-UEA21B-002	6.5	5.9				Fragmento 1	A	B	Z-S	Z	6	0.8
F8	21B								Hilo adicional	A	B	Z-S	Z	6	0.9

F8	21B		DV-UEA21B-003	12	8.3	6.7			Fragmento 1	A	B	Z-S	Z	4	0.8
F8	21B		DV-UEA21B-004	8	7	3.4	1.5		Fragmento 1	A	B	Z-S	Z	4	0.8
F8	21B		DV-UEA21B-005	7	5.1	3.9	1.6		Fragmento 1	A	B	Z-S	Z	4	0.8
F8	21B			Hilo adicional						A	B	Z-S	Z	6	1
F8	21B		DV-UEA21B-006	4.5	3.8	3	1.3		Fragmento 1	A	B	Z-S	Z	4	0.7
F8	21B		DV-UEA21B-007	12.3	7.9	11.9	5.8		Fragmento 1	A	B	Z-S	Z	6	1
F8	21B		DV-UEA21B-008	4	3.7	2.5	1.2		Fragmento 1	A	B	Z-S	Z	4	0.6
F8	21B		DV-UEA21B-009	2.5	2.4	2.2	1.1		Fragmento 1	A	B	Z-S	Z	6	0.9
F8	21B		DV-UEA21B-010	6	4.2				Fragmento 1	A	B	Z	S	2	0.6
F8	21C		DV-UEA21C-001	3.3	0.5				Fragmento 1	A	B	Z-S	Z	4	0.38
F8	21C		DV-UEA21C-002	2	0.8				Fragmento 1	A	B	Z-S	Z	4	0.57
F8	21C		DV-UEA21C-003	3.2	2				Fragmento 1	A	M	Z-S	Z	4	0.86
F8	21C		DV-UEA21C-004	6	2.9				Fragmento 1	A	B	Z-S	Z	8	0.99
F8	21C		DV-UEA21C-005	5	3.9	5.5	2.6		Fragmento 1	A	B	Z-S	Z	8	1.02
F8	21C		DV-UEA21C-006	8.2	6	6.6	3.3		Fragmento 1	A	B	Z-S	Z	4	0.58
F8	21C		DV-UEA21C-007	10	4	2.5	1.2		Fragmento 1	A	M	Z-S	Z	4	0.79
F8	21C		DV-UEA21C-008	9.6	6.8	5.5	2.8		Fragmento 1	A	B	Z-S	Z	6	0.82
F8	21C		DV-UEA21C-009	5.2	4.6	2.6	1.1		Fragmento 1	A	B	Z-S	Z	45	0.84
F8	21C			6.1	4.5	2.4	1.2		Fragmento 2	A	B	Z-S	Z	4	0.82
F8	21C		DV-UEA21C-010	13.5	8	2.7	1.4		Fragmento 1	A	B	Z-S	Z	6	0.74
F8	21C		DV-UEA21C-011	9	8.5	5.4	2.5		Fragmento 1	A	B	Z-S	Z	6	0.83
F8	21C			Hilo adicional 1						A	B	Z-S	Z	6	0.73
F8	21C		DV-UEA21C-012	8.3	5.6	9.4	4.5		Fragmento 1	A	B	Z-S	Z	8	1.15
F8	21C		DV-UEA21C-013	12.5	10.9	4.6	2.2		Fragmento 1	A	B	Z-S	Z	6	0.78
F8	21C			Hilo adicional 1a						A	B	Z-S	Z	6	0.85
F8	21C			Hilo adicional 1b						A	B	Z-S	Z	6	0.6
F8	21C		DV-UEA21C-014	8.7	6.2	7.1	3.5		Fragmento 1	A	B	Z-S	Z	4	1
F8	21C		DV-UEA21C-015	6.2	4.4	2.9	1.5		Fragmento 1	A	B	Z-S	Z	4	0.59
F8	21C		DV-UEA21C-016	4.8	4.2	3	1.5		Fragmento 1	A	B	Z-S	Z	4	0.83
F8	21C			Hilo adicional 1						A	B	Z-S	Z	4	0.45
F8	21C		DV-UEA21C-017	6.2	5.8				Fragmento 1	A	B	Z-S	Z	6	0.81
F8	21C			Hilo adicional 1						A	B	Z	S	2	0.21
F8	21C			Fragmento 1	6.1	4.2	3.8	1.7		A	B	Z-S	Z	4	0.4
F8	21C		DV-UEA21C-018						Hilo adicional 1	A	B	Z	S	2	0.21
F8	21C			Fragmento 1	11.2	8.8	6.3	3		A	B	Z-S	Z	4	0.64
F8	21C		DV-UEA21C-019						Hilo adicional 1	A	B	Z-S	Z	4	0.63
F8	21C		DV-UEA21C-020	2.5	2.3				Fragmento 1	A	B	Z-S	Z	4	0.72
F8	21C		DV-UEA21C-021	10.7	3.9				Fragmento 1	A	B	Z-S	Z	4	0.56
F8	21C		DV-UEA21C-022	10	9	4.4	2.1		Fragmento 1	A	B	Z-S	Z	6	0.81
F8	21C			Hilo adicional 1a						A	B	Z-S	Z	6	0.8
F8	21C			Hilo adicional 1b						A	B	Z-S	Z	6	0.62
F8	21C			Hilo adicional 2						A	B	Z-S	Z	6	0.75
F8	21C		DV-UEA21C-023	10	7.6	7.3	3.2		Fragmento 1	A	B	Z-S	Z	6	0.77
F8	21C			Hilo adicional 1						A	B	Z-S	Z	6	0.58
F8	21C			Hilo adicional 2a						A	B	Z-S	Z	6	0.77
F8	21C			Hilo adicional 2b						A	B	Z-S	Z	6	0.7
F8	21C			Hilo adicional 2c						A	B	Z-S	Z	6	0.75
F8	21C		DV-UEA21C-024	1.5	0.8				Fragmento 1	A	B	Z-S	Z	4	0.56

F8	21C		DV-UEA21C-025	1.5	0.7				Fragmento 1	A	B	Z-S	Z	6	0.91	
F8	21C		DV-UEA21C-026	11.4	10	5.1	2.6		Fragmento 1	A	B	Z-S	Z	6	0.75	
F8	21C		DV-UEA21C-027	15	14	4.6	2.1		Fragmento 1	A	B	Z-S	Z	6		
F8	21C		DV-UEA21C-028	16	15	5.5	2.7		Fragmento 1	A	B	Z-S	Z	6	0.92	
F8	21C								Hilo adicional 1a	A	B	Z-S	Z	8	0.81	
F8	21C								Hilo adicional 1b	A	B	Z-S	Z	6	0.55	
F8	21C								Hilo adicional 2	A	B	Z-S	Z	6	0.81	
F8	21C		DV-UEA21C-029	15	14	8.8	4.6		Fragmento 1	A	B	Z-S	Z	8	1.2	
F8	21C								Hilo adicional 1	A	B	Z	S	2	0.35	
F8	21C								Hilo adicional 1a	A	B	Z-S	Z	4	0.56	
F8	21C								Hilo adicional 1b	A	B	Z-S	Z	8	0.88	
F8	21C								Hilo adicional 1C	A	B	Z	S	2	0.2	
F8	21C							Hilo adicional 1d	A	B	Z	S	2	0.36		
F8	21C		DV-UEA21C-030	13.2	5	2.4	1.1		Fragmento 1	A	B	Z-S	Z	4	0.61	
F8	21C								Hilo adicional 1a	A	B	Z-S	Z	4	0.66	
F8	21C								Hilo adicional 1b	A	B	Z-S	Z	4	0.6	
F8	21C								Hilo adicional 2a	A	B	Z-S	Z	6	0.65	
F8	21C								Hilo adicional 2b	A	B	Z-S	Z	4	0.69	
F8	21C			17.3	5	2.4	1.2		Fragmento 2	A	B	Z-S	Z	4	0.69	
F8	21C		DV-UEA21C-031	12.8	11	6.2	2.9		Fragmento 1	A	B	Z-S	Z	4	0.83	
F8	21C								Hilo adicional 1	A	B	Z-S	Z	4	0.55	
F8	21C		DV-UEA21C-032	14	13	4	2		Fragmento 1	A	B	Z-S	Z	6	0.84	
F8	21C								Hilo adicional 1	A	B	Z-S	Z	4	0.73	
F8	21C								Hilo adicional 1	A	B	Z-S	Z	6	0.79	
F8	21C								Hilo adicional 2	A	B	Z-S	Z	6	0.86	
F8	21D		DV-UEA21D-001	4	2.8				Fragmento 1	A	M	Z-S	Z	12	1.28	
F8	21D		DV-UEA21D-002	6.7	4.2				Fragmento 1	A	B	Z-S	Z	6	0.63	
F8	21D		DV-UEA21D-003	6	3.7	3.8	2.4		Fragmento 1	A	B	Z-S	Z	6	0.78	
F8	21D				1.7	1				Fragmento 2	A	B	Z-S	Z	6	0.73
F8	21D		DV-UEA21D-004	5.4	5	2.6	1.4		Fragmento 1	A	B	Z-S	Z	4	0.79	
F8	21D									Hilo adicional 1	A	B	Z-S	Z	4	0.47
F8	21D				5.8	4.7	2.6	1.3		Fragmento 2	A	B	Z-S	Z	4	0.75
F8	21D		DV-UEA21D-005	15	7.5	12.9	6.1		Fragmento 1	A	B	Z-S	Z	6	0.97	
F8	21D		DV-UEA21D-006	6.5	6	3.8	1.9		Fragmento 1	A	M	Z-S	Z	6	1.08	
F8	21D									Hilo adicional 1a	A	M	Z-S	Z	6	0.92
F8	21D									Hilo adicional 1b	A	M	Z-S	Z	6	0.76
F8	21D		DV-UEA21D-007	6.3	5	2.9	1.5		Fragmento 1	A	B	Z-S	Z	4	0.61	
F8	21D									Hilo adicional 1a	A	B	Z-S	Z	4	0.52
F8	21D									Hilo adicional 1b	A	B	Z-S	Z	4	0.71
1	22		DV-UEA22-001	4.5	3.8	2.8	1.2		Fragmento 1	A	B	Z-S	Z	4	0.7	
1	22		DV-UEA22-002	6.1	6	5.9	2.8		Fragmento 1	A	B	Z-S	Z	4	0.9	
1	22		DV-UEA22-003	6.3	3	2.6	1.2		Fragmento 1	A	B	Z-S	Z	4	0.8	
1	22		DV-UEA22-004	5.8	4.5				Fragmento 1	A	B	Z-S	Z	10	1.4	
1	22		DV-UEA22-005	9.3	4.5				Fragmento 1	A	B	Z-S	Z	8	1.6	
1	22		DV-UEA22-006	10.9	10	5.1	2.3		Fragmento 1	A	B	Z-S	Z	8	1.1	
1	22									Hilo Adicional 1	A	M	Z	S	2	0.4
1	22									Hilo Adicional 2	A	B	Z	S	2	0.3
1	22									Hilo adicional 1	A	B	Z-S	Z	6	0.8

F8	22B		DV-UEA22B-001	12	10			6.9	Fragmento 1	A	B	Z	S	4	0.5
F8	22B		DV-UEA22B-002	11.5	10.6				Fragmento 1	A	B	Z-S	Z	12	1.3
F8	22B		DV-UEA22B-003	5.6	4.2	6	3		Fragmento 1	A	B	Z-S	Z	4	0.5
F8	22D		DV-UEA22D-001	5.4	3.7	3.4	1.6		Fragmento 1	A	B	Z-S	Z	4	0.5
F8	22D		DV-UEA22D-002	8.6	3.4				Fragmento 1	A	B	Z-S	Z	12	1.4
F8	22D		DV-UEA22D-003	6	5.8	3.9	1.7		Fragmento 1	A	B	Z-S	Z	4	0.7
F8	22D			Hilo adicional 1						A	B	Z-S	Z	4	0.8
F8	22D			Hilo adicional 2a						A	B	Z-S	Z	4	0.6
F8	22D			Hilo adicional 2b						A	B	Z-S	Z	4	0.6
F8	22D		DV-UEA22D-004	13	12	4	3.8		Fragmento 1	A	B	Z-S	Z	6	1.1
F8	22D		DV-UEA22D-005	7	6.5	2.3	1.1		Fragmento 1	A	B	Z-S	Z	4	0.7
F8	22D			Hilo adicional 1a						A	B	Z-S	Z	4	0.7
F8	22D			Hilo adicional 1b						A	B	Z-S	Z	4	0.7
F8	22D			Hilo adicional 2						A	B	Z-S	Z	4	0.6
F8	22D		DV-UEA22D-006	8	7.2	2.4	1.2		Fragmento 1	A	B	Z-S	Z	4	0.5
F8	22D			Hilo adicional 1a						A	B	Z-S	Z	4	0.6
F8	22D			Hilo adicional 1b						A	B	Z-S	Z	4	0.5
1	23		DV-UEA23-001	7	1.4				Fragmento 1	A	B	Z-S	Z	4	.5
1	23		DV-UEA23-002	1.2	1				Fragmento 1	A	B	Z-S	Z	4	1
1	23		DV-UEA23-003	1.2	1				Fragmento 1	A	B	Z-S	Z	4	0.8
1	23		DV-UEA23-004	7.5	5.2				Fragmento 1	A	B	Z-S	Z	8	1.2
1	23			Hilo adicional						A	B	Z-S	Z	10	1.6
1	23		DV-UEA23-005	10.5	9.5				Fragmento 1	A	B	Z-S	Z	12	1.3
1	23		DV-UEA23-006	9.5	3				Fragmento 1	A	B	Z	S	3	0.5
1	23		DV-UEA23-007	15	6				Fragmento 1	A	B	Z	S	2	0.7
1	23		DV-UEA23-008	9.2	3				Fragmento 1	A	B	Z	S	2	0.3
1	23		DV-UEA23-009	5.1	2				Fragmento 1	A	B	S	Z	3	1.1
1	23		DV-UEA23-010	11	3.8	6.9	3		Fragmento 1	A	B	Z-S	Z	6	1
1	23			Hilo adicional						A	B	Z-S	Z	4	0.6
1	23		DV-UEA23-011	10.8	9.4	3.6	1.7		Fragmento 1	A	B	Z-S	Z	4	0.8
1	23			Hilo adicional						A	B	Z-S	Z	5	0.7
1	23		DV-UEA23-012	4.8	3.9	3.6	1.8		Fragmento 1	A	B	Z-S	Z	4	1.2
1	23		DV-UEA23-013	3	2				Fragmento 1	A	B	Z-S	Z	4	0.9
1	23		DV-UEA23-014	12	6.5				Fragmento 1	A	B	Z-S	Z	10	0.88
1	23			Segundo hilo						A	B	Z-S	Z	4	0.6
1	23			Tercer hilo						A	B	Z-S	Z	4	0.9
1	23		DV-UEA23-015	4	1.9				Fragmento 1	A	B	Z	S	2	0.5
1	23		DV-UEA23-016	10.4	6				Fragmento 1	A	B	Z	S	2	0.5
1	23		DV-UEA23-017	5.4	1				Fragmento 1	A	B	Z-S	Z	8	1.1
1	23		DV-UEA23-018	7.7	7				Fragmento 1	A	B	Z-S	Z	6	1.1
1	23		DV-UEA23-019	8.6	7.5	3.2	1.4		Fragmento 1	A	B	Z-S	Z	4	0.8
1	23			Hilo adicional 1						A	B	Z-S	Z	4	0.6
1	23			Hilo adicional 2a						A	B	Z-S	Z	4	0.5
1	23			Hilo adicional 2b						A	B	Z-S	Z	4	0.6
1	23		DV-UEA23-020	4.9	4	4.6	2.4		Fragmento 1	A	B	Z-S	Z	4	0.4
1	23			Hilo adicional						A	B	Z-S	Z	4	0.4
1	23		DV-UEA23-021	6	4	3	1.5		Fragmento 1	A	B	Z-S	Z	4	0.7

1	23		DV-UEA23-022	9	8.5	5.3	2.4		Fragmento 1	A	B	Z-S	Z	4	0.9
1	23		DV-UEA23-023	6.1	6	3.6	1.5		Fragmento 1	A	B	S	Z	2	0.6
1	23		DV-UEA23-024	9.4	4	5.5	2.6		Fragmento 1	A	B	Z-S	Z	4	0.9
1	23			Hilo adicional						A	B	Z-S	Z	4	0.8
1	23		DV-UEA23-025	9.2	8.5	6.3	3		Fragmento 1	A	B	Z-S	Z	4	0.5
1	23			Hilo adicional						A	B	Z-S	Z	4	0.5
1	23		DV-UEA23-026	6	5.1	3.6	1.5		Fragmento 1	A	B	Z-S	Z	4	0.8
1	23			Hilo adicional						A	B	Z-S	Z	4	0.7
1	23		DV-UEA23-027	9	8.5	2.8	1.2		Fragmento 1	A	B	Z-S	Z	4	0.6
1	23		DV-UEA23-028	8.2	8	3.8	1.7		Fragmento 1	A	B	Z-S	Z	6	1.1
1	23		DV-UEA23-029	9.5	9	2.4	1.1		Fragmento 1	A	B	Z-S	Z	4	0.9
1	23		DV-UEA23-030	9	6.6	6.4	2.7		Fragmento 1	A	B	Z-S	Z	5	0.7
F8	23-24		DV-UEA23-24-001	8.3	5.2				Fragmento 1	A	B	Z-S	Z	4	0.2
F8	23-24		DV-UEA23-24-002	5.2	2.6	2.9	1.7		Fragmento 1	A	B	Z-S	Z	4	1
F8	23-24		DV-UEA23-24-003	6	5.1				Fragmento 1	A	B	Z	S	2	0.3
F8	23-24		DV-UEA23-24-004	4.1	3	4.4	2.3		Fragmento 1	A	B	Z-S	Z	8	1
F8	23-24		DV-UEA23-24-005	6	1.2				Fragmento 1	A	B	Z-S	Z	4	0.7
F8	23-24		DV-UEA23-24-006	11.5	5	2.8	1.8		Fragmento 1	A	B	Z-S	Z	4	0.5
F8	23-24		DV-UEA23-24-007	7	5.5	5	2.8		Fragmento 1	A	B	Z-S	Z	4	0.4
F8	23-24		DV-UEA23-24-008	6.9	6.3	3.1	1.8		Fragmento 1	A	B	Z-S	Z	4	0.9
F8	23-24		DV-UEA23-24-009	4.8	4.1				Fragmento 1	A	B	Z-S	Z	10	1.4
F8	23-24		DV-UEA23-24-010	5.3	1.7				Fragmento 1	A	B	Z	S	2	0.5
F8	23-24		DV-UEA23-24-011	6.9	5.5	4	1.8		Fragmento 1	A	B	Z-S	Z	4	0.7
1	24		DV-UEA24-001	3.6	3.2				Fragmento 1	A	B	Z-S	Z	8	0.9
1	24		DV-UEA24-002	16	13	9.9	4.7		Fragmento 1	A	B	Z-S	Z	6	0.72
1	24			Hilo adicional						A	B	Z-S	Z	4	1.2
1	24		DV-UEA24-003	6.2	0.5				Fragmento 1	A	B	Z	S	2	0.2
1	24		DV-UEA24-004	4.5	3.9				Fragmento 1	A	B	Z	S	2	0.4
1	24		DV-UEA24-005	9.5	3.5				Fragmento 1	A	B	S	S	3	0.6
1	24		DV-UEA24-006	5.8	2				Fragmento 1	A	B	Z	S	2	0.3
1	24		DV-UEA24-007	5.6	5.5	3	1.5		Fragmento 1	A	B	Z-S	Z	4	0.7
1	24			Hilo adicional						A	B	Z-S	Z	4	0.6
1	24		DV-UEA24-008	10	9.5	5.7	2.7		Fragmento 1	A	B	Z-S	Z	4	0.3
1	24		DV-UEA24-009	13	5				Fragmento 1	A	B	Z-S	Z	10	1.2
1	24		DV-UEA24-010	7.5	7	2.4	1.4		Fragmento 1	A	B	Z-S	Z	4	0.7
1	24			Hilo adicional						A	B	Z-S	Z	4	0.6
1	24		DV-UEA24-011	11	3				Fragmento 1	A	B	Z-S	Z	11	0.81
1	24		DV-UEA24-012	5.1	4.2	3.6	1.7		Fragmento 1	A	B	Z-S	Z	4	0.4
1	24		DV-UEA24-013	8	6.5	6	2.5		Fragmento 1	A	B	Z-S	Z	4	0.7
1	24		DV-UEA24-014	7	5				Fragmento 1	A	B	Z	S	3	1.1
F8	25		DV-UEA25-001	8.2	7	5.9	2.9		Fragmento 1	A	B	Z-S	Z	4	0.8
F8	25		DV-UEA25-002	11.6	8.3				Fragmento 1	A	B	Z-S	Z	4	0.7
F8	25		DV-UEA25-003	4.2	1.5				Fragmento 1	A	B	Z-S	Z	6	0.69
F8	25		DV-UEA25-004	10	9.8				Fragmento 1	A	B	Z-S	Z	8	1.2
F8	25		DV-UEA25-005	6.4	6	2.6	1.5		Fragmento 1	A	B	Z-S	Z	4	0.8
F8	25			Hilo adicional						A	B	Z-S	Z	4	0.7
F8	25		DV-UEA25-006	5.4	4.2	3.3	1.5		Fragmento 1	A	B	Z-S	Z	4	0.9
F8	25		DV-UEA25-007	7	4.5				Fragmento 1	A	B	Z-S	Z	4	0.4

F8	25		DV-UEA25-008	5.4	3.5	3.7	1.7		Fragmento 1	A	B	Z-S	Z	4	0.7
F8	25		DV-UEA25-009	6.4	3.3	2.8	1.5		Fragmento 1	A	B	Z-S	Z	4	0.8
F8	25		DV-UEA25-010	12	10	5.8	2.9		Fragmento 1	A	B	Z-S	Z	4	0.8
F8	25			Hilo adicional 1						A	B	Z-S	Z	4	0.7
F8	25		DV-UEA25-011	14	11	3.2	1.4		Hilo adicional 2	A	B	Z-S	Z	4	0.6
F8	25			Fragmento 1						A	B	Z-S	Z	4	0.8
F8	25			Hilo adicional 1						A	B	Z-S	Z	4	0.8
F8	25			Hilo adicional 2						A	B	Z-S	Z	4	0.6
F8	25			Hilo adicional 3						A	B	Z-S	Z	4	0.7
F8	25		Hilo adicional 4						A	B	Z-S	Z	4	0.7	
1	25		DV-UEA25-012	10	4.5	4	1.8		Fragmento 1	A	B	Z-S	Z	4	0.6
1	25		DV-UEA25-013	5	4.5				Fragmento 1	A	B	Z-S	Z	12	1.3
1	25		DV-UEA25-014	7	4				Fragmento 1	A	M	Z	S	2	0.3
1	25		DV-UEA25-015	12	5	13	5.3		Fragmento 1	A	M	Z	S	2	0.6
1	25		DV-UEA25-016	4.8	4.5	6.3	3.2		Fragmento 1	A	B	Z-S	Z	4	0.5
1	25		DV-UEA25-017	9.6	2				Fragmento 1	A	B	Z	S	2	0.3
1	25		DV-UEA25-018	8	2.5				Fragmento 1	A	B	Z	S	2	0.4
1	25		DV-UEA25-019	4.5	1.3				Fragmento 1	A	B	Z-S	Z	4	0.4
1	25		DV-UEA25-020	10.9	10.5				Fragmento 1	A	M	Z	S	2	0.4
1	25		DV-UEA25-021	14.9	1.7				Fragmento 1	A	M	Z	S	2	0.5
1	25		DV-UEA25-022	7.8	5.5	5.2	2.4		Fragmento 1	A	B	Z-S	Z	4	0.8
1	25		DV-UEA25-023	12.3	1.3				Fragmento 1	A	M	Z	S	2	1
1	25		DV-UEA25-024	12.8	3				Fragmento 1	A	M	Z-S	Z	4	1
1	25		DV-UEA25-025	8.2	7.4				Fragmento 1	A	B	Z-S	Z	12	0.97
1	25		DV-UEA25-026	6.2	2.6	3	1.4		Fragmento 1	A	B	Z-S	Z	4	0.7
1	25		DV-UEA25-027	2	1.5				Fragmento 1	A	B	Z-S	Z	4	0.6
1	25		DV-UEA25-028	6.2	1.8				Fragmento 1	A	M	Z	S	5	0.7
1	25		DV-UEA25-029	6.2	6	3.6	1.6		Fragmento 1	A	B	Z-S	Z	4	0.8
1	25		DV-UEA25-030	8.5	3				Fragmento 1	A	M	Z	S	2	0.4
1	25		DV-UEA25-031	8	5				Fragmento 1	A	B	Z-S	Z	8	1.2
1	25		DV-UEA25-032	9.5	3.8				Fragmento 1	A	B	Z	S	2	0.9
1	25		DV-UEA25-033	5.5	2				Fragmento 1	A	B	Z	S	2	0.3
1	25		DV-UEA25-034	4.2	3.7				Fragmento 1	A	M	S	Z	2	1.2
1	25		DV-UEA25-035	20	4.5				Fragmento 1	A	M	Z-S	Z	4	0.8
1	25		DV-UEA25-036	40	13.5				Fragmento 1	A	B	S	Z	2	0.5
1	25		DV-UEA25-037	14.4	6.7	3	1.4		Fragmento 1	A	B	Z-S	Z	4	1
1	25			Hilo adicional 1						A	B	Z-S	Z	4	0.6
1	25		DV-UEA25-038	9.3	6.7	4.4	2.8		Fragmento 1	A	B	Z-S	Z	4	0.8
1	25			Hilo adicional 1						A	B	Z-S	Z	4	0.6
1	25			Hilo adicional 2a						A	B	Z-S	Z	4	0.6
1	25			Hilo adicional 2b						A	B	Z-S	Z	4	0.7
1	25		DV-UEA25-039	5.4	4.4	8.5	3.9		Fragmento 1	A	M	Z-S	Z	6	1.4
1	25		DV-UEA25-040	6.7	5.9	2.7	1.5		Fragmento 1	A	B	Z-S	Z	4	0.8
1	25		DV-UEA25-041	9	6.5				Fragmento 1	A	M	Z	S	2	0.4
1	25		DV-UEA25-042	9	8	5.4	2.8		Fragmento 1	A	B	Z-S	Z	4	0.8
1	25		DV-UEA25-043	6	5	3.2	1.6		Fragmento 1	A	B	Z-S	Z	4	0.7
1	25		DV-UEA25-044	12	10	2.9	1.1		Fragmento 1	A	B	Z-S	Z	4	0.6
1	25			Hilo adicional 1						A	B	Z-S	Z	4	0.5

1	25		DV-UEA25-045	7	6.8	3.5	1.6		Fragmento 1	A	B	Z-S	Z	4	0.8
1	25		DV-UEA25-046	7.2	4.6	4	1.9		Fragmento 1	A	M	Z-S	Z	4	0.8
1	25		DV-UEA25-047	10.4	10.2	3.7	1.7		Fragmento 1	A	B	Z-S	Z	4	0.7
1	25								Hilo Adicional 1	A	B	Z	S	5	0.4
1	25		DV-UEA25-048	4.5	3.5	4.8	1.6		Fragmento 1	A	M	Z-S	Z	4	0.8
1	25		DV-UEA25-049	18	10	6.9	3.4		Fragmento 1	A	B	Z-S	Z	4	0.4
1	25		DV-UEA25-050	13.4	3				Fragmento 1	A	B	Z-S	Z	4	0.5
1	25		DV-UEA25-051	3.3	3				Fragmento 1	A	B	Z-S	Z	4	0.8
1	25		DV-UEA25-052	7.6	7.4				Fragmento 1	A	M	Z-S	Z	6	1.1
1	25		DV-UEA25-053	15.8	7	2.8	1.4		Fragmento 1	A	B	Z-S	Z	4	0.8
1	25								Hilo adicional 1	A	B	Z-S	Z	4	0.6
1	25		DV-UEA25-054	19.5	13.6	5.4	2.7		Fragmento 1	A	B	Z-S	Z	4	0.5
1	25								Hilo adicional 1a	A	B	Z-S	Z	4	0.5
1	25								Hilo adicional 1b	A	B	Z-S	Z	4	0.3
1	25		DV-UEA25-055	19.2	17.5	12	5.9		Fragmento 1	A	M	Z-S	Z	8	1.4
1	25		DV-UEA25-056	7.4	6.5	4.2	2.1		Fragmento 1	A	B	Z-S	Z	4	0.7
1	25								Hilo adicional 1	A	B	Z-S	Z	4	0.6
1	25		DV-UEA25-057	7.3	5	3.4	1.7		Fragmento 1	A	B	Z-S	Z	4	0.7
1	25								Hilo adicional 1	A	B	Z-S	Z	4	0.7
1	25								Hilo adicional 2	A	B	Z-S	Z	A	0.8
1	25		DV-UEA25-058	14.1	7.9				Fragmento 1	A	B	Z-S	Z	4	0.6
1	25		DV-UEA25-059	27	19	11.9	5.6		Fragmento 1	A	B	Z-S	Z	10	1.6
1	25		DV-UEA25-060	30.5	19.8	6.6	3.4		Fragmento 1	A	B	Z-S	Z	4	0.6
1	27		DV-UEA27-001	11.5	8	6.7	3.1		Fragmento 1	A	B	Z-S	Z	4	0.4
1	27		DV-UEA27-002	12	5.5				Fragmento 1	A	B	Z-S	Z	4	0.7
1	27		DV-UEA27-003	6.3	4.8				Fragmento 1	A	B	Z-S	Z	12	1.4
1	27		DV-UEA27-004	9.3	9	6.4	3.3		Fragmento 1	A	B	Z-S	Z	4	0.9
1	27		DV-UEA27-005	4.5	1				Fragmento 1	A	M	Z-S	Z	4	0.9
1	27		DV-UEA27-006	2.2	1.4				Fragmento 1	A	B	Z-S	Z	4	0.7
1	27		DV-UEA27-007	4	2.2				Fragmento 1	A	B	Z	S	2	0.4
1	27		DV-UEA27-008	7	4				Fragmento 1	A	B	Z	S	4	0.4
1	27		DV-UEA27-009	4.1	2.5	3.4	1.3		Fragmento 1	A	B	Z-S	Z	6	0.9
1	27		DV-UEA27-010	7.4	6	2.6	1.3		Fragmento 1	A	B	Z-S	Z	8	0.6
1	27		DV-UEA27-011	7	4.7	2.6	1.3		Fragmento 1	A	B	Z-S	Z	6	0.7
1	27		DV-UEA27-012	10	8	5.5	2.9		Fragmento 1	A	B	Z-S	Z	4	0.6
1	27		DV-UEA27-013	4.5	4.3	2.5	1.2		Fragmento 1	A	B	Z-S	Z	6	0.8
1	27								Hilo adicional 1a	A	B	Z-S	Z	6	0.2
1	27								Hilo adicional 1b	A	B	Z-S	Z	6	0.5
1	27		DV-UEA27-014	8	7.5	7.3	4.1		Fragmento 1	A	B	Z-S	Z	8	0.7
1	27		DV-UEA27-015	5.7	5	3.4	1.7		Fragmento 1	A	B	Z-S	Z	8	0.7
1	27		DV-UEA27-016	7	5.8	4	2		Fragmento 1	A	B	Z-S	Z	8	1
1	27		DV-UEA27-017	4	2.5	3.2	1.6		Fragmento 1	A	B	Z-S	Z	6	0.7
1	27		DV-UEA27-018	2.5	2	2	1.3		Fragmento 1	A	B	Z-S	Z	8	1
1	27		DV-UEA27-019	3.9	1.3				Fragmento 1	A	B	Z-S	Z	8	0.9
1	27		DV-UEA27-020	1.5	0.9				Fragmento 1	A	B	Z-S	Z	6	0.6
1	27		DV-UEA27-021	3.9	2				Fragmento 1	A	B	Z-S	Z	4	0.6
1	27		DV-UEA27-022	13	5				Fragmento 1	A	B	Z-S	Z	12	1.2
1	27		DV-UEA27-023	5	3.2				Fragmento 1	A	B	Z-S	Z	10	1

1	27		DV-UEA27-024	1.5	1				Fragmento 1	A	B		Z		1.2
1	28		DV-UEA28-001	44	18.1	7.2	3.6		Fragmento 1	A	B	Z-S	Z	4	1
1	28		DV-UEA28-002	12.9	5.2	6.4	3.1		Fragmento 1	A	B	Z-S	Z	4	0.48
1	28		DV-UEA28-003	11.4	2.2				Fragmento 1	A	B	Z-S	Z	8	0.87
1	28			Hilo adicional						A	B	Z-S	Z	8	0.82
1	28		DV-UEA28-004	11.1	4.1	5.1	2.4		Fragmento 1	A	B	Z-S	Z	4	0.64
1	28		DV-UEA28-005	5.5	4.9	3.6	2		Fragmento 1	A	B	Z-S	Z	4	0.54
1	28		DV-UEA28-006	5	1.6				Fragmento 1	A	B	Z-S	Z	4	1
1	28		DV-UEA28-007	6.2	4.4				Fragmento 2	A	B	Z-S	Z	4	1
1	28		DV-UEA28-008	2.3	2				Fragmento 3	A	B	Z-S	Z	4	1
1	28		DV-UEA28-009	12.9	6.9	3.4	1.7		Fragmento 1	A	B	Z-S	Z	4	1
1	28			Hilo adicional						A	B	Z-S	Z	4	1
1	28		DV-UEA28-010	5.4	4.8	3.6	1.6		Fragmento 1	A	B	Z-S	Z	4	1
1	28			Hilo adicional						A	B	Z-S	Z	4	1
1	28			Hilo adicional						A	B	Z-S	Z	4	1
1	28		DV-UEA28-011	6.5	4.4	2.8	1.5		Fragmento 1	A	B	Z-S	Z	4	0.59
1	28		DV-UEA28-011						Hilo adicional	A	B	Z-S	Z	4	1
1	28		DV-UEA28-012	5.9	5	2.9	1.5		Fragmento 1	A	B	Z-S	Z	4	1
1	28		DV-UEA28-013	9.6	8.5	3.7	1.9		Fragmento 1	A	B	Z-S	Z	4	1
1	28		DV-UEA28-014	9	7.4	3.3			Fragmento 1	A	B	Z-S	Z	4	1
1	28			Hilo adicional						A	B	Z-S	Z	4	1
1	28			Hilo adicional						A	B	Z-S	Z	4	1
1	28		DV-UEA28-015	10	8	3.4	1.5		Fragmento 1	A	B	Z-S	Z	4	0.7
1	28			Hilo adicional 1						A	B	Z-S	Z	4	0.7
1	28			Hilo adicional 2						A	B	Z-S	Z	4	0.7
1	28		DV-UEA28-016	10.3	5.5				Fragmento 1	A	B	Z-S	Z	10	1.4
1	28		DV-UEA28-017	9.5	8.5	3.2	1.5		Fragmento 1	A	B	Z-S	Z	4	0.9
1	28			Hilo adicional 1						A	B	Z-S	Z	4	0.6
1	28		DV-UEA28-018					12	Fragmento 1	A	B		Z		1
1	28			Hilo 1						A	B		Z		0.4
F8	28		DV-UEA28-019	6	5	3.3	1.6		Fragmento 1	A	B	Z-S	Z	4	0.8
1	28		DV-UEA28-020	17	8.6				Fragmento 1	A	B	Z	S	2	0.3
1	28		DV-UEA28-021	2.8	1.5				Fragmento 1	A	B	Z-S	Z	4	0.5
1	28			Fragmento 1	6	2.5									
1	28		DV-UEA28-022						Hilo 1	A	B	Z	S	5	0.6
1	28			Hilo 2						A	B	Z	S	2	0.5
1	28			Hilo 3						A	M	Z	S	2	0.3
1	28		DV-UEA28-023	10.5	8	6	3.2		Fragmento 1	A	B	Z-S	Z	4	0.7
1	28		DV-UEA28-024	4.5	1.5				Fragmento 1	A	B	Z-S	Z	4	0.4
1	28		DV-UEA28-025	12.5	12	3.1	1.5		Fragmento 1	A	B	Z-S	Z	4	0.6
1	28		DV-UEA28-026	6.5	0.5				Fragmento 1	A	B	Z-S	Z	4	0.6
1	28		DV-UEA28-027	3.4	1.4				Fragmento 1	A	B	Z-S	Z	4	0.6
1	28		DV-UEA28-028	13.7	3				Fragmento 1	A	M	Z	S	2	0.5
1	28			Fragmento 1	9.5	8	3.4	1.8			A	B	Z-S	Z	4
1	28		DV-UEA28-029						Hilo adicional 1	A	B	Z-S	Z	4	0.6
1	28			Hilo adicional 2						A	B	Z-S	Z	4	0.6
1	28		DV-UEA28-030	8.4	7	5.7	3.5		Fragmento 1	A	B	Z-S	Z	4	0.5
1	28			Hilo adicional 1						A	B	Z-S	Z	4	0.6

1	29		DV-UEA29-001	25	18	6.6	3.4		Fragmento 1	A	B	Z-S	Z	6	.3
1	29								Hilo adicional	A	B	Z-S	Z	4	.4
1	29		DV-UEA29-002	5	4.8	2.7	1.3		Fragmento 1	A	B	Z-S	Z	4	.4
1	29		DV-UEA29-003	2.5	1.9				Fragmento 1	A	B	Z-S	Z	4	.6
1	29		DV-UEA29-004	6	6.1	5.2	2.5		Fragmento 1	A	B	Z-S	Z	4	.6
1	29				5.5	2.9			Fragmento 2	A	B	Z-S	Z	4	.6
1	29		DV-UEA29-005	8.4	7.4	2.4	1.4		Fragmento 1	A	B	Z-S	Z	4	.3
1	29								Fragmento 2	A	B	Z-S	Z	4	.4
1	29		DV-UEA29-006	6.8	3	5	2.8		Fragmento 1	A	B	Z-S	Z	4	.6
1	29								Hilo adicional	A	B	Z-S	Z	4	.7
1	29								Hilo adicional	A	B	Z-S	Z	4	.7
1	29		DV-UEA29-007	4.4	1.9	2.8	1.5		Fragmento 1	A	B	Z-S	Z	4	0.8
1	29		DV-UEA29-008	4.2	1.2				Fragmento 1	A	B	Z-S	Z	5	0.7
1	29		DV-UEA29-009	6.4	5.3				Fragmento 1	A	B	Z-S	Z	8	1
1	29								Hilo 2	A	B	Z-S	Z	8	1
1	29		DV-UEA29-010	6.7	2.9	3.7	1.7		Fragmento 1	A	B	Z-S	Z	4	0.4
1	29								Hilo adicional	A	B	Z-S	Z	4	0.8
1	29		DV-UEA29-011	43	25.2	10.4	4.9		Fragmento 1	A	B	Z-S	Z	8	1.3
1	29		DV-UEA29-012	6.5	4				Fragmento 1	A	B	Z-S	Z	4	0.8
1	29		DV-UEA29-013	15.5	10.8	11.3	5		Fragmento 1	A	B	Z-S	Z	6	0.71
1	29		DV-UEA29-014	5	4	2.9	1.5		Fragmento 1	A	B	Z-S	Z	4	0.6
1	29		DV-UEA29-015	4.7	4.4	2.5	1.4		Fragmento 1	A	B	Z-S	Z	6	0.9
1	29				10	9	6.2	3.2		Fragmento 1	A	B	Z-S	Z	4
1	29		DV-UEA29-016						Hilo adicional	A	B	Z-S	Z	4	0.7
1	29		DV-UEA29-017	7.4	6.9	3.2	1.4		Fragmento 1	A	B	Z-S	Z	6	0.8
1	29		DV-UEA29-018	15.5	10.4	6.1	2.8		Fragmento 1	A	B	Z-S	Z	4	0.7
1	29		DV-UEA29-019	9	6	2.8	0.9		Fragmento 1	A	B	Z-S	Z	4	0.7
1	29		DV-UEA29-020	13.5	10	3	1.2		Fragmento 1	A	B	Z-S	Z	6	0.7
1	29		DV-UEA29-021	4.4	4	3.2	1.4		Fragmento 1	A	B	Z-S	Z	6	0.9
1	29		DV-UEA29-022	33	9	3.6	1.7		Fragmento 1	A	B	Z-S	Z	6	0.8
1	29		DV-UEA29-023	19	18	11.1	5.1		Fragmento 1	A	B	Z-S	Z	8	1.1
1	29								Hilo adicional 1	A	B	Z	S	5	0.5
1	29								Hilo adicional 2	A	M	Z	S	3	0.2
1	29								Hilo adicional 3	A	B	Z	S	5	0.3
1	29								Hilo adicional 4	A	B	Z	S	4	0.4
F8	29		DV-UEA29-024	4.5	3.4				Fragmento 1	A	B	Z-S	Z	10	0.83
F8	29		DV-UEA29-025	7	5.5	3	1.4		Fragmento 1	A	B	Z-S	Z	4	0.7
F8	29								Hilo adicional	A	B	Z-S	Z	4	0.6
F8	29								Doble 1	A	B	Z-S	Z	4	0.8
F8	29								Doble 2	A	B	Z-S	Z	4	0.8
F8	29								Doble 3	A	B	Z-S	Z	4	0.8
F8	29							Doble 4	A	B	Z-S	Z	4	0.8	
F8	29								Doble 5	A	B	Z-S	Z	4	0.7
F8	29		DV-UEA29-026	5	4	3	1.4		Fragmento 1	A	B	Z-S	Z	4	0.8
F8	29		DV-UEA29-027	4.5	2				Fragmento 1	A	B	Z-S	Z	4	1
F8	29		DV-UEA29-028	5.2	0.9				Fragmento 1	A	B	Z-S	Z	6	0.7
F8	29		DV-UEA29-029	5.2	3.5	3.3	1.4		Fragmento 1	A	B	Z-S	Z	4	0.5
F8	29		DV-UEA29-030	15.3	4.5				Fragmento 1	A	M	Z	S	2	0.2

1	29		DV-UEA29-031	3.9	1.4				Fragmento 1	A	B	Z-S	Z	4	0.7
1	29		DV-UEA29-032	11	10	3.6	1.7		Fragmento 1	A	B	Z-S	Z	4	0.7
1	29			Hilo adicional 1					A	B	Z-S	Z	4	0.7	
1	29			Hilo adicional 2					A	B	Z-S	Z	4	0.5	
1	29			Hilo adicional 3					A	B	Z-S	Z	4	0.6	
1	29		DV-UEA29-033	8.7	3.3				Fragmento 1	A	B	S	Z	2	0.8
1	30		DV-UEA30-001	11.7	4.5				Fragmento 1	A	B	Z-S	Z	6	1.4
1	30		DV-UEA30-002	11	7.5	5.2	2.6		Fragmento 1	A	B	Z-S	Z	4	0.5
1	30			Hilo adicional					A	B	Z-S	Z	4	0.5	
1	30		DV-UEA30-003	5.2	0.3				Fragmento 1	A	B	Z-S	Z	4	0.8
1	30		DV-UEA30-004	12	11	2.9	1.6		Fragmento 1	A	B	Z-S	Z	4	0.7
1	30			Hilo adicional					A	B	Z-S	Z	4	0.6	
1	30		DV-UEA30-005	5.5	3				Fragmento 1	A	B	Z-S	Z	4	0.6
1	30		DV-UEA30-006	6.5	1.5				Fragmento 1	A	B	Z-S	Z	8	1
1	30		DV-UEA30-007	6.8	2.5				Fragmento 1	A	B	Z-S	Z	4	1.1
1	30		DV-UEA30-008	18	15	6.6	3.2		Fragmento 1	A	B	Z-S	Z	4	0.5
1	30			Hilo adicional 1a					A	B	Z-S	Z	4	0.5	
1	30			Hilo adicional 1b					A	B	Z-S	Z	4	0.7	
1	30			Hilo adicional 2					A	B	Z-S	Z	4	0.7	
1	30		DV-UEA30-009						Hilo adicional 3	A	B	Z-S	Z	4	0.3
1	30			Fragmento 1	9.3	1.1				A	B	Z	S	3	0.3
1	30		DV-UEA30-010	5.5	1				Fragmento 1	A	B		Z		0.5
1	30		DV-UEA30-011	5.3	3.5				Fragmento 1	A	B	Z-S	Z	4	0.3
1	30		DV-UEA30-012	8.1	7.7				Fragmento 1	A	B	Z-S	Z	12	1.1
1	30		DV-UEA30-013	9.5	7.1	5.8	2.4		Fragmento 1	A	B	Z-S	Z	4	0.3
1	30			Hilo adicional						A	B	Z-S	Z	4	0.4
1	30		DV-UEA30-014	5.9	1.2				Fragmento 1	A	B	Z-S	Z	4	0.8
1	30		DV-UEA30-015	7.2	1.6				Fragmento 1	A	B	Z-S	Z	4	0.8
1	30		DV-UEA30-016	7.1	5.2				Fragmento 1	A	B	Z-S	Z	8	1.4
1	30		DV-UEA30-017	5	4.5	2.3	1.2		Fragmento 1	A	B	Z-S	Z	4	0.7
1	30		DV-UEA30-018	8.5	7.5	3.4	1.4		Fragmento 1	A	B	Z-S	Z	4	0.6
1	30		DV-UEA30-019	7.1	2.9				Fragmento 1	A	B	Z	S	2	0.4
1	31		DV-UEA31-001	11	9.5				Fragmento 1	A	B	Z-S	Z	4	.5
1	31		DV-UEA31-002	17	8				Fragmento 1	A	B	Z-S	Z	8	0.57
1	31		DV-UEA31-003	14.3	8	5.6	2.9		Fragmento 1	A	B	Z-S	Z	4	1
1	32		DV-UEA32-001	4.6	4.5	2.3	1.1		Fragmento 1	A	B	Z-S	Z	4	0.5
1	32		DV-UEA32-002	3.9	3.1				Fragmento 1	A	B	Z-S	Z	8	1.3
1	32		DV-UEA32-003	17	16	9.4	4.3		Fragmento 1	A	B	Z-S	Z	12	1.3
1	32			Hilo adicional 1a						A	B	Z-S	Z	12	1.1
1	32			Hilo adicional 1b						A	B	Z-S	Z	12	1.2
1	32			Hilo adicional 2						A	B	Z-S	Z	12	1.2
1	32		DV-UEA32-004						Hilo adicional 3	A	B	Z-S	Z	12	1.1
1	32			Fragmento 1	9.8	4.1				A	B	Z-S	Z	12	0.87
1	32		DV-UEA32-005	19.5	15.5	5.4	2.5		Fragmento 1	A	B	Z-S	Z	4	0.4
1	32			Hilo adicional 1						A	B	Z-S	Z	4	0.4
1	32		DV-UEA32-006	22.5	5	4.7	2.3		Fragmento 1	A	B	Z-S	Z	4	0.7
1	32			Hilo adicional 1						A	B	Z-S	Z	4	0.8
1	32								Hilo adicional 2	A	B	Z-S	Z	4	0.7

1	37		DV-UEA37-001	4.4	4.1					Fragmento 1	A	B	Z-S	Z	4	1
F6	sobre estéril		DV-UEAsobreestéril-001	4.9	1.2					Fragmento 1	A	B	Z	S	2	0.5
F6	sobre estéril		DV-UEAsobreestéril-002	6	2.5					Fragmento 1	A	B	Z	S	2	0.3
F6	sobre estéril		DV-UEAsobreestéril-003	1.5	0.7					Fragmento 1	A	B	Z-S	Z		0.9
F6	sobre estéril		DV-UEAsobreestéril-004	9	7.2	3.7	1.7			Fragmento 1	A	B	Z-S	Z	4	0.6
F6	sobre estéril			Hilo adicional							A	B	Z-S	Z	4	0.6
F6	sobre estéril		DV-UEAsobreestéril-005	7	6	4.1	1.8			Fragmento 1	A	B	Z-S	Z	4	0.5

Datos Generales				Tipo	Dimensiones (mm)		Tipo	Dimensiones (mm)		Tipo	Dimensiones (mm)		Tipo	Dimensiones (mm)		Tipo	Dimensiones (mm)		Tipo	Dimensiones (mm)		Descripción				
Unidad	Estrato	Nivel	Código	Tipo	Largo	Ancho		Largo	Ancho		Largo	Ancho		Largo	Ancho		Largo	Ancho		Largo	Ancho		Largo	Ancho		
1	0		DV-U1-UEA0-001	Fragmento 1	Simple	3.56	3.11																			
1	0		DV-U1-UEA0-002	Fragmento 1	Simple	2.84	1.89																			
1	0		DV-U1-UEA0-003	Fragmento 1	Simple	2.25	1.8																			
1	0		DV-U1-UEA0-004	Fragmento 1	Simple	4.43	1.95	Doble	4.71	3.84	Doble	5.12	2.6	Múltiple	9.12	4.17										
1	0		DV-U1-UEA0-005	Fragmento 1	Simple	3.9	2.72	Múltiple	8.27	5.3																
1	0		DV-U1-UEA0-006	Fragmento 1	Simple	3.57	1.89																			
1	0		DV-U1-UEA0-007	Fragmento 1	Simple	4.3	3.05																			
1	0		DV-U1-UEA0-008	Fragmento 1	Simple	3.38	1.6																			
1	0		DV-U1-UEA0-009	Fragmento 1	Simple	2.88	1.85																			
1	0		DV-U1-UEA0-010	Fragmento 1	Simple	3.5	2.81	Múltiple	6.41	5.02	Doble	4.83	4.2													
1	0		DV-U1-UEA0-011	Hilo adicional 1																						
1	0		DV-U1-UEA0-012	Fragmento 1	Simple	4.16	2.43																			
1	0		DV-U1-UEA0-013	Hilo adicional 1																						
1	0		DV-U1-UEA0-014	Fragmento 1	Simple	3.16	2.08	Múltiple	6.34	3.75																
1	0		DV-U1-UEA0-015	Fragmento1	Simple	3.75	1.66																			

F9	0	DV-F9-UEA0-027	Fragmento 1	Simple	2.91	1.69	Doble	4.32	4.31	Múltiple	8.81	4.21																		
F9	0	DV-F9-UEA0-028	Fragmento 1	Simple	2.14	1.78																								
F9	0	DV-F9-UEA0-029	Fragmento 1	Simple	3.49	1.85																								
F9	0	DV-F9-UEA0-030	Fragmento 1	Simple	3.86	2.65																								
F9	0	DV-F9-UEA0-031	Fragmento 1	Simple	2.69	1.52																								
F9	0	DV-F9-UEA0-032	Fragmento 1	Simple	2.04	1.38																								
F9	0	DV-F9-UEA0-033	Fragmento 1	Simple	3.86	2.71																								
F9	0	DV-F9-UEA0-034	Fragmento 1	Simple	2.42	1.94	Múltiple	7.85	4.24																					
F9	0	DV-F9-UEA0-035	Hilo adicional 1																											
F9	0	DV-F9-UEA0-036	Fragmento 1	Simple	3.32	2.89	Doble	5.05	3.19	Doble	4.74	3.31																		
F9	0	DV-F9-UEA0-037	Fragmento 1	Simple	2.32	1.1																								
F9	0	DV-F9-UEA0-038	Fragmento 1	Simple	1.89	1.45																								
F9	0	DV-F9-UEA0-039	Fragmento 1	Simple	2.35	1.27																								
F9	0	DV-F9-UEA0-040	Fragmento 1	Simple	2.49	1.53	Múltiple	6.15	4.34	Múltiple	4.9	3.76																		
F9	0	DV-F9-UEA0-041	Fragmento 1	Simple	2.81	1.43																								
F9	0	DV-F9-UEA0-042	Fragmento 1	Simple	2.34	1.84																								
F9	0	DV-F9-UEA0-043	Fragmento 1	Simple	2.79	1.86																								
F9	0	DV-F9-UEA0-044	Fragmento 1	Simple	2.21	1.72																								
F9	0	DV-F9-UEA0-045	Fragmento 1	Simple	3.15	1.56																								
F9	0	DV-F9-UEA0-046	Fragmento 1	Simple	2.74	1.85																								
F9	0	DV-F9-UEA0-047	Fragmento 1																											
F9	2	DV-F9-UEA2-001	Fragmento 1	Simple	4	1.5	Triple	9	6																					
F9	2	DV-F9-UEA2-002	Fragmento 1	Simple	5	2.5																								
F9	2,3,4	DV-F9-UEA2,3,4-001	Fragmento 1	Simple	2.28	1.39	Múltiple	4.71	1.91																					
F9	2,3,4	DV-F9-UEA2,3,4-002	Fragmento 1	Simple	2.59	1.8																								
F9	2,3,4	DV-F9-UEA2,3,4-003	Fragmento 1	Simple	2.23	1.72																								
F9	3	DV-F9-UEA3-001	Fragmento 1	Simple	3.32	1.82																								

F1-2	14		DV-UEA14-030	Fragmento 1	Simple	2.47	1.69																															
F1-2	14		DV-UEA14-031	Fragmento 1	Simple	3.73	2.58																															
F1-2	14		DV-UEA14-032	Fragmento 1	Simple	2.96	1.72																															
F1-2	14		DV-UEA14-033	Fragmento 1	Simple	3.08	2.14																															
F1-2	14		DV-UEA14-034	Fragmento 1	Simple	1.83	1.27																															
F1	14		DV-UEA14-035	Fragmento 1	Simple	2.87	2.32																															
F3	14		DV-UEA14-036	Fragmento 1	Múltiple	6.28	5.55																															
F3	14		DV-UEA14-037	Fragmento 1	Simple	2.54	1.22																															
F3	14		DV-UEA14-038	Fragmento 1	Simple	2.42	1.21																															
F3	14		DV-UEA14-039	Fragmento 1	Simple	2.54	1.38																															
F3	14		DV-UEA14-040	Fragmento 1	Simple	3.46	1.8																															
F3	14		DV-UEA14-041	Fragmento 1	Simple	3.21	1.28																															
F3	14		DV-UEA14-042	Fragmento 1	Simple	3.22	1.62																															
F9	14-16	1	DV-UEA14-16-N2-001	Fragmento 1	Simple	3	1.5	Doble	4.5	1.5																												
F9	14-16	1	DV-UEA14-16-N2-002	Fragmento 1	Simple	3.5	2	Múltiple	7	5																												
F9	14-16	1	DV-UEA14-16-N2-003	Fragmento 1	Simple	3	1.5																															
F9	14-16	1		Fragmento 2	Simple	4	2																															
F9	14-16	1	DV-UEA14-16-N2-004	Fragmento 1	Simple	2.5	1.5																															
F9	14-16	1	DV-UEA14-16-N2-005	Fragmento 1	Simple	3	1																															
F9	14-16	1	DV-UEA14-16-N2-006	Fragmento 1	Simple	3.5	1.5	Doble																														
F9	14-16	1	DV-UEA14-16-N2-007	Fragmento 1	Simple	2.5	1																															
F9	14-16	1	DV-UEA14-16-N2-008	Fragmento 1	Simple	3.5	1	Múltiple	9	4.5																												
F9	14-16	1	DV-UEA14-16-N2-009	Fragmento 1	Simple	3	1.5	Doble	5	5	Múltiple	6.5	6																									
F9	14-16	1	DV-UEA14-16-N2-010	Fragmento 1	Simple	4	1.5																															
F9	14-16	1	DV-UEA14-16-N2-011	Fragmento 1	Simple	3	1.5	Múltiple	6	5.5																												
F9	14-16	1		Fragmento 2	Simple	3	1.5																															
F9	14-16	1	DV-UEA14-16-N2-012	Fragmento 1	Simple	3	1																															

F8	21D			Fragmento 2	Simple	3.24	2.03																			
F8	21D		DV-UEA21D-004	Fragmento 1	Simple	2.36	1.34	Triple	4.28	2.24	Múltiple	4.66	3.09	Doble	2.85	2.75	Doble	3.72	2.95	Doble	2.83	2.41	Doble	3.34	1.87	
F8	21D			Fragmento 2	Simple	2.18	1.44	Doble	2.49	2.05																
F8	21D		DV-UEA21D-005	Fragmento 1	Simple	3.4	2.24																			
F8	21D		DV-UEA21D-006	Fragmento 1	Simple	3.65	2.84	Múltiple	11.17	4.34																
F8	21D		DV-UEA21D-007	Fragmento 1	Simple	3.33	1.86	Múltiple	6.01	2.98	Doble	4.28	2.25	Doble	3.68	2.16										
1	22		DV-UEA22-001	Fragmento 1	Simple	2.5	0.7																			
1	22		DV-UEA22-002	Fragmento 1	Simple	1.8	0.9	Triple	5	1.8																
1	22		DV-UEA22-003	Fragmento 1	Simple	2.1	1																			
1	22		DV-UEA22-004	Fragmento 1	Simple	4	2.9																			
1	22		DV-UEA22-005	Fragmento 1	Simple	3.9	3.3	Múltiple	9.6	5.9																
1	22		DV-UEA22-006	Fragmento 1	Simple	4.2	1.8	Múltiple	6.4	3.9	Simple	2.9	1.5	Simple	2.2	1.5	Simple	2	1							
F8	22B		DV-UEA22B-001	Fragmento 1	Simple	2.7	1.1																			
F8	22B		DV-UEA22B-002	Fragmento 1	Simple	4.1	2.6																			
F8	22B		DV-UEA22B-003	Fragmento 1	Simple	1	0.5	Triple	2.4	1.8																
F8	22D		DV-UEA22D-001	Fragmento 1	Simple	2.3	1	Doble	2.8	2																
F8	22D		DV-UEA22D-002	Fragmento 1	Simple	3.6	1.7																			
F8	22D		DV-UEA22D-003	Fragmento 1	Simple	1.9	1.1	Múltiple	4.8	2.7	Múltiple	3.4	3.3													
F8	22D		DV-UEA22D-004	Fragmento 1	Simple	3.3	2.3	Doble	5	2.2	Doble	2.7	2.5	Múltiple	4	3.6	Múltiple	4	3.2							
F8	22D		DV-UEA22D-005	Fragmento 1	Simple	2.8	1.5	Múltiple	6.5	3.4																
F8	22D		DV-UEA22D-006	Fragmento 1	Simple	1.7	1	Múltiple	4	4																
1	23		DV-UEA23-001	Fragmento 1	Simple	1.8	1.1																			
1	23		DV-UEA23-002	Fragmento 1	Simple	2.2	1.4																			
1	23		DV-UEA23-003	Fragmento 1	Simple	1.3	1																			
1	23		DV-UEA23-004	Fragmento 1	Doble	5.4	4.9	Múltiple	8.1	5.9																
1	23		DV-UEA23-005	Fragmento 1	Simple	4.7	3.7	Doble	5.4	2.6	Múltiple	5.5	4.4													
1	23		DV-UEA23-006	Fragmento 1	Múltiple	5.3	4.4	Doble	3.5	3.3	Simple	2.2	1.4													

1	23		DV-UEA23-007	Fragmento 1	Múltiple	9.4	7.3																
1	23		DV-UEA23-008	Fragmento 1	Múltiple	4.1	3.7																
1	23		DV-UEA23-009	Fragmento 1	Múltiple	6.6	4.6																
1	23		DV-UEA23-010	Fragmento 1	Simple	2.5	1.1	Triple	3.4	1.6	Múltiple	6.4	2.6										
1	23		DV-UEA23-011	Fragmento 1	Simple	2.2	0.9	Múltiple	5.2	2.9													
1	23		DV-UEA23-012	Fragmento 1	Simple	2.6	1.5																
1	23		DV-UEA23-013	Fragmento 1	Simple	1.5	1.1	Múltiple	5.1	2.4													
1	23		DV-UEA23-014	Fragmento 1	Múltiple	8.1	5.1																
1	23		DV-UEA23-015	Fragmento 1	Simple	2.5	2.1																
1	23		DV-UEA23-016	Fragmento 1	Múltiple	13.6	11.9																
1	23		DV-UEA23-017	Fragmento 1	Múltiple	4.9	3.1																
1	23		DV-UEA23-018	Fragmento 1	Simple	3.6	1.8	Doble	3.4	2.7													
1	23		DV-UEA23-019	Fragmento 1	Simple	2.7	1	Doble	2.8	2.1	Múltiple	9.3	3.6	Múltiple	4.8	3.2							
1	23		DV-UEA23-020	Fragmento 1	Simple	1.1	0.3	Múltiple	2.9	1.4													
1	23		DV-UEA23-021	Fragmento 1	Simple	2.3	1.2																
1	23		DV-UEA23-022	Fragmento 1	Simple	2.2	1																
1	23		DV-UEA23-023	Fragmento 1	Simple	2.1	1.6																
1	23		DV-UEA23-024	Fragmento 1	Simple	2.3	1.2	Múltiple	4.9	3.4	Doble	3.3	2										
1	23		DV-UEA23-025	Fragmento 1	Simple	1.3	0.7	Múltiple	4	1.3													
1	23		DV-UEA23-026	Fragmento 1	Simple	2.3	1.3	Múltiple	0.45	0.3													
1	23		DV-UEA23-027	Fragmento 1	Simple	2.1	1.1																
1	23		DV-UEA23-028	Fragmento 1	Simple	2.5	1.2	Múltiple	5.6	4.2													
1	23		DV-UEA23-029	Fragmento 1																			
1	23		DV-UEA23-030	Fragmento 1	Simple	2.5	0.8																
F8	23-24		DV-UEA23-24-001	Fragmento 1	Simple	2.1	1.4																
F8	23-24		DV-UEA23-24-002	Fragmento 1	Simple	1.2	0.6	Doble	3	1.7													
F8	23-24		DV-UEA23-24-003	Fragmento 1	Simple	1.5	0.8																

F8	25		DV-UEA25-006	Fragmento 1	Simple	2.7	1.2	Doble	4	3.3	Doble	2.8	2.6	Múltiple	5.5	2.9																		
F8	25		DV-UEA25-007	Fragmento 1	Simple	1.4	1																											
F8	25		DV-UEA25-008	Fragmento 1	Simple	2.2	1.3	Doble	3.1	1.6	Doble	2.5	1.8	Múltiple	4.1	2.8																		
F8	25		DV-UEA25-009	Fragmento 1	Simple	2.8	1.1	Doble	3.4	3.1	Doble	3.5	2.4	Triple	5.7	3	Múltiple	5.5	2.5															
F8	25		DV-UEA25-010	Fragmento 1	Simple	2.8	2.2	Doble	3.9	3.3	Doble	3.4	2.3	Múltiple	6.8	3.4	Múltiple	6.4	4.2															
F8	25		DV-UEA25-011	Fragmento 1	Simple	2.7	1.5	Múltiple	5.7	3.6	Múltiple	4.6	3.5	Múltiple	6.8	3.6	Múltiple	6	2.8															
1	25		DV-UEA25-012	Fragmento 1	Simple	3.2	1																											
1	25		DV-UEA25-013	Fragmento 1	Múltiple	22.2	7																											
1	25		DV-UEA25-014	Fragmento 1	Simple	3.3	2.5	Doble	4.3	3.6																								
1	25		DV-UEA25-015	Fragmento 1	Simple	3.4	2.2	Doble	6.4	5.5																								
1	25		DV-UEA25-016	Fragmento 1	Simple	2	1.1																											
1	25		DV-UEA25-017	Fragmento 1	Simple	2	1.2																											
1	25		DV-UEA25-018	Fragmento 1	Simple	2	1.3																											
1	25		DV-UEA25-019	Fragmento 1	Simple	2	1.4	Múltiple	4.8	2.5																								
1	25		DV-UEA25-020	Fragmento 1	Simple	1.4	1.2	Múltiple	3.5	2.8																								
1	25		DV-UEA25-021	Fragmento 1	Simple	3.8	2.5																											
1	25		DV-UEA25-022	Fragmento 1	Simple	2.5	1.5																											
1	25		DV-UEA25-023	Fragmento 1	Simple	4.1	3.2																											
1	25		DV-UEA25-024	Fragmento 1	Simple	3.9	2																											
1	25		DV-UEA25-025	Fragmento 1	Simple	5	3.5																											
1	25		DV-UEA25-026	Fragmento 1	Simple	2.2	1.5																											
1	25		DV-UEA25-027	Fragmento 1	Simple	1.3	0.6																											
1	25		DV-UEA25-028	Fragmento 1	Simple	2.8	1.6																											
1	25		DV-UEA25-029	Fragmento 1	Simple	2.6	1																											
1	25		DV-UEA25-030	Fragmento 1	Doble	5	1.8																											
1	25		DV-UEA25-031	Fragmento 1	Múltiple	6.7	4.9																											
1	25		DV-UEA25-032	Fragmento 1	Múltiple	13.6	5.7																											

1	25	DV-UEA25-033	Fragmento 1	Simple	1.4	1.1																			
1	25	DV-UEA25-034	Fragmento 1	Doble	5.2	3.3																			
1	25	DV-UEA25-035	Fragmento 1	Múltiple	6.4	3.5																			
1	25	DV-UEA25-036	Fragmento 1	Simple	2	1.3																			
1	25	DV-UEA25-037	Fragmento 1	Simple	2.5	1.4	Múltiple	6.6	3.4	Doble	3.8	2.5													
1	25	DV-UEA25-038	Fragmento 1	Simple	1.6	1.3	Múltiple	4.3	2	Múltiple	5	2.9													
1	25	DV-UEA25-039	Fragmento 1	Simple	3.7	1.8																			
1	25	DV-UEA25-040	Fragmento 1	Simple	2.5	1.2																			
1	25	DV-UEA25-041	Fragmento 1	Doble	5	3.6																			
1	25	DV-UEA25-042	Fragmento 1	Simple	2.4	1.8																			
1	25	DV-UEA25-043	Fragmento 1	Simple	2.2	1.3																			
1	25	DV-UEA25-044	Fragmento 1	Simple	2.5	1.9	Múltiple	6	2.8																
1	25	DV-UEA25-045	Fragmento 1	Simple	2.2	1																			
1	25	DV-UEA25-046	Fragmento 1	Simple	3	2.2																			
1	25	DV-UEA25-047	Fragmento 1	Simple	2.7	1.5																			
1	25	DV-UEA25-048	Fragmento 1	Simple	2.5	1.3																			
1	25	DV-UEA25-049	Fragmento 1	Simple	2.2	1																			
1	25	DV-UEA25-050	Fragmento 1	Simple	1.7	0.9																			
1	25	DV-UEA25-051	Fragmento 1	Simple	2.5	1.5																			
1	25	DV-UEA25-052	Fragmento 1	Simple	3.6	2.5	Múltiple	8.2	6.5																
1	25	DV-UEA25-053	Fragmento 1	Simple	2.2	1.6	Múltiple	5.9	3.1	Múltiple	4.7	4	Múltiple	5.2	2.8	Triple	5	2.6	Triple	4.6	3.1				
1	25	DV-UEA25-054	Fragmento 1	Simple	1.4	0.9	Doble	2.1	1.4	Triple	3.3	1.7	Múltiple	3.6	2.5										
1	25	DV-UEA25-055	Fragmento 1	Simple	4.2	3.2																			
1	25	DV-UEA25-056	Fragmento 1	Simple	2.2	2	Múltiple	5.8	2.9																
1	25	DV-UEA25-057	Fragmento 1	Simple	2.7	2.5	Múltiple	5.7	2.5	Múltiple	4.8	3.5													
1	25	DV-UEA25-058	Fragmento 1	Simple	3.5	2.3																			
1	25	DV-UEA25-059	Fragmento 1	Simple	4.5	3.5	Múltiple	18.5	7.2																

Redes de Karwa:

Datos Generales					Dimensiones (cm)					Hilos						
Sector	Unidad	Estrato	Nivel	Código	Largo Total	Ancho Total	Perímetro	Diagonal	Diámetro	Tipo	Fibra	Color	Torsión	Retorsión	N° Cabos	Grosor (mm)
P1	C1	10		K-P1-C1-UEA10-001	19.5	10.3	12.5	6.1		Fragmento 1	A	M	Z-S	Z	12	1.03
P1	C1	10			30	14				Fragmento 2	A	M	Z-S	Z	12	1
P1	C1	10		K-P1-C1-UEA10-001	15	5.4				Fragmento 1	A	M	Z-S	Z	6	0.41
P1	C1	10		K-P1-C1-UEA10-001	3	2.2	2.4	1.2		Fragmento 1	A	B	Z-S	Z	6	0.39
P1	C1	10			4.2	2.3	2.4	1.1		Fragmento 2	A	B	Z-S	Z	6	0.35
P1	C1	10			4.3	2.5	2.4	1.1		Fragmento 3	A	B	Z-S	Z	6	0.43
P1	C1	10			4.9	4.3	2.4	1.2		Fragmento 4	A	B	Z-S	Z	6	0.42
P1	C1	10			6.4	5.4	2.4	1.1		Fragmento 5	A	B	Z-S	Z	6	0.44
P1	C1	10			5.5	5	2.4	1.1		Fragmento 6	A	B	Z-S	Z	6	0.35
P1	C1	10			5	4.8	2.4	1.1		Fragmento 7	A	B	Z-S	Z	6	0.42
P1	C1	10			K-P1-C1-UEA10-004	25.2	9.1				Fragmento 1	A	M	Z	S	3
P1	C1	10		K-P1-C1-UEA10-005	22	9	5.2	2.3		Fragmento 1	A	B	Z-S	Z	6	0.84
P1	C1	10		K-P1-C1-UEA10-006	4.2	3.8				Fragmento 1	A	B	Z-S	Z	12	0.83
P1	C1	15		K-P1-C1-UEA15-001	5.5	4.5				Fragmento 1	A	B	Z	S	2	0.21
P1	C1	17		K-P1-C1-UEA17-001	8.7	1.7				Fragmento 1	A	B	Z	S	2	0.15
P1	C1	23		K-P1-C1-UEA23-001	35	29	6.1	2.9		Fragmento 1	A	B	Z-S	Z	8	0.81
P1	C1	23		K-P1-C1-UEA23-002	14	9	6	3		Fragmento 1	A	B	Z-S	Z	8	1.01
P1	C1	23		K-P1-C1-UEA23-003	20	14.3				Fragmento 1	A	B	Z	S	6	0.44
P1	C1	23		K-P1-C1-UEA23-004	25	11				Fragmento 1	A	B	Z-S	Z	8	0.89

P1	C1	23		K-P1-C1-UEA23-005	7.1	5.6				Fragmento 1	A	B	Z-S	Z	6	0.75
P1	C1	23		K-P1-C1-UEA23-006	9.7	5.6				Fragmento 1	A	B	Z	S	4	0.43
P1	C1	23		K-P1-C1-UEA23-007	12.5	5.5	6.6	3.2		Fragmento 1	A	B	Z-S	Z	10	0.88
P1	C1	Sup. Piso		K-P1-C1-UEASup.Piso-001	15.8	7.2				Fragmento 1	A	B	Z-S	Z	4	0.26
P1	C1	51		K-P1-C1-UEA51-001	8.5	5	4.4	2.1		Fragmento 1	A	B	Z-S	Z	8	0.79
P1	C1	51		K-P1-C1-UEA51-002	16	14	8.6	4		Fragmento 1	A	B	Z-S	Z	8	0.87
P1	C1	53		K-P1-C1-UEA53-001	10	8	4	1.7		Fragmento 1	A	B	Z-S	Z	8	0.64
P1	C2	1	2	K-P1-C2-UEA1-N2-001	12.9	8.6				Fragmento 1	A	M	Z-S	Z	6	0.5
P1	C2	1	2	K-P1-C2-UEA1-N2-002	11	6	7.4	3.5		Fragmento 1	A	B	Z-S	Z	10	0.86
P1	C2	1	2	K-P1-C2-UEA1-N2-003	2.7	2				Fragmento 1	A	B	Z-S	Z	4	0.41
P1	C2	1	2	K-P1-C2-UEA1-N2-004	24	4.5				Fragmento 1	A	B	Z	S	10	0.61
P1	C2	1	2	K-P1-C2-UEA1-N2-005	4.5	2				Fragmento 1	A	B	Z-S	Z	8	0.58
P1	C2	1	2	K-P1-C2-UEA1-N2-006	25	22				Fragmento 1	A	B	Z	S	5	0.48
P1	C2	1	2	K-P1-C2-UEA1-N2-007	5.3	2.6				Fragmento 1	A	B	Z-S	Z	10	0.87
P1	C2	1	2	K-P1-C2-UEA1-N2-008	8.8	6				Fragmento 1	A	B	Z-S	Z	7	0.62
P1	C2	1	2	K-P1-C2-UEA1-N2-009	7.8	2.6				Fragmento 1	A	B	Z	S	2	0.28
P1	C2	3A		K-P1-C2-UEA3A-001	4.5	2				Fragmento 1	A	B	Z-S	Z	6	0.5

P1	C2	3B		K-P1-C2-UEA3B-001	17	16	11.6	5.7		Fragmento 1	A	B	Z-S	Z	10	0.78
P1	C2	3C		K-P1-C2-UEA3C-001	22.2	19	4.6	2.1		Fragmento 1	A	B	Z-S	Z	6	0.83
P1	C2	3C		K-P1-C2-UEA3C-002	17	4.1				Fragmento 1	A	B	Z-S	Z	16	1.2
P1	C2	4	2	K-P1-C2-UEA4-N2-001	5	1.6	2.8	1.3		Fragmento 1	A	B	Z-S	Z	6	0.42
P1	C2	4	2	K-P1-C2-UEA4-N2-002	4.2	3.2	2.4	1.1		Fragmento 1	A	B	Z-S	Z	6	0.41
P1	C2	4	2	K-P1-C2-UEA4-N2-003	4.5	2.8	2.4	1.1		Fragmento 2	A	B	Z-S	Z	6	0.45
P1	C2	4	2	K-P1-C2-UEA4-N2-004	11.9	5.6				Fragmento 1	A	B	Z-S	Z	12	0.72
P1	C2	4	2	K-P1-C2-UEA4-N2-005	14	3.5	2.8	1.3		Fragmento 1	A	B	Z-S	Z	6	0.33
P1	C2	8	1	K-P1-C2-UEA8-N1-001	5.2	3.5				Fragmento 1	A	B	Z-S	Z	9	0.41
P1	C2	8	1	K-P1-C2-UEA8-N1-002	2.5	1.4				Fragmento 1	A	B	Z-S	Z	8	0.42
P1	C2	8	2	K-P1-C2-UEA8-N2-001	4.7	3				Fragmento 1	A	B	Z-S	Z	12	0.74
P1	C2	8	2	K-P1-C2-UEA8-N2-002	5.2	3.5	3.9	1.4		Fragmento 1	A	B	Z-S	Z	6	0.56
P1	C2	8	2	K-P1-C2-UEA8-N2-003	7.2	6.5				Fragmento 1	A	B	Z-S	Z	12	0.81
P1	C2	8	2	K-P1-C2-UEA8-N2-004	18.5	3.8	2.8	1.4		Fragmento 1	A	B	Z-S	Z	8	0.57
P1	C2	8	2	K-P1-C2-UEA8-N2-005	28.7	27	14.3	6.9		Fragmento 1	A	B	Z-S	Z	15	1.02
P1	C2	8	2		19.6	10	9.8	6.3		Fragmento 2	A	B	Z-S	Z	12	0.78

P1	C2	8	3	K-P1-C2-UEA8-N3-001	4.5	1.5				Fragmento 1	A	B	Z-S	Z	8	0.67
P1	C2	9		K-P1-C2-UEA9-001	2	1				Fragmento 1	A	B	Z-S	Z	4	0.48
P1	C2	9	2	K-P1-C2-UEA9-N2-001	7.4	2.5				Fragmento 1	A	B	Z-S	Z	10	1.08
P1	C2	52		K-P1-C2-UEA52-001	5.3	1.2				Fragmento 1	A	B	Z-S	Z	10	0.75
P1	C2	52		K-P1-C2-UEA52-002	2.9	2.7				Fragmento 1	A	B	Z-S	Z	10	0.59
P1	C2	52		K-P1-C2-UEA52-003	5.5	1.8				Fragmento 1	A	B	Z-S	Z	6	0.33
P1	C2	52		K-P1-C2-UEA52-004	9.8	8.4	4	1.8		Fragmento 1	A	B	Z-S	Z	12	0.74
P3	C1	2		K-P3-C1-UEA2-001	3.2	3	2.6	1		Fragmento 1	A	B, R	Z-S	Z	6	0.45
P3	C1	2		K-P3-C1-UEA2-002	12.2	4.9				Fragmento 1	A	R	Z-S	Z	12	0.94
P3	C1	6		K-P3-C1-UEA6-001	3	2.4	2.4	1.1		Fragmento 1	A	B	Z-S	Z	6	0.51
P3	C1	6		K-P3-C1-UEA6-002	2.1	2				Fragmento 1	A	B	Z-S	Z	12	0.76
P3	C1	6		K-P3-C1-UEA6-003	1.4	1.3				Fragmento 1	A	B	Z-S	Z	4	0.36
P3	C1	6	3	K-P3-C1-UEA6-N3-001	7.2	6.5	3.4	1.5		Fragmento 1	A	B	Z-S	Z	4	0.39
P3	C1	6	3	K-P3-C1-UEA6-N3-002	4	3.5	3.2	1.4		Fragmento 1	A	B	Z-S	Z	6	0.48
P3	C1	6	3	K-P3-C1-UEA6-N3-003	10	8	8.4	4		Fragmento 1	A	B	Z-S	Z	12	0.83
P3	C1	07-08		K-P3-C1-UEA07/08-001	9	6	2.8	1.3		Fragmento 1	A	B	Z-S	Z	4	0.32
P3	C1	11	2	K-P3-C1-UEA11-N2-001	8	6	3.9	1.7		Fragmento 1	A	B	Z-S	Z	6	0.42
P3	C1	11	2	K-P3-C1-UEA11-N2-002	3.3	3	3.5	1.7		Fragmento 1	A	B	Z-S	Z	6	0.53

P3	C1	11	2		8	4.2				Fragmento 2	A	B	Z-S	Z	6	0.52
P3	C1	12		K-P3-C1-UEA12-001	1.8	1.4	3.2	1.3		Fragmento 1	A	B	Z-S	Z	6	0.58
P3	C1	12			2.2	1.4	3.2	1.5		Fragmento 2	A	B	Z-S	Z	6	0.54
P3	C1	12			3.7	2.6	3.1	1.4		Fragmento 3	A	B	Z-S	Z	6	0.59
P3	C1	12			3.8	3.6	3.1	1.3		Fragmento 4	A	B	Z-S	Z	6	0.53
P3	C1	12			K-P3-C1-UEA12-002	2.1	1.5				Fragmento 1	A	B	Z-S	Z	6
P3	C1	12		K-P3-C1-UEA12-003	9.5	4.5				Fragmento 1	A	B	Z-S	Z	6	0.83
P3	C1	12		K-P3-C1-UEA12-004	4.3	3.2				Fragmento 1	A	B	Z-S	Z	6	0.69
P3	C1	12		K-P3-C1-UEA12-005	1.1	0.9				Fragmento 1	A	B	Z-S	Z	6	0.68
P3	C1	12		K-P3-C1-UEA12-006	22	17	8	3.8		Fragmento 1	A	B	Z-S	Z	8	0.77
P3	C1	12			12	6.8	6	2.8		Fragmento 2	A	B	Z-S	Z	8	0.71
P3	C1	12			6	3.5				Fragmento 3	A	B	Z-S	Z	8	0.72
P3	C1	14		K-P3-C1-UEA14-001	8.5	4	3.6	1.7		Fragmento 1	A	B	Z-S	Z	6	0.4
P3	C1	15		K-P3-C1-UEA15-001	2.7	2				Fragmento 1	A	B	Z-S	Z	12	0.5
P3	C1	16	1	K-P3-C1-UEA16-N1-001	3.2	2.2				Fragmento 1	A	B	Z-S	Z	6	0.59
P3	C1	16	2	K-P3-C1-UEA16-N2-001	4	1.5	3.8	1.8		Fragmento 1	A	B	Z-S	Z	6	0.52
P3	C1	17		K-P3-C1-UEA17-001	5.7	2.1				Fragmento 1	A	B	Z	S	2	0.23
P3	C2	1		K-P3-C2-UEA1-001	3	2	3	1.4		Fragmento 1	A	B	Z-S	Z	12	0.78

P3	C2	3		K-P3-C2-UEA3-001	9	6	4.8	2.3		Fragmento 1	A	B	S-Z	S	6	0.71
P3	C2	6		K-P3-C2-UEA6-001	1.7	0.9				Fragmento 1	A	B	Z-S	Z	6	0.76
P3	C2	6		K-P3-C2-UEA6-002	6	4.5	3.2	1.3		Fragmento 1	A	M	Z-S	Z	6	0.59
P3	C2	6			2.2	2.1	3.2	1.4		Fragmento 2	A	M	Z-S	Z	6	0.58
P3	C2	6			3.5	1.8	3	1.4		Fragmento 3	A	M	Z-S	Z	6	0.53
P3	C2	6			14	5.5				Fragmento 4	A	M	Z-S	Z	6	0.57
P3	C2	6		K-P3-C2-UEA6-003	8.5	6.5	6.1	3.2		Fragmento 1	A	B	Z-S	Z	6	0.5
P3	C2	7		K-P3-C2-UEA7-001	16.5	7.3	4	1.9		Fragmento 1	A	B	Z-S	Z	6	0.74
P3	C2	7		K-P3-C2-UEA7-002	17	16	8	3.7		Fragmento 1	A	B	Z-S	Z	10	0.92
P3	C2	7		K-P3-C2-UEA7-003	11.4	2.5				Fragmento 1	A	B	Z	S	3	0.35
P3	C2	7		K-P3-C2-UEA7-004	12.1	5				Fragmento 1	A	B	Z-S	Z	10	0.86
P3	C2	7		K-P3-C2-UEA7-005	5	3				Fragmento 1	A	B	Z-S	Z	8	1.06
P3	C2	7			8.5	5	6	3		Fragmento 2	A	B	Z-S	Z	8	1.13
P3	C2	7		K-P3-C2-UEA7-006	3.5	1.4				Fragmento 1	A	B	Z-S	Z	8	0.86
P3	C2	7		K-P3-C2-UEA7-007	9	1.5	3.4	1.6		Fragmento 1	A	B	Z-S	Z	10	0.84
P3	C2	7		K-P3-C2-UEA7-008	22	3.6				Fragmento 1	A	B	Z	S	3	0.3
P3	C2	7		K-P3-C2-UEA7-009	3.9	2.6				Fragmento 1	A	B	Z-S	Z	6	0.75
P3	C2	7		K-P3-C2-UEA7-010	1.8	1.6				Fragmento 1	A	B	Z-S	Z	8	1.09
P3	C2	7		K-P3-C2-UEA7-011	10	3.2	3.4	1.5		Fragmento 1	A	B	Z-S	Z	6	0.75
P3	C2	7		K-P3-C2-UEA7-012	16	1.3				Fragmento 1	A	B	Z-S	Z	8	0.8
P3	C2	7		K-P3-C2-UEA7-013	6	3				Fragmento 1	A	M	Z-S	Z	12	0.61
P3	C2	9		K-P3-C2-UEA9-001	3.5	2.5	3.1	1.5		Fragmento 1	A	B	Z-S	Z	6	0.38

P3	C2	9	2	K-P3-C2-UEA9-N2-001	10.2	10	2.8	1.3		Fragmento 1	A	B	Z-S	Z	6	0.29
P3	C2	9	2		5.5	4.5	2.8	1.2		Fragmento 2	A	B	Z-S	Z	6	0.34
P3	C2	9	2		2.2	2	2.8	1.2		Fragmento 3	A	B	Z-S	Z	6	0.31
P3	C2	9	2		9.9	4	2.8	1.3		Fragmento 4	A	B	Z-S	Z	6	0.38
P3	C2	9	2		6.5	3.5	2.8	1.2		Fragmento 5	A	B	Z-S	Z	6	0.31
P3	C2	9	2		2.5	2.1	2.8	1.2		Fragmento 6	A	B	Z-S	Z	6	0.46
P3	C2	9	2		3.8	2.5	2.8	1.3		Fragmento 7	A	B	Z-S	Z	6	0.47
P3	C2	9	2		3	1.5	2.8	1.3		Fragmento 8	A	B	Z-S	Z	6	0.39
P3	C2	9	2		4.4	3	2.8	1.3		Fragmento 9	A	B	Z-S	Z	6	0.44
P3	C2	9	2		4.5	1.8	2.8	1.2		Fragmento 10	A	B	Z-S	Z	6	0.45
P3	C2	9	2	K-P3-C2-UEA9-N2-002	4.5	3				Fragmento 1	A	B	Z-S	Z	6	0.45
P3	C2	9	2	K-P3-C2-UEA9-N2-003	1.5	1.4				Fragmento 1	A	B	Z-S	Z	6	0.36
P3	C2	9	2	K-P3-C2-UEA9-N2-004	2.2	0.5				Fragmento 1	A	B	Z-S	Z	6	0.3
P3	C2	10		K-P3-C2-UEA10-001	6.6	3.3				Fragmento 1	A	B	Z-S	Z	6	0.55
P3	C2	10		K-P3-C2-UEA10-002	5.7	5.5				Fragmento 1	A	B	Z-S	Z	4	0.43
P3	C2	10		K-P3-C2-UEA10-003	2.6	1.8	2.4	1.2		Fragmento 1	A	B	Z-S	Z	4	0.55
P3	C2	10			3.3	3	2.4	1.3		Fragmento 2	A	B	Z-S	Z	4	0.62
P3	C2	10			3	2.8	2.4	1.1		Fragmento 3	A	B	Z-S	Z	4	0.47
P3	C2	10			3.5	2	2.4	1		Fragmento 4	A	B	Z-S	Z	4	0.49
P3	C2	10			3.7	2	2.6	1.2		Fragmento 5	A	B	Z-S	Z	4	0.45
P3	C2	10			6.5	6	2.6	1.3		Fragmento 6	A	B	Z-S	Z	4	0.52
P3	C2	10			2.3	2	2.4	1.1		Fragmento 7	A	B	Z-S	Z	4	0.46
P3	C2	10			2.5	2.2	2.3	1.2		Fragmento 8	A	B	Z-S	Z	4	0.54
P3	C2	10			12	4				Fragmento 9	A	B	Z-S	Z	4	0.58

P3	C2	11		K-P3-C2-UEA11-001	2	1.8	2.8	1.1		Fragmento 1	A	B	Z-S	Z	6	0.62
P3	C2	11			3	1.3	2.5	1.2		Fragmento 2	A	B	Z-S	Z	6	0.72
P3	C2	11			1.5	1.3	2.8	1.2		Fragmento 3	A	B	Z-S	Z	6	0.48
P3	C2	11			2.5	1	2.8	1.2		Fragmento 4	A	B	Z-S	Z	6	0.58
P3	C2	11			2.5	0.8				Fragmento 5	A	B	Z-S	Z	6	0.63
P3	C2	11		K-P3-C2-UEA11-002	5.9	4.7				Fragmento 1	A	B	Z-S	Z	6	0.36
P3	C2	11		K-P3-C2-UEA11-003	8.8	3.2				Fragmento 1	A	B	Z-S	Z	4	0.26
P3	C2	11		K-P3-C2-UEA11-004	2.3	1.3				Fragmento 1	A	B	Z-S	Z	6	0.36

Datos Generales					Tipo de fragmento	Tipo de nudo	Dimensiones (mm)		Tipo de nudo	Dimensiones (mm)		Tipo de nudo	Dimensiones (mm)		Tipo de nudo	Dimensiones (mm)		
Sector	Unidad	Estrato	Nivel	Código			Largo	Ancho		Largo	Ancho		Largo	Ancho		Largo	Ancho	
P1	C1	10		K-P1-C1-UEA10-001	Fragmento 1	Simple	3.35	2.57										
P1	C1	10			Fragmento 2	Simple	2.97	2.22										
P1	C1	10		K-P1-C1-UEA10-001	Fragmento 1	Doble	3.16	3.11										
P1	C1	10		K-P1-C1-UEA10-001	Fragmento 1	Simple	1.78	1.33										
P1	C1	10			Fragmento 2	Simple	1.84	1.14										
P1	C1	10			Fragmento 3	Simple	2	1.21										
P1	C1	10			Fragmento 4	Simple	2.1	1.39										
P1	C1	10			Fragmento 5	Simple	2.19	1.39										
P1	C1	10			Fragmento 6	Simple	2.04	1.43										
P1	C1	10			Fragmento 7	Simple	2.08	1.32										
P1	C1	10		K-P1-C1-UEA10-004	Fragmento 1	Simple	2.44	2.07										

P1	C1	10		K-P1-C1-UEA10-005	Fragmento 1	Simple	2.56	1.9	Múltiple	4.51	3.78							
P1	C1	10		K-P1-C1-UEA10-006	Fragmento 1	Doble	4.78	3.03										
P1	C1	15		K-P1-C1-UEA15-001	Fragmento 1	Doble	3.36	2.3										
P1	C1	17		K-P1-C1-UEA17-001	Fragmento 1	Simple	1.17	0.91										
P1	C1	23		K-P1-C1-UEA23-001	Fragmento 1	Simple	3.48	2.52	Doble	3.85	3.27	Múltiple	5.1	3.73	Múltiple	4.84	3.97	
P1	C1	23		K-P1-C1-UEA23-002	Fragmento 1	Simple	3.78	1.88	Múltiple	4.88	4.86							
P1	C1	23		K-P1-C1-UEA23-003	Fragmento 1	Doble	2.4	2.07										
P1	C1	23		K-P1-C1-UEA23-004	Fragmento 1	Simple	3.34	2.15										
P1	C1	23		K-P1-C1-UEA23-005	Fragmento 1	Simple	2.83	1.91										
P1	C1	23		K-P1-C1-UEA23-006	Fragmento 1	Simple	2.7	1.23										
P1	C1	23		K-P1-C1-UEA23-007	Fragmento 1	Simple	3.48	1.76										
P1	C1	Sup. Piso		K-P1-C1-UEASup.Piso-001	Fragmento 1	Simple	2.43	1.54										
P1	C1	51		K-P1-C1-UEA51-001	Fragmento 1	Simple	3.02	1.67	Doble	3.33	2.39							
P1	C1	51		K-P1-C1-UEA51-002	Fragmento 1	Simple	2.6	1.72	Múltiple	6.19	3.31							
P1	C1	53		K-P1-C1-UEA53-001	Fragmento 1	Simple	2.97	1.53										
P1	C2	1	2	K-P1-C2-UEA1-N2-001	Fragmento 1	Simple	3.06	1.69										
P1	C2	1	2	K-P1-C2-UEA1-N2-002	Fragmento 1	Simple	2.93	1.89	Doble	4.28	3.08	Múltiple	5.72	4.17				
P1	C2	1	2	K-P1-C2-UEA1-N2-003	Fragmento 1	Simple	3.88	1.54										

P1	C2	1	2	K-P1-C2-UEA1-N2-004	Fragmento 1	Simple	6.82	3.42										
P1	C2	1	2	K-P1-C2-UEA1-N2-005	Fragmento 1	Simple	1.94	1.73	Múltiple	6.55	3.72							
P1	C2	1	2	K-P1-C2-UEA1-N2-006	Fragmento 1	Múltiple	3.9	3.63										
P1	C2	1	2	K-P1-C2-UEA1-N2-007	Fragmento 1	Simple	2.47	1.93										
P1	C2	1	2	K-P1-C2-UEA1-N2-008	Fragmento 1	Triple	5.09	4.26										
P1	C2	1	2	K-P1-C2-UEA1-N2-009	Fragmento 1	Simple	2.81	1.52										
P1	C2	3A		K-P1-C2-UEA3A-001	Fragmento 1	Simple	2.87	1.64										
P1	C2	3B		K-P1-C2-UEA3B-001	Fragmento 1	Simple	3.06	2.55										
P1	C2	3C		K-P1-C2-UEA3C-001	Fragmento 1	Simple	3	1.84										
P1	C2	3C		K-P1-C2-UEA3C-002	Fragmento 1	Simple	8.16	6.21										
P1	C2	4	2	K-P1-C2-UEA4-N2-001	Fragmento 1	Simple	2.31	1.22										
P1	C2	4	2	K-P1-C2-UEA4-N2-002	Fragmento 1	Simple	1.96	1.46										
P1	C2	4	2	K-P1-C2-UEA4-N2-003	Fragmento 1	Simple	1.91	1.21										
P1	C2	4	2	K-P1-C2-UEA4-N2-004	Fragmento 1	Simple	2.94	1.92										
P1	C2	4	2	K-P1-C2-UEA4-N2-005	Fragmento 1	Simple	1.98	1.19										
P1	C2	8	1	K-P1-C2-UEA8-N2-001	Fragmento 1	Doble	4.35	3.13										

P1	C2	8	1	K-P1-C2-UEA8-N2-002	Fragmento 1	Simple	2.12	1.16														
P1	C2	8	2	K-P1-C2-UEA8-N2-001	Fragmento 1	Simple	2.74	1.93	Múltiple	12.88	4.5											
P1	C2	8	2	K-P1-C2-UEA8-N2-002	Fragmento 1	Simple	2.15	1.33														
P1	C2	8	2	K-P1-C2-UEA8-N2-003	Fragmento 1	Simple	4.41	2.63														
P1	C2	8	2	K-P1-C2-UEA8-N2-004	Fragmento 1	Simple	2.23	1.26														
P1	C2	8	2	K-P1-C2-UEA8-N2-005	Fragmento 1	Simple	3.94	2.24														
P1	C2	8	2		Fragmento 2	Simple	3.94	2.24														
P1	C2	8	3	K-P1-C2-UEA8-N3-001	Fragmento 1	Simple	2.07	1.47														
P1	C2	9		K-P1-C2-UEA9-001	Fragmento 1	Simple	2.94	1.93														
P1	C2	9	2	K-P1-C2-UEA9-N2-001	Fragmento 1	Simple	3.53	2.55														
P1	C2	52		K-P1-C2-UEA52-001	Fragmento 1	Simple	3.19	2.67														
P1	C2	52		K-P1-C2-UEA52-002	Fragmento 1	Simple	3.25	1.71														
P1	C2	52		K-P1-C2-UEA52-003	Fragmento 1	Simple	2.19	1.19														
P1	C2	52		K-P1-C2-UEA52-004	Fragmento 1	Simple	3.1	2.31														
P3	C1	2		K-P3-C1-UEA2-001	Fragmento 1	Simple	2.83	1.8														
P3	C1	2		K-P3-C1-UEA2-002	Fragmento 1	Simple	3.97	3.24	Múltiple	4.8	3.43											
P3	C1	6		K-P3-C1-UEA6-001	Fragmento 1	Simple	2.27	1.43														
P3	C1	6		K-P3-C1-UEA6-002	Fragmento 1	Simple	3.26	2.28														
P3	C1	6		K-P3-C1-UEA6-003	Fragmento 1	Simple	1.75	1.25														

P3	C1	6	3	K-P3-C1-UEA6-N3-001	Fragmento 1	Simple	1.59	0.91										
P3	C1	6	3	K-P3-C1-UEA6-N3-002	Fragmento 1	Simple	2.36	1.54										
P3	C1	6	3	K-P3-C1-UEA6-N3-003	Fragmento 1	Simple	4.21	2.43	Múltiple	7								
P3	C1	07-08		K-P3-C1-UEA07/08-001	Fragmento 1	Simple	2.3	1.28										
P3	C1	11	2	K-P3-C1-UEA11-N2-001	Fragmento 1	Simple	2.45	1.6										
P3	C1	11	2	K-P3-C1-UEA11-N2-002	Fragmento 1	Simple	2.62	1.54										
P3	C1	11	2		Fragmento 2	Simple	2.63	1.25										
P3	C1	12		K-P3-C1-UEA12-001	Fragmento 1	Simple	2.05	1.6										
P3	C1	12			Fragmento 2	Simple	2.2	1.23										
P3	C1	12			Fragmento 3	Simple	2.29	1.59										
P3	C1	12			Fragmento 4	Simple	1.96	1.15										
P3	C1	12		K-P3-C1-UEA12-002	Fragmento 1	Simple	2.47	1.22										
P3	C1	12		K-P3-C1-UEA12-003	Fragmento 1	Simple	1.96	1.05										
P3	C1	12		K-P3-C1-UEA12-004	Fragmento 1	Simple	2.41	1.4										
P3	C1	12		K-P3-C1-UEA12-005	Fragmento 1	Simple	2.25	1.27										
P3	C1	12		K-P3-C1-UEA12-006	Fragmento 1	Simple	2.29	2.04										
P3	C1	12		K-P3-C1-UEA12-007	Fragmento 2	Simple	2.66	1.66										
P3	C1	12			Fragmento 3	Simple	2.37	1.28										
P3	C1	14		K-P3-C1-UEA14-001	Fragmento 1	Simple	2.07	1.14										
P3	C1	15		K-P3-C1-UEA15-001	Fragmento 1	Simple	2.78	1.78	Múltiple	5.43	3.43							

P3	C1	16	1	K-P3-C1-UEA16-N1-001	Fragmento 1	Simple	2.06	1.67								
P3	C1	16	2	K-P3-C1-UEA16-N2-001	Fragmento 1	Simple	2.11	1.66								
P3	C1	17		K-P3-C1-UEA17-001	Fragmento 1	Simple	1.36	1								
P3	C2	1		K-P3-C1-UEA1-001	Fragmento 1	Simple	3.47	1.75								
P3	C2	3		K-P3-C1-UEA3-001	Fragmento 1	Simple	3.13	1.68								
P3	C2	6		K-P3-C1-UEA6-001	Fragmento 1	Simple	3.68	2.92								
P3	C2	6		K-P3-C1-UEA6-002	Fragmento 1	Simple	2.53	1.31								
P3	C2	6	Fragmento 2		Simple	2.72	1.66									
P3	C2	6	Fragmento 3		Simple	2.55	1.52									
P3	C2	6	Fragmento 4		Simple	2.37	1.73	Múltiple	5.58	3.12						
P3	C2	6		K-P3-C1-UEA6-003	Fragmento 1	Simple	2.76	1.61								
P3	C2	7		K-P3-C1-UEA7-001	Fragmento 1	Simple	2.14	1.69								
P3	C2	7		K-P3-C1-UEA7-002	Fragmento 1	Simple	3.28	2.46								
P3	C2	7		K-P3-C1-UEA7-003	Fragmento 1	Simple	2.28	1.67								
P3	C2	7		K-P3-C1-UEA7-004	Fragmento 1	Simple	3.65	2.85								
P3	C2	7		K-P3-C1-UEA7-005	Fragmento 1	Simple	3.83	2.08								
P3	C2	7			Fragmento 2	Simple	3.74	1.83								
P3	C2	7		K-P3-C1-UEA7-006	Fragmento 1	Simple	3.23	3.26								
P3	C2	7		K-P3-C1-UEA7-007	Fragmento 1	Simple	3.28	1.95								
P3	C2	7		K-P3-C1-UEA7-008	Fragmento 1	Simple	3.36	2.9								
P3	C2	7		K-P3-C1-UEA7-009	Fragmento 1	Simple	2.31	1.39								
P3	C2	7		K-P3-C1-UEA7-010	Fragmento 1	Simple	3.29	2.27								
P3	C2	7		K-P3-C1-UEA7-011	Fragmento 1	Simple	1.91	1.04								
P3	C2	7		K-P3-C1-UEA7-012	Fragmento 1	Múltiple	11.23	10.96								

P3	C2	7		K-P3-C1-UEA7-013	Fragmento 1	Doble	2.8	2.02	Doble	3.32	3.18							
P3	C2	9		K-P3-C1-UEA9-001	Fragmento 1	Simple	2.72	1.54										
P3	C2	9	2	K-P3-C1-UEA9-N2-001	Fragmento 1	Simple	2.4	1.39										
P3	C2	9	2		Fragmento 2	Simple	1.85	1.33										
P3	C2	9	2		Fragmento 3	Simple	2.16	1.34										
P3	C2	9	2		Fragmento 4	Simple	2.32	1.37										
P3	C2	9	2		Fragmento 5	Simple	2.16	1.33										
P3	C2	9	2		Fragmento 6	Simple	2.11	1.55										
P3	C2	9	2		Fragmento 7	Simple	2.06	1.56										
P3	C2	9	2		Fragmento 8	Simple	2.09	1.55										
P3	C2	9	2		Fragmento 9	Simple	2.1	1.43										
P3	C2	9	2		Fragmento 10	Simple	2.09	1.53										
P3	C2	9	2	K-P3-C1-UEA9-N2-002	Fragmento 1	Simple	3.26	1.81										
P3	C2	9	2	K-P3-C1-UEA9-N2-003	Fragmento 1	Simple	2.11	1.31										
P3	C2	9	2	K-P3-C1-UEA9-N2-004	Fragmento 1	Simple	2.54	1.48										
P3	C2	10		K-P3-C1-UEA10-001	Fragmento 1	Simple	1.95	1.87	Doble	3.63	2.02							
P3	C2	10		K-P3-C1-UEA10-002	Fragmento 1	Simple	2.13	1.91										
P3	C2	10		K-P3-C1-UEA10-003	Fragmento 1	Simple	2.82	1.67										
P3	C2	10			Fragmento 2	Simple	2.81	1.53										
P3	C2	10			Fragmento 3	Simple	1.92	1.43										
P3	C2	10			Fragmento 4	Simple	2.41	1.87										
P3	C2	10			Fragmento 5	Simple	2.65	1.61										
P3	C2	10			Fragmento 6	Simple	2.19	1.66										
P3	C2	10			Fragmento 7	Simple	2.19	1.42										
P3	C2	10			Fragmento 8	Simple	2.57	1.84										

P3	C2	10			Fragmento 9	Simple	2.23	1.34									
P3	C2	11		K-P3-C2-UEA11-001	Fragmento 1	Simple	2.3	1.96									
P3	C2	11			Fragmento 2	Simple	2.92	1.53									
P3	C2	11			Fragmento 3	Simple	2.49	1.17									
P3	C2	11			Fragmento 4	Simple	2.58	1.92									
P3	C2	11			Fragmento 5	Simple	2.39	1.94									
P3	C2	11		K-P3-C2-UEA11-002	Fragmento 1	Simple	2.73	1.87									
P3	C2	11		K-P3-C2-UEA11-003	Fragmento 1	Doble	3.34	2.69	Doble	3.98							
P3	C2	11		K-P3-C2-UEA11-004	Fragmento 1	Simple	2.13	1.68									

